



การเตรียมอิลาสโตเมอร์กำบังรังสีปลอดตะกั่วจากคอมโพสิตยางธรรมชาติผสม
กับสารประกอบออกไซด์
Preparation of Lead-Free Radiation Shielding Elastomer Based on
Natural Rubber/Metal Oxides Composites

ศิริลักษณ์ อินต้อม
Sirilak Intom

วิทยานิพนธ์นี้เป็นส่วนหนึ่งของการศึกษาตามหลักสูตรปริญญา
วิทยาศาสตรมหาบัณฑิต สาขาวิทยาศาสตร์และเทคโนโลยีพอลิเมอร์
มหาวิทยาลัยสงขลานครินทร์
A Thesis Submitted in Partial Fulfillment of the Requirements for the
Degree of Master of Science in Polymer Science and Technology
Prince of Songkla University
2562
ลิขสิทธิ์ของมหาวิทยาลัยสงขลานครินทร์



การเตรียมอิลาสโตเมอร์กำบังรังสีปลอดตะกั่วจากคอมโพสิตยางธรรมชาติผสม
กับสารประกอบออกไซด์
Preparation of Lead-Free Radiation Shielding Elastomer Based on
Natural Rubber/Metal Oxides Composites

ศิริลักษณ์ อินต้อม
Sirilak Intom

วิทยานิพนธ์นี้เป็นส่วนหนึ่งของการศึกษาตามหลักสูตรปริญญา
วิทยาศาสตรมหาบัณฑิต สาขาวิทยาศาสตร์และเทคโนโลยีพอลิเมอร์
มหาวิทยาลัยสงขลานครินทร์
A Thesis Submitted in Partial Fulfillment of the Requirements for the
Degree of Master of Science in Polymer Science and Technology
Prince of Songkla University
2562
ลิขสิทธิ์ของมหาวิทยาลัยสงขลานครินทร์

ชื่อวิทยานิพนธ์	การเตรียมอิลาสโตเมอร์กำบังรังสีปลดตะกั่วจากคอมโพสิตยางธรรมชาติผสม กับสารประกอบออกไซด์
ผู้เขียน	นางสาวศิริลักษณ์ อินต่อม
สาขาวิชา	วิทยาศาสตร์และเทคโนโลยีพอลิเมอร์

อาจารย์ที่ปรึกษาวิทยานิพนธ์หลัก	คณะกรรมการสอบ
.....ประธานกรรมการ
(ผู้ช่วยศาสตราจารย์ ดร.เอกวิภู กาลกรณ์สุรปราณี)	(ผู้ช่วยศาสตราจารย์ ดร.นิธินาถ แซ่ตั้ง)
.....กรรมการ
อาจารย์ที่ปรึกษาวิทยานิพนธ์ร่วม	(รองศาสตราจารย์ ดร.จักรพงษ์ แก้วขาว)
.....กรรมการ
(รองศาสตราจารย์ ดร.จักรพงษ์ แก้วขาว)	(ผู้ช่วยศาสตราจารย์ ดร.เอกวิภู กาลกรณ์สุรปราณี)
.....กรรมการ
	(ผู้ช่วยศาสตราจารย์ ดร.เมธี พรมสวัสดิ์)
.....กรรมการ
	(ดร.ศิริประภา แก้วแจ่ม)

บัณฑิตวิทยาลัย มหาวิทยาลัยสงขลานครินทร์ อนุมัติให้รับวิทยานิพนธ์ฉบับนี้
เป็นส่วนหนึ่งของการศึกษา ตามหลักสูตรปริญญาวิทยาศาสตรมหาบัณฑิต สาขาวิชาวิทยาศาสตร์
และเทคโนโลยีพอลิเมอร์

.....
(ศาสตราจารย์ ดร.ดำรงศักดิ์ ฟ้ารุ่งแสง)
คณบดีบัณฑิตวิทยาลัย

ขอรับรองว่า ผลงานวิจัยนี้มาจากการศึกษาวิจัยของนักศึกษาเอง และได้แสดงความขอบคุณบุคคลที่มีส่วนช่วยเหลือแล้ว

ลงชื่อ.....
(ผู้ช่วยศาสตราจารย์ ดร.เอกวิญ กาลกรณ์สุรปราณี)
อาจารย์ที่ปรึกษาวิทยานิพนธ์

ลงชื่อ.....
(นางสาวศิริลักษณ์ อินต๋อม)
นักศึกษา

ข้าพเจ้าขอรับรองว่า ผลงานวิจัยนี้ไม่เคยเป็นส่วนหนึ่งในการอนุมัติปริญญาในระดับใดมาก่อน และ
ไม่ได้ถูกใช้ในการยื่นขออนุมัติปริญญาในขณะนี้

ลงชื่อ.....

(นางสาวศิริลักษณ์ อินต้อม)

นักศึกษา

ชื่อวิทยานิพนธ์	การเตรียมอิลาสโตเมอร์กำบังรังสีปลดตะกั่วจากคอมโพสิตยางธรรมชาติผสมกับสารประกอบออกไซด์
ผู้เขียน	นางสาวศิริลักษณ์ อินต้อม
สาขาวิชา	วิทยาศาสตร์และเทคโนโลยีพอลิเมอร์
ปีการศึกษา	2562

บทคัดย่อ

งานวิจัยนี้สามารถเตรียมอิลาสโตเมอร์กำบังรังสีปลดตะกั่วจากคอมโพสิตระหว่างยางธรรมชาติกับสารตัวเติมสำหรับการกำบังรังสีได้สำเร็จ สภาวะที่เหมาะสมคือ การใช้ยางธรรมชาติผสมกับบิสมาทออกไซด์ปริมาณ 150 ส่วนโดยร้อยละเมื่อเทียบกับยาง สามารถยืนยันสภาวะที่เหมาะสมได้จากสมบัติเชิงกลที่เตรียมได้แก่ โมดูลัสที่ระยะยืดร้อยละ 100 ความแข็ง ความต้านทานต่อแรงดึง ระยะยืด ณ จุดขาด และจากประสิทธิภาพในการลดทอนรังสีแกมมา และรังสีเอ็กซ์ที่ดีซึ่งพิจารณาจากค่าสัมประสิทธิ์การลดทอนรังสี เลขอะตอมยังผล (Z_{eff}) ความหนาแน่นอิเล็กตรอน (N_e) ความหนาครึ่งค่า (HVL) และความหนาเทียบเท่าตะกั่ว อิลาสโตเมอร์กำบังรังสีปลดตะกั่วที่เตรียมจากยางธรรมชาติจากสภาวะที่เหมาะสม เมื่อเทียบกับวัสดุกำบังรังสีชนิดอื่น ๆ มีประสิทธิภาพในการกำบังรังสีแกมมาได้ดีกว่ากระจกเชิงพาณิชย์ เซอร์เพนไทน์ คอนกรีต และเฮมาไทต์-เซอร์เพนไทน์ และมีประสิทธิภาพในการกำบังรังสีเอ็กซ์ได้ดีกว่ากระจกเชิงพาณิชย์ และกระจกกำบังรังสีเอ็กซ์ ดังนั้นคอมโพสิตยางธรรมชาติที่พัฒนาขึ้นจากงานวิจัยนี้สามารถใช้เป็นวัสดุกำบังรังสีปลดตะกั่วที่มีความยืดหยุ่นสูง และกำบังรังสีได้อย่างมีประสิทธิภาพ

คำสำคัญ วัสดุคอมโพสิต วัสดุกำบังรังสี รังสีแกมมา รังสีเอ็กซ์ ยางธรรมชาติ โลหะออกไซด์

Thesis Title	Preparation of Lead-Free Radiation Shielding Elastomer Based on Natural Rubber/Metal Oxides composites
Author	Miss Sirlak Intom
Major Program	Polymer Science and Technology
Academic Year	2019

ABSTRACT

Lead-free radiation shielding elastomer based on natural rubber/radiation shielding fillers composites was successfully prepared. The optimum conditions was found using natural rubber matrix with bismuth oxide filler for 150 phr. This was confirmed by mechanical properties including modulus at 100% elongation, hardness, tensile strength, elongation at break and also confirmed by good radiation shielding properties including attenuation coefficient, effective atomic number (Z_{eff}), effective electron density (N_e), half value layer (HVL) and lead equivalent. The prepared radiation shielding elastomer based on natural rubber composites by suitable condition give better gamma radiation shielding those of commercial window, serpentine, ordinary concrete, hematite- serpentine and greater x-rays radiation shielding those that commercial window and x-rays window. Therefore, the developed natural rubber composites in this research can be used as efficient lead-free flexible radiation shielding materials.

Key words: Composite, Radiation shielding material, Gamma ray, X-ray, Natural rubber, Metal oxides

กิตติกรรมประกาศ

วิทยานิพนธ์ฉบับนี้สำเร็จลุล่วงไปได้ด้วยดี เพราะได้รับความกรุณา และความช่วยเหลือจาก ผศ.ดร.เอกวิภู กาลกรณ์สุรปราณี และรศ.ดร.จักรพงษ์ แก้วขาวที่คอยให้คำปรึกษา และคำแนะนำในการดำเนินงานวิจัยเสมอมา อีกทั้งช่วยตรวจทาน และแก้ไขข้อบกพร่องต่าง ๆ ในการเขียนวิทยานิพนธ์ และขอขอบพระคุณ ผศ.ดร. นิธินาถ แซ่ตั้ง ประธานกรรมการสอบวิทยานิพนธ์ ผศ.ดร.เมธี พรหมสวัสดิ์ อาจารย์ ดร.ศิริประภา แก้วแจ่มที่รับเป็นกรรมการสอบ และกรุณาให้ความช่วยเหลือในการตรวจทานแก้ไขวิทยานิพนธ์ฉบับนี้ให้สมบูรณ์ยิ่งขึ้น

ขอขอบพระคุณคณาจารย์ และเจ้าหน้าที่ รวมถึงสมาชิกทุกท่านในภาควิชา วิทยาศาสตร์ และเทคโนโลยีวัสดุที่คอยให้ความช่วยเหลือ คอยเป็นกำลังใจที่ดีในการทำวิจัยครั้งนี้ ตลอดมา ผู้วิจัยขอขอบพระคุณเป็นอย่างสูง

ขอขอบพระคุณทุนสนับสนุนงานวิจัยจากสถาบันวิจัยนวัตกรรมยางพารา มหาวิทยาลัยสงขลานครินทร์ ที่ให้ทุนสนับสนุนการทำวิจัยในหลักสูตรปริญญาโทเป็นระยะเวลา 2 ปี และขอขอบพระคุณ รศ.ดร. จักรพงษ์ แก้วขาว อาจารย์ ดร.วุฒิชัย ไชยภักษา นางสาววิราภรณ์ หงส์ทอง สมาชิกศูนย์วิจัยแห่งความเป็นเลิศทางเทคโนโลยีแก้วและวัสดุศาสตร์ ภาควิชาฟิสิกส์ คณะวิทยาศาสตร์และเทคโนโลยี มหาวิทยาลัยราชภัฏนครปฐมทุกท่าน และ รศ.ดร.สุชาติ โกกัมภ์ อาจารย์ ดร.ศิริประภา แก้วแจ่ม ภาควิชารังสีเทคนิค มหาวิทยาลัยเชียงใหม่ ที่คอยให้ความรู้ คำแนะนำ และเป็นแรงบันดาลใจที่ดีในงานวิจัยนี้ให้สำเร็จลุล่วงไปได้ด้วยดี

ขอขอบคุณบัณฑิตวิทยาลัย มหาวิทยาลัยสงขลานครินทร์ที่ให้ทุนสนับสนุนการวิจัยครั้งนี้ และภาควิชาวิทยาศาสตร์ และเทคโนโลยีวัสดุ คณะวิทยาศาสตร์ มหาวิทยาลัยสงขลานครินทร์ แลปแก้ว ภาควิชาฟิสิกส์ คณะวิทยาศาสตร์และเทคโนโลยี มหาวิทยาลัยราชภัฏนครปฐม และ ภาควิชารังสีเทคนิค มหาวิทยาลัยเชียงใหม่ ที่ได้อนุเคราะห์วัสดุ อุปกรณ์ และสถานที่ในการดำเนินงานวิจัยครั้งนี้

สุดท้ายนี้ขอขอบพระคุณบิดา มารดา ญาติมิตร เพื่อน ครูอาจารย์ และผู้มีพระคุณทุกท่านที่ให้การสนับสนุนคอยเป็นกำลังใจ และให้การอบรมสั่งสอนที่ดีแก่ผู้วิจัยตลอดมา หวังเป็นอย่างยิ่งว่าวิทยานิพนธ์ฉบับนี้จะมีประโยชน์แก่ผู้ที่สนใจไม่มากนักน้อย

ศิริลักษณ์ อินต๋อม

สารบัญ

	หน้า
บทคัดย่อ	(5)
Abstract	(6)
กิตติกรรมประกาศ	(7)
บทที่ 1 บทนำ	1
1.1 ที่มาและความสำคัญ	1
1.2 วัตถุประสงค์	2
1.3 ขอบเขตการวิจัย	2
1.4 ประโยชน์ที่คาดว่าจะได้รับ	3
บทที่ 2 ทฤษฎี เอกสาร และงานวิจัยที่เกี่ยวข้อง	4
2.1 ทฤษฎี และงานวิจัยที่เกี่ยวข้อง	4
2.1.1 ความรู้ทั่วไปเกี่ยวกับรังสี	4
2.1.1.1 ต้นกำเนิดรังสี	4
2.1.1.2 ชนิดของรังสี	5
2.1.1.3 ประโยชน์ของรังสี	7
2.1.1.4 อันตรายที่เกิดจากรังสี	8
2.1.1.5 การป้องกันอันตรายจากรังสี	9
2.1.1.6 อันตรกิริยาของโฟตอนเมื่อเคลื่อนที่ผ่านตัวกลาง	11
2.1.1.7 การหาค่าการกัมมันตรังสี	14
2.1.1.8 การวัดรังสี	17
2.1.2 วัสดุเชิงประกอบ หรือวัสดุคอมโพสิต	20
2.1.2.1 วัสดุผสมที่เสริมแรงด้วยอนุภาค	21
2.1.2.2 วัสดุเสริมแรงด้วยเส้นใย	22
2.1.3 งานวิจัยที่เกี่ยวข้องกับวัสดุคอมโพสิต	22
2.1.4 งานวิจัยที่เกี่ยวข้องกับวัสดุคอมโพสิตเพื่อกำบังรังสี	26
2.1.5 งานวิจัยที่เกี่ยวข้องกับการพัฒนาพอลิเมอร์กำบังรังสี	27
บทที่ 3 สารเคมี อุปกรณ์ เครื่องมือ และวิธีการทดลอง	31
3.1 สารเคมี	31
3.2 อุปกรณ์ และเครื่องมือ	34
3.3 วิธีการทดลอง	38
3.2.1 การศึกษาการเตรียมสูตรยางธรรมชาติผสมบิสมันท์ออกไซด์โดยมีการแปร ปริมาณของบิสมันท์ออกไซด์	38

สารบัญ (ต่อ)

	หน้า
3.2.2 การศึกษาการเตรียมสูตรยางธรรมชาติผสมสารตัวเติมสำหรับการกำบังรังสีโดยมีการแปรชนิดของสารตัวเติมสำหรับการกำบังรังสี	39
3.2.3 การศึกษาผลการเตรียมยางกำบังรังสี โดยมีการแปรชนิดของยางธรรมชาติที่มีการเติมบิสมีทออกไซด์เป็นสารกำบังรังสี	40
3.2.4 การศึกษาผลของการเปรียบเทียบสมบัติเชิงกล และสมบัติทางด้านรังสีระหว่างบิสมีทออกไซด์ และตะกั่วออกไซด์ในยางธรรมชาติ	40
3.2.5 การทดสอบสมบัติคอมโพสิตของยางธรรมชาติที่เตรียมได้	41
3.2.5.1 การทดสอบเวลาคงรูปของยางธรรมชาติ	41
3.2.5.2 การทดสอบปริมาณการเชื่อมขวางของยางธรรมชาติ	41
3.2.5.3 การทดสอบลักษณะทางสัณฐานวิทยา และการกระจายตัวของธาตุ	42
3.2.5.4 การทดสอบสมบัติเชิงกล	42
3.2.5.5 การทดสอบสมบัติทางด้านรังสี	44
3.2.5.6 การทดสอบสมบัติเชิงกลของคอมโพสิตของยางธรรมชาติหลังได้รับรังสี	47
บทที่ 4 ผลการทดลอง และวิจารณ์ผลการทดลอง	48
4.1 ผลของการเตรียมสูตรยางธรรมชาติผสมบิสมีทออกไซด์ โดยมีการแปรปริมาณของบิสมีทออกไซด์	48
4.1.1 ผลของการแปรปริมาณบิสมีทออกไซด์ ต่อระยะเวลาในการคงรูปคอมโพสิตของยางธรรมชาติ	48
4.1.2 ผลของการแปรปริมาณบิสมีทออกไซด์ต่อปริมาณการเชื่อมขวางของคอมโพสิตของยางธรรมชาติ	49
4.1.3 ผลของการแปรปริมาณบิสมีทออกไซด์ ต่อการกระจายตัว และปริมาณการกระจายตัวของธาตุของบิสมีทออกไซด์ในคอมโพสิตของยางธรรมชาติ	50
4.1.4 ผลของการแปรปริมาณบิสมีทออกไซด์ ต่อสมบัติเชิงกลของคอมโพสิตของยางธรรมชาติ	52
4.1.5 ผลของการแปรปริมาณบิสมีทออกไซด์ ต่อสมบัติทางด้านรังสีของคอมโพสิตของยางธรรมชาติ	58

สารบัญ (ต่อ)

	หน้า
4.1.6 ผลของการทดสอบสมบัติเชิงกลหลังผ่านการกำบังรังสีที่มีการฉายรังสีซ้ำ 10 และ 20 ครั้งของคอมโพสิตของยางธรรมชาติ	65
4.2 ผลของการเตรียมสูตรยางธรรมชาติผสมสารตัวเติมสำหรับการกำบังรังสีที่ ปริมาณ 150 phr โดยมีการแปรชนิดของสารตัวเติมสำหรับการกำบังรังสี	71
4.2.1 ผลของการแปรชนิดของสารตัวเติมสำหรับการกำบังรังสีต่อระยะเวลา ในการคงรูปของคอมโพสิตของยางธรรมชาติ	71
4.2.2 ผลของการแปรชนิดของสารตัวเติมสำหรับการกำบังรังสีต่อปริมาณ การเชื่อมขวางของคอมโพสิตของยางธรรมชาติ	72
4.2.3 ผลของการแปรชนิดของสารตัวเติมสำหรับการกำบังรังสีต่อการ กระจายตัว และปริมาณการกระจายตัวของธาตุในคอมโพสิตของ ยางธรรมชาติ	72
4.2.4 ผลของการแปรชนิดของสารตัวเติมสำหรับการกำบังรังสีต่อสมบัติ เชิงกลของคอมโพสิตของยางธรรมชาติ	75
4.2.5 ผลของการแปรชนิดของสารตัวเติมสำหรับการกำบังรังสีต่อสมบัติ การลดทอนรังสีของคอมโพสิตของยางธรรมชาติ	78
4.3 ผลของการเตรียมยางธรรมชาติกำบังรังสี โดยมีการแปรชนิดของยาง ธรรมชาติที่มีการเติมบิสมีท์ออกไซด์เป็นสารกำบังรังสี	88
4.3.1 ผลของการแปรชนิดของยางที่แตกต่างกัน ต่อระยะเวลาในการคงรูป ของคอมโพสิตของยางธรรมชาติ ที่มีการเติมบิสมีท์ออกไซด์เป็นสาร กำบังรังสี	88
4.3.2 ผลของการแปรชนิดของยางธรรมชาติที่แตกต่างกัน ต่อปริมาณการ เชื่อมขวางของคอมโพสิตของยางธรรมชาติที่มีการเติมบิสมีท์ออกไซด์ เป็นสารกำบังรังสี	89
4.3.3 ผลของการแปรชนิดของยางที่แตกต่างกันต่อการกระจายตัว และ ปริมาณการกระจายตัวของบิสมีท์ออกไซด์ในคอมโพสิตของยาง ธรรมชาติที่มีการเติมบิสมีท์ออกไซด์เป็นสารกำบังรังสี	89
4.3.4 ผลของการแปรชนิดของยางธรรมชาติต่อสมบัติเชิงกลของคอมโพสิต ของยางธรรมชาติที่มีการเติมบิสมีท์ออกไซด์เป็นสารกำบังรังสี	91
4.3.5 ผลของการแปรชนิดของยางธรรมชาติต่อสมบัติการลดทอนรังสีของ คอมโพสิตของยางธรรมชาติที่มีเติมบิสมีท์ออกไซด์เป็นสารกำบังรังสี	96

สารบัญ (ต่อ)

	หน้า
4.3.6 ผลของการทดสอบสมบัติเชิงกลหลังผ่านการกำบังรังสีที่มีการฉายรังสี ซ้ำ 10 และ 20 ครั้งของคอมโพสิตของยางธรรมชาติที่มีการแปรชนิด ของยางธรรมชาติ และเติมบิสมันท์ออกไซด์เป็นสารกำบังรังสี	103
4.4 ผลของการเปรียบเทียบคอมโพสิตของยางธรรมชาติที่มีการเติมบิสมันท์ ออกไซด์ หรือตะกั่วออกไซด์เป็นสารกำบังรังสี	108
4.4.1 ผลการเปรียบเทียบคอมโพสิตของยางธรรมชาติที่มีการเติมบิสมันท์ ออกไซด์ หรือตะกั่วออกไซด์เป็นสารกำบังรังสี ต่อระยะเวลาในการคง รูปของคอมโพสิตของยางธรรมชาติ	108
4.4.2 ผลของการเปรียบเทียบคอมโพสิตของยางธรรมชาติที่มีการเติมบิสมันท์ ออกไซด์ หรือตะกั่วออกไซด์เป็นสารกำบังรังสีต่อปริมาณการเชื่อม ขวางของคอมโพสิตของยางธรรมชาติ	109
4.4.3 ผลของการเปรียบเทียบคอมโพสิตของยางธรรมชาติมีการเติมบิสมันท์ ออกไซด์ หรือตะกั่วออกไซด์เป็นสารกำบังรังสีต่อการกระจายตัวของ สารในคอมโพสิตของยางธรรมชาติ	109
4.4.4 ผลของการเปรียบเทียบคอมโพสิตของยางธรรมชาติที่มีการเติมบิสมันท์ ออกไซด์ หรือตะกั่วออกไซด์เป็นสารกำบังรังสีต่อสมบัติเชิงกลของ คอมโพสิตของยางธรรมชาติ	111
4.4.5 ผลของการเปรียบเทียบคอมโพสิตของยางธรรมชาติที่มีการเติมบิสมันท์ ออกไซด์ หรือตะกั่วออกไซด์เป็นสารกำบังรังสีต่อสมบัติการลดทอน รังสีของคอมโพสิตของยางธรรมชาติ	115
4.4.6 ผลของการทดสอบสมบัติเชิงกลหลังผ่านการกำบังรังสีที่มีการฉายรังสี ซ้ำ 10 และ 20 ครั้งของคอมโพสิตของยางธรรมชาติมีการเติมบิสมันท์ ออกไซด์ออกไซด์ และตะกั่วออกไซด์เป็นสารกำบังรังสี	123
บทที่ 5 สรุปผลการทดลอง	128
5.1 การศึกษาการเตรียมสูตรยางธรรมชาติผสมบิสมันท์ออกไซด์ โดยมีการแปร ปริมาณของบิสมันท์ออกไซด์	128
5.2 การศึกษาการเตรียมสูตรยางธรรมชาติผสมสารตัวเติมสำหรับการกำบังรังสี โดยมีการแปรชนิดของสารตัวเติมสำหรับการกำบังรังสี	128

สารบัญ (ต่อ)

	หน้า
5.3 การศึกษาผลการเตรียมคอมพิวเตอร์ของยางธรรมชาติ โดยมีการแปรชนิดของ ยางธรรมชาติที่มีการเติมบิสฟีนอลเอเป็นสารกำบังรังสี	128
5.4 การศึกษาผลการเปรียบเทียบคอมพิวเตอร์ของยางธรรมชาติที่มีการเติมบิสฟีนอล เอ หรือตะกั่วออกไซด์เป็นสารกำบังรังสี	129
บรรณานุกรม	130
ภาคผนวก	
- ภาคผนวก ก	137
- ภาคผนวก ข	140
- ภาคผนวก ค	166
- ภาคผนวก ง	177
- ภาคผนวก จ	193
ประวัติผู้เขียน	199

สารบัญตาราง

ตารางที่		หน้า
3.1	สูตรในการเตรียมคอมโพสิตของยางธรรมชาติกับสารบิสมัทออกไซด์ (Bi_2O_3)	38
3.2	สูตรในการเตรียมคอมโพสิตของยางธรรมชาติกับสารตัวเติมสำหรับการทำบั้งรังสี	39
3.3	สูตรในการเตรียมคอมโพสิตของยางกับสารบิสมัทออกไซด์ (Bi_2O_3)	40
3.4	สูตรในการเตรียมคอมโพสิตของยางธรรมชาติกับสารบิสมัทออกไซด์ (Bi_2O_3) หรือตะกั่วออกไซด์ (PbO)	41
4.1	ระยะเวลาในการคงรูปร่างของคอมโพสิตของยางธรรมชาติที่มีปริมาณของบิสมัทออกไซด์ที่แตกต่างกัน	49
4.2	ปริมาณของการเชื่อมขวางของคอมโพสิตของยางธรรมชาติที่มีปริมาณของบิสมัทออกไซด์ที่แตกต่างกัน	50
4.3	ร้อยละปริมาณการกระจายตัวของธาตุในคอมโพสิตของยางธรรมชาติที่มีการแปรปริมาณของบิสมัทออกไซด์	51
4.4	มอดูลัสที่ระยะยืด 100% (Modulus at 100% elongation) และความแข็ง (Hardness) ของคอมโพสิตของยางธรรมชาติที่มีปริมาณของบิสมัทออกไซด์ที่แตกต่างกัน	52
4.5	ความต้านทานต่อแรงดึง (Tensile strength) และระยะยืด ณ จุดขาด (% Elongation at break) ของคอมโพสิตของยางธรรมชาติที่มีปริมาณของบิสมัทออกไซด์ที่แตกต่างกัน	53
4.6	ความถ่วงจำเพาะ (Specific gravity) ของคอมโพสิตของยางธรรมชาติที่มีปริมาณของบิสมัทออกไซด์ที่แตกต่างกัน	56
4.7	มอดูลัสที่ระยะยืด 100% และความแข็ง หลังผ่านการกำบังรังสีที่มีการฉายรังสีซ้ำ 10 และ 20 ครั้งของคอมโพสิตของยางธรรมชาติ	66
4.8	ความต้านทานต่อแรงดึง และระยะยืด ณ จุดขาด หลังผ่านการกำบังรังสีที่มีการฉายรังสีซ้ำ 10 และ 20 ครั้งของคอมโพสิตของยางธรรมชาติ	67
4.8	ความถ่วงจำเพาะ หลังผ่านการกำบังรังสีที่มีการฉายรังสีซ้ำ 10 และ 20 ครั้งของคอมโพสิตของยางธรรมชาติ	68

สารบัญตาราง (ต่อ)

ตารางที่		หน้า
4.9	ปริมาณการเชื่อมขวาง หลังผ่านการกำบังรังสีของคอมโพสิตของยางธรรมชาติที่มีบิสมัทออกไซด์ปริมาณ 150 phr	68
4.10	ระยะเวลาในการคงรูปยางของคอมโพสิตของยางธรรมชาติที่มีชนิดของสารตัวเติมสำหรับการกำบังรังสีที่แตกต่างกัน	71
4.11	ปริมาณการเชื่อมขวางของคอมโพสิตของยางธรรมชาติที่มีชนิดของสารตัวเติมสำหรับการกำบังรังสีที่แตกต่างกัน	72
4.12	ร้อยละปริมาณการกระจายตัวของธาตุในคอมโพสิตของยางธรรมชาติที่มีการแปรชนิดของสารตัวเติมสำหรับการกำบังรังสี	74
4.13	มอดูลัสที่ระยะยืด 100 % และความแข็งของคอมโพสิตของยางธรรมชาติที่มีการแปรชนิดของสารตัวเติมสำหรับการกำบังรังสีที่แตกต่างกัน	75
4.14	ความต้านทานต่อแรงดึง และระยะยืด ณ จุดขาดของคอมโพสิตของยางธรรมชาติที่มีการแปรชนิดของสารตัวเติมสำหรับการกำบังรังสีที่แตกต่างกัน	76
4.15	ความถ่วงจำเพาะของคอมโพสิตของยางธรรมชาติที่มีการแปรชนิดของสารตัวเติมสำหรับการกำบังรังสีที่แตกต่างกัน	77
4.16	ระยะเวลาในการคงรูปยางของคอมโพสิตของยางธรรมชาติ โดยมีการแปรชนิดของยางธรรมชาติที่มีการเติมบิสมัทออกไซด์เป็นสารกำบังรังสี	88
4.17	ปริมาณการเชื่อมขวางของคอมโพสิตของยางธรรมชาติ โดยมีการแปรชนิดของยางธรรมชาติที่มีการเติมบิสมัทออกไซด์เป็นสารกำบังรังสี	89
4.18	ร้อยละปริมาณการกระจายตัวของธาตุในคอมโพสิตของยางธรรมชาติที่มีการแปรชนิดของยางธรรมชาติที่แตกต่างกัน	90
4.19	มอดูลัสที่ระยะยืด 100% และความแข็งของคอมโพสิตของยางธรรมชาติที่มีการแปรชนิดของยางธรรมชาติ และเติมบิสมัทออกไซด์เป็นสารกำบังรังสี	92

สารบัญตาราง (ต่อ)

ตารางที่		หน้า
4.20	ความต้านทานต่อแรงดึง และระยะยืด ณ จุดขาดของคอมโพสิตของยางธรรมชาติที่มีการแปรชนิดของยางธรรมชาติ และเติมบิสม์ท์ออกไซด์เป็นสารก้ำบั้งรังสี	93
4.21	ความถ่วงจำเพาะของคอมโพสิตของยางธรรมชาติที่มีการแปรชนิดของยางธรรมชาติ และเติมบิสม์ท์ออกไซด์เป็นสารก้ำบั้งรังสี	94
4.22	มอดูลัสที่ระยะยืด 100% และความแข็ง หลังผ่านการก้ำบั้งรังสีที่มีการฉายรังสีซ้ำ 10 และ 20 ครั้งของคอมโพสิตของยางธรรมชาติที่มีการแปรชนิดของยางธรรมชาติ และเติมบิสม์ท์ออกไซด์เป็นสารก้ำบั้งรังสี	103
4.23	ความต้านทานต่อแรงดึง และระยะยืด ณ จุดขาด หลังผ่านการก้ำบั้งรังสีที่มีการฉายรังสีซ้ำ 10 และ 20 ครั้งของคอมโพสิตของยางธรรมชาติที่มีการแปรชนิดของยางธรรมชาติ และเติมบิสม์ท์ออกไซด์เป็นสารก้ำบั้งรังสี	104
4.24	ความถ่วงจำเพาะ หลังผ่านการก้ำบั้งรังสีที่มีการฉายรังสีซ้ำ 10 และ 20 ครั้งของคอมโพสิตของยางธรรมชาติที่มีการแปรชนิดของยางธรรมชาติ และเติมบิสม์ท์ออกไซด์เป็นสารก้ำบั้งรังสี	105
4.25	ปริมาณการเชื่อมขวาง หลังผ่านการก้ำบั้งรังสีที่มีการฉายรังสีซ้ำ 10 และ 20 ครั้งของคอมโพสิตของยางธรรมชาติที่มีการแปรชนิดของยางธรรมชาติ และเติมบิสม์ท์ออกไซด์เป็นสารก้ำบั้งรังสี	106
4. 26	ระยะเวลาในการคงรูปร่างของคอมโพสิตของยางธรรมชาติที่มีการเติมบิสม์ท์ออกไซด์ หรือตะกั่วออกไซด์เป็นสารก้ำบั้งรังสี	108
4.27	ปริมาณการเชื่อมขวางของคอมโพสิตของยางธรรมชาติที่มีการเติมบิสม์ท์ออกไซด์หรือตะกั่วออกไซด์เป็นสารก้ำบั้งรังสี	109
4.28	ร้อยละปริมาณการกระจายตัวของธาตุในคอมโพสิตของยางธรรมชาติ เปรียบเทียบระหว่างคอมโพสิตของยางธรรมชาติที่มีการเติมบิสม์ท์ออกไซด์ หรือตะกั่วออกไซด์เป็นสารก้ำบั้งรังสี	111
4.29	มอดูลัสที่ระยะยืด 100% และความแข็งของคอมโพสิตของยางธรรมชาติที่ เปรียบเทียบระหว่างยางธรรมชาติที่มีการเติมบิสม์ท์ออกไซด์ หรือตะกั่วออกไซด์	112

สารบัญตาราง (ต่อ)

ตารางที่		หน้า
4.30	ความต้านทานต่อแรงดึง และระยะยืด ณ จุดขาดของคอมโพสิตของยางธรรมชาติที่เปรียบเทียบกับระหว่างยางธรรมชาติที่มีการเติมบิสหมัทออกไซด์ หรือตะกั่วออกไซด์	113
4.31	ความถ่วงจำเพาะของคอมโพสิตของยางธรรมชาติที่เปรียบเทียบกับระหว่างยางธรรมชาติที่มีการเติมบิสหมัทออกไซด์ หรือตะกั่วออกไซด์	114
4.32	มอดูลัสที่ระยะยืด 100% และความแข็ง หลังผ่านการกำบังรังสีที่มีการฉายรังสีซ้ำ 10 และ 20 ครั้งของคอมโพสิตของยางธรรมชาติที่มีการเติมบิสหมัทออกไซด์ และตะกั่วออกไซด์เป็นสารกำบังรังสี	123
4.33	ความต้านทานต่อแรงดึง และระยะยืด ณ จุดขาด หลังผ่านการกำบังรังสีที่มีการฉายรังสีซ้ำ 10 และ 20 ครั้งของคอมโพสิตของยางธรรมชาติที่มีการเติมบิสหมัทออกไซด์ และตะกั่วออกไซด์เป็นสารกำบังรังสี	125
4.34	ความถ่วงจำเพาะ หลังผ่านการกำบังรังสีที่มีการฉายรังสีซ้ำ 10 และ 20 ครั้งของคอมโพสิตของยางธรรมชาติที่มีการเติมบิสหมัทออกไซด์ และตะกั่วออกไซด์เป็นสารกำบังรังสี	126
4.35	ปริมาณการเชื่อมขวาง หลังผ่านการกำบังรังสีที่มีการฉายรังสีซ้ำ 10 และ 20 ครั้งของคอมโพสิตของยางธรรมชาติที่มีการเติมบิสหมัทออกไซด์ และตะกั่วออกไซด์เป็นสารกำบังรังสี	127

สารบัญรูปภาพ

รูปที่		หน้า
2.1	แถบพลังงานของคลื่นแม่เหล็กไฟฟ้า	4
2.2	การแตกตัวเป็นไอออน และสถานการณ์กระตุ้นของธาตุออกซิเจน	6
2.3	ความสามารถในการทะลุทะลวงของรังสีแอลฟา รังสีเบต้า และรังสีแกมมา	7
2.4	ปรากฏการณ์โฟโตอิเล็กทริก	12
2.5	การกระเจิงแบบคอมป์ตัน (Compton Scattering)	13
2.6	ปรากฏการณ์แพร์โปรดักชัน (Pair Production)	14
2.6	ระบบการวัดรังสี	18
2.7	วงจรการทำงานของระบบการวัดรังสีแบบซินทิลเลชัน (Scintillator)	19
2.8	ลักษณะต่าง ๆ ของเฟสที่กระจายตัวอยู่ในเมทริกซ์ที่ส่งผลต่อสมบัติสุดท้ายของวัสดุคอมโพสิต	21
3.1	โครงสร้างของยางธรรมชาติ (Natural Rubber)	31
3.2	โครงสร้างของยางธรรมชาติอีพอกไซด์ (Epoxy Natural Rubber: ENR)	32
3.3	เครื่องผสมยางแบบปิด (Internal mixer)	34
3.4	เครื่องรีโอมิเตอร์แบบคายนเคลื่อนที่ (Moving Die Rheometers: MDR)	34
3.5	เครื่องอัดน้ำ (Compression molding)	35
3.6	เครื่องทดสอบความต้านทานต่อแรงดึง (Universal testing machine)	35
3.7	เครื่องวัดความแข็ง (Hardness tester)	36
3.8	เครื่องวัดความถ่วงจำเพาะ (Specific tester)	36
3.9	กล้องจุลทรรศน์แบบส่องกราด (Scanning Electron Microscope: SEM)	37
3.10	ชุดอุปกรณ์การทดลองการกระเจิงคอมป์ตัน	37
3.11	เครื่องวัดการดูดกลืนรังสีเอ็กซ์ (X-ray)	38
3.12	ตัวอย่างที่ใช้ทดสอบรูปดัมเบล	42
3.13	แหล่งกำเนิดรังสีแกมมา และแผนภาพโครงสร้างแหล่งกำเนิดรังสีแกมมา	44
3.14	หัววัดรังสี NaI (TL) Scintillation และแผนภาพแสดงโครงสร้างหัววัดรังสีแกมมา	45
3.15	ชุดอุปกรณ์ และแผนภาพการทดลองการกระเจิงคอมป์ตัน	45
3.16	กราฟของจำนวนโฟตอนที่นับได้จากหัววัดรังสี	46

สารบัญรูปภาพ (ต่อ)

รูปที่		หน้า
3.17	ชุดอุปกรณ์การทดสอบทางด้านรังสีเอ็กซ์เรย์	46
4.1	การกระจายตัวของบิสมัทออกไซด์ในคอมโพสิตของยางธรรมชาติที่มีปริมาณของบิสมัทออกไซด์ที่แตกต่างกัน	51
4.2	มอดูลัสที่ระยะยัด 100% และความแข็งของคอมโพสิตของยางธรรมชาติที่มีปริมาณของบิสมัทออกไซด์ที่แตกต่างกัน	53
4.3	ความต้านทานต่อแรงดึง และระยะยัด ณ จุดขาดของคอมโพสิตของยางธรรมชาติที่มีปริมาณของบิสมัทออกไซด์ที่แตกต่างกัน	54
4.4	กระบวนการส่งผ่านแรงของวัสดุคอมโพสิตที่มีการกระจายตัวของสารแตกต่างกัน ซึ่งส่งผลต่อสมบัติเชิงกลของวัสดุคอมโพสิต	55
4.5	ความถ่วงจำเพาะของคอมโพสิตของยางธรรมชาติที่มีปริมาณของบิสมัทออกไซด์ที่แตกต่างกัน	56
4.6	สัมประสิทธิ์การลดทอนรังสีเชิงมวล (Total mass attenuation coefficient: μ_m) ของคอมโพสิตของยางธรรมชาติที่มีปริมาณของบิสมัทออกไซด์ที่แตกต่างกัน ทดสอบด้วยรังสีแกมมาที่พลังงาน 223-662 keV	58
4.7	เลขอะตอมยังผล (Effective atomic number: Z_{eff}) ของคอมโพสิตของยางธรรมชาติที่มีปริมาณของบิสมัทออกไซด์ที่แตกต่างกัน ทดสอบด้วยรังสีแกมมาที่พลังงาน 223-662 keV	59
4.8	ความหนาแน่นอิเล็กตรอน (Effective atomic density: N_{e1}) ของคอมโพสิตของยางธรรมชาติที่มีปริมาณของบิสมัทออกไซด์ที่แตกต่างกัน ทดสอบด้วยรังสีแกมมาที่พลังงาน 223-662 keV	59
4.9	ความหนาครึ่งค่า (Half value layer: HVL) และความหนาเทียบเท่าตะกั่ว (Lead equivalent) ของคอมโพสิตของยางธรรมชาติที่มีปริมาณของบิสมัทออกไซด์ที่แตกต่างกัน ทดสอบด้วยรังสีแกมมาที่พลังงาน 662 keV	60

สารบัญรูปร่างภาพ (ต่อ)

รูปที่		หน้า
4.10	เปรียบเทียบความหนาครึ่งค่าของคอมโพสิตของยางธรรมชาติที่มีปริมาณของบิสมัทออกไซด์ที่แตกต่างกันกับกระจกเชิงพาณิชย์ (commercial window) เซอร์เพนไทน์ (serpentine) คอนกรีต (ordinary concrete) และเฮมาไทต์-เซอร์เพนไทน์ (hematite-serpentine) ทดสอบด้วยรังสีแกมมาที่พลังงาน 662 keV	61
4.11	สัมประสิทธิ์การลดทอนรังสีเชิงเส้น (Linear attenuation coefficient: μ) ของคอมโพสิตของยางธรรมชาติที่มีปริมาณของบิสมัทออกไซด์ที่แตกต่างกัน ทดสอบด้วยรังสีเอ็กซ์ที่พลังงาน 50- 120 kVp	63
4.12	ความหนาครึ่งค่า และความหนาเทียบเท่าตะกั่วของคอมโพสิตของยางธรรมชาติที่มีปริมาณของบิสมัทออกไซด์ที่แตกต่างกัน ทดสอบด้วยรังสีเอ็กซ์ที่พลังงาน 120 kVp	64
4.13	เปรียบเทียบความหนาครึ่งค่าของคอมโพสิตของยางธรรมชาติที่มีปริมาณของบิสมัทออกไซด์ที่แตกต่างกันกับกระจกเชิงพาณิชย์ (commercial window) และกระจกกำบังรังสีเอ็กซ์ (X -ray window) ทดสอบด้วยรังสีเอ็กซ์ที่พลังงาน 120 kVp	65
4.14	มอดูลัสที่ระยะยืด 100% และความแข็ง หลังผ่านการกำบังรังสีที่มีการฉายรังสีซ้ำ 10 และ 20 ครั้งของคอมโพสิตของยางธรรมชาติ	66
4.15	ความต้านทานต่อแรงดึง และระยะยืด ณ จุดขาด หลังผ่านการกำบังรังสีที่มีการฉายรังสีซ้ำ 10 และ 20 ครั้งของคอมโพสิตของยางธรรมชาติ	67
4.16	ความถ่วงจำเพาะ หลังผ่านการกำบังรังสีที่มีการฉายรังสีซ้ำ 10 และ 20 ครั้งของคอมโพสิตของยางธรรมชาติ	68
4.17	การกระจายตัว และสัญญาณวิทยาของสารตัวเติมสำหรับการกำบังรังสีในคอมโพสิตของยางธรรมชาติที่มีการแปรชนิดของสารตัวเติมสำหรับการกำบังรังสีที่แตกต่างกัน	73
4.18	มอดูลัสที่ระยะยืด 100% และความแข็งของคอมโพสิตของยางธรรมชาติที่มีการแปรชนิดของสารตัวเติมสำหรับการกำบังรังสีที่แตกต่างกัน	75

สารบัญรูปลูกภาพ (ต่อ)

รูปที่		หน้า
4.19	ความต้านทานต่อแรงดึง และระยะยืด ณ จุดขาดของคอมโพสิตของยางธรรมชาติที่มีการแปรชนิดของสารตัวเติมสำหรับการกำบังรังสีที่แตกต่างกัน	76
4.20	ความถ่วงจำเพาะของคอมโพสิตของยางธรรมชาติที่มีการแปรชนิดของสารตัวเติมสำหรับการกำบังรังสีที่แตกต่างกัน	77
4.21	สัมประสิทธิ์การลดทอนรังสีเชิงมวลของคอมโพสิตของยางธรรมชาติที่มีการแปรชนิดของสารตัวเติมสำหรับการกำบังรังสีที่แตกต่างกัน ทดสอบด้วยรังสีแกมมาที่พลังงาน 223-662 keV	79
4.22	เลขอะตอมยังผลของคอมโพสิตของยางธรรมชาติที่มีการแปรชนิดของสารตัวเติมสำหรับการกำบังรังสีที่แตกต่างกัน ทดสอบด้วยรังสีแกมมาที่พลังงาน 223-662 keV	79
4.23	ความหนาแน่นอิเล็กตรอนของคอมโพสิตของยางธรรมชาติที่มีการแปรชนิดของสารตัวเติมสำหรับการกำบังรังสีที่แตกต่างกัน ทดสอบด้วยรังสีแกมมาที่พลังงาน 223-662 keV	80
4.24	ความหนาครั้งค่า และความหนาเทียบเท่าตะกั่วของคอมโพสิตของยางธรรมชาติที่มีการแปรชนิดของสารตัวเติมสำหรับการกำบังรังสีที่แตกต่างกัน ทดสอบด้วยรังสีแกมมาที่พลังงาน 662 keV	80
4.25	เปรียบเทียบความหนาครั้งค่าของคอมโพสิตของยางธรรมชาติที่มีชนิดของสารตัวเติมสำหรับการกำบังรังสีที่แตกต่างกันกับกระจกเชิงพาณิชย์ เซอร์เพนไทน์ คอนกรีต และเฮมาไทด์-เซอร์เพนไทน์ ทดสอบด้วยรังสีแกมมาที่พลังงาน 662 keV	81
4.26	สัมประสิทธิ์การลดทอนรังสีเชิงเส้นของคอมโพสิตของยางธรรมชาติที่มีการแปรชนิดของสารตัวเติมสำหรับการกำบังรังสีที่แตกต่างกัน ทดสอบรังสีด้วยเอ็กซ์ที่พลังงาน 50-120 kVp	84
4.27	ความหนาครั้งค่า และความหนาเทียบเท่าตะกั่วของคอมโพสิตของยางธรรมชาติที่มีการแปรชนิดของสารตัวเติมสำหรับการกำบังรังสีที่แตกต่างกัน ทดสอบด้วยรังสีเอ็กซ์ที่พลังงาน 120 kVp	84
4.29	การกระจายตัวของบิสมัทออกไซด์ในคอมโพสิตของยางธรรมชาติที่มีการแปรชนิดของยางธรรมชาติที่แตกต่างกัน	90
4.30	มอดูลัสที่ระยะยืด 100% และความแข็งของคอมโพสิตของยางธรรมชาติที่มีการแปรชนิดของยางธรรมชาติ และเติมบิสมัทออกไซด์เป็นสารกำบังรังสี	92

สารบัญรูปร่างภาพ (ต่อ)

รูปที่		หน้า
4.31	ความต้านทานต่อแรงดึง และระยะยืด ณ จุดขาดของคอมโพสิตของยางธรรมชาติที่มีการแปรชนิดของยางธรรมชาติ และเติมบิสม์ทออกไซด์เป็นสารกำบังรังสี	93
4.32	ความถ่วงจำเพาะของคอมโพสิตของยางธรรมชาติที่มีการแปรชนิดของยางธรรมชาติ และเติมบิสม์ทออกไซด์เป็นสารกำบังรังสี	94
4.33	สัมประสิทธิ์การลดทอนรังสีเชิงมวลของคอมโพสิตของยางธรรมชาติที่มีการแปรชนิดของยางธรรมชาติ และเติมบิสม์ทออกไซด์เป็นสารกำบังรังสีทดสอบด้วยรังสีแกมมาที่พลังงาน 223-662 keV	96
4.34	เลขอะตอมยังผลของคอมโพสิตของยางธรรมชาติที่มีการแปรชนิดของยางธรรมชาติ และเติมบิสม์ทออกไซด์เป็นสารกำบังรังสี ทดสอบด้วยรังสีแกมมาที่พลังงาน 223-662 keV	97
4.35	ความหนาแน่นอิเล็กตรอนของคอมโพสิตของยางธรรมชาติที่มีการแปรชนิดของยางธรรมชาติ และเติมบิสม์ทออกไซด์เป็นสารกำบังรังสี ทดสอบด้วยรังสีแกมมาที่พลังงาน 223-662 keV	97
4.36	ความหนาแน่นค่าของคอมโพสิตของยางธรรมชาติที่มีการแปรชนิดของยางธรรมชาติ และเติมบิสม์ทออกไซด์เป็นสารกำบังรังสี ทดสอบด้วยรังสีแกมมาที่พลังงาน 662 keV	98
4.37	เปรียบเทียบความหนาแน่นค่าของคอมโพสิตของยางธรรมชาติที่มีการแปรชนิดของยางธรรมชาติ และเติมบิสม์ทออกไซด์เป็นสารกำบังรังสีทดสอบที่รังสีกับกระจกเชิงพาณิชย์ เซอร์เพนไทน์ คอนกรีต และเฮมาไทด์-เซอร์เพนไทน์ ทดสอบด้วยรังสีแกมมาพลังงาน 662 keV	99
4.38	สัมประสิทธิ์การลดทอนรังสีเชิงเส้น ของคอมโพสิตของยางธรรมชาติที่มีการแปรชนิดของยางธรรมชาติ และเติมบิสม์ทออกไซด์เป็นสารกำบังรังสี ทดสอบด้วยรังสีเอ็กซ์ที่พลังงาน 50-120 kVp	100
4.39	ความหนาแน่นค่า และความหนาแน่นเทียบเท่าตะกั่วของคอมโพสิตของยางธรรมชาติที่มีการแปรชนิดของยางธรรมชาติ และเติมบิสม์ทออกไซด์เป็นสารกำบังรังสี ทดสอบด้วยรังสีเอ็กซ์พลังงาน 120 kVp	101
4.40	เปรียบเทียบความหนาแน่นค่าของคอมโพสิตของยางธรรมชาติที่มีการแปรชนิดของยางธรรมชาติ และเติมบิสม์ทออกไซด์เป็นสารกำบังรังสีกับกระจกเชิงพาณิชย์ และกระจกกำบังรังสีเอ็กซ์ ทดสอบด้วยรังสีเอ็กซ์พลังงาน 120 kVp	101

สารบัญรูปร่างภาพ (ต่อ)

รูปที่		หน้า
4.41	มอดูลัสที่ระยะยึด 100% และความแข็ง หลังผ่านการกำบังรังสีที่มีการฉายรังสีซ้ำ 10 และ 20 ครั้งของคอมโพสิตของยางธรรมชาติที่มีการแปรชนิดของยางธรรมชาติ และเติมบิสหมัทออกไซด์เป็นสารกำบังรังสี	104
4.42	ความต้านทานต่อแรงดึง และระยะยึด ณ จุดขาด หลังผ่านการกำบังรังสีที่มีการฉายรังสีซ้ำ 10 และ 20 ครั้งของคอมโพสิตของยางธรรมชาติที่มีการแปรชนิดของยางธรรมชาติ และเติมบิสหมัทออกไซด์เป็นสารกำบังรังสี	105
4.43	ความถ่วงจำเพาะ หลังผ่านการกำบังรังสีที่มีการฉายรังสีซ้ำ 10 และ 20 ครั้งของคอมโพสิตของยางธรรมชาติที่มีการแปรชนิดของยางธรรมชาติ และเติมบิสหมัทออกไซด์เป็นสารกำบังรังสี	106
4.44	การกระจายตัว และสัณฐานวิทยาของสารที่ทำหน้าที่ในการกำบังรังสีเปรียบเทียบกับระหว่างสารประกอบออกไซด์ และตะกั่วในยางธรรมชาติ	110
4.45	มอดูลัสที่ระยะยึด 100% และความแข็งของคอมโพสิตของยางธรรมชาติที่เปรียบเทียบระหว่างยางธรรมชาติที่มีการเติมบิสหมัทออกไซด์ หรือตะกั่วออกไซด์	112
4.46	ความต้านทานต่อแรงดึง และระยะยึด ณ จุดขาดของคอมโพสิตของยางธรรมชาติที่เปรียบเทียบระหว่างยางธรรมชาติที่มีการเติมบิสหมัทออกไซด์ หรือตะกั่วออกไซด์	113
4.47	ความถ่วงจำเพาะของคอมโพสิตของยางธรรมชาติที่เปรียบเทียบระหว่างยางธรรมชาติที่มีการเติมบิสหมัทออกไซด์ หรือตะกั่วออกไซด์	114
4.48	สัมประสิทธิ์การลดทอนรังสีเชิงมวลของคอมโพสิตของยางธรรมชาติที่เปรียบเทียบระหว่างยางธรรมชาติที่มีการเติมบิสหมัทออกไซด์ หรือตะกั่วออกไซด์เป็นสารกำบังรังสี ทดสอบด้วยรังสีแกมมาที่พลังงาน 223-662 keV	116
4.49	เลขอะตอมยังผลของคอมโพสิตของยางธรรมชาติที่เปรียบเทียบระหว่างยางธรรมชาติที่มีการเติมบิสหมัทออกไซด์ หรือตะกั่วออกไซด์เป็นสารกำบังรังสี ทดสอบด้วยรังสีแกมมาที่พลังงาน 223-662 keV	116
4.50	ความหนาแน่นอิเล็กทรอนิกส์ของคอมโพสิตของยางธรรมชาติที่เปรียบเทียบระหว่างยางธรรมชาติที่มีการเติมบิสหมัทออกไซด์ หรือตะกั่วออกไซด์เป็นสารกำบังรังสี ทดสอบด้วยรังสีแกมมาที่พลังงาน 223-662 keV	117
4.51	ความหนาแน่นครั้งค่า และความหนาเทียบเท่าตะกั่วของคอมโพสิตของยางธรรมชาติที่เปรียบเทียบระหว่างยางธรรมชาติที่มีการเติมบิสหมัทออกไซด์ หรือตะกั่วออกไซด์เป็นสารกำบังรังสี ทดสอบด้วยรังสีแกมมาที่พลังงาน 662 keV	117

สารบัญรูปลูกภาพ (ต่อ)

รูปที่		หน้า
4.52	เปรียบเทียบความหนาครึ่งค่าของคอมโพสิตของยางธรรมชาติที่มีการเติมสารประกอบออกไซด์ และตะกั่วเป็นสารกำบังรังสี กับกระจกเชิงพาณิชย์ เซอร์เพนไทน์ คอนกรีต และเฮมาไทด์-เซอร์เพนไทน์ ทดสอบด้วยรังสีแกมมาที่พลังงาน 662 keV	118
4.53	สัมประสิทธิ์การลดทอนรังสีเชิงเส้นของการเปรียบเทียบคอมโพสิตของยางธรรมชาติที่มีการเติมบิสมัทออกไซด์ และตะกั่วออกไซด์เป็นสารกำบังรังสี ทดสอบด้วยรังสีเอ็กซ์ที่พลังงาน 50-120 kVp	120
4.54	ความหนาครึ่งค่า และความหนาเทียบเท่าตะกั่วของการเปรียบเทียบคอมโพสิตของยางธรรมชาติที่มีการเติมบิสมัทออกไซด์ และตะกั่วออกไซด์เป็นสารกำบังรังสี ทดสอบด้วยรังสีเอ็กซ์ที่พลังงาน 120 kVp	121
4.55	เปรียบเทียบความหนาครึ่งค่าของการเปรียบเทียบคอมโพสิตของยางธรรมชาติที่มีการเติมบิสมัทออกไซด์ และตะกั่วออกไซด์เป็นสารกำบังรังสี กับกระจกเชิงพาณิชย์ และกระจกกำบังรังสีเอ็กซ์ ทดสอบด้วยรังสีเอ็กซ์ที่พลังงาน 120 kVp	121
4.56	มอดูลัสที่ระยะยืด 100% และความแข็ง หลังผ่านการกำบังรังสีที่มีการฉายรังสีซ้ำ 10 และ 20 ครั้งของคอมโพสิตของยางธรรมชาติที่มีการเติมบิสมัทออกไซด์ และตะกั่วออกไซด์เป็นสารกำบังรังสี	124
4.57	ความต้านทานต่อแรงดึง และระยะยืด ณ จุดขาด หลังผ่านการกำบังรังสีที่มีการฉายรังสีซ้ำ 10 และ 20 ครั้งของคอมโพสิตของยางธรรมชาติที่มีการเติมบิสมัทออกไซด์ และตะกั่วออกไซด์เป็นสารกำบังรังสี	125
4.58	ความถ่วงจำเพาะ (Specific gravity) หลังผ่านการกำบังรังสีที่มีการฉายรังสีซ้ำ 10 และ 20 ครั้งของคอมโพสิตของยางธรรมชาติที่มีการเติมบิสมัทออกไซด์ และตะกั่วออกไซด์เป็นสารกำบังรังสี	126

บทที่ 1

บทนำ

1.1 ที่มา และความสำคัญ

ตะกั่ว (Lead; Pb) เป็นธาตุที่นิยมนำมาผลิตเป็นวัสดุกำบังรังสี เนื่องจากคลื่นแม่เหล็กไฟฟ้าที่มีพลังงานสูง เช่น รังสีเอ็กซ์ รังสีแกมมา จะถูกดูดกลืนได้ดีโดยธาตุที่มีเลขอะตอม (Atomic number; Z) สูง หรือธาตุหนัก ซึ่งตะกั่วมีเลขอะตอมเท่ากับ 82 โดยธาตุที่มีเลขอะตอมที่สูงขึ้นจะดูดกลืน หรือสามารถกำบังรังสีได้ดีขึ้น[1] อย่างไรก็ตามการใช้วัสดุกำบังรังสีที่ทำมาจากตะกั่วยังมีข้อเสียหลายประการ ได้แก่ (1)วัสดุกำบังรังสีที่ทำมาจากตะกั่วมีน้ำหนักค่อนข้างมาก เมื่อผู้ปฏิบัติงานด้านรังสีใช้งานเป็นเวลานานจะทำให้เกิดความเมื่อยล้า ซึ่งส่งผลกระทบต่อประสิทธิภาพในการทำงาน[2] (2)วัสดุป้องกันรังสีที่ทำมาจากตะกั่วแตกหักได้ง่าย เนื่องจากตะกั่วมีคุณสมบัติที่มีความแข็งเปราะ หากมีการใช้งานที่ไม่ระมัดระวังอาจเกิดการแตกร้าวได้ ซึ่งรอยแตกหัก หรือรอยร้าวจะส่งผลให้วัสดุกำบังรังสีมีประสิทธิภาพในการลดทอนรังสีได้น้อยลง หรือไม่สามารลดทอนรังสีได้ และอาจมีความเสี่ยงต่อผู้ปฏิบัติงานด้านรังสี โดยทางกฎหมายได้แนะนำไม่ให้ใช้วัสดุป้องกันรังสีที่มีขนาดของรอยแตกมากกว่า 15 ตารางมิลลิเมตร[3] (3)เพิ่มภาระในการทำงานให้กับผู้ปฏิบัติงานด้านรังสี เนื่องจากกฎหมายได้กำหนดให้วัสดุกำบังรังสีที่ทำมาจากตะกั่วต้องทำการทดสอบด้วยวิธีฟลูออโรสโกปิก (Fluoroscopic) อย่างน้อยปีละครั้ง เพื่อสังเกตรอยแตกที่เกิดขึ้นภายในโครงสร้างของวัสดุกำบังรังสี (4)วัสดุกำบังรังสีที่ทำมาจากตะกั่วจะมีกระบวนการขึ้นรูปยาก เนื่องจากตะกั่วมีจุดหลอมเหลวที่สูง (จุดหลอมเหลวของตะกั่วเท่ากับ $327.46\text{ }^{\circ}\text{C}$) [4] (5)วัสดุกำบังรังสีที่ทำมาจากตะกั่วมีความต้านทานต่อแรงดึง (Tensile strength) และความต้านทานต่อการคืบ (Creep resistance) ต่ำกว่าวัสดุกำบังรังสีชนิดอื่น[5] และ (6)ตะกั่วมีความเป็นพิษสูง เมื่อตะกั่วเข้าสู่ร่างกายจะส่งผลกระทบต่อระบบการทำงานของร่างกาย เช่น อากาศในระบบเลือด จะมีอาการเลือดจาง อ่อนเพลีย และร่างกายซีด เนื่องจากตะกั่วไปขัดขวางการสังเคราะห์ฮีโมโกลบิน ทำให้มีปริมาณฮีโมโกลบินในเลือดลดลง อาการในระบบกระดูก และกล้ามเนื้อ ตะกั่วจะเกิดการสะสมในเนื้อเยื่อกระดูก และกล้ามเนื้อต่าง ๆ ทำให้เกิดอาการปวดเมื่อยตามข้อ และกระดูก ซึ่งมักพบอาการกระดูกผุ และกระดูกหักง่ายตามมา ส่วนอาการทางกล้ามเนื้อจะทำให้ผู้ป่วยเมื่อยล้า และกล้ามเนื้ออ่อนแรงได้[6]

จากข้อด้อยดังกล่าวจึงทำให้นักวิจัยมีความพยายามที่จะใช้โลหะออกไซด์ชนิดอื่น ๆ เพื่อกำบังหรือลดทอนปริมาณของรังสี เช่น ทอเรียมไดออกไซด์ (Thorium dioxide; ThO_2) [7] ไทโบรอนไตรออกไซด์ (Diboron trioxide; B_2O_3) [8] แบเรียมซัลเฟต (Barium sulfate; BaSO_4) เป็นต้น

อย่างไรก็ตามการใช้วัสดุกำบังรังสีเพียงอย่างเดียวยังมีข้อด้อยเรื่องน้ำหนักและความไม่อ่อนตัวของวัสดุ ทำให้เป็นอุปสรรคในการนำไปใช้งานสำหรับกำบังรังสีแบบเจาะจงพื้นที่ได้ ซึ่งจากการตรวจเอกสารทำให้ทราบว่ามีการวิจัยจำนวนมากที่ผสมพอลิเมอร์กับสารประกอบกลุ่มที่กำบังรังสีได้ เช่น การผสมพอลิยูรีเทน (Polyurethane; PU) กับแบเรียมซัลเฟต (Barium sulfate; BaSO₄)[9] ยางแท่งเกรด STR 5L กับผงเฟอไรต์ และยางสังเคราะห์ชนิดเอทธิลีนโพรพิลีนไดอีน (Polyethylene diene; EPDM) กับเขม่าดำ[11] เป็นต้น

ยางธรรมชาติ หรือยางพารา (Natural rubber) เป็นพืชเศรษฐกิจที่สำคัญของประเทศไทย ซึ่งสายพันธุ์ที่พบมากในประเทศไทยคือ *Hevea Brasiliensis* มีสมบัติที่โดดเด่นหลายประการ เช่น สมบัติด้านความยืดหยุ่น การทนทานต่อการฉีกขาด และความต้านทานต่อการกระแทก เป็นต้น[12] การผสมวัสดุอื่นลงในยางธรรมชาติจะทำให้วัสดุเชิงประกอบหรือวัสดุคอมโพสิต (Composites) ที่เตรียมได้มีสมบัติที่ผสมผสานระหว่างสมบัติของยางธรรมชาติ และสารตัวเติมที่สามารถนำไปใช้งานตามความต้องการได้

งานวิจัยนี้มีวัตถุประสงค์เพื่อพัฒนาวัสดุกำบังรังสีปลอดตะกั่วที่มีความยืดหยุ่น สามารถกำบังรังสีแบบเจาะจงพื้นที่ได้ และมีน้ำหนักเบาในรูปของวัสดุผสมระหว่างยางธรรมชาติ และสารตัวเติมโลหะออกไซด์ ซึ่งสนใจศึกษาผลของปริมาณสารตัวเติมเป็นวัสดุกำบังรังสีได้แก่ แบเรียมคาร์บอเนต (Barium Carbonate; BaCO₃; BC) บิสมัทออกไซด์ (Bismuth oxide; Bi₂O₃; BO) และแบเรียมซัลเฟต (Barium sulfate; BaSO₄; BS) ชนิดของยางธรรมชาติ ได้แก่ ยางธรรมชาติที่ไม่ผ่านการดัดแปรโมเลกุล (Unmodified natural rubber; NR) ยางธรรมชาติอีพอกไซด์ที่มีอีพอกไซด์ร้อยละ 25 โดยโมล (Epoxidized natural rubber 25; ENR 25) และยางธรรมชาติอีพอกไซด์ที่มีอีพอกไซด์ร้อยละ 50 โดยโมล (Epoxidized natural rubber 50; ENR 50) ต่อความถ่วงจำเพาะ สมบัติเชิงกล สัณฐานวิทยา และสมบัติการลดทอนรังสีของวัสดุคอมโพสิตที่เตรียมได้ ทางผู้วิจัยเชื่อว่า งานวิจัยนี้สามารถเป็นส่วนหนึ่งในการช่วยให้ผู้ปฏิบัติงานด้านรังสี และผู้ป่วยลดความเสี่ยงจากผลกระทบที่เกิดจากการสัมผัสรังสีได้

1.2 วัตถุประสงค์ของโครงการวิจัย

1.2.1 เพื่อศึกษาสูตร ส่วนผสมระหว่างยางธรรมชาติ และสารตัวเติมสำหรับการกำบังรังสี (Radiation shielding fillers) ที่มีสมบัติเชิงกลที่ดี และประสิทธิภาพในการกำบังรังสีสูงสุด

1.2.2 เพื่อผลิตผลิตภัณฑ์ต้นแบบวัสดุกำบังรังสีที่ยืดหยุ่นได้ปราศจากสารตะกั่วที่มียางธรรมชาติเป็นเนื้อพื้น

1.3 ขอบเขตการวิจัย

1.3.1 ศึกษาการเตรียมวัสดุคอมโพสิตที่ประกอบด้วยยางธรรมชาติผสมบิส്മัทออกไซด์โดยมีการแปรปริมาณบิส്മัทออกไซด์ที่ปริมาณ 0 10 20 40 80 120 และ 150 ส่วนโดยร้อยละเมื่อเทียบกับยาง (phr)

1.3.2 ศึกษาชนิดของสารตัวเติมสำหรับการกำบังรังสี ได้แก่ แบริยมคาร์บอนเนต บิส്മัทออกไซด์ และแบริยมซัลเฟต

1.3.3 ศึกษาการเตรียมวัสดุคอมโพสิตกำบังรังสีที่ยืดหยุ่นได้ โดยมีการแปรชนิดของยางธรรมชาติ ได้แก่ ยางธรรมชาติที่ไม่ผ่านการตัดแปรโมเลกุล ยางธรรมชาติอ็อกไซด์ที่มีอ็อกไซด์ร้อยละ 25 โดยโมล และยางธรรมชาติอ็อกไซด์ที่มีอ็อกไซด์ร้อยละ 50 โดยโมล

1.3.4 ศึกษาการเปรียบเทียบสมบัติเชิงกล และสมบัติทางด้านรังสีระหว่างบิส്മัทออกไซด์ และตะกั่วออกไซด์ในยางธรรมชาติ

1.3.5 ทดสอบสมบัติของวัสดุคอมโพสิตที่เตรียมได้ ได้แก่ สมบัติเชิงกล (Mechanical properties) การกระจายตัวของบิส്മัทออกไซด์ และปริมาณของธาตุในวัสดุคอมโพสิตด้วยเทคนิคเอ็กซ์เรย์ฟลูออเรสเซนซ์แบบกระจายพลังงาน (Energy dispersive X-ray spectrometer; EDX) สมบัติการกำบังรังสีหลังการป้อน (Aging properties) สมบัติด้านการลดทอนรังสีแกมมา และรังสีเอ็กซ์ (Related radiation shielding properties) สมบัติเชิงกลของวัสดุคอมโพสิตหลังการผ่านการกำบังรังสี (Mechanical properties after radiation shielding) และเปรียบเทียบสมบัติต่าง ๆ กับวัสดุป้องกันรังสี (กลุ่มเดียวกัน) ในเชิงพาณิชย์

1.4 ประโยชน์ที่คาดว่าจะได้รับ

1.4.1 ทราบสูตร ชนิด และปริมาณของสารประกอบออกไซด์ ชนิดของยางธรรมชาติที่เหมาะสมในการเตรียมวัสดุคอมโพสิตปลอดตะกั่วที่ยืดหยุ่นได้ และให้ประสิทธิภาพในการกำบังรังสีสูงสุด

1.4.2 สามารถเพิ่มมูลค่าอย่างพารา ขยายขอบเขตการใช้งานอย่างพารา และสามารถนำผลิตภัณฑ์ที่ได้ไปจำหน่ายในเชิงพาณิชย์ได้

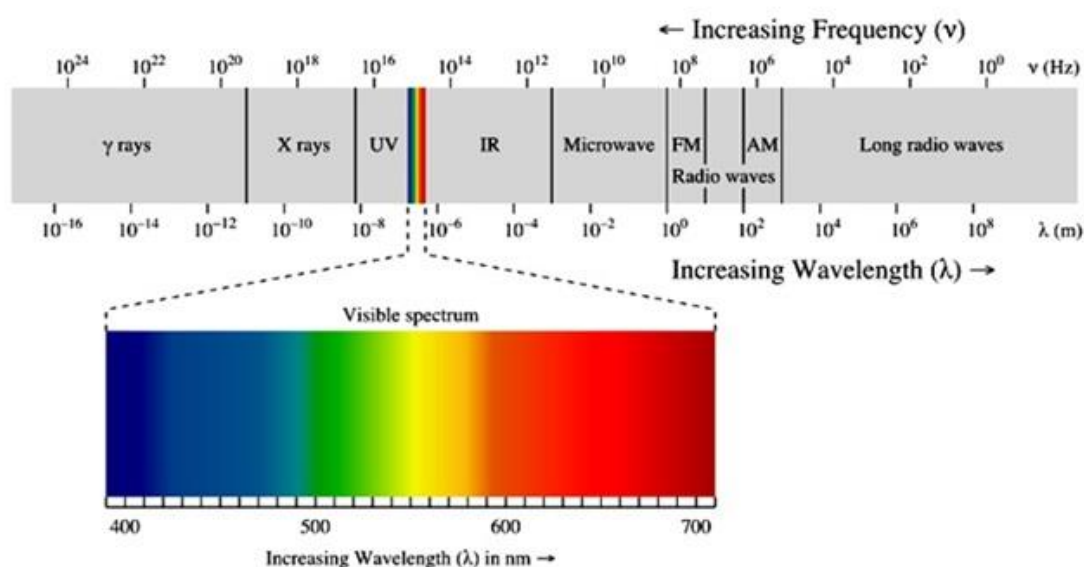
บทที่ 2

ทฤษฎี เอกสาร และงานวิจัยที่เกี่ยวข้อง

2.1 ทฤษฎีและงานวิจัยที่เกี่ยวข้อง

2.1.1 ความรู้ทั่วไปเกี่ยวกับรังสี

รังสี (Radiation) คือ พลังงานที่แผ่ออกมาจากแหล่งกำเนิดของรังสีสามารถเคลื่อนที่จากแหล่งหนึ่งไปยังอีกแหล่งหนึ่งได้ซึ่งสามารถทะลุวัตถุต่าง ๆ ได้โดยการเดินทางผ่านอากาศ[13] ซึ่งรังสีจะอยู่ในลักษณะของคลื่นแม่เหล็กไฟฟ้าที่มีความยาวคลื่น และความถี่ที่แตกต่างกันได้แก่ คลื่นวิทยุ คลื่นไมโครเวฟ รังสียูวี รังสีอินฟราเรด รังสีเอ็กซ์ รังสีแกมมา ดังแสดงในรูปที่ 1 หรืออยู่ในรูปของอนุภาคที่มีพลังงานสะสมอยู่ทั้งที่มี และไม่มีประจุได้แก่ รังสีแอลฟา รังสีเบต้า เป็นต้น



รูปที่ 2.1 แถบพลังงานของคลื่นแม่เหล็กไฟฟ้า

(แหล่งที่มา: http://www.satriwit3.ac.th/external_newsblog.php?links=1241)

2.1.1.1 ต้นกำเนิดรังสี

ต้นกำเนิดรังสีแบ่งออกเป็น 2 ประเภทคือ ต้นกำเนิดรังสีที่มีอยู่ในธรรมชาติ หรือต้นกำเนิดรังสีที่มีอยู่ทั่วไป (Background radiation) ได้แก่ รังสีที่มาจากนอกโลก หรือรังสีคอสมิก (Cosmic radiation) พุ่งเข้าสู่โลกในทุกทิศทาง โดยส่วนหนึ่งมาจากดวงอาทิตย์ และอีก

ส่วนหนึ่งมาจากต้นกำเนิดรังสีที่ไม่ทราบแหล่งกำเนิดที่แน่นอน รังสีคอสมิกประกอบไปด้วยอนุภาคต่าง ๆ เช่น โพรตอน นิวตรอน อิเล็กตรอน แอลฟา เป็นต้น ซึ่งอนุภาคเหล่านี้มีพลังงานที่สูง แต่ถูกบรรยากาศของโลกกั้นไว้จึงเหลือส่งมาถึงพื้นโลกเป็นส่วนน้อย และมีพลังงานไม่สูงมากนัก[14] และต้นกำเนิดรังสีที่มนุษย์ประดิษฐ์ขึ้น (Man-made radiation) เช่น รังสีทางการแพทย์ รังสีด้านอาวุธสงคราม และรังสีเพื่อประโยชน์ทางอุตสาหกรรมต่าง ๆ เป็นต้น[15]

2.1.1.2 ชนิดของรังสี

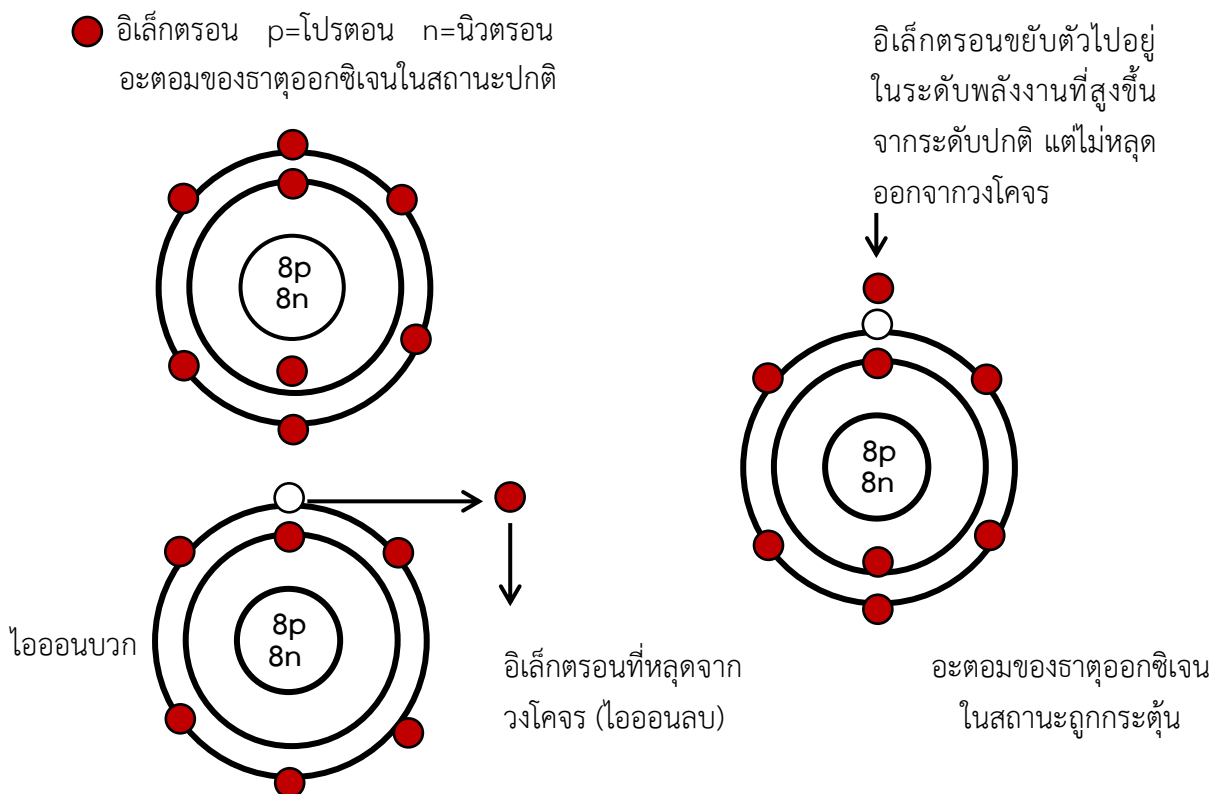
รังสีมีหลายชนิดสามารถแบ่งเป็นประเภทต่าง ๆ ได้ ดังนี้

1. แบ่งตามลักษณะของรังสี

- รังสีที่เป็นอนุภาค เช่น รังสีแอลฟา รังสีบีตา รังสีนิวตรอน รังสีคอสมิก เป็นต้น
- รังสีที่เป็นคลื่นแม่เหล็กไฟฟ้า เช่น คลื่นวิทยุ รังสีอินฟราเรด รังสีอัลตราไวโอเล็ต รังสีความร้อน รังสีเอ็กซ์ รังสีแกมมา เป็นต้น

2. แบ่งตามอันตรกิริยาที่รังสีมีต่ออะตอมของตัวกลางที่วิ่งผ่าน

- รังสีที่ทำให้เกิดการแตกตัวของประจุ หรือรังสีก่อไอออน (Ionizing radiation) คือ รังสีที่ตกกระทบวัตถุหรือตัวกลางใด ๆ ทำให้อิเล็กตรอนที่รังสีถ่ายเทพลังงานให้เกิดการหลุดออกจากวงโคจรของอะตอมกลายเป็นอิเล็กตรอนอิสระ ทำให้เกิดคู่อิออนขึ้นมาคือ อิเล็กตรอนที่หลุดจากวงโคจรจะเป็นไอออนลบ ส่วนอะตอมจะเป็นไอออนบวก เนื่องจากเกิดการสูญเสียอิเล็กตรอนในวงโคจรไปทำให้มีปริมาณของโปรตอนในนิวเคลียสมากกว่า อะตอมเหล่านี้จะทำให้ตัวมันเองเกิดความเสถียรขึ้น โดยการปลดปล่อยรังสีที่มีพลังงาน หรือมวลสารที่มากเกินไปออกมาเรียกว่า กัมมันตภาพรังสี (Radioactivity) ตัวอย่างการแตกตัวเป็นไอออน และสถานการณ์กระตุ้นของธาตุออกซิเจนแสดงดังรูปที่ 2.2



รูปที่ 2.2 การแตกตัวเป็นไอออน และสถานการณ์กระตุ้นของธาตุออกซิเจน

(ดัดแปลงมาจาก: สารานุกรมไทยสำหรับเยาวชนฯ/ เล่มที่ 38/ เรื่องที่ 7 รังสี/ ประเภทของรังสี)

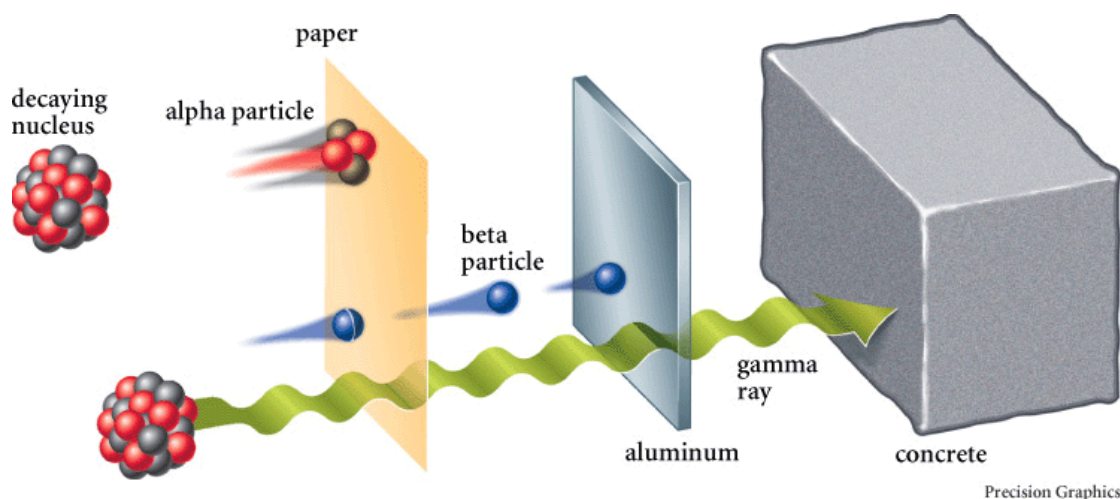
โดยรังสีที่ทำให้เกิดการแตกตัวของประจุมักพบได้ 4 ชนิดหลักดังนี้

รังสีแอลฟา (สัญลักษณ์ α ; ${}^4_2\text{He}$) หรืออนุภาคแอลฟาเป็นอนุภาคที่เป็นนิวเคลียสของธาตุฮีเลียม (He) มีโปรตอน และนิวตรอนอย่างละ 2 อนุภาคมีประจุไฟฟ้า +2 เลขมวลเท่ากับ 4 สามารถถูกยับยั้งได้ด้วยกระดาษ และผิวหนังของร่างกาย

รังสีเบต้า (สัญลักษณ์ β) เป็นอนุภาคที่มีพฤติกรรมเหมือนอิเล็กตรอน แต่ออกมาจากนิวเคลียสมีประจุไฟฟ้าเท่ากับ -1 มีมวลเท่ากับอิเล็กตรอน (น้อยมาก) สามารถเคลื่อนที่ได้ในระยะสั้น และสามารถทะลุทะลวงปานกลางซึ่งสามารถทะลุผ่านแผ่นโลหะบาง ๆ ได้ และมีความเร็วเท่ากับความเร็วแสง[16]

รังสีเอ็กซ์ (X-ray) เป็นคลื่นแม่เหล็กไฟฟ้าที่มีความยาวคลื่นอยู่ในช่วงประมาณ 1.3×10^{-11} ถึง 4.8×10^{-11} เมตรจึงจัดเป็นรังสีที่ไม่สามารถมองเห็นได้ด้วยตาเปล่า และนอกจากนี้ยังเป็นคลื่นแม่เหล็กไฟฟ้าที่ไม่มีประจุไม่สามารถเบี่ยงเบนในสนามแม่เหล็ก และสนามไฟฟ้าได้มีความสามารถในการเคลื่อนที่ทะลุผ่านวัสดุที่ไม่หนาจนเกินไป และมีความหนาแน่นน้อย ๆ ได้ เช่น ไม้เนื้อเยื่อคน เป็นต้น และจะมีอำนาจในการทะลุทะลวงลดลงเมื่อเคลื่อนที่ผ่านวัตถุที่มีความหนาแน่นมาก ๆ เช่น ตะกั่ว กระจก แพลตินัม เป็นต้น[17]

รังสีแกมมา (Gamma ray สัญลักษณ์ γ) เป็นรังสีคลื่นแม่เหล็กไฟฟ้าเช่นเดียวกับรังสีเอ็กซ์ แต่มีความยาวคลื่นสั้น หรือมีความถี่สูงกว่า และมีอำนาจในการทะลุทะลวงสูงกว่ารังสีเอ็กซ์ผ่านผิวหนังได้หลายนิ้ว และทะลุทะลวงวัตถุส่วนใหญ่ที่มีความหนาแน่นมาก ๆ ได้[18] โดยความสามารถในการทะลุทะลวงของรังสีแอลฟา รังสีเบต้า และรังสีแกมมาแสดงดังรูปที่ 2.3



รูปที่ 2.3 ความสามารถในการทะลุทะลวงของรังสีแอลฟา รังสีเบต้า และรังสีแกมมา

(แหล่งที่มา: <http://www.krusarawut.net/wp/?p=12063>)

- รังสีที่ไม่ทำให้เกิดการแตกตัวของประจุ หรือรังสีชนิดไม่ก่อไอออน (Non-ionizing radiation) คือ รังสีที่ตกกระทบวัตถุหรือตัวกลางใด ๆ ไม่สามารถก่อให้เกิดการแตกตัวเป็นไอออนในอะตอมของตัวกลางที่รังสีนั้นวิ่งผ่าน และเกิดการถ่ายเทพลังงานให้กับอะตอมของตัวกลางส่งผลให้อิเล็กตรอนเกิดการเคลื่อนตัวสูงขึ้นจากวงโคจร แล้วตกลงสู่วงโคจรเดิมอีกปรากฏการณ์แบบนี้เรียกว่า อะตอมอยู่ในสถานะถูกกระตุ้น (Excited state) รังสีพวกนี้เป็นรังสีที่มีพลังงานไม่สูงมากนัก เช่น รังสีความร้อน ไมโครเวฟ เลเซอร์ รังสีอัลตราไวโอเล็ต คลื่นวิทยุ เป็นต้น [16]

2.1.1.3 ประโยชน์ของรังสี

1. ทางด้านการแพทย์

- รังสีวินิจฉัยได้แก่ การเอ็กซเรย์ทั่วไป การตรวจพิเศษทางรังสีเพื่อใช้ในการวินิจฉัยโรค
- รังสีรักษาได้แก่ รังสีในทางการแพทย์ที่ใช้รักษาโรคมะเร็ง เช่น รังสีแกมมา ซึ่งเกิดจากการสลายตัวของสารกัมมันตรังสีบางชนิด และรังสีเอ็กซ์ที่เกิดจากเครื่องผลิต

รังสี ซึ่งอาศัยหลักการทำงานเหมือนเครื่องถ่ายภาพเอ็กซเรย์ กล่าวคือ อิเล็กตรอนจะวิ่งไปชนตัวกลาง และปล่อยรังสีเอ็กซ์ออกมาซึ่งรังสีทั้ง 2 ชนิดสามารถทำให้เนื้อมะเร็งตายได้เหมือนกัน โดยการตายของเนื้อมะเร็งมี 2 ลักษณะคือ เซลล์ตายในทันที และเซลล์สูญเสียคุณสมบัติในการแบ่งเซลล์ การใช้รังสีรักษาในการรักษามะเร็งกระทำได้โดยการฉายรังสีไปยังตำแหน่งที่เป็นโรค ซึ่งสามารถฉายรังสีคลุมก้อนมะเร็งทั้งหมด และต่อมน้ำเหลืองบริเวณใกล้เคียงได้

- เวชศาสตร์นิวเคลียร์คือ วิทยาการด้านการแพทย์สาขาหนึ่งซึ่งเกี่ยวข้องกับ การใช้สารกัมมันตรังสีในการตรวจวินิจฉัย หรือรักษาโรคบางชนิด เช่น โรคต่อมไทรอยด์ โรคเกี่ยวกับกระดูก หัวใจ เป็นต้น

2. ทางด้านดาราศาสตร์

- ใช้เพื่อถ่ายภาพดาราศาสตร์ที่ตามนุษย์มองไม่เห็น

3. ทางด้านความมั่นคง และอากาศยาน

- ใช้ถ่ายภาพเพื่อค้นหาวัตถุอันตราย วัตถุระเบิด ซึ่งใช้มากในสนามบินสำหรับตรวจสอบสัมภาระของผู้โดยสาร

4. ทางด้านอุตสาหกรรม

- การวิเคราะห์แร่ธาตุด้วยเทคนิคเชิงนิวเคลียร์ สำหรับการสำรวจทรัพยากรในประเทศ (Neutron activation and x-ray fluorescence analysis)

- การใช้รังสีแกมมาเพื่อฆ่าเชื้อในเครื่องมือเวชภัณฑ์ ใช้ตรวจสอบและถ่ายภาพรอยเชื่อมโลหะ หากความลึกหรือโดยไม่ทำลายชิ้นงานมีทั้งการใช้รังสีเอ็กซ์ รังสีแกมมา และรังสีนิวตรอน

- ใช้ในการสำรวจหาแหล่งน้ำมันดิบ ความชื้นใต้ดิน ฯลฯ ด้วยรังสีนิวตรอน เป็นต้น

2.1.1.4 อันตรายที่เกิดจากรังสี

1. ผู้ใช้งานทางด้านรังสี หรือผู้ที่ได้รับรังสีในปริมาณมากมีโอกาสเป็นหมัน เสียความรู้สึกทางเพศ มีบุตรยาก (Sterility, Impotence, Impaired fertility)

2. รังสีทำให้อายุสั้น (Nonspecific life shortening)

3. รังสีทำให้สภาพร่างกายทรุดโทรมแก่เร็ว (Radiation induced aging) จะมีความผิดปกติในเนื้อเยื่อต่าง ๆ

4. รังสีทำให้เกิดเป็นเลนส์ตาดำต้อกระจก (Radiation cataract genesis) เมื่อเลนส์ได้รับรังสีจะทำให้มีการบวมของใยเซลล์ (Cell fiber) มีการขุ่นมัวทางด้านหลังของเลนส์

5. ผลของรังสีต่อกระดูก (Late effect on bone) เมื่อกระดูกได้รับรังสี เซลล์ตัวอ่อนของกระดูกจะถูกทำลายส่งผลให้เซลล์กระดูกตายผลที่ตามมาคือ กระดูกสันหลัง กระดูกอักเสบเรื้อรัง กระดูกตายหักง่าย

6. ผลของรังสีต่อผม รากผมหรือขน (Hair follicle) จะไวต่อรังสี เมื่อได้รับรังสีจะทำให้ผมเกิดการร่วง ผมที่ออกมาใหม่มีโอกาสเปลี่ยนเป็นสีขาวย หรือสีเทา

7. รังสีทำให้เกิดเป็นมะเร็ง (Radiation carcinogenesis) รังสีทำให้เซลล์เกิดการกลายพันธุ์ และเป็นมะเร็งได้หลาย ๆ ชนิด เช่น มะเร็งเต้านม มะเร็งปอด มะเร็งปากมดลูก มะเร็งกระเพาะปัสสาวะ มะเร็งลำไส้ใหญ่ มะเร็งตา มะเร็งไต มะเร็งต่อมหมวกไต มะเร็งเม็ดเลือด มะเร็งต่อมน้ำเหลือง มะเร็งกระดูก มะเร็งผิวหนัง เป็นต้น

8. รังสีมีผลต่อทารกในครรภ์ รังสีทำให้ทารกในครรภ์มีอวัยวะผิดปกติ สมองพิการ หรือทำให้เด็กมีโอกาสเกิดเป็นมะเร็งตั้งแต่อายุยังน้อย ๆ [19]

2.1.1.5 การป้องกันอันตรายจากรังสี

ICRP (International commission radiological protection) ได้กำหนดหลักการในการป้องกันอันตรายจากรังสี โดยเรียกหลักการพื้นฐานเหล่านี้ว่า ALARA (As low as reasonably achievable principles) ดังนี้

1. Justification of practice คือ การยึดหลักการว่าจะไม่มีการทำงานใด ๆ อย่างเด็ดขาด ถ้าไม่มีแผนการปฏิบัติงานที่มีการป้องกันอันตรายจากรังสีที่ดีพอ

2. Optimization คือ การคำนวณ และประเมินเพื่อหาทางเลือกที่ดีที่สุดโดยการนำเอาปัจจัยต่าง ๆ เช่น เศรษฐกิจ สังคม และสิ่งแวดล้อม โดยเฉพาะการป้องกันอันตรายจากรังสี เพื่อให้ได้แนวทางมาตรการ หรือแนวปฏิบัติที่ดีและคุ้มค่าที่สุด

3. Individual dose limitation คือ การกำหนดระดับรังสีที่ยอมรับได้ [20]

หลักการปฏิบัติให้ได้รับปริมาณรังสีให้ต่ำที่สุดตามหลักการพื้นฐาน ALARA

1. เทคนิคพื้นฐานของการควบคุมอันตรายจากต้นกำเนิดรังสีที่อยู่ภายนอกร่างกายมี 3 วิธีคือ

1.1 เวลา (Time) ผู้ปฏิบัติงานทางด้านรังสีจะต้องใช้เวลาในการปฏิบัติงานให้น้อยที่สุด เพื่อป้องกันไม่ให้อวัยวะได้รับรังสีเกินมาตรฐานที่กำหนดไว้ การที่ผู้ปฏิบัติงานด้านรังสีใช้เวลาในการทำงานน้อยที่สุดในการปฏิบัติงานกับรังสี จะทำให้ผู้ปฏิบัติงานได้รับปริมาณรังสีน้อยลง ปริมาณรังสีที่ได้รับมีความสัมพันธ์กับปริมาณรังสีจากต้นกำเนิดรังสี ดังสมการที่ 2.1

$$D = RT \quad (2.1)$$

เมื่อ D คือ ปริมาณรังสีที่ได้รับ

R คือ ปริมาณรังสีจากต้นกำเนิดรังสี

T คือ เวลาที่ผู้ปฏิบัติงานใช้ขณะปฏิบัติงานกับรังสี

1.2 ระยะทาง (Distance) ปริมาณรังสีจะลดลงตามระยะห่างจากต้นกำเนิดรังสีกล่าวคือ หากผู้ปฏิบัติงานสามารถทำงานให้ห่างจากต้นกำเนิดรังสีได้มาก ผู้ปฏิบัติงานจะได้รับปริมาณรังสีน้อยลง ซึ่งปริมาณรังสีที่ได้รับจะแปรผกผันกับระยะห่างจากต้นกำเนิดรังสี ยกกำลังสองดังสมการที่ 2.2

$$I = \frac{k}{d^2} \quad (2.2)$$

เมื่อ I คือ ปริมาณรังสีที่วัดได้

d คือ ระยะห่างจากต้นกำเนิดรังสี

k คือ ค่าคงที่ซึ่งเปลี่ยนแปลงไปตามชนิดของต้นกำเนิดรังสี

1.3 เครื่องกำบังรังสี (Shielding) ปริมาณรังสีจะลดลง เมื่อผ่านเครื่องกำบังรังสี แต่จะลดลงมากหรือน้อยขึ้นอยู่กับพลังงานของรังสี สมบัติ ความหนาแน่น และความหนาของวัสดุกำบังรังสีซึ่งเป็นอุปสรรคกำบังรังสีที่วางกันระหว่างสิ่งมีชีวิต และต้นกำเนิดรังสี ซึ่งอุปสรรคกำบังรังสีสามารถดูดกลืนรังสีได้บางส่วนหรืออาจจะได้ทั้งหมด ดังนั้นผู้ปฏิบัติงานควรเลือกอุปสรรคกำบังรังสีที่เหมาะสมกับชนิดของต้นกำเนิดรังสีเพื่อลดปริมาณของรังสีที่ได้รับ

2. การควบคุมต้นกำเนิดรังสี และการติดป้ายเตือนเป็นอีกกระบวนการหนึ่งของการจัดการเพื่อป้องกัน หรือลดระดับอันตรายจากรังสี เช่น

- 2.1 การจำแนกพื้นที่ เช่น พื้นที่ควบคุม พื้นที่ปฏิบัติงาน
- 2.2 ตรวจสอบพื้นที่และการได้รับรังสีของแต่ละบุคคลเป็นประจำ
- 2.3 กำหนดกฎเกณฑ์และเงื่อนไขในการทำงาน
- 2.4 ทำรายละเอียดของต้นกำเนิดรังสีแต่ละพื้นที่
- 2.5 ฝึกอบรมการป้องกันอันตรายจากรังสีสำหรับผู้ปฏิบัติงาน
- 2.6 ติดป้ายเตือนที่ชัดเจน และเพียงพอให้ถูกต้อง[21]

2.1.1.6 อันตรกิริยาของโฟตอนเมื่อเคลื่อนที่ผ่านตัวกลาง (Photon interaction)

รังสีแกมมาเป็นคลื่นแม่เหล็กไฟฟ้าในลักษณะอนุภาคเรียกว่า โฟตอน ซึ่งมีคุณสมบัติที่สามารถเคลื่อนที่ผ่านตัวกลางได้ และเมื่อโฟตอนเคลื่อนที่ผ่านตัวกลางจะเกิดอันตรกิริยาต่าง ๆ กับตัวกลางดังนี้

1. การกระเจิงแบบโคฮีเรนต์ (Coherent scattering)

การกระเจิงแบบโคฮีเรนต์ เป็นอันตรกิริยาที่เกิดขึ้นระหว่างโฟตอนและอะตอมของตัวกลาง อิเล็กตรอนชั้นนอกของอะตอมในตัวกลางที่มีแรงยึดเหนี่ยวกับอะตอมเพียงเล็กน้อยถูกโฟตอนพุ่งเข้าชน โดยโฟตอนเกิดการสูญเสียพลังงานน้อยมากจนไม่สามารถนำมาคิดค่าได้ และทิศทางของโฟตอนแทบจะไม่เกิดการเปลี่ยนแปลง ดังนั้นกระบวนการกระเจิงแบบโคฮีเรนต์จะเกิดขึ้นเมื่อโฟตอน หรือรังสีแกมมาพลังงานต่ำพุ่งเข้าชนกับตัวกลางที่มีเลขอะตอมสูง

2. อันตรกิริยาโฟโตอิเล็กทริก (Photoelectric interaction)

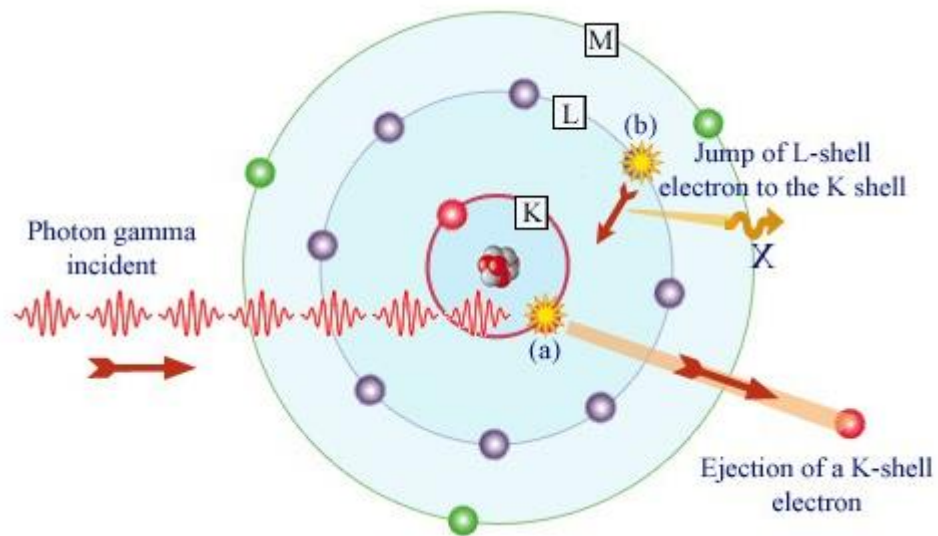
อันตรกิริยาโฟโตอิเล็กทริก เป็นอันตรกิริยาที่เกิดขึ้นเมื่อโฟตอน หรือรังสีแกมมามีพลังงานน้อย โดยโฟตอนพุ่งเข้าชนกับอะตอมของตัวกลาง โฟตอนเกิดการถ่ายโอนพลังงานทั้งหมดให้กับอิเล็กตรอนในวงโคจร ส่งผลให้อิเล็กตรอนหลุดออกจากอะตอมของตัวกลางด้วยพลังงานจลน์ดังภาพที่ 2.4 ซึ่งเรียกอิเล็กตรอนที่หลุดออกมาจากอะตอมว่า โฟโตอิเล็กตรอน (Photoelectron) เมื่ออิเล็กตรอนเกิดการหลุดออกจากอะตอม อิเล็กตรอนในวงนอกที่อยู่ถัดไปจะเข้ามาแทนที่ในตำแหน่งของอิเล็กตรอนที่หลุดออกไป ทำให้เกิดการคายพลังงานในรูปของรังสีเอ็กซ์เฉพาะ (Characteristic X-ray) ในบางครั้งรังสีเอ็กซ์ที่เกิดขึ้นจะชนกับอิเล็กตรอนที่อยู่วงนอกกว่า ทำให้อิเล็กตรอนเกิดการหลุดออกจากอะตอมเรียกอิเล็กตรอนเหล่านั้นว่า ออเจอร์ อิเล็กตรอน (Auger electron) สรุปได้ว่า การเกิดโฟโตอิเล็กทริกเป็นการดูดกลืนรังสีแกมมาทั้งหมด แล้วปล่อยอิเล็กตรอนและรังสีเอ็กซ์ที่มีพลังงานต่ำออกมาสามารถอธิบายได้จากสมการที่ 2.3

$$E_e = E_\gamma - E_b \quad (2.3)$$

เมื่อ E_e คือ พลังงานจลน์ของอิเล็กตรอนที่หลุดออกจากอะตอม

E_γ คือ พลังงานทั้งหมดของโฟตอน

E_b คือ พลังงานที่ใช้ในการทำให้อิเล็กตรอนหลุดออกจากอะตอม มีค่าเท่ากับพลังงานยึดเหนี่ยวของอิเล็กตรอนในวงโคจรนั้น



รูปที่ 2.4 ปฏิกิริยาโฟโตอิเล็กทริก

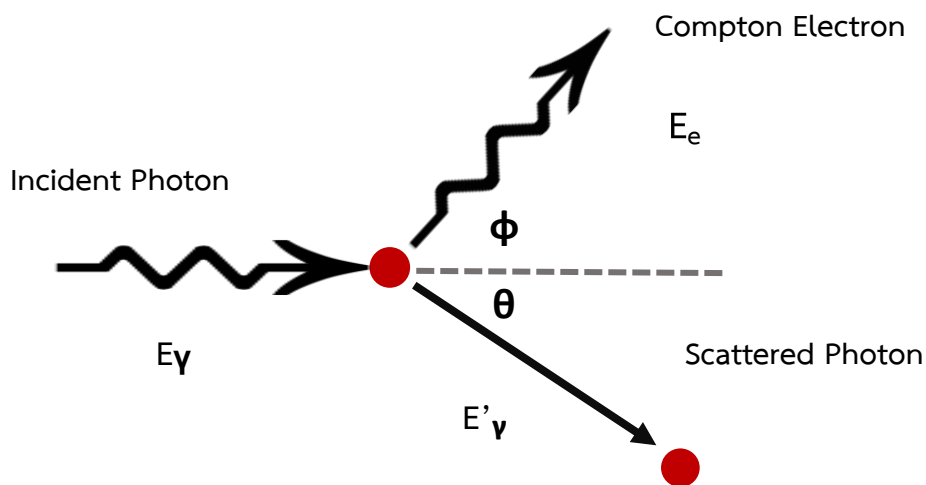
(แหล่งที่มา: <https://www.nuclear-power.net>)

3. การกระเจิงคอมป์ตัน (Compton scattering)

การกระเจิงแบบคอมป์ตันจะเกิดขึ้นเมื่อโฟตอนมีพลังงานระดับกลางพุ่งเข้าชนกับอะตอมของตัวกลาง โฟตอนเกิดอันตรกิริยากับอิเล็กตรอนที่อยู่ในวงโคจร โดยโฟตอนจะสูญเสียพลังงานบางส่วนให้กับอิเล็กตรอน ส่งผลให้อิเล็กตรอนเกิดการหลุดออกจากวงโคจรในทิศทางทำมุมกับทิศทางเดิมเรียกอิเล็กตรอนที่หลุดออกมาว่า คอมตัน อิเล็กตรอน (Compton electron) ซึ่งสามารถหาค่าพลังงานจลน์ได้จากสมการที่ 2.4 และโฟตอนจะกระเจิงออกมาในทิศทางทำมุมกับทิศทางเดิม และมีความยาวคลื่นมากขึ้น ดังแสดงในรูปที่ 2.5

$$E_e = E_\gamma - E'_\gamma - E_b \quad (2.4)$$

เมื่อ E_e คือ พลังงานจลน์ของอิเล็กตรอนที่ส่งออกมา
 E_γ คือ พลังงานทั้งหมดของโฟตอน
 E'_γ คือ พลังงานของโฟตอนที่กระเจิง
 E_b คือ พลังงานที่ทำให้อิเล็กตรอนหลุดออกจากอะตอม (พลังงานยึดเหนี่ยวของอิเล็กตรอน)



รูปที่ 2.5 การกระเจิงแบบคอมป์ตัน (Compton scattering)

(ดัดแปลงมาจาก: <https://atomic1073.wordpress.com>)

เนื่องจากค่าพลังงานยึดเหนี่ยวของอิเล็กตรอนในวงโคจรมีค่าน้อยกว่าพลังงานของโฟตอนมาก เมื่อโฟตอนที่ตกกระทบจะทำให้มีพลังงานมากขึ้นทำให้ทั้งมุม ϕ และ θ ถูกบีบให้แคบลง โดยในระหว่างเกิดการกระเจิงแบบคอมป์ตันจะมีการเปลี่ยนแปลงความยาวคลื่นของรังสีเอ็กซ์ และรังสีแกมมาในระดับนาโนเมตรซึ่งสามารถหาความยาวคลื่นของโฟตอนที่กระเจิงได้ดังสมการที่ 2.5

$$\lambda' = \lambda + \Delta\lambda \quad (2.5)$$

เมื่อ $\Delta\lambda$ คือ ความยาวคลื่นที่มีความถี่อ้างอิงกับความยาวคลื่นของคอมป์ตัน (Compton wavelength) มีค่าเท่ากับ $0.00243(1 - \cos\theta)$

θ คือ มุมกระเจิงของโฟตอน

λ คือ ความยาวคลื่นของโฟตอนที่ตกกระทบ

λ' คือ ความยาวคลื่นของโฟตอนที่กระเจิง

ดังนั้นค่าพลังงานของโฟตอนที่กระเจิง (E'_γ) หาได้จากสมการที่ 2.6

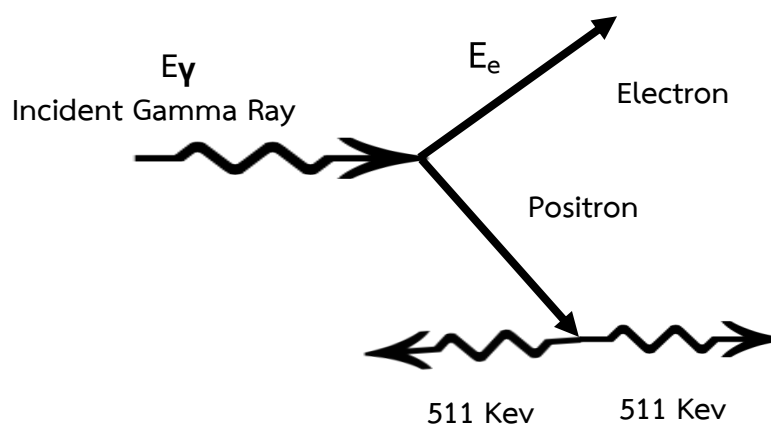
$$E'_\gamma = \frac{E_\gamma}{1 + (E_\gamma / m_e c^2)(1 - \cos\theta)}$$

(2.6)

เมื่อ $m_e c^2$ คือ พลังงานของอิเล็กตรอนที่หยุดนิ่งมีค่าเท่ากับ 0.511 เมกะอิเล็กตรอนโวลต์ (MeV)

4. ปรากฏการณ์แพร์โปรดักชัน (Pair production)

ปรากฏการณ์แพร์โปรดักชัน จะเกิดขึ้นเมื่อตัวกลางมีเลขอะตอมที่มีค่ามาก และโฟตอนมีพลังงานอย่างน้อย 1.02 เมกะอิเล็กตรอนโวลต์ โฟตอนจะวิ่งเข้าไปในสนามไฟฟ้ารอบ ๆ นิวเคลียสของอะตอมในตัวกลาง พลังงานโฟตอนทั้งหมดเปลี่ยนไปเป็นมวล และพลังงานจลน์ของโพสิตรอน (Positron) และอิเล็กตรอนทำให้ทั้งสองหลุดออกจากอะตอม แต่โพสิตรอนไม่สามารถที่จะอยู่ในธรรมชาติได้ ดังนั้นในขณะที่โพสิตรอนเกิดการเคลื่อนที่จะสูญเสียพลังงานไปเรื่อย ๆ และเมื่อโพสิตรอนมีพลังงานต่ำลงจะเกิดการรวมตัวกับอิเล็กตรอนเกิดเป็น 2 โฟตอน และเคลื่อนที่ออกในทิศทางตรงกันข้ามกันเรียกโฟตอนเหล่านี้ว่า แอนนิลิล-ชันโฟตอน (Annihilation photons) ซึ่งแต่ละโฟตอนมีพลังงานประมาณ 0.511 เมกะอิเล็กตรอนโวลต์[22] ปรากฏการณ์แพร์โปรดักชันแสดงดังรูปที่ 2.6



รูปที่ 2.6 ปรากฏการณ์แพร์โปรดักชัน (Pair production)

(ดัดแปลงมาจาก: <https://physics.stackexchange.com/questions/326267/the-feynman-diagram-for-pair-production>)

2.1.1.7 การหาค่าการกำบังรังสี

1. สัมประสิทธิ์การลดทอนเชิงมวล

โฟตอนจะเกิดอันตรกิริยาต่าง ๆ กับตัวกลาง เมื่อโฟตอนเคลื่อนที่ผ่านตัวกลาง โดยที่โฟตอนบางส่วนเกิดการดูดกลืนพลังงานที่ถ่ายเทให้กับตัวกลาง บางส่วนเกิดการกระเจิงในขณะที่เกิดอันตรกิริยา หรือบางส่วนอาจเคลื่อนที่ผ่านตัวกลางโดยไม่เกิดอันตรกิริยาใด ๆ โดยโฟตอนที่ถูกลดพลังงาน หรือเกิดการกระเจิงส่งผลให้ปริมาณโฟตอนลดลงเมื่อเคลื่อนที่ผ่านตัวกลางเรียกว่า การลดทอนปริมาณโฟตอน (Attenuation) หรือการลดทอนรังสีซึ่งขึ้นอยู่กับความ

หนาของตัวกลางกล่าวคือ เมื่อความหนาของตัวกลางเพิ่มมากขึ้นปริมาณของโฟตอนที่เคลื่อนที่ผ่านตัวกลางจะยิ่งลดลง เนื่องจากมีระยะทางให้เกิดการดูดกลืนพลังงาน หรือเกิดการกระเจิงของโฟตอนมากขึ้น สามารถอธิบายได้ดังสมการที่ 2.7

$$I = I_0 e^{-\mu x} \quad (2.7)$$

เมื่อ I คือ ปริมาณโฟตอนก่อนที่จะเคลื่อนที่ผ่านตัวกลาง

I_0 คือ ปริมาณโฟตอนที่เคลื่อนที่ออกจากตัวกลาง

x คือ ความหนาของตัวกลางที่โฟตอนเคลื่อนที่ผ่าน (เซนติเมตร)

μ คือ ค่าสัมประสิทธิ์การลดทอนเชิงเส้น (Linear attenuation coefficient)

ค่าสัมประสิทธิ์การลดทอนเชิงเส้นจะขึ้นอยู่กับพลังงานของรังสี เลขอะตอมของตัวกลาง และความหนาแน่นของตัวกลาง

ค่าสัมประสิทธิ์การลดทอนเชิงมวล (Mass attenuation coefficient) ของตัวกลางสามารถคำนวณได้จากสมการที่ 2.8 หรือสมการที่ 2.9

$$\mu_m = \frac{\mu}{\rho} \quad (2.8)$$

$$\mu_m = \frac{\ln(I_0/I)}{\rho} \quad (2.9)$$

เมื่อ μ_m คือ ค่าสัมประสิทธิ์การลดทอนเชิงมวล (ลูกบาศก์เซนติเมตรต่อกรัม; cm^2/g)

ρ คือ ความหนาแน่นของตัวกลาง (กรัมต่อตารางเซนติเมตร; g/cm^3)

สำหรับค่าสัมประสิทธิ์การลดทอนเชิงมวลของตัวกลางที่เป็นสารประกอบ หรือของผสมซึ่งเป็นค่าทางทฤษฎีสามารถคำนวณได้โปรแกรม WinXCom โดยใช้สมการที่ 2.10

$$\mu_m = \sum_i w_i (\mu_m)_i \quad (2.10)$$

เมื่อ w_i คือ เศษส่วนโดยน้ำหนัก (Weight fraction) ของธาตุในสารประกอบ

$(\mu_m)_i$ คือ ค่าสัมประสิทธิ์การลดทอนเชิงมวลเฉพาะตัวของธาตุในสารประกอบ[23]

2. เลขอะตอมยังผล (Effective atomic number)

เลขอะตอมยังผลคือ ค่าเฉลี่ยของเลขอะตอมในตัวกลางที่เป็นสารประกอบ หรือของผสมซึ่งค่าที่ได้อาจจะไม่คงที่ ขึ้นอยู่กับอันตรกิริยาระหว่างโฟตอนจากรังสีตกกระทบกับตัวกลางนั้น สามารถคำนวณได้ดังสมการที่ 1.11

$$Z_{eff} = \frac{\sigma_{t,a}}{\sigma_{t,el}} \quad (2.11)$$

เมื่อ $\sigma_{t,a}$ คือ ค่าภาคตัดขวางรวมเชิงอะตอม (Total atomic cross-section) สามารถคำนวณได้จากสมการที่ 1.12

$$\sigma_{t,a} = \frac{\mu_m}{N_A \sum_i^n \left(\frac{w_i}{A_i} \right)} \quad (2.12)$$

และ $\sigma_{t,el}$ คือ ค่าภาคตัดขวางรวมเชิงอิเล็กตรอน (Total electronics cross-section) คำนวณได้จากสมการที่ 2.13

$$\sigma_{t,el} = \frac{1}{N_A} \sum_i^n \frac{f_i A_i}{Z_i} (\mu_m)_i \quad (2.13)$$

เมื่อ N_A คือ เลขอะโวคาโดร (Avogadro number) มีค่าเท่ากับ 6.02×10^{23} อะตอมต่อโมล
 A_i คือ เลขอะตอม (Mass number) ของธาตุแต่ละชนิดในตัวกลาง (กรัมต่อโมล; g/mol)

f_i คือ อัตราส่วนระหว่างจำนวนอะตอมของธาตุแต่ละธาตุในตัวกลางต่อมวล 1 กรัม (N_i) กับจำนวนอะตอมทั้งหมดของตัวกลางต่อมวล 1 กรัม ($\sum_i N_i$) ซึ่งสามารถคำนวณได้จากสมการที่ 2.14 [24]

$$f_i = \frac{N_i}{\sum_i N_i} \quad (2.14)$$

โดยที่ $N_i = N_A \frac{w_i}{A_i}$ (2.15)

3. ความหนาแน่นของอิเล็กตรอน (Effective electron density)

ความหนาแน่นของอิเล็กตรอนคือ จำนวนอิเล็กตรอนของอะตอมในตัวกลางที่เป็นสารประกอบ หรือส่วนผสมต่อมวล 1 กรัม คำนวณได้จากสมการที่ 2.16

$$N_e = \frac{\mu_m}{\sigma_{t,el}} \quad (2.16)$$

เมื่อ N_e คือ ความหนาแน่นของอิเล็กตรอน (อิเล็กตรอนต่อกรัม; electron/g)

4. ความหนาครึ่งค่าของวัสดุ (Half value layer; HVL)

ความหนาครึ่งค่าของวัสดุคือ ความหนาของวัสดุที่สามารถกั้นรังสี และทำให้ปริมาณรังสีลดลงครึ่งหนึ่งจากปริมาณรังสีเดิมที่ผ่านเข้ามาสามารถคำนวณได้จากสมการที่ 2.17

$$HVL = \frac{\ln 2}{\mu} \quad (2.17)$$

เมื่อ μ คือ ค่าสัมประสิทธิ์การลดทอนเชิงเส้น (ต่อเซนติเมตร) คำนวณได้จาก $\mu_m \times \rho$

5. ความหนาเทียบเท่าตะกั่ว (Lead equivalent)

ความหนาเทียบเท่าตะกั่ว เป็นการเปรียบเทียบความสามารถในการกำบังรังสีของวัสดุคอมโพสิตสำหรับการกำบังรังสีกับตะกั่ว โดยใช้ความหนาเป็นตัวแปรในการเปรียบเทียบ [23]

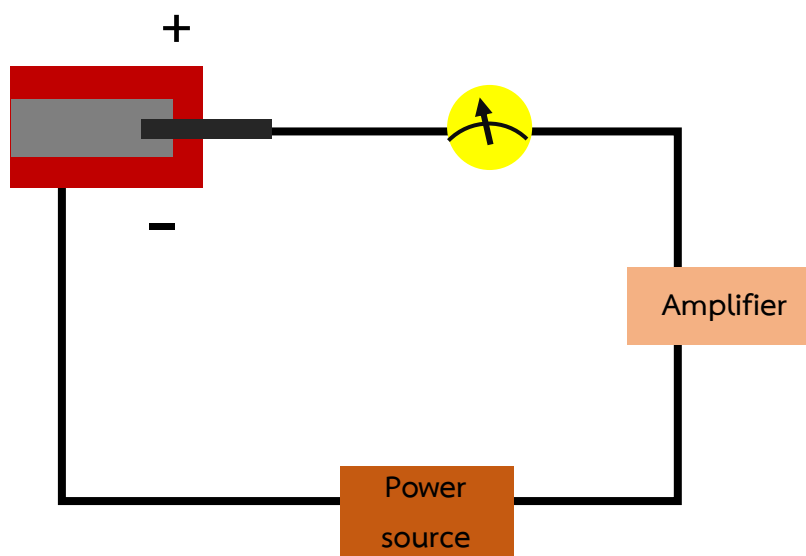
$$\text{Leadequivalent} = \frac{\mu_{\text{composite}}}{\mu_{\text{Pb}}} \times \text{thickness}_{\text{composites}} \quad (2.18)$$

2.1.1.8 การวัดรังสี

งานวิจัยทั่วไปที่ใช้เทคนิคทางนิวเคลียร์จะต้องเกี่ยวข้องกับการวัดรังสี โดยเครื่องวัดรังสีมีหลายประเภทซึ่งมีหลักการทำงาน และมีประสิทธิภาพในการวัดรังสีแตกต่างกัน ดังนั้นความรู้ด้านการวัดรังสีจะช่วยให้สามารถเลือกใช้เครื่องวัดรังสีได้อย่างเหมาะสม และวิเคราะห์ข้อมูลได้ถูกต้อง นอกจากนี้การตรวจวัดรังสีจะช่วยให้เกิดความมั่นใจว่ามีความปลอดภัยจากการทำงานที่เกี่ยวข้องกับกัมมันตภาพรังสี

หลักการวัดรังสี โดยรังสีในที่นี้หมายถึง รังสีก่อกอไอออน และการวัดรังสีนี้ก็หมายรวมถึงการตรวจหา และการวัดรังสี เนื่องจากรังสีเป็นแสงที่ตามนุษย์ไม่สามารถมองเห็น หรือสัมผัสได้จึงจำเป็นต้องใช้อุปกรณ์ หรือเครื่องมือที่สามารถตรวจหาวัดกัมมันตภาพหรือปริมาณรังสีได้เรียกว่า เครื่องวัดรังสี (Radiation detector) ระบบการวัดรังสีประกอบด้วยอุปกรณ์ที่สำคัญสองส่วนคือ หัววัดรังสี (Detector) ทำหน้าที่เป็นตัวกลางรับรังสี และเป็นบริเวณที่เกิดอันตรกิริยาต่าง ๆ ขึ้น และส่วนที่เป็นชุดอุปกรณ์อิเล็กทรอนิกส์วัด และแสดงผลทำหน้าที่ตรวจวัดผลที่เกิดจากอันตรกิริยาซึ่งจะถูกเปลี่ยนเป็นสัญญาณไฟฟ้า หลังจากการนับหรือการวิเคราะห์สัญญาณแล้วจึงแสดงผลเป็นตัวเลข เสียง หรือภาพ

การตรวจทางเวชศาสตร์นิวเคลียร์ หัววัดรังสี (Detector) เป็นอุปกรณ์พื้นฐานที่มีความสำคัญในการวัดปริมาณรังสีซึ่งหัววัดรังสีมีหลายชนิดจะใช้งานแบบไหนนั้นขึ้นอยู่กับจุดประสงค์ และชนิดของรังสี โดยระบบการวัดรังสีแสดงดังรูปที่ 2.6



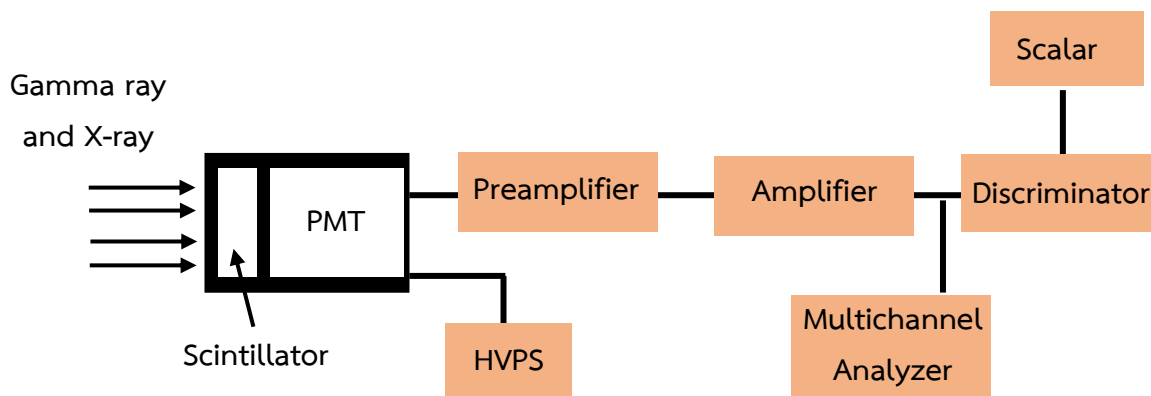
รูปที่ 2.7 ระบบการวัดรังสี

(ดัดแปลงมาจาก: <http://www.mt.mahidol.ac.th>)

อย่างที่กล่าวไปข้างต้นว่าหัววัดรังสีเป็นส่วนที่รับรังสี และส่วนที่เกิดอันตรกิริยาขึ้น ซึ่งจะแตกต่างกันไปขึ้นอยู่กับชนิดของหัววัด ขอกล่าวถึงหลักการทำงานของหัววัดรังสีทั้งสามชนิด โดยสังเขปดังต่อไปนี้

1. หัววัดรังสีแบบซินทิลเลชัน (Scintillator)

หัววัดรังสีแบบซินทิลเลชันเป็นเครื่องมือที่นิยมใช้กันมากที่สุด ส่วนใหญ่ใช้วัดรังสีแกมมา และรังสีเอ็กซ์ โดยรูปร่าง และลักษณะของเครื่องมือประกอบด้วย ตัวเรืองแสง (Scintillator) สามารถปล่อยแสงออกมาเมื่อรังสีพุ่งเข้าชน และหลอดทวีคูณแสง (Photomultiplier tube; PMT) ซึ่งจะทำหน้าที่รับแสง และเพิ่มอิเล็กตรอนที่เกิดขึ้นหรือเกิดการขยายสัญญาณ เนื่องจากความเข้มแสงจากซินทิลเลชันมีค่าน้อยมากจึงจำเป็นต้องทำการขยายสัญญาณก่อน ซึ่งมีกำลังขยายประมาณ 10^4 - 10^7 เท่า ระบบวัดรังสีแบบซินทิลเลชันแสดงดังรูปที่ 2.7



รูปที่ 2.8 วงจรการทำงานของระบบการวัดรังสีแบบซินทิลเลชัน (Scintillator)

(ดัดแปลงมาจาก: <http://www.lib.ku.ac.th>)

หลักการทำงานซินทิลเลชันดูดกลืนรังสีแกมมา หรือรังสีเอ็กซ์ทำให้ อิเล็กตรอนถูกกระตุ้นจากสถานะพัก (Ground state) สู่สถานะกระตุ้น (Activator excited state) หลังจากนั้นอิเล็กตรอนคายพลังงานออกมาในรูปโฟตอนแสงในขณะที่อิเล็กตรอนกลับลงสู่สถานะพัก แสงจากผลึกซินทิลเลเตอร์ตกกระทบที่โฟโตแคโทดของหลอดทวีคูณแสง โฟโตแคโทดจะปล่อย อิเล็กตรอนออกมา โดย High voltage power supply (HVPS) ทำหน้าที่สร้างแรงดัน หรือ กระแสไฟฟ้าของวงจร แรงดันไฟฟ้าสูงที่ป้อนเข้าสู่หลอดทวีคูณแสงจะทำให้เกิดการขยายจำนวน อิเล็กตรอนปล่อยอิเล็กตรอนทุติยภูมิ (Secondary electron) เพิ่มขึ้นเป็นจำนวนมากซึ่งถือว่าเป็น การขยายสัญญาณ อิเล็กตรอนที่เพิ่มขึ้นเหล่านี้จะถูกส่งต่อสู่ขั้วแอโนด และกลายเป็นสัญญาณเอาต์พุต จากนั้นอิเล็กตรอนถูกส่งไปยังวงจรภายนอกเรียกว่า แอมพลิฟายเออร์ (Amplifier) เพื่อทำการขยาย สัญญาณ สัญญาณนี้จะถูกส่งไปยังเครื่องวิเคราะห์แบบมัลติเชนแนล (Multichannel analyzer) เพื่อ ทำการวิเคราะห์สเปกตรัมของรังสีแกมมาที่ทำการนับวัดได้

2. หัววัดรังสีแบบสารกึ่งตัวนำ

พัฒนามาจากความก้าวหน้าในการประดิษฐ์สารกึ่งตัวนำให้มี สมบัติตามต้องการ สารกึ่งตัวนำที่เป็นหัววัดรังสีคือ เจอร์มาเนียม (Germanium) และซิลิคอน (Silicon) ซึ่งหลักการทำงานเมื่อรังสีกระทบหัววัดชนิดสารกึ่งตัวนำจะเกิดการแตกตัวได้ คู่อิเล็กตรอนโฮล (Electron - hold) ซึ่งจะถูกเปลี่ยนเป็นสัญญาณไฟฟ้าที่มีขนาดเป็นสัดส่วนกับ พลังงานของรังสี

3. หัววัดรังสีแบบแก๊ส

หัววัดรังสีแบบแก๊สประกอบด้วยแคโทด (Cathode) มีรูปร่างเป็น ทรงกระบอกทำมาจากทองแดง และมีเส้นลวดเป็นแอโนด (Anode) อยู่กึ่งกลางกระบอก และเส้น ลวดต่ออยู่กับแหล่งจ่ายไฟตรงที่มีค่ามากประมาณ 250-100 โวลต์ ซึ่งภายในกระบอกมีแก๊สอยู่

สำหรับหลักการทำงานคือเมื่อรังสีผ่านเข้าสู่หัววัดรังสีที่มีประจุ เช่น รังสีเบตา หรือรังสีแอลฟาจะทำให้อะตอมของแก๊สเกิดการแตกตัวได้อิออนคู่ออกมาซึ่งประกอบด้วยอิเล็กตรอน และไอออนบวก (Positive ion) จำนวนไอออนขึ้นอยู่กับจำนวน และชนิดของรังสีที่มีประจุผ่าน อิเล็กตรอนเข้าสู่แอโนด และไอออนบวกเข้าสู่แคโทดทำให้เกิดการไหลของกระแสขึ้นในวงจรเกิดเป็นสัญญาณ ซึ่งขนาดของสัญญาณขึ้นอยู่กับอิเล็กตรอนที่เข้าสู่แอโนด หลังจากนั้นสัญญาณจะถูกส่งไปยังเครื่องนับ [24]

4. โปรแกรม WinXcom

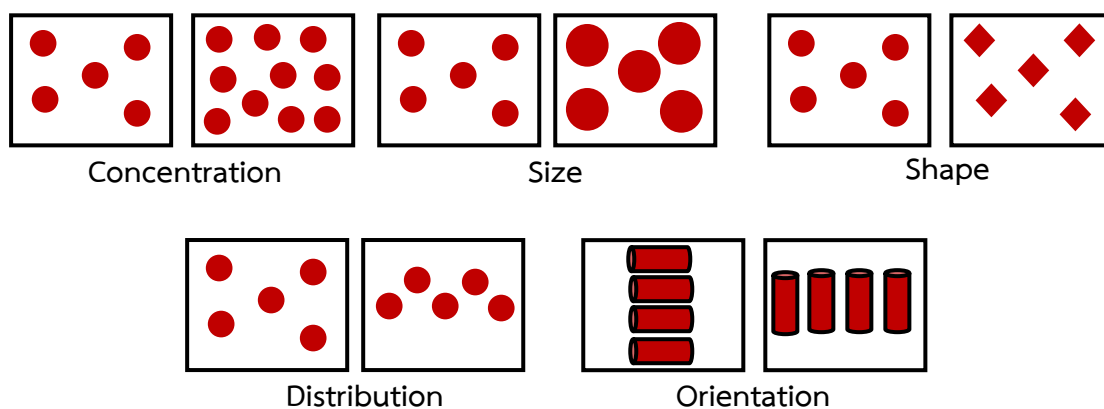
ข้อมูลการดูดกลืนรังสีเอ็กซ์ และรังสีแกมมาต้องใช้ข้อมูลทางวิทยาศาสตร์ และการประยุกต์ทางการแพทย์ โดยโปรแกรม WinXCom ใช้สำหรับหาค่าภาคตัดขวาง (Cross-Section) หรือค่าสัมประสิทธิ์การลดทอนเชิงมวล (Mass attenuation coefficient) ของการเกิดอันตรกิริยา Incoherent และ Coherent การดูดกลืนแบบโฟโตอิเล็กทริก แพร์โปรดักชัน สำหรับธาตุบริสุทธิ์ สารประกอบ และสารผสม และเป็นโปรแกรมที่น่าเชื่อถือยอมรับในระดับนานาชาติ[25]

2.1.2 วัสดุเชิงประกอบ หรือวัสดุคอมโพสิต (Composite materials)

วัสดุเชิงประกอบ หรือวัสดุคอมโพสิตหมายถึง วัสดุที่เกิดจากการรวมกันของวัสดุมากกว่าหนึ่งชนิดขึ้นไปแล้วทำให้สมบัติของวัสดุรวมดีขึ้น สำหรับความหมายเชิงวิศวกรรมของวัสดุคอมโพสิตหมายถึง วัสดุที่ประกอบขึ้นจากวัสดุที่มีสมบัติแตกต่างกันตั้งแต่สองชนิดขึ้นไปโดยไม่เกิดการรวมตัวเป็นเนื้อเดียวกันทำให้สมบัติของวัสดุคอมโพสิตที่ได้มีสมบัติร่วมกันของวัสดุที่เป็นองค์ประกอบ ดังนั้นการทำนาย หรือคาดคะเนสมบัติของวัสดุคอมโพสิตจึงไม่สามารถทำนายได้จากวัสดุที่เป็นองค์ประกอบชนิดใดเพียงชนิดเดียว องค์ประกอบของวัสดุคอมโพสิตได้แก่ วัสดุที่เป็นเนื้อหลัก และเป็นเฟสต่อเนื่องเรียกว่า เมทริกซ์ (Matrix) และวัสดุที่กระจายตัวอยู่ในวัสดุเนื้อหลักนั้นเรียกว่า เฟสกระจาย (Dispersion) โดยเมทริกซ์จะทำหน้าที่ห่อหุ้มสารเสริมแรงและทำให้วัสดุคอมโพสิตเป็นรูปร่างขึ้น ส่วนเฟสกระจายทำหน้าที่เสริมสมบัติให้กับเมทริกซ์ และทำให้วัสดุคอมโพสิตมีสมบัติตามต้องการ[26] วัสดุคอมโพสิตเริ่มต้นกลางคริสต์ศตวรรษที่ 20 ซึ่งเป็นยุคที่มีความก้าวหน้าทางวิทยาศาสตร์และเทคโนโลยี ฟีนอลฟอรัลดีไฮด์ (Phenol formaldehyde resin) หรือเรซินฟีนอลิก (Phenolic resin) เป็นพอลิเมอร์สังเคราะห์ชนิดแรกที่ถูกผลิต และจัดจำหน่าย หลังจากนั้นได้มีการผลิตเรซินยูเรียฟอรัลดีไฮด์ (Urea formaldehyde resin) พอลิเอสเตอร์ชนิดไม่อิ่มตัว (Unsaturated polyester resin) และอีพอกซี (Epoxy) ออกมาตามลำดับ และในเวลาต่อมาได้มีการพัฒนากระบวนการการผลิตเส้นใยที่มีขนาด หรือเส้นผ่านศูนย์กลางที่เล็กมากจากแก้วหลอมเหลว เรียกว่า เส้นใยแก้ว (Glass fiber) ออกสู่ตลาดเพื่อใช้งานเป็นฉนวนกันความร้อน การนำพอลิเมอร์ และเส้นใยแก้วมาประกอบกลายเป็นจุดเริ่มต้นของนวัตกรรมการผลิตวัสดุคอมโพสิตในปัจจุบัน[27] ระยะเริ่มต้นความต้องการวัสดุที่มีความแข็งแรง และขึ้นรูปให้มีรูปร่างซับซ้อนได้กลายเป็นแรงผลักดัน

ให้เกิดการนำเอาเส้นใยแก้วที่มีความแข็งแรงสูงมาเสริมแรงให้กับเรซินพอลิเมอร์เกิดเป็นวัสดุคอมโพสิตที่ทนแรงกระทำ และในเวลาต่อมาวัสดุคอมโพสิตก็เริ่มมีการพัฒนาเพื่อการใช้งานมากขึ้นเรื่อย ๆ โดยใช้เป็นส่วนประกอบของชิ้นส่วนที่ต้องการความแข็งแรง และการเปลี่ยนชนิดของพอลิเมอร์ที่ใช้เป็นเมทริกซ์ซึ่งจะทำให้ได้วัสดุคอมโพสิตที่มีสมบัติที่หลากหลายและมีสมบัติแตกต่างกันตามจุดประสงค์ในการประยุกต์ใช้งาน[28]

โดยสมบัติของวัสดุคอมโพสิตที่ได้จะขึ้นอยู่กับสมบัติของวัสดุเริ่มต้น อัตราส่วนของวัสดุเริ่มต้นแต่ละชนิด และลักษณะของเฟสที่กระจายตัวอยู่ วัสดุคอมโพสิตที่เกิดจากเมทริกซ์ และเฟสที่กระจายตัวชนิดเดียวกัน แต่ถ้ามีความเข้มข้น ขนาด รูปร่าง ลักษณะการกระจาย หรือการจัดเรียงตัวของเฟสที่กระจายที่ต่างกัน วัสดุคอมโพสิตที่ได้จะมีสมบัติที่ไม่เหมือนกัน ลักษณะต่าง ๆ ของเฟสที่กระจายตัวอยู่ในเมทริกซ์ที่ส่งผลต่อสมบัติสุดท้ายของวัสดุคอมโพสิตแสดงดังรูปที่ 2.8



รูปที่ 2.9 ลักษณะต่าง ๆ ของเฟสที่กระจายตัวอยู่ในเมทริกซ์ที่ส่งผลต่อสมบัติสุดท้ายของวัสดุคอมโพสิต

(ดัดแปลงมาจาก: <http://ftiebusiness.com/knowledge-detail.php>)

วัสดุคอมโพสิตแบ่งออกเป็น 3 ประเภท ได้แก่

2.1.2.1 วัสดุผสมที่เสริมแรงด้วยอนุภาค (Particle-reinforced)

วัสดุผสมที่เสริมแรงด้วยอนุภาคประกอบด้วยเนื้อพื้นที่เป็นเนื้อเดียวต่อเนื่องกัน และมีการเสริมแรง หรือเพิ่มสมบัติให้กับเนื้อพื้นด้วยการเติมสารเสริมแรงแบบเม็ดผง เช่น วัสดุคอมโพสิตของทั้งสแตนคาร์ไบด์กับโคบอลต์ ทั้งสแตนคาร์ไบด์มีความแข็งแรงสูง แต่ทั้งสแตนคาร์ไบด์มีข้อเสียคือ มีความจำเพาะสูง และแตกหักง่าย เมื่อผสมกับโคบอลต์ทำให้วัสดุที่ได้มีความแข็งแรงสูง และมีความต้านทานการแตกหักที่ดีขึ้น เพราะโคบอลต์มีความเหนียว และคอยดูดกลืนพลังงาน ยากล้อรถยนต์ที่มีเนื้อพื้นเป็นยาง และมีการผสมคาร์บอนแบล็ค หลังจากการยางได้ผ่านกระบวนการแล้ว ยากล้อรถยนต์ที่ได้จะมีความแข็งแรง ความแกร่ง และความต้านทานการสึกกร่อนมากขึ้น เป็นต้น

2.1.2.2 วัสดุผสมที่เสริมแรงด้วยเส้นใย (Fiber-reinforced)

1. วัสดุผสมที่เสริมแรงด้วยเส้นใยาว และมีการจัดเรียงตัวเป็นระเบียบ เป็นการผสมเส้นใยให้กระจายตัวอย่างเป็นระเบียบอยู่ในเมทริกซ์ เช่น การผสมเส้นใยของซิลิกอนคาร์ไบด์ในแก้วเพื่อเพิ่มความแกร่ง (Fracture toughness) เป็นต้น
2. วัสดุคอมโพสิตเสริมแรงโดยเส้นใยสั้น (Short fiber-reinforced composites) แบ่งได้เป็น 2 ประเภท ได้แก่
 - วัสดุคอมโพสิตเสริมแรงโดยเส้นใยสั้นเรียงตัวเป็นระเบียบ (Aligned discontinuous fiber-reinforced composites) มีสมบัติทางกลที่ดี เมื่อต้องรับโหลดในทิศทางเดียวกับทิศทางการจัดเรียงตัวของเส้นใย ดังนั้นวัสดุคอมโพสิตชนิดนี้จะมีสมบัติเป็นแบบ Anisotropy
 - วัสดุคอมโพสิตเสริมแรงโดยเส้นใยสั้นเรียงตัวแบบสุ่ม (Randomly oriented discontinuous fiber reinforced composites) หรือไม่มีการจัดเรียงตัวในทิศทางใดทิศทางหนึ่งทำให้วัสดุชนิดนี้มีสมบัติที่เท่ากันในทุกทิศทางเรียกว่า Isotropy
 หากใช้เฟสเนื้อพื้นเป็นเกณฑ์ในการจำแนกชนิดของวัสดุคอมโพสิตสามารถที่ถูกจำแนกได้เป็น 3 ประเภท ได้แก่
 1. วัสดุคอมโพสิตเนื้อพื้นพอลิเมอร์ (Polymer matrix composites, PMC) วัสดุคอมโพสิตที่มีเมทริกซ์เป็นพอลิเมอร์ และเฟสที่กระจายหรือเฟสเสริมแรงเป็นได้ทั้งพอลิเมอร์โลหะ และเซรามิกส์
 2. วัสดุคอมโพสิตเนื้อพื้นโลหะ (Metal matrix composites, MMC) วัสดุคอมโพสิตที่มีเมทริกซ์เป็นโลหะ และส่วนมากมีเฟสกระจายตัวที่เป็นโลหะ หรือเซรามิกส์ เพื่อเพิ่มความแข็ง (Hardness) ความแข็งแรง (Tensile strength) และความต้านทานความคืบ (Creep resistance) เป็นต้น
 3. วัสดุคอมโพสิตเนื้อพื้นเซรามิกส์ (Ceramic matrix composites, CMC) วัสดุคอมโพสิตที่มีเซรามิกส์เป็นเมทริกซ์ และเนื่องด้วยเซรามิกส์มีความเปราะสูง ดังนั้นเฟสกระจายตัวที่เลือกมาผสมกับเมทริกซ์ต้องสามารถเพิ่มความแกร่ง (Fracture toughness, K_{IC}) ให้กับเมทริกซ์ได้[29]

2.1.3 งานวิจัยที่เกี่ยวข้องกับวัสดุคอมโพสิต

ซึ่งเป็นงานวิจัยที่มุ่งเน้นการปรับปรุงสมบัติต่าง ๆ ของพอลิเมอร์ โดยการเติมสารตัวเติมลงในพอลิเมอร์ เช่น

H.Y.Chen และคณะ (2015)[30] ได้ทำการศึกษาการเติมแคลเซียมซัลเฟต (Calcium sulfate; $CaSO_4$) ที่ผ่านการปรับปรุงผิวหน้าด้วยกระบวนการไฮดรอกซิเลชัน (hydroxylation) โดยใช้โซเดียมไฮดรอกไซด์ (Sodium hydroxyl; NaOH) เป็นตัวทำละลายเพื่อเพิ่มหมู่ไฮดรอกซิล (-OH)

ลงบนผิวของแคลเซียมซัลเฟต และกราฟด้วยอะมิโนโพรพิลไตรเมทท็อกซีไซเลน (Amino propyl trimethoxy silane; APS) หลังจากนั้นผสมลงในพอลิไวนิลคลอไรด์ (Polyvinyl chloride; PVC) โดยแคลเซียมซัลเฟตทำหน้าที่เป็นเฟสเสริมแรงให้กับพอลิไวนิลคลอไรด์ที่ทำหน้าที่เป็นเนื้อพื้น จากการทดสอบแสดงให้เห็นว่า แคลเซียมซัลเฟตที่ผ่านการปรับปรุงผิวหน้าจะให้ค่าความต้านทานต่อแรงกระแทก (Impact strength) และความแข็งแรงงอต่อการโค้งงอ (Flexural strength) เพิ่มขึ้น เนื่องจากแคลเซียมซัลเฟตผสมเข้ากันได้ดีกับพอลิไวนิลคลอไรด์ และเป็นผลมาจากบริเวณผิวหน้าของแคลเซียมซัลเฟตมีหมู่ไฮดรอกซิลเพิ่มขึ้นเมื่อทำการปรับปรุงผิวหน้าด้วยโซเดียมไฮดรอกไซด์ที่สามารถเกิดปฏิกิริยากับหมู่ซิลานอลที่ปลายสายโซ่ของอะมิโนโพรพิลไตรเมทท็อกซีไซเลนได้ โดยปลายสายโซ่อีกด้านหนึ่งของอะมิโนโพรพิลไตรเมทท็อกซีไซเลนเป็นหมู่อะมิโน ($-NH_2$) ทำปฏิกิริยากับพอลิไวนิลคลอไรด์ทำให้เกิดอันตรกิริยาที่ตึระหว่างกัน เมื่อให้แรงกับวัสดุคอมโพสิต แรงจะเคลื่อนที่ไปยังเฟสของเนื้อพื้นก่อน และจะทำการถ่ายโอนแรงจากเนื้อพื้นไปยังเฟสเสริมแรง หากเกิดอันตรกิริยาที่ติดต่อกันจะเกิดการถ่ายโอนแรงได้อย่างต่อเนื่องส่งผลให้สมบัติเชิงกลมีค่าเพิ่มขึ้น

สุปราณี และคณะ (2016)[31] ศึกษาสมบัติเชิงกลและสัณฐานวิทยาของคอมโพสิตชีวภาพที่ผลิตจากพอลิแลคติกแอซิด (PLA) โดยมีเส้นใยสับปะรด (PALF) เป็นสารเสริมแรง เส้นใยสับปะรดที่ใช้สกัดได้จากใบสับปะรดด้วยวิธีเชิงกล (ใช้เครื่องขูดใบ) ตรวจสอบสัณฐานวิทยาของพื้นผิวและสมบัติความทนต่อแรงดึงของเส้นใยด้วยกล้องจุลทรรศน์อิเล็กตรอนแบบส่องกราดและเครื่องทดสอบแรงดึงอเนกประสงค์ ก่อนเตรียมคอมโพสิตเส้นใยสับปะรดจะถูกตัดให้มีความยาวประมาณ 1-3 มม. และผสมกับพอลิแลคติกแอซิดด้วยเครื่องผสมแบบเกลียวคู่ (Twin-screw extruder) ในปริมาณเส้นใยร้อยละ 10-50 ก่อนที่จะขึ้นรูปเป็นชิ้นงานด้วยเครื่องขึ้นรูปแบบฉีด (Injection molding) การทดสอบแรงดึงของคอมโพสิตตามวิธีมาตรฐาน ASTM D638 พบว่าค่ามอดุลัสของยัง (Young's modulus) ของคอมโพสิตเพิ่มขึ้นเมื่อปริมาณเส้นใยเพิ่มขึ้น โดยคอมโพสิตที่มีปริมาณเส้นใยร้อยละ 50 มีค่ามอดุลัสของยังเพิ่มขึ้นจากพอลิแลคติกแอซิดร้อยละ 68 ส่วนคอมโพสิตที่มีปริมาณเส้นใยร้อยละ 40 มีค่ามอดุลัสของยังเพิ่มขึ้นจากพอลิแลคติกแอซิดร้อยละ 48 แต่มีค่าความหนืดขณะหลอม (Melt viscosity) ต่ำกว่าคอมโพสิตที่มีปริมาณเส้นใยร้อยละ 50 นอกจากนี้ เพื่อปรับปรุงความเข้ากันได้ของพอลิแลคติกแอซิดกับเส้นใย งานวิจัยนี้ยังได้เติมสารคู่ควบ (Coupling agent) มาเลอิกแอนไฮไดรด์ร้อยละ 10 ลงในคอมโพสิตที่มีปริมาณเส้นใยร้อยละ 40 ผลที่ได้พบว่าค่ามอดุลัสของยังของคอมโพสิตเพิ่มจาก 3.8 เป็น 5.1 GPa หรือเพิ่มขึ้นร้อยละ 34

S.Tang และคณะ(2007), F.Yang และคณะ (2008)[32-33] รายงานว่าการปรับปรุงสมบัติความต้านทานต่อการแตกหัก (Fracture toughness) ของซิลิคอนคาร์ไบด์ (Silicon carbide; SiC) มีข้อดีหลายประการ เช่น น้ำหนักเบา แข็งแรง ทนทานต่อการสึกหรอ ทนต่ออุณหภูมิได้สูง เป็นต้น และซิลิคอนคาร์ไบด์ก็ยังมีข้อเสียคือ ซิลิคอนคาร์ไบด์เป็นวัสดุที่มีความเปราะจึงต้องเติมวัสดุ

คาร์บอนที่มีความยาวของเส้นใยต่อเส้นผ่านศูนย์กลาง (Aspect ratio) ที่สูงลงในซิลิคอนคาร์ไบด์ เช่น เส้นใยคาร์บอน (Carbon fiber) แกรไฟต์ (Graphite flake) ท่อนาโนคาร์บอน (Carbon nanotube; CNTs) เป็นต้น เพื่อปรับปรุงความต้านทานต่อการแตกหักให้ดีขึ้น F. Yang และคณะ (2009)[34] ทำการศึกษาเส้นใยคาร์บอนสั้น (Short carbon fiber) เสริมแรงในวัสดุคอมโพสิตที่ผสมระหว่าง เซอร์โคเนียม ไดโบไรด์ (Zirconium diboride; ZrB_2) และซิลิคอนคาร์ไบด์ โดยทำการผสมด้วยวิธีการอัดขึ้นรูปด้วยความร้อน จากผลการทดลองพบว่าความต้านทานต่อการแตกหักมีค่าเพิ่มขึ้นจาก 4.3 เมกะพาสคัลเป็น 6.6 เมกะพาสคัล Z. Wang และคณะ (2009)[35] ผสมกราไฟล์แบบแผ่น (Graphite flake) เข้าไปในวัสดุคอมโพสิตที่ผสมเซอร์โคเนียมไดโบไรด์ (Zirconium diboride ; ZrB_2) ร้อยละ 20 โดยปริมาตร ซิลิคอนคาร์ไบด์สามารถปรับปรุงความต้านทานต่อการแตกหักให้สูงขึ้นได้ถึงร้อยละ 35 เมื่อเทียบกับวัสดุคอมโพสิตที่ไม่มีการเติมกราไฟล์แบบแผ่น และ C.Pengcheng และคณะ (2018) [36] ทำการศึกษาการปรับปรุงความต้านทานต่อการแตกหัก โดยการเติมท่อนาโนคาร์บอนลงในซิลิคอนคาร์ไบด์ที่มีการปรับปรุงผิวหน้าด้วยวิธี HF treatment เพื่อกำจัดซิลิคอนไดออกไซด์ (Silicon dioxide; SiO_2) บนผิวหน้าของซิลิคอนคาร์ไบด์ส่งผลให้เกิดอันตรกิริยาบริเวณผิวหน้า (Interfacial reactions) ระหว่างท่อนาโนคาร์บอนและซิลิคอนไดออกไซด์ ให้ดีขึ้นจากการทดลองพบว่า ค่าความต้านทานต่อการแตกหักเพิ่มขึ้นจาก 4.4 เมกะพาสคัลเป็น 5.4 เมกะพาสคัล

A.R.Bhattacharyya และคณะ (2003)[37] ได้ทำการเตรียมวัสดุคอมโพสิตระหว่าง พอลิโพรพิลีน (Polypropylene; PP) และท่อนาโนคาร์บอนผนังหนึ่งชั้น (Single-walled Carbon Nanotube; SWCN) โดยใช้การผสมแบบหลอม (Melt blending method) และทำการตรวจสอบกระบวนการเกิดผลึกของวัสดุคอมโพสิต จากผลการทดลองพบว่า การเติมท่อนาโนคาร์บอนผนังหนึ่งชั้นไม่สามารถเปลี่ยนแปลงชนิดของผลึกของพอลิโพรพิลีนได้ แต่สามารถทำหน้าที่เป็นตัวเร่งในการก่อผลึก (Nucleating agent) ในพอลิโพรพิลีนส่งผลให้อัตราการเกิดผลึกของวัสดุคอมโพสิตเพิ่มขึ้น มีสเฟียร์รูไลต์ (Spherules) ขนาดเล็ก และมีการกระจายตัวของขนาดผลึกที่แคบ ส่งผลให้วัสดุคอมโพสิตมีสมบัติเชิงกลที่เพิ่มขึ้น T.Y.Zhou และคณะ (2016)[38] ได้ทำการเตรียมวัสดุคอมโพสิตระหว่างพอลิโพรพิลีน และท่อนาโนคาร์บอนผนังหลายชั้น (Multi-walled MWCNT) โดยใช้วิธีการผสมแบบหลอม (Melt blending method) ทำการศึกษาขนาด และปริมาณของท่อนาโนคาร์บอนผนังหลายชั้นที่มีผลต่อสมบัติทางความร้อน และเสถียรภาพทางความร้อนของวัสดุคอมโพสิต จากการทดสอบการวิเคราะห์เชิงความร้อนด้วยเทคนิคการวัดการเปลี่ยนแปลงมวล เมื่ออุณหภูมิ หรือเวลาเปลี่ยนไป (Thermogravimetric analysis; TGA) พบว่า อุณหภูมิในการสลายตัว (Decomposition temperature; T_d) ของวัสดุคอมโพสิตเพิ่มขึ้น เมื่อเพิ่มปริมาณของท่อนาโนคาร์บอนผนังหลายชั้น เนื่องจากท่อนาโนคาร์บอนผนังหลายชั้นมีลักษณะที่เป็นท่อ และมีผนังหลาย

ชั้นอาจทำให้เกิดการขัดขวาง (Barrier function) ของท่อนาโนคาร์บอนผนังหลายชั้นการส่งผ่านความร้อนจึงทำได้ยากขึ้น และเมื่อค่าความยาวของเส้นใยต่อเส้นผ่านศูนย์กลางเพิ่มขึ้น ค่าอุณหภูมิในการสลายตัวจะเพิ่มขึ้นเช่นกัน เนื่องจากเกิดเส้นทางคดเคี้ยว (Tortuous path) ในวัสดุคอมโพสิตมากขึ้น ซึ่งการเกิดเส้นทางคดเคี้ยวจะทำให้การส่งผ่านความร้อนเกิดได้ช้าลง ดังนั้นท่อนาโนคาร์บอนสามารถเพิ่มความเสถียรทางความร้อนให้กับพอลิเมอร์ได้ นอกจากนี้ท่อนาโนคาร์บอนยังสามารถเพิ่มสมบัติเชิงกลให้กับพอลิเมอร์ได้อีกด้วย

P.L.Teh และคณะ (2008)[39] ทำการศึกษาปัจจัยของการเติมซิลิกาหลอม (Fused silica) ใยแก้วผง (Glass powder) และซิลิกา (Mineral silica) ลงในอีพ็อกซี (Epoxy) ที่มีผลต่อสมบัติเชิงกลด้านไดนามิก (Dynamic properties) จากผลการทดลองสารตัวเติมทั้งสามทำให้ค่าสมบัติเชิงกลด้านไดนามิกของอีพ็อกซีเพิ่มขึ้น เนื่องจากสารตัวเติมเหล่านี้จัดเป็นสารตัวเติมประเภทเสริมแรงเข้ากันได้ดีกับอีพ็อกซีที่ทำหน้าที่เป็นเนื้อพื้น และบนผิวหน้าของอนุภาคของสารตัวเติมมีหมู่ฟังก์ชันที่สามารถเกิดปฏิกิริยากับอีพ็อกซีได้ทำให้เกิดอันตรกิริยาที่ติระหว่างกัน

S.Zhang และคณะ (2011)[40] ทำการศึกษานำความร้อน (Heat conduction) ความต้านทานต่อการกระแทก (Impact strength) และความต้านทานต่อแรงดึง (Tensile strength) ของพอลิเอทิลีนชนิดความหนาแน่นสูง (High-density polyethylene; HDPE) ที่มีการเติมอะลูมิเนียมออกไซด์ (Aluminium oxide; Al_2O_3) จากการทดลองพบว่า สมบัติเชิงกลเพิ่มขึ้นเมื่อมีการเติมอะลูมิเนียมออกไซด์ในปริมาณที่เหมาะสมเนื่องจากอะลูมิเนียมออกไซด์มีอนุภาคที่แข็งสามารถเสริมแรงให้กับพอลิเอทิลีนชนิดความหนาแน่นสูงได้ และการมีอะลูมิเนียม (Al) เป็นองค์ประกอบจะสามารถนำความร้อนได้ดี เนื่องจากอะลูมิเนียมเป็นโลหะที่มีสมบัติในการนำความร้อนได้ ซึ่งมีผลการทดลองที่คล้ายกันของ M.A.Onitiri และคณะ (2018)[34] ที่ทำการศึกษาปัจจัยในการเติมหางแร่ (Iron ore tailings) ที่มีขนาด และปริมาณที่แตกต่างกันลงในวัสดุคอมโพสิตอีพ็อกซี จากผลการทดลองพบว่า ค่าความต้านทานต่อการกระแทกของวัสดุคอมโพสิตเพิ่มขึ้น เมื่อหางแร่มีขนาดเล็กลงเป็นผลมาจากมีพื้นที่ผิวสัมผัสกับอีพ็อกซีมากเกิดการส่งผ่านแรงได้มากเช่นกัน นอกจากนี้การเติมหางแร่ที่มีองค์ประกอบของเหล็กซึ่งมีสมบัติการนำความร้อนได้ดีจะส่งผลให้วัสดุคอมโพสิตเกิดการนำความร้อนได้ดีขึ้นด้วย

รังสิมา และคณะ (2002)[41] ศึกษาการเตรียมวัสดุคอมโพสิตระหว่างพอลิเอทิลีนชนิดความหนาแน่นสูง และไมก้าหรือทัลคัมที่ส่งผลการแพร่ผ่านของแก๊สออกซิเจน และสมบัติเชิงกลจากการศึกษาพบว่า ในการผสมไมก้าร้อยละ 15 โดยน้ำหนัก และทัลคัมร้อยละ 25 โดยน้ำหนักมีผลทำให้การแพร่ผ่านของแก๊สออกซิเจนในพลาสติกผสมลดลงประมาณร้อยละ 60 เมื่อเทียบกับพอลิเอทิลีนชนิดความหนาแน่นสูงที่ไม่มีการเติมสารตัวเติม เนื่องจากไมก้า หรือทัลคัมทำหน้าที่เป็น

สารที่ช่วยเร่งในการเกิดผลึก (Nucleating agent) ของพอลิเอทิลีนชนิดความหนาแน่นสูงทำให้พลาสติกผสมมีผลึกมีขนาดเล็ก ปริมาณมาก และมีความหนาแน่นสูง ทำให้แก๊สซึ่งมีโมเลกุลขนาดเล็ก ซึมผ่านได้ยากขึ้น

2.1.4 งานวิจัยที่เกี่ยวข้องกับวัสดุคอมโพสิตเพื่อกำบังรังสี

จากงานวิจัยที่กล่าวมาข้างต้นมีวัตถุประสงค์เช่นเดียวกันคือ ต้องการพัฒนาวัสดุคอมโพสิตให้มีคุณสมบัติที่หลากหลาย เพื่อขยายขอบเขตการใช้งานของวัสดุคอมโพสิตให้กว้างขึ้น หรือสามารถนำไปใช้งานในด้านที่เฉพาะเจาะจงมากยิ่งขึ้น ซึ่งในปัจจุบันนักวิจัยได้มีการพัฒนาวัสดุคอมโพสิตที่สามารถนำมาใช้งานเฉพาะด้านได้ เช่น การเติมโลหะออกไซด์ลงในพอลิเมอร์ เพื่อเป็นวัสดุที่สามารถลดทอนรังสีได้ ซึ่งในปัจจุบันมีการนำรังสีเอ็กซ์ และรังสีแกมมา มาใช้งานอย่างแพร่หลาย ทั้งด้านการแพทย์ การเกษตร และในอุตสาหกรรมต่าง ๆ แต่เนื่องจากรังสีเอ็กซ์และรังสีแกมมา เป็นคลื่นแม่เหล็กไฟฟ้าที่มีพลังงานสูงจัดเป็นรังสีก่อไอออน ซึ่งเป็นอันตรายต่อมนุษย์และสิ่งแวดล้อม หากผู้ปฏิบัติงานทางด้านรังสีได้รับรังสีในปริมาณที่มากเกินไป อาจส่งผลกระทบต่อสุขภาพและร่างกาย เช่น อาจส่งผลกระทบต่อให้เกิดความเสี่ยงในการเกิดเซลล์มะเร็งเพิ่มสูงขึ้น ดังนั้นจึงมีความจำเป็น และสำคัญอย่างยิ่งในการหาวิธีป้องกันรังสีดังกล่าว จึงมีการคิดค้นผลิตวัสดุป้องกันรังสีเพื่อให้ผู้ปฏิบัติงานทางด้านรังสีสามารถป้องกันและลดโอกาสที่จะได้รับรังสีจนก่อให้เกิดอันตรายได้[42]

K.Singh และคณะ (2002)[43] ทำการศึกษาความสามารถในการกำบังรังสีของ แก้วบอเรตในสูตร $x\text{Bi}_2\text{O}_3(1-x)\text{B}_2\text{O}_3$ เมื่อ x เท่ากับ 0.30 0.35 0.40 0.45 และ 0.55 ศึกษา ค่าสัมประสิทธิ์การลดทอนรังสีเชิงมวลโดยใช้โปรแกรม WinXCom ที่ระดับช่วงพลังงาน 356-1332 กิโลอิเล็กตรอนโวลต์ (keV) พบว่า ค่าสัมประสิทธิ์การลดทอนรังสีเชิงมวลเพิ่มสูงขึ้นเมื่อเพิ่มปริมาณของบิสมาท และค่าสัมประสิทธิ์การลดทอนรังสีเชิงมวลลดลงเมื่อเพิ่มระดับพลังงานของรังสีแกมมา

P.Kamonpan และคณะ (2005)[44] ทำการศึกษาสมบัติของแก้วตะกั่วป้องกันรังสีแก้ว ตะกั่วได้ถูกเตรียมขึ้นโดยกระบวนการหลอมที่มีปริมาณตะกั่วออกไซด์ตั้งแต่ร้อยละ 41.6 – 75.5 โดยน้ำหนัก จากนั้นได้ทำการตรวจสอบผลกระทบของเงื่อนไขกระบวนการเตรียมแก้วต่อการสร้างตัวของเฟส และการแน่นตัวของแก้วตะกั่วเพื่อหาสภาวะในการหลอม โดยพบว่าอุณหภูมิที่เหมาะสมในการหลอมแก้วมีค่าอยู่ในช่วง 1,150 ถึง 1,250 องศาเซลเซียส และอุณหภูมิในการอบอ่อนอยู่ที่ 500 องศาเซลเซียส สีของแก้วตะกั่วที่ได้มีสีเหลืองจนถึงสีเหลืองอมเขียวตามปริมาณตะกั่วออกไซด์ที่เพิ่มขึ้น และยังพบว่า แก้วตะกั่วมีโครงสร้างเป็นแบบอสัณฐาน ส่วนค่าความหนาแน่น ค่าดรรชนีหักเห และสัมประสิทธิ์การดูดกลืนรังสีเอ็กซ์ของแก้วมีค่าเพิ่มขึ้น เมื่อปริมาณตะกั่วออกไซด์เพิ่มขึ้น นอกจากนี้ยังพบว่า แก้วตะกั่วที่เผาที่อุณหภูมิ 1,150 องศาเซลเซียส และเผาแช่เป็นเวลา 4 ชั่วโมงมีค่าสัมประสิทธิ์การดูดกลืนรังสีเอ็กซ์สูงที่สุดซึ่งเหมาะสำหรับการนำไปเป็นวัสดุกำบังรังสี

ซึ่งการทำวัสดุป้องกันรังสีโดยใช้แก้วพบข้อเสียคือ กระบวนการขึ้นรูปต้องใช้อุณหภูมิสูงในการหลอมแก้วส่งผลต่อต้นทุนการผลิต และแก้วเป็นวัสดุที่มีความเปราะ หากไม่ทำการเก็บรักษา หรือมีการใช้งานที่ไม่ระมัดระวังอาจเกิดการแตกหักได้ง่าย จึงได้มีการคิดค้นนำวัสดุที่มีความหนาสูงมาใช้แทนแก้ว

دنุพล และคณะ (2008)[45] ทำการศึกษาการนำคอนกรีตมาเป็นวัสดุป้องกันรังสี โดยคอนกรีตที่มีความหนา 20 เซนติเมตร สามารถกำบังรังสีได้เทียบเท่ากับตะกั่วหนา 4 เซนติเมตร นอกจากนี้ยังมีสมบัติทนความร้อน ไม่ทำปฏิกิริยาเคมีกับไอโซโทปรังสี ทนการกัดกร่อนนานกว่าระยะเวลารังสีเสื่อมสลายหมด และทนทานต่อแรงกระแทก ทำการศึกษาคุณลักษณะของคอนกรีตผสมมวลรวมแบไรต์ และเพอร์ไลต์ดิบบดเป็นแร่ในอัตราส่วนที่แตกต่างกันได้แก่ ร้อยละ 10 20 และ 30 โดยปริมาตร ซึ่งอัตราส่วนที่แตกต่างกันของเพอร์ไลต์ดิบมีผลต่อสมบัติทางกายภาพ เชิงกล และการฉายรังสีแกมมาของคอนกรีตมวลหนัก จากผลการทดสอบพบว่า คอนกรีตแบไรต์ผสมเพอร์ไลต์ ร้อยละ 10 โดยปริมาตรสามารถลดทอนรังสีแกมมาได้ดีที่สุด โดยเฉพาะเมื่อนำมาวางซ้อนกันให้หนา 15 มิลลิเมตรสามารถลดทอนรังสีแกมมาที่ส่งผ่านได้ดี

2.1.5 งานวิจัยที่เกี่ยวข้องกับการพัฒนาพอลิเมอร์กำบังรังสี

จากงานวิจัยข้างต้นปัญหาที่พบคือ วัสดุกำบังรังสีไม่มีสมบัติความยืดหยุ่นที่สามารถโค้งงอตามรูปร่างของอวัยวะที่ต้องการป้องกันรังสีซึ่งอาจส่งผลทำให้รังสีเกิดการสัมผัสกับผิวหนัง หรืออวัยวะนั้น ๆ ได้จึงได้มีการพัฒนาวัสดุป้องกันรังสีให้มีสมบัติความยืดหยุ่นมากขึ้น เพื่อให้สามารถโค้งงอตามรูปร่างของอวัยวะ และป้องกันรังสีแบบเฉพาะพื้นที่ได้ โดยใช้ยางหรือพอลิเมอร์อื่นเป็นวัสดุเพิ่มความยืดหยุ่น

K.Kalayane และคณะ(2008)[46] ทำการศึกษาการเตรียมยางธรรมชาติเกรด STR 5L ผสมกับผงเพอร์ไลต์ที่เป็นวัสดุเหลือทิ้งจากโรงงาน และผงเขม่าดำในอัตราส่วนต่าง ๆ จากนั้นนำมาทดสอบประสิทธิภาพการลดทอนรังสีแกมมาที่เกิดจากแหล่งกำเนิดรังสีชนิดอะเมริเซียม (^{241}Am ; พลังงาน 59.8 กิโลอิเล็กตรอนโวลต์) โดยแปรค่าความหนาของแผ่นยาง 1-5 มิลลิเมตร จากการศึกษาพบว่า ประสิทธิภาพการป้องกันรังสีแปรผันตรงตามปริมาณของผงเพอร์ไลต์ที่ผสม และความหนาของแผ่นยางที่เพิ่มขึ้น ยางธรรมชาติ STR 5L ผสมผงเขม่าดำ 20 ส่วนโดยร้อยละเมื่อเทียบกับยาง และผงเพอร์ไลต์ 100 ส่วนโดยร้อยละเมื่อเทียบกับยาง มีค่าสัมประสิทธิ์การลดทอนรังสีเชิงเส้นเท่ากับ 2.31 ต่อเซนติเมตร โดยยางธรรมชาติเกรด STR 5L ผสมผงเขม่าดำสูงสุด 20 ส่วนโดยร้อยละเมื่อเทียบกับยางและผงเพอร์ไลต์สูงสุด 100 ส่วนโดยร้อยละเมื่อเทียบกับยาง ความหนา 3-5 มิลลิเมตร เป็นวัสดุที่สามารถใช้เป็นวัสดุสำหรับการกำบังรังสีที่มีความยืดหยุ่นจากยางธรรมชาติ การผสมผงเพอร์ไลต์ลงไปในนี้อย่างธรรมชาติเกรด STR 5L มีผลให้ยางผสมมีค่าความทนทานต่อแรงดึงลดลง

แต่ช่วยเสริมค่าความแข็งของชิ้นงานให้เพิ่มขึ้นอย่างมาก นอกจากนี้ค่าความหนาแน่นของวัสดุคอมโพสิตสูงขึ้นเมื่อปริมาณของผงเฟอร์ไรต์ และปริมาณของเขม่าดำเพิ่มขึ้น

นรินทร์ (2011)[47] เตรียมวัสดุคอมโพสิตผสมระหว่างยางธรรมชาติ และแก้วสำหรับใช้เป็นวัสดุกำบังรังสี การศึกษาประสิทธิภาพการดูดกลืนรังสีของวัสดุคอมโพสิต โดยพิจารณาจากค่าสัมประสิทธิ์การดูดกลืนรังสีซึ่งในงานวิจัยนี้ทำการเตรียมวัสดุคอมโพสิต โดยใช้ผงแก้วตะกั่ว และแก้วในรูปผงละเอียดถูกนำไปผสมในเมทริกซ์น้ำยางและยางธรรมชาติชนิดแห้งเกรด STR-5L โดยใช้เครื่องบดผสมสองลูกกลิ้ง และระบบยางคงรูปด้วยกำมะถัน ผงแก้วสูงสุดที่สามารถเติมได้มีค่าร้อยละ 200 ซึ่งจะทำให้วัสดุคอมโพสิตมีความหนาแน่นเพิ่มขึ้นจาก 0.8 กรัม/ลูกบาศก์เซนติเมตร เมื่อยังไม่ได้เติมแก้วเป็น 1.8 กรัม/ลูกบาศก์เซนติเมตร ผลการทดสอบการดูดกลืนรังสีเอ็กซ์ที่พลังงานต่ำกว่า 60 กิโลอิเล็กตรอนโวลต์พบว่า วัสดุคอมโพสิตทุกตัวสามารถกำบังรังสีได้ โดยมีค่าสัมประสิทธิ์การลดทอนรังสีเชิงเส้นประมาณ 3-5 ต่อเซนติเมตร ผลการทดสอบการดูดกลืนรังสีแกมมาที่พลังงานโพตอนเท่ากับ 122 กิโลอิเล็กตรอนโวลต์ พบว่าสัมประสิทธิ์การดูดกลืนรังสีมีค่าใกล้เคียงกับการทดลองการกำบังรังสีเอ็กซ์

นพวรรณ และคณะ (2014)[48] ทำการศึกษาแผ่นเส้นใยนาโนคอมโพสิตพอลิยูรีเทนผสมแบเรียมซัลเฟต (PU/BaSO₄) และพอลิไวนิลลิดีนฟลูออไรด์ผสมแบเรียมซัลเฟต (PVDF/BaSO₄) สามารถเตรียมได้ด้วยเทคนิคการปั่นเส้นใยด้วยไฟฟ้าสถิต จากการทดลองพบว่า แผ่นเส้นใยพอลิยูรีเทนที่ผสมแบเรียมซัลเฟตเท่ากับร้อยละ 71.28 ของน้ำหนักพอลิเมอร์ และพอลิไวนิลลิดีนฟลูออไรด์ผสมแบเรียมซัลเฟตเท่ากับร้อยละ 54.16 ของน้ำหนักพอลิเมอร์สามารถป้องกันรังสีเอ็กซ์ได้ร้อยละ 40 ซึ่งช่วยลดความเสี่ยงจากอันตรายของรังสีต่อสุขภาพสามารถนำไปประยุกต์ใช้เป็นแผ่นป้องกันอวัยวะ เมื่อต้องการถ่ายภาพบริเวณอวัยวะที่ไวต่อรังสี เช่น นัยน์ตา ฯลฯ นอกจากนี้เมื่อนำแผ่นเส้นใยนาโนไปเคลือบสารแขวนลอยแบเรียมซัลเฟต โดยมีพอลิไวนิลแอลกอฮอล์เป็นตัวประสาน และซ้อนทับกันจนมีความหนา 1,600 ไมโครเมตรสามารถป้องกันรังสีเอ็กซ์ได้ร้อยละ 80 ดังนั้นในงานวิจัยนี้ได้แสดงให้เห็นว่า แผ่นเส้นใยนาโนทั้งแบบคอมโพสิตที่มีส่วนผสมของแบเรียมซัลเฟต และแบบที่เคลือบสารแขวนลอยแบเรียมซัลเฟตสามารถนำมาใช้เป็นแผ่นป้องกันรังสีเอ็กซ์ได้อย่างมีประสิทธิภาพ และมีงานวิจัยที่คล้ายกันของทิวาวัลย์ (2017)[10] งานวิจัยนี้มีเป้าหมายผลิตวัสดุกำบังรังสีเอ็กซ์ทดแทนโลหะตะกั่ว และต้องการวัสดุที่มีความยืดหยุ่นจึงเลือกใช้พอลิยูรีเทน อีลาสโตเมอร์เกรดความแข็งชอร์เอเท่ากับ 60 ทั้งนี้เนื่องจากวัสดุสามารถขึ้นรูปเป็นแผ่นได้ที่อุณหภูมิห้อง และสามารถผสมแบเรียมซัลเฟตซึ่งดูดกลืนรังสีเอ็กซ์ได้ดี ความสามารถในการลดทอนรังสีเอ็กซ์พิจารณาจากค่าสัมประสิทธิ์การลดทอนรังสีเอ็กซ์ซึ่งจะมีค่ามากหรือน้อยขึ้นกับปริมาณสารดูดกลืนรังสีเอ็กซ์ ความหนาของแผ่นคอมโพสิต และพลังงานของรังสีเอ็กซ์ จากการทดลองพบว่า พลังงานของรังสีเอ็กซ์ 60 กิโลโวลต์ให้ค่าสัมประสิทธิ์การลดทอนรังสีเอ็กซ์เชิงเส้น และสัมประสิทธิ์การลดทอนรังสีเอ็กซ์

เชิงมวลของแผ่นคอมโพสิตพอลิยูรีเทนผสมกับแบเรียมซัลเฟตที่มีแบเรียมซัลเฟต 50 กรัมต่อพอลิยูรีเทน 100 กรัมมีค่าเท่ากับ 3.289 ต่อเซนติเมตร และ 2.401 ตารางเซนติเมตรต่อกรัมตามลำดับ

กิริติกานต์ และคณะ (2016)[49] ทำการศึกษาชนิด และปริมาณของสารตัวเติมป้องกันรังสีชนิดกรดบอริก โบรอนออกไซด์ และผงตะกั่ว โดยปรับเปลี่ยนปริมาณที่ 0 10 20 30 40 และ 50 ส่วนโดยร้อยละเมื่อเทียบกับยางในวัสดุคอมโพสิตของยางธรรมชาติ และวัสดุคอมโพสิตของยางธรรมชาติผสมผงซีลีเนียม ทำการทดสอบเวลาการคงรูปของยาง (Cure time) สมบัติเชิงกล และสมบัติด้านรังสี ผลการทดสอบพบว่า การเติมกรดบอริกในวัสดุคอมโพสิตยางที่มีการเติมและไม่มีการเติมผงซีลีเนียม ส่งผลทำให้เวลาในการคงรูปของยางเพิ่มขึ้น ส่วนการเติมโบรอนออกไซด์ในวัสดุคอมโพสิตยางที่มีการเติม และไม่มีการเติมผงซีลีเนียมมีผลต่อเวลาในการคงรูปของยาง และสมบัติเชิงกลโดยรวมของวัสดุคอมโพสิตยางที่มีการเติมและไม่มีการเติมผงซีลีเนียมมีแนวโน้มลดลงยกเว้นค่าความแข็งที่ผิวที่มีค่าเพิ่มขึ้น ส่วนการเติมผงตะกั่วในวัสดุคอมโพสิตยางไม่ส่งผลต่อเวลาในการคงรูปของยาง และมีสมบัติเชิงกลโดยรวมไม่ต่างกัน จากการศึกษาสมบัติด้านรังสีพบว่า การเติมกรดบอริก และโบรอนออกไซด์ปริมาณ 50 ส่วนโดยร้อยละเมื่อเทียบกับยางในวัสดุคอมโพสิตยางที่มีการเติม และไม่มีการเติมผงซีลีเนียมมีความสามารถต้านทานต่อรังสีเทียบเท่าเกณฑ์เป้าหมาย

T.Ozdemir และคณะ (2018)[50] ทำการเตรียมวัสดุกำบังรังสีจากวัสดุคอมโพสิตผสมระหว่างยางเอทิลีนโพรพิลีนไดอีน (Ethylene-propylene diene rubber; EPDM) และตะกั่วออกไซด์ (PbO) จากการทดลองพบว่า เมื่อมีการเติมตะกั่วออกไซด์ ค่าสัมประสิทธิ์การลดทอนรังสีเพิ่มขึ้น โดยค่านี้นี้แสดงให้เห็นว่า ยางเอทิลีนโพรพิลีนไดอีนถูกปรับปรุงให้เป็นวัสดุกำบังรังสีแบบยืดหยุ่นซึ่งสามารถลดทอนรังสีเอ็กซ์และแกมมาได้ เนื่องจากตะกั่วออกไซด์มีตะกั่ว (Pb) เป็นองค์ประกอบซึ่งตะกั่วมีเลขอะตอมที่สูง (เลขอะตอม = 82) สามารถดูดกลืนคลื่นแม่เหล็กไฟฟ้าที่มีพลังงานสูงได้ และนอกจากนี้ยังมีการศึกษาโดยนำบิสมัทออกไซด์ (Bismuth oxide; Bi₂O₃) ร้อยละ 40 โดยน้ำหนักผสมกับตะกั่วออกไซด์ร้อยละ 20 โดยน้ำหนักเติมลงในยางเอทิลีนโพรพิลีนไดอีนพบว่า ค่าสัมประสิทธิ์การลดทอนรังสีเพิ่มขึ้นเมื่อเทียบกับยางเอทิลีนโพรพิลีนไดอีนที่เติมตะกั่วออกไซด์เพียงอย่างเดียว เนื่องจากบิสมัทออกไซด์มีบิสมัทเป็นองค์ประกอบซึ่งบิสมัทมีเลขอะตอมเท่ากับ 83 สามารถดูดกลืนคลื่นแม่เหล็กไฟฟ้าที่มีพลังงานสูงได้เช่นเดียวกับตะกั่ว

งานวิจัยที่กล่าวไปข้างต้นมีการใช้เนื้อพื้นเป็นพลาสติก และยางสังเคราะห์ที่มีความยืดหยุ่นน้อย งานวิจัยนี้จึงมีวัตถุประสงค์ที่จะพัฒนาวัสดุกำบังรังสีลดตะกั่วที่มีความยืดหยุ่นสูง โดยมีสารตัวเติมสำหรับกำบังรังสีที่มีธาตุที่สามารถดูดกลืนรังสีได้ และใช้ยางธรรมชาติเป็นเนื้อพื้นที่มีสมบัติความยืดหยุ่นที่ดีกว่าพลาสติก และยางสังเคราะห์อื่น ๆ เพื่อให้ได้วัสดุกำบังรังสีที่มีความยืดหยุ่น

มากขึ้น สามารถโค้งงอได้ตามรูปแบบของอวัยวะ หรือพื้นที่ที่ต้องการใช้งาน หรือสามารถเป็นวัสดุ
กำบังรังสีแบบเจาะจงพื้นที่ได้

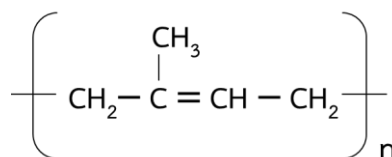
บทที่ 3

วิธีการวิจัย

3.1 สารเคมี

3.1.1 ยางธรรมชาติ (Natural rubber) เกรด STR 5L

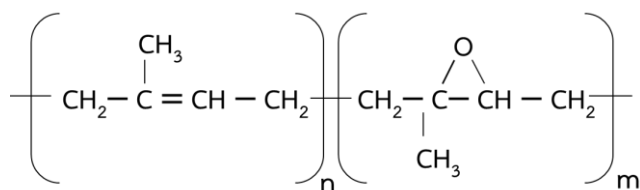
ยางธรรมชาติมีชื่อทางเคมีคือ *cis*-1,4-polyisoprene ในหนึ่งโมเลกุลจะประกอบด้วยหน่วยของไอโซพรีน (C_5H_8) มาต่อกันเป็นสายโซ่ยาวแบบเส้นตรง และยางธรรมชาติเป็นวัสดุที่มีความยืดหยุ่นสูง มีค่าความถ่วงจำเพาะประมาณ 0.92 และในการทดลองนี้จะใช้ยางธรรมชาติชนิดแบ่งเกรด STR 5L (Standard thai rubber 5L) ซึ่งใช้สำหรับเป็นพอลิเมอร์หลัก โดยจะทำให้วัสดุคอมโพสิตมีความยืดหยุ่น สามารถหักงอได้ตามต้องการ ผลิตโดย บริษัท ฉลองลาเท็กซ์ จำกัด ประเทศไทย โครงสร้างของยางธรรมชาติแสดงดังรูปที่ 3.1



รูปที่ 3.1 โครงสร้างของยางธรรมชาติ (Natural rubber)

3.1.2 ยางธรรมชาติอีพอกไซด์ (Epoxydised natural rubber; ENR)

ยางธรรมชาติอีพอกไซด์ (Epoxydised natural rubber; ENR) มีสูตรโครงสร้างทางเคมีคือ $C_{10}H_{16}O$ ซึ่งเป็นยางที่ได้จากการเติมออกซิเจนเข้าไปในสายโซ่โมเลกุลของยางบริเวณพันธะคู่เกิดเป็นวงแหวนอีพอกไซด์ขึ้นภายในโมเลกุล โดยยางธรรมชาติอีพอกไซด์เกิดผ่านปฏิกิริยาอีพอกซิเดชัน (Epoxydation) ซึ่งงานวิจัยนี้ศึกษาระดับหมู่อีพอกไซด์ที่ร้อยละ 25 และ 50 โดยมวล โดยยางธรรมชาติอีพอกไซด์ที่ได้จึงมีความเป็นขี้สูงกว่ายางธรรมชาติทั่วไปทำให้สามารถผสมเข้ากันได้ดี ขึ้นกับสารเคมีที่มีความเป็นขี้ นอกจากนี้ยางธรรมชาติอีพอกไซด์ยังทนต่อความร้อน และน้ำมันได้ดี ซึ่งใช้สำหรับเป็นพอลิเมอร์หลัก โดยจะทำให้วัสดุคอมโพสิตมีความยืดหยุ่น สามารถหักงอได้ตามต้องการ ผลิตโดย บริษัท เมืองใหม่ กัททรี จำกัด ประเทศไทย โครงสร้างของยางธรรมชาติอีพอกไซด์แสดงดังรูปที่ 3.2



รูปที่ 3.2 โครงสร้างของยางธรรมชาติอีพอกไซด์ (Epoxide natural rubber; ENR)

3.1.3 แบเรียมคาร์บอเนต (Barium carbonate; BaCO₃)

แบเรียมคาร์บอเนต (Barium carbonate; BaCO₃) เป็นสารที่มีส่วนประกอบของแบเรียม ลักษณะเป็นผงสีขาว มีน้ำหนักโมเลกุลเท่ากับ 197.34 กรัมต่อโมล ความหนาแน่นเท่ากับ 4.29 กรัมต่อตารางเซนติเมตร และมีจุดหลอมเท่ากับ 811 องศาเซลเซียส ทำหน้าที่เป็นเฟสกระจายในยางธรรมชาติ ซึ่งถือเป็นวัสดุที่สามารถดทอนรังสีได้ ผลิตโดย บริษัท Alfa Aesar Co., Massachusetts ประเทศสหรัฐอเมริกา

3.1.4 บิสมัทออกไซด์ (Bismuth oxide; Bi₂O₃)

บิสมัทออกไซด์ (Bismuth oxide; Bi₂O₃) เป็นสารที่มีส่วนประกอบของบิสมัท ลักษณะเป็นผงสีเหลือง มีน้ำหนักโมเลกุลเท่ากับ 465.96 กรัมต่อโมล ความหนาแน่นเท่ากับ 8.9 กรัมต่อตารางเซนติเมตร และมีจุดหลอมเท่ากับ 817 องศาเซลเซียส ทำหน้าที่เป็นเฟสกระจายในยางธรรมชาติซึ่งถือเป็นวัสดุที่สามารถดทอนรังสีได้ ผลิตโดย บริษัท Alfa Aesar Co., Massachusetts ประเทศสหรัฐอเมริกา

3.1.5 แบเรียมซัลเฟต (Barium sulfate; BaSO₄)

แบเรียมซัลเฟต (Barium sulfate; BaSO₄) เป็นสารที่มีส่วนประกอบของแบเรียม ลักษณะเป็นผงสีขาว มีน้ำหนักโมเลกุลเท่ากับ 233.38 กรัมต่อโมล ความหนาแน่นเท่ากับ 4.5 กรัมต่อตารางเซนติเมตร และมีจุดหลอมเท่ากับ 1,580 องศาเซลเซียส ทำหน้าที่เป็นเฟสกระจายในยางธรรมชาติซึ่งถือเป็นวัสดุที่สามารถดทอนรังสีได้ ผลิตโดย บริษัท Alfa Aesar Co., Massachusetts ประเทศสหรัฐอเมริกา

3.1.6 ตะกั่วออกไซด์ (Lead oxides; PbO)

ตะกั่วออกไซด์ (Lead oxides; PbO) เป็นสารที่มีส่วนประกอบของตะกั่ว ลักษณะเป็นผงสีครีม มีน้ำหนักโมเลกุล 241.20 กรัมต่อโมล ความหนาแน่น 9.53 กรัมต่อตารางเซนติเมตร และจุดหลอมเหลวเท่ากับ 888 องศาเซลเซียส ทำหน้าที่เป็นเฟสกระจายในยางธรรมชาติซึ่งถือเป็นวัสดุที่สามารถดทอนรังสีได้ ผลิตโดย บริษัท Alfa Aesar Co., Massachusetts ประเทศสหรัฐอเมริกา

3.1.7 กรดสเตียริก (Stearic acid)

กรดสเตียริก (Stearic acid) เป็นกรดไขมันที่มีสูตรโครงสร้างทางเคมีคือ $C_{18}H_{36}O_2$ ลักษณะเป็นผลึกสีขาว มันเงา มีกลิ่นหืนของไขมัน น้ำหนักโมเลกุลเท่ากับ 284.48 กรัมต่อโมล ความหนาแน่นเท่ากับ 0.94 กรัมต่อตารางเซนติเมตร และมีจุดหลอมเท่ากับ 361 องศาเซลเซียส ทำหน้าที่เป็นสารกระตุ้นช่วยให้สารตัวเร่งสามารถทำงานได้เร็วขึ้น ผลิตโดย บริษัท บางกอก เคมีคอล จำกัด ประเทศไทย

3.1.8 ซิงค์ออกไซด์ (Zinc oxide; ZnO)

ซิงค์ออกไซด์ (Zinc oxide; ZnO) เป็นสารอนินทรีย์ที่มีลักษณะเป็นผงสีขาว น้ำหนักโมเลกุลเท่ากับ 81.38 กรัมต่อโมล ความหนาแน่นเท่ากับ 5.61 กรัมต่อตารางเซนติเมตร และมีจุดหลอมเท่ากับ 1,975 องศาเซลเซียส ทำหน้าที่เป็นสารกระตุ้นช่วยให้สารตัวเร่งสามารถทำงานได้เร็วขึ้น ผลิตโดย บริษัท บริษัท ไทย-ไลซาท จำกัด ประเทศไทย

3.1.9 บิวทิลเบนโซไธอะโซลซัลฟิनाไมด์ (*N-tert.*butyl-2-benzothiazole sulfonamide; TBBS)

บิวทิลเบนโซไธอะโซลซัลฟิनाไมด์ (*N-tert.*butyl-2-benzothiazole sulfonamide; TBBS) มีสูตรโครงสร้างทางเคมีคือ $C_{11}H_{14}N_2S_2$ ลักษณะเป็นเม็ดสีเหลืองอ่อน มีกลิ่นเหม็นเฉพาะตัว น้ำหนักโมเลกุลเท่ากับ 238.37 กรัมต่อโมล ความถ่วงจำเพาะเท่ากับ 1.26 - 1.32 และมีจุดหลอมเท่ากับ 105 องศาเซลเซียส ทำหน้าที่เป็นสารตัวเร่งช่วยให้เกิดกระบวนการวัลคาไนซ์ หรือเกิดการเชื่อมขวางได้เร็วขึ้น ผลิตโดย บริษัท สยาม เคมีคอล จำกัด ประเทศไทย

3.1.10 กำมะถัน (Sulfur; S)

กำมะถัน (Sulfur; S) เป็นธาตุเคมีที่มีสัญลักษณ์ S และเลขอะตอมเท่ากับ 16 เป็นอโลหะที่มีอยู่ทั่วไป ไม่มีรสหรือกลิ่น มีลักษณะเป็นผงสีเหลือง น้ำหนักโมเลกุลเท่ากับ 32.065 กรัมต่อโมล ความถ่วงจำเพาะเท่ากับ 2.07 และมีจุดหลอมเท่ากับ 115.21 องศาเซลเซียส ทำหน้าที่เป็นสารเชื่อมขวางซึ่งกำมะถันจะเกิดการเชื่อมขวางกับสายโซ่โมเลกุลของยาง บริษัท สยาม เคมีคอล จำกัด ประเทศไทย

3.2 อุปกรณ์ และเครื่องมือ

3.2.1 เครื่องผสมยางแบบปิด (Internal mixer)

เครื่องผสมยางแบบปิด (Internal mixer) เป็นเครื่องมือที่ใช้ในการบดผสมยางธรรมชาติ และสารเคมีเข้าด้วยกัน ผลิตโดย บริษัท Yong Fong Machinery ประเทศไต้หวัน เครื่องผสมยางแบบปิดแสดงดังรูปที่ 3.3



รูปที่ 3.3 เครื่องผสมยางแบบปิด (Internal mixer)

3.2.2 เครื่องหาเวลาคงรูปของยาง (Moving die rheometers; MDR)

เครื่องหาเวลาคงรูปของยางด้วยเครื่องรีโอมิเตอร์แบบดายน์เคลื่อนที่ (Moving die rheometers; MDR) เป็นเครื่องมือที่ใช้หาเวลาในการคงรูปของยาง (Cure time; t_{c90}) ซึ่งเป็นตัวแปรที่ใช้กำหนดเวลาในการอัดเข้าของยาง เพื่อให้ยางเกิดการวัลคาไนซ์ (Vulcanization) หรือการทำให้ยางเกิดการคงรูป เครื่องรีโอมิเตอร์แบบดายน์เคลื่อนที่แสดงดังรูปที่ 3.4



รูปที่ 3.4 เครื่องรีโอมิเตอร์แบบดายน์เคลื่อนที่ (Moving die rheometers; MDR)

3.2.3 เครื่องอัดเบ้า (Compression molding)

เครื่องอัดเบ้า (Compression molding) เป็นเครื่องมือสำหรับอัดยางเข้าเบ้าพิมพ์ โดยใช้ระบบไฮดรอลิก ให้ความร้อนด้วยไฟฟ้า ความดันสูงสุด 200 กิโลกรัมต่อลูกบาศก์เซนติเมตร (kg/cm^2) ที่ยัดเบ้าพิมพ์ขนาด 18x18 นิ้ว โดยใช้เครื่องอัดเบ้ารุ่น LCC 140 ผลิตโดยบริษัท TANG-MASTER Co., LTD. ประเทศไต้หวัน เครื่องอัดเบ้าแสดงดังรูปที่ 3.5



รูปที่ 3.5 เครื่องอัดเบ้า (Compression molding)

3.2.4 เครื่องทดสอบความต้านทานต่อแรงดึง (Universal testing machine)

เพื่อใช้ทดสอบความต้านทานต่อแรงดึง (Tensile strength), โมดูลัสที่ระยะยืดร้อยละ 100 (Modulus at 100% elongation) และระยะยืดจนขาด (% Elongation at break) โดยใช้ universal testing machine รุ่น H10KS ผลิตโดยบริษัท Hounsfield ประเทศอังกฤษ เครื่องทดสอบความต้านทานต่อแรงดึงแสดงดังรูปที่ 3.6



รูปที่ 3.6 เครื่องทดสอบความต้านทานต่อแรงดึง (Universal testing machine)

3.2.5 เครื่องวัดความแข็ง (Hardness tester)

เพื่อใช้วัดความแข็งของคอมโพสิตของยางธรรมชาติโดยใช้เครื่องวัดความแข็งแบบ Shore durometer ความแข็งที่ทดสอบได้มีหน่วยเป็น Shore A ทดสอบตามมาตรฐาน ASTM D 2240 ใช้เครื่องทดสอบรุ่น Frank GmbH ผลิตจากประเทศเยอรมัน เครื่องวัดความแข็งแสดงดังรูปที่ 3.7



รูปที่ 3.7 เครื่องวัดความแข็ง (Hardness tester)

3.2.6 เครื่องวัดความถ่วงจำเพาะ (Specific tester)

เครื่องวัดความถ่วงจำเพาะ (Specific tester) ใช้วัดความหนาแน่น หรือความถ่วงจำเพาะ โดยทำการทดสอบตามมาตรฐาน ISO 2781: 2008 (Method A) ใช้เทคนิคการเปรียบเทียบน้ำหนักตัวอย่างในอากาศ และน้ำ เครื่องทดสอบรุ่น ML204 ผลิตโดยบริษัท Mettler Toledo ประเทศนิวซีแลนด์ เครื่องวัดความถ่วงจำเพาะแสดงดังรูปที่ 3.8



รูปที่ 3.8 เครื่องวัดความถ่วงจำเพาะ (Specific tester)

3.2.7 กล้องจุลทรรศน์อิเล็กตรอนแบบส่องกราด (Scanning Electron Microscope; SEM)

เพื่อทดสอบสัณฐานวิทยา และการกระจายตัวของธาตุในยางธรรมชาติด้วยเทคนิค เอ็กซ์เรย์ ฟลูออเรสเซนซ์แบบกระจายพลังงาน (Energy dispersive X-ray fluorescence spectrometer; EDX) โดยใช้เครื่องทดสอบรุ่น SEM Quanta 400 FEI ผลิตจากประเทศ เนเธอร์แลนด์ กล้องจุลทรรศน์อิเล็กตรอนแบบส่องกราดแสดงดังรูปที่ 3.9



รูปที่ 3.9 กล้องจุลทรรศน์อิเล็กตรอนแบบส่องกราด (Scanning electron microscope; SEM)

3.2.8 เครื่องวัดการดูดกลืนรังสีแกมมา (Gamma ray detector)

วัดการดูดกลืนรังสีแกมมา แหล่งกำเนิดรังสีใช้ซีเซียม (^{137}Cs) พลังงาน 662 กิโลอิเล็กตรอนโวลต์ และใช้เทคนิคการกระเจิงคอมป์ตัน เพื่อเปลี่ยนพลังงานรังสีแกมมา หัววัดรังสีชนิด NaI(Tl) และทำการประมวลผลโดย Multi channel analyzer (MCA) ชุดอุปกรณ์การทดลองการกระเจิงคอมป์ตันแสดงดังรูปที่ 3.10



รูปที่ 3.10 ชุดอุปกรณ์การทดลองการกระเจิงคอมป์ตัน

3.2.8 เครื่องวัดการดูดกลืนรังสีเอ็กซ์ (X-ray detector)

วัดคุณสมบัติการป้องกันรังสีเอ็กซ์ด้วยเครื่องเอ็กซ์เรย์ดิจิทัลจอความถี่สูงยี่ห้อ Shimadzu รุ่น RAD Speed Pro ผลิตจากประเทศญี่ปุ่น โดยใช้หัวนับวัดแบบกึ่งตัวนำ ทำการวัดที่พลังงาน 50-120 กิโลโวลต์สูงสุดซึ่งเป็นพลังงานที่ใช้ในทางด้านรังสีวินิจฉัย และให้กระแสไฟฟ้าที่ 40 มิลลิแอมแปร์ (mAs) เครื่องวัดการดูดกลืนรังสีเอ็กซ์แสดงดังรูปที่ 3.11



รูปที่ 3.11 เครื่องวัดการดูดกลืนรังสีเอ็กซ์ (X-ray detector)

3.2 วิธีการทดลอง

3.2.1 การศึกษาการเตรียมสูตรยางธรรมชาติผสมบิสมัทออกไซด์ โดยมีการแปรปริมาณของบิสมัทออกไซด์

ขั้นตอนที่ 1 บดยางธรรมชาติเกรด STR 5L ในเครื่องผสมแบบปิด (Internal mixer) เป็นเวลา 10 นาที

ขั้นตอนที่ 2 เติมสารกระตุ้น บิสมัทออกไซด์ สารต้านการเสื่อม สารตัวเร่ง กำมะถัน ตามลำดับ สูตรแสดงดังตารางที่ 3.1 โดยใช้สภาวะในการผสมที่ 60 องศาเซลเซียส และความเร็วรอบของโรเตอร์เท่ากับ 60 รอบต่อนาที

ตารางที่ 3.1 สูตรในการเตรียมคอมโพสิตของยางธรรมชาติกับสารบิสมัทออกไซด์ (Bi_2O_3)

Ingredients	phr
ยางธรรมชาติเกรด STR 5L	100
Stearic acid	1
ZnO	5
Bi_2O_3	0, 10, 20, 40, 80, 120, 150
TBBS	1
Sulfur	2.5

ขั้นตอนที่ 3 ทดสอบเวลาสุกของยางด้วยเครื่องรีโอมิเตอร์แบบดายน์เคลื่อนที่ และวัลคาไนซ์ยางคอมพาวนด์ด้วยเครื่องอัดเบ้า (Compression molding) ที่อุณหภูมิ 150 องศาเซลเซียส เพื่อเตรียมขึ้นทดสอบ

3.2.2 การศึกษาการเตรียมสูตรยางธรรมชาติผสมสารประกอบออกไซด์ โดยมีการแปรชนิดของสารตัวเติมสำหรับการกำบังรังสี

ขั้นตอนที่ 1 บดยางธรรมชาติเกรด STR 5L ในเครื่องผสมแบบปิดเป็นเวลา 10 นาที

ขั้นตอนที่ 2 เติมสารกระตุ้น สารประกอบออกไซด์ สารต้านการเสื่อม สารตัวเร่ง กำมะถัน ตามลำดับ สูตรแสดงดังตารางที่ 3.2 โดยใช้สภาวะในการผสมที่ 60 องศาเซลเซียส และความเร็วรอบของโรเตอร์เท่ากับ 60 รอบต่อนาที

ตารางที่ 3.2 สูตรในการเตรียมคอมพอลิซิทของยางธรรมชาติกับสารตัวเติมสำหรับการกำบังรังสี

Ingredients	phr
ยางธรรมชาติเกรด STR 5L	100
Stearic acid	1
ZnO	5
**BC, BS หรือ BO	ปริมาณที่ดีที่สุดจาก 2.1.1
TBBS	1
Sulfur	2.5

หมายเหตุ: **แบเรียมคาร์บอเนต (BaCO_3 ; BC) แบเรียมซัลเฟต (BaSO_4 ; BS) และบิสมัทออกไซด์ (Bi_2O_3 ; BO)

ขั้นตอนที่ 3 ทดสอบเวลาสุกของยางด้วยเครื่องรีโอมิเตอร์แบบดายน์เคลื่อนที่ และวัลคาไนซ์ยางคอมพาวนด์ด้วยเครื่องอัดเบ้าที่อุณหภูมิ 150 องศาเซลเซียส เพื่อเตรียมขึ้นทดสอบ

3.2.3 การศึกษาผลการเตรียมยางกำบังรังสี โดยมีการแปรชนิดของยางธรรมชาติที่มีการเติมบิสมัทออกไซด์เป็นสารกำบังรังสี

ขั้นตอนที่ 1 บดยางธรรมชาติเกรด STR 5L ในเครื่องผสมแบบปิด (Internal mixer) เป็นเวลา 10 นาที

ขั้นตอนที่ 2 เติมสารกระตุ้น บิสมัทออกไซด์ สารต้านการเสื่อม สารตัวเร่ง กำมะถัน ตามลำดับ สูตรแสดงดังตารางที่ 3.3 โดยใช้สภาวะในการผสมที่ 60 องศาเซลเซียส และความเร็วรอบของโรเตอร์เท่ากับ 60 รอบต่อนาที

ตารางที่ 3.3 สูตรในการเตรียมคอมพอสิตของยางกับสารบิสมัทออกไซด์ (Bi_2O_3)

Ingredients	phr
**STR 5L	100
Stearic acid	1
ZnO	5
Bi_2O_3	ปริมาณที่ดีที่สุดจาก 2.1.1
TBBS	1
Sulfur	2.5

หมายเหตุ: ** เปลี่ยนชนิดของยางเป็น ENR 25 และ ENR 50

ขั้นตอนที่ 3 ทดสอบเวลาสุกของยางด้วยเครื่องรีโอมิเตอร์แบบดายน์เคลื่อนที่ และวัลคาไนซ์ยางคอมพาวนด์ด้วยเครื่องอัดเข้า (Compression molding) ที่อุณหภูมิ 150 องศาเซลเซียส เพื่อเตรียมชิ้นทดสอบ

3.2.4 การศึกษาผลของการเปรียบเทียบสมบัติเชิงกล และสมบัติทางด้านรังสีระหว่างบิสมัทออกไซด์ และตะกั่วออกไซด์ในยางธรรมชาติ

ขั้นตอนที่ 1 บดยางธรรมชาติเกรด STR 5L ในเครื่องผสมแบบปิดเป็นเวลา 10 นาที

ขั้นตอนที่ 2 เติมสารกระตุ้น สารบิสมัทออกไซด์ หรือตะกั่วออกไซด์ สารต้านการเสื่อม สารตัวเร่ง กำมะถัน ตามลำดับ สูตรแสดงดังตารางที่ 3.4 โดยใช้สภาวะในการผสมที่ 60 องศาเซลเซียส และความเร็วรอบของโรเตอร์เท่ากับ 60 รอบต่อนาที

ตารางที่ 3.4 สูตรในการเตรียมคอมโพสิตของยางธรรมชาติกับสารบิสมีท์ออกไซด์ (Bi_2O_3) หรือตะกั่วออกไซด์ (PbO)

Ingredients	phr
STR 5L	100
Stearic acid	1
ZnO	5
Bi_2O_3 หรือ PbO	ปริมาณที่ดีที่สุดจาก 2.1.1
TBBS	1
Sulfur	2.5

ขั้นตอนที่ 3 ทดสอบเวลาสุกของยางด้วยเครื่องรีโอมิเตอร์แบบดายน์เคลื่อนที่ และวัลคาไนซ์ยางคอมพาวนด์ด้วยเครื่องอัดเบ้า (Compression molding) ที่อุณหภูมิ 150 องศาเซลเซียส เพื่อเตรียมขึ้นทดสอบ

3.2.5 การทดสอบสมบัติคอมโพสิตของยางธรรมชาติที่เตรียมได้

3.2.5.1 การทดสอบเวลาคงรูปของยางธรรมชาติ

ทำการทดสอบด้วยเครื่อง moving die rheometer 200 เตรียมขึ้นตัวอย่างหนัก 4-4.5 กรัม ทำการทดสอบที่อุณหภูมิ 150 องศาเซลเซียสเป็นเวลา 30 นาที โดยค่าการทดสอบ M_L คือค่าทอร์คต่ำสุด M_H คือค่าทอร์คสูงสุด และ t_{c90} ถือเป็นเวลาในการคงรูปของยางในเครื่องอัดเบ้า

3.2.5.2 การทดสอบปริมาณการเชื่อมขวางของยางธรรมชาติ

เตรียมตัวอย่างขนาดกว้าง 1 เซนติเมตร และยาว 1 เซนติเมตร ชั่งน้ำหนักตัวอย่างก่อนแช่ลงในโทลูอีนเป็นเวลา 72 ชั่วโมง ชั่งน้ำหนักตัวอย่างหลังแช่ ทำการอบที่อุณหภูมิ 60 องศาเซลเซียส อบจนกว่าน้ำหนักตัวอย่างจะคงที่ หลังจากนั้นนำมาคำนวณดังสมการที่ (3.1)

$$v = \frac{-\ln(1 - v_r) + v_r + xv_r^2}{\frac{1}{v_s(v_r^3) - 0.5v_r}} \quad (3.1)$$

เมื่อ v_r = Volume fraction ของตัวอย่างหลังจากแช่ในโทลูอีน
 v_s = Molar volume ของสารละลาย
 x = Interaction parameter[51]

3.2.5.3 การทดสอบลักษณะทางสัณฐานวิทยา และการกระจายตัวของธาตุ

การทดสอบลักษณะทางสัณฐานวิทยาทดสอบโดยเตรียมผงของสารเคมีได้แก่ แบเรียมคาร์บอเนต (Barium carbonate; BaCO₃; BC) บิสมัทออกไซด์ (Bismuth oxide; Bi₂O₃; BO) แบเรียมซัลเฟต (Barium sulfate; BaSO₄; BS) และตะกั่วออกไซด์ (Lead oxide; PbO) ติดบน stub โดยทำการศึกษาที่กำลังขยาย 500x 2500x และ 10000x โดยใช้กล้องจุลทรรศน์แบบส่องกราด และการทดสอบการกระจายตัวของธาตุทดสอบโดยเตรียมตัวอย่างเป็นชั้นติดลงบน stub และทำการเคลือบตัวอย่างด้วยทองคำ ใช้เทคนิคเอ็กซ์เรย์ ฟลูออเรสเซนซ์แบบกระจายพลังงาน และศึกษาปริมาณธาตุในคอมโพสิตของยางธรรมชาติสามารถคำนวณได้ดังสมการ (3.2) และ (3.3)

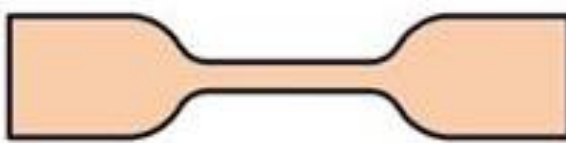
$$\text{Ratio of elements (\%)} = \frac{\text{Molecular weight of elements}}{\text{Molecular weight of chemicals}} \times 100 \quad (3.2)$$

$$\text{Ratio of elements (wt\%)} = \frac{\text{Ratio of elements (\%)} \times \text{Ratio of chemicals (wt\%)}}{100} \quad (3.3)$$

$$\text{เมื่อ ratio of chemicals (wt\%)} = \frac{\text{phr of chemicals}}{\text{phr total}} \times 100$$

3.2.5.4 การทดสอบสมบัติเชิงกล

การทดสอบความต้านทานต่อแรงดึง (Tensile strength) มอดูลัส (Modulus 100%) และระยะยืดจนขาด (%Elongation at break) ทดสอบตาม ASTM D 412 โดยการเตรียมชิ้นตัวอย่างเป็นรูปดัมเบลแบบ die C (รูปที่ 3.12) โดยมีความกว้างเท่ากับ 3.65 มิลลิเมตร ตัวอย่างละ 5 ชิ้น วัดความหนาของชิ้นตัวอย่าง 3 จุด และหาค่าเฉลี่ยความหนา



รูปที่ 3.12 ตัวอย่างที่ใช้ทดสอบรูปดัมเบล

หลังจากนั้นทำการทดสอบด้วยเครื่อง Universal testing machine รุ่น H10KS และใช้ load cell 100 นิวตัน ดึงด้วยอัตราเร็ว 500 มิลลิเมตร/นาที อ่านค่าแรงที่ใช้ดึงเมื่อตัวอย่างยางยืดออก 1 เซนติเมตร ค่าแรงที่ใช้ดึงเมื่อตัวอย่างยางขาด และความยาว สุดท้ายของตัวอย่างยางที่ขาด นำมาคำนวณจะได้ค่าการทดสอบความต้านทานต่อแรงดึง มอดูลัสที่ระยะยืดร้อยละ 100 และระยะยืดจนขาด ตามลำดับ

การคำนวณ

$$\text{Modulus at 100\% elongation (MPa)} = \frac{F}{A} \quad (3.4)$$

โดย

F = แรงดึงที่ทำให้ชิ้นทดสอบยืดออก 100% (นิวตัน)

A = พื้นที่หน้าตัดของชิ้นทดสอบขณะยังไม่ยืด (ตารางมิลลิเมตร)

$$\text{Elongation at break (\%)} = \frac{L-L_0}{L_0} \times 100 \quad (3.5)$$

โดย

L = ระยะที่ชิ้นทดสอบสามารถยืดตัวได้จนขาด

L_0 = ระยะกำหนดก่อนทำการทดสอบ มีหน่วยเป็นเปอร์เซ็นต์ (%)

$$\text{Tensile strength (MPa)} = \frac{F}{A} \quad (3.6)$$

โดย

F = แรงดึงที่ทำให้ชิ้นทดสอบขาด (นิวตัน)

A = พื้นที่หน้าตัดของชิ้นทดสอบขณะยังไม่ยืด (ตารางมิลลิเมตร)

มีหน่วยเป็นนิวตัน/ตารางมิลลิเมตร (N/mm²) หรือกิโลกรัมต่อลูกบาศก์เซนติเมตร (kg/cm²)
ในหน่วย SI มีหน่วยเป็นเมกะปาสคาล (MPa) 1MPa = 10.197 กิโลกรัมต่อลูกบาศก์เซนติเมตร

การทดสอบความแข็ง (Hardness testing)

ทดสอบความแข็งตามมาตรฐาน ASTM D 2240 เป็นการวัดค่าความแข็งแบบ Shore A ทดสอบด้วยเครื่องวัดความแข็งแบบ Shore A ใช้ชิ้นทดสอบที่มีความหนาอย่างน้อย 6 มิลลิเมตร ให้หวักดกดตัวอย่างค้างไว้ 30 วินาที แล้วจึงอ่านค่าที่ได้วัดความแข็งของชิ้นตัวอย่างทั้งหมด 5 จุดแล้วนำมาคำนวณหาค่าเฉลี่ย

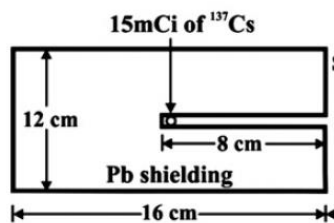
การทดสอบความถ่วงจำเพาะ (Specific gravity)

การทดสอบความถ่วงจำเพาะด้วยเครื่องรุ่น ML204 โดยใช้วิธีแบบไฮโดรสแตติก (Hydrostatic method) คือการหาขนาด หรือปริมาตรของวัตถุโดยใช้วิธีการแทนที่น้ำ และชั่งน้ำหนักน้ำที่ถูกแทนที่ ซึ่งจะทำการชั่งวัสดุจำนวนหนึ่งภายใต้สภาวะอากาศ และนำวัสดุจำนวนเดิมมาทำการชั่งในน้ำซึ่งเป็นตัวกลางที่ใช้ น้ำหนักที่หายไปจากผลต่างที่ชั่งในอากาศ และในน้ำจะมีค่าเท่ากับปริมาตรของน้ำที่ถูกแทนที่ อ่านค่าความถ่วงจำเพาะของวัสดุได้จากเครื่องทดสอบ

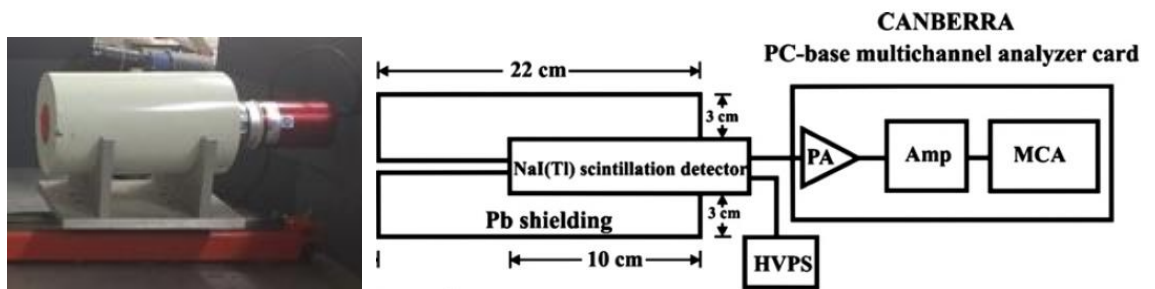
3.2.5.5 การทดสอบสมบัติทางด้านรังสี

การวัดการดูดกลืนรังสีแกมมา (Gamma ray detection)

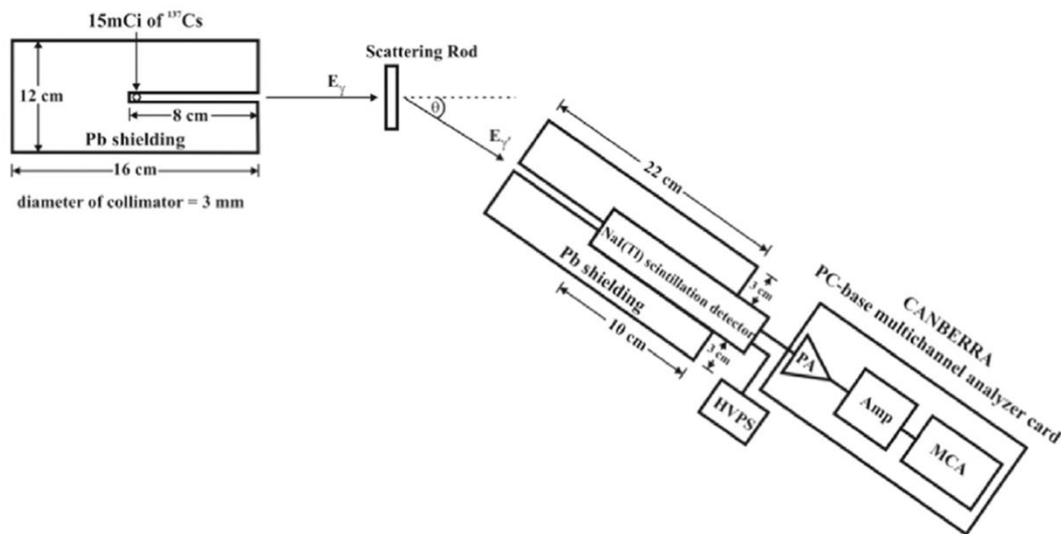
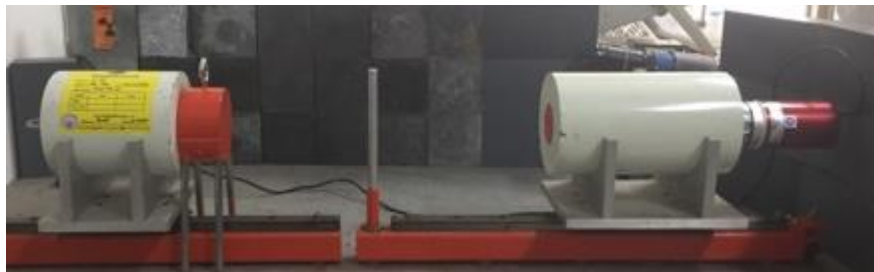
เตรียมชิ้นตัวอย่างเป็นรูปวงกลมเส้นผ่านศูนย์กลางขนาด 2.5 เซนติเมตร หนา 1 เซนติเมตร ซึ่งในการทดลองนี้ทำการทดลองโดยการเปลี่ยนแปลงมุมในการกระเจิงแสง 0° - 120° ซึ่งมีค่าพลังงานอยู่ในช่วง 223-662 กิโลอิเล็กตรอนโวลต์ และใช้เวลาการทดสอบ 10,000-25,000 วินาที รังสีแกมมาฉายออกมาจากแหล่งกำเนิดของรังสีที่ถูกคลุมด้วยตะกั่ว แหล่งกำเนิดรังสีแกมมา และแผนภาพโครงสร้างแหล่งกำเนิดรังสีแกมมาแสดงดังรูปที่ 3.13 ใช้หัวนับวัดรังสี NaI (Tl) Scintillation CANBERRA BICRON model 2M2/2 ขนาดเส้นผ่านศูนย์กลาง 2×2 inch³ ปริมาณของรังสีที่นับวัดได้จะถูกประมวลผลโดย multichannel analyzer ซึ่งหัววัดรังสีนับวัดรังสี และแผนภาพแสดงโครงสร้างหัววัดรังสีแกมมาแสดงดังรูปที่ 3.14 ชุดอุปกรณ์ และแผนภาพการทดลองการกระเจิงคอมป์ตันแสดงดังรูปที่ 3.15



รูปที่ 3.13 แหล่งกำเนิดรังสีแกมมา และแผนภาพโครงสร้างแหล่งกำเนิดรังสีแกมมา



รูปที่ 3.14 หัววัดรังสี NaI (Tl) Scintillation และแผนภาพแสดงโครงสร้างหัววัดรังสีแกมมา

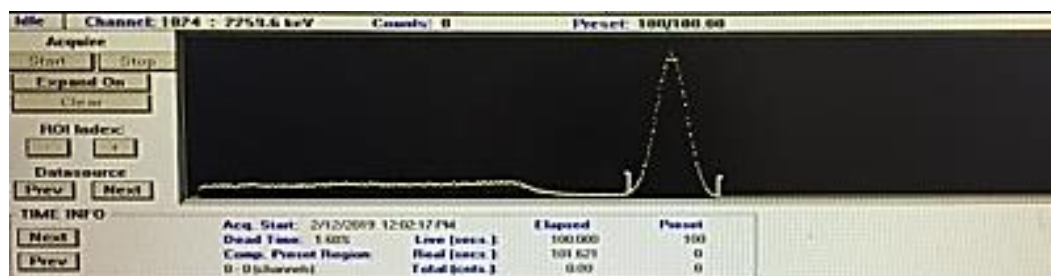


รูปที่ 3.15 ชุดอุปกรณ์ และแผนภาพการทดลองการกระเจิงคอมป์ตัน

(ดัดแปลงมาจาก: N. Chanthima et al. 2017. Development of BaO-ZnO-B₂O₃ glasses as a radiation shielding material. Radiat. Phys. Chem. 137, 72-77.)

หลังจากนั้นทำการหาพื้นที่ใต้กราฟซึ่งพื้นที่ใต้กราฟหมายถึง จำนวนโฟตอนที่วัดได้แสดงดังรูปที่ 3.14 และคำนวณหาค่าสัมประสิทธิ์เชิงมวล (Total mass attenuation coefficient; μ_m) ค่าเลขอะตอมยังผล (Effective atomic number; Z_{eff}) ค่าความหนาแน่นอิเล็กตรอน (Effective

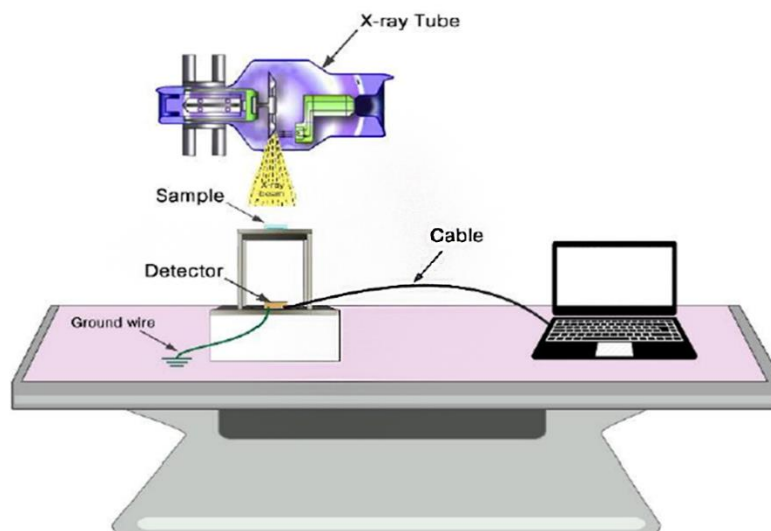
electron density; N_e) ความหนาครึ่งค่า (Half value layer; HVL) และค่าการกำบังรังสีเทียบเท่าตะกั่ว (Lead equivalend) ตามสมการ 2.9 2.11 2.16 2.17 และ 2.18 ตามลำดับ



รูปที่ 3.16 กราฟของจำนวนโฟตอนที่นับได้จากหัววัดรังสี

การวัดการดูดกลืนรังสีเอ็กซ์ (X-ray detection)

เตรียมตัวอย่างขนาดเส้นผ่านศูนย์กลาง 2.5 เซนติเมตร และหนา 1 เซนติเมตร ทำการติดตั้งอุปกรณ์ทดสอบโดยระยะห่างระหว่างหลอดเอ็กซ์เรย์กับขาตั้งตัวอย่างห่างกัน 56 เซนติเมตร และระยะห่างระหว่างขาตั้งตัวอย่างกับพื้นห่างกัน 56 เซนติเมตร ทำการจัดแสงไฟให้มีขนาด 2x2 เซนติเมตร โดยหัวนับวัดจะต้องอยู่กึ่งกลางของแสงไฟ ในการทดลองนี้ทำการทดสอบที่รังสีเอ็กซ์พลังงาน 50-120 กิโลโวลต์กรอนโวลต์สูงสุด (kilovoltage peak; kVp) ชุดอุปกรณ์การทดสอบทางด้านรังสีเอ็กซ์เรย์แสดงดังรูปที่ 3.17



รูปที่ 3.17 ชุดอุปกรณ์การทดสอบทางด้านรังสีเอ็กซ์เรย์

(แหล่งที่มา: High transparency $\text{La}_2\text{O}_3\text{-CaO-B}_2\text{O}_3\text{-SiO}_2$ glass for diagnosis x-rays shielding material application. Radiat. Phys. Chem. 160, 41–47)

3.5.5.6 การทดสอบสมบัติเชิงกลของคอมโพสิตของยางธรรมชาติ หลังได้รับรังสี

ทำการเลือกคอมโพสิตของยางธรรมชาติสูตรที่ดีที่สุดในแต่ละขั้นตอนมาเตรียมขึ้นตัวอย่างเป็นแผ่นสี่เหลี่ยมขนาดกว้าง 15 เซนติเมตร ยาว 15 เซนติเมตรและหนา 0.1 เซนติเมตร ซึ่งในการทดลองนี้ทำการทดลองโดยการใช้มุมในการกระเจิงแสง 0° ซึ่งมีค่าพลังงานเท่ากับ 662 กิโลอิเล็กตรอนโวลต์ และทำการฉายรังสี 10 และ 20 ครั้ง ครั้งละ 100 วินาที หลังจากนั้นนำตัวอย่างที่ผ่านการฉายรังสีมาทดลองสมบัติเชิงกลตามหัวข้อที่ 3.2.5.4 เพื่อเปรียบเทียบการเปลี่ยนแปลงสมบัติเชิงกล หลังจากคอมโพสิตของยางธรรมชาติได้รับรังสี

บทที่ 4

ผลการทดลอง และวิจารณ์ผลการทดลอง

4.1 ผลของการเตรียมสูตรยางธรรมชาติผสมบิสมัทออกไซด์ โดยมีการแปรปริมาณของบิสมัทออกไซด์

ทำการศึกษาผลของปริมาณบิสมัทออกไซด์ (Bi_2O_3 ; BO) ที่มีผลต่อสมบัติของคอมโพสิตของยางธรรมชาติ (NR composites) บิสมัทออกไซด์จัดเป็นสารตัวเติม (Filler) ชนิดหนึ่งซึ่งช่วยเพิ่มคุณสมบัติด้านกำลังรังสีให้กับคอมโพสิตของยางธรรมชาติ โดยในขั้นตอนนี้ทำการแปรปริมาณของบิสมัทออกไซด์ ที่ 0 10 20 40 80 100 120 และ 150 ส่วนโดยร้อยละเมื่อเทียบกับยางซึ่งการแปรปริมาณจะส่งผลต่อสมบัติเชิงกล และสมบัติทางด้านรังสีคอมโพสิตของยางธรรมชาติโดยตรง ผลที่ได้แสดงดังผลการทดลองที่ 4.1.1-4.1.6

4.1.1 ผลของการแปรปริมาณบิสมัทออกไซด์ต่อระยะเวลาในการคงรูปคอมโพสิตของยางธรรมชาติ

ระยะเวลาในการคงรูปยาง (Cure time; t_{c90}) หรือระยะเวลาในการวัลคาไนซ์เป็นระยะเวลาที่สารกำมะถันซึ่งทำหน้าที่เป็นสารเชื่อมขวาง หรือสารวัลคาไนซ์ (Vulcanizing agent) เมื่อได้รับความร้อนจะเกิดปฏิกิริยากับสายโซ่โมเลกุลของยาง ทำให้สายโซ่โมเลกุลของยางเกิดการเชื่อมขวางระหว่างกัน[52] โดยการทดลองระยะเวลาในการคงรูปยางใช้เครื่องรีโอมิเตอร์แบบดาเยนน์ เคลื่อนที่หรือ MDR และมีการให้ความร้อนกับคอมโพสิตของยางธรรมชาติที่อุณหภูมิ 150 องศาเซลเซียส ผลการทดลองความสัมพันธ์ระหว่างปริมาณที่แตกต่างกันของบิสมัทออกไซด์ในคอมโพสิตของยางธรรมชาติต่อระยะเวลาในการคงรูปยางแสดงในตารางที่ 4.1

ตารางที่ 4.1 ระยะเวลาในการคงรูปร่างของคอมโพสิตของยางธรรมชาติที่มีปริมาณของบิส്മัทออกไซด์ที่แตกต่างกัน

BO contents (phr)	Cure time; t_{c90} (min)
0	8.44
10	7.50
20	7.47
40	7.39
80	7.29
120	7.10
150	6.22

ตารางที่ 4.1 แสดงระยะเวลาในการคงรูปร่างของคอมโพสิตของยางธรรมชาติที่มีปริมาณของบิส്മัทออกไซด์ที่แตกต่างกันพบว่า เมื่อปริมาณของบิส്മัทออกไซด์เพิ่มขึ้นระยะเวลาในการคงรูปร่างของยางมีแนวโน้มลดลง เนื่องจากบิส്മัทออกไซด์จัดเป็นสารประกอบออกไซด์ที่นอกจากจะทำหน้าที่เป็นสารกำบังรังสียังทำหน้าที่เป็นสารช่วยกระตุ้น (Co-activator) ทำหน้าที่เป็นตัวกระตุ้นให้สารตัวเร่งทำงานได้เร็วขึ้น ซึ่งสอดคล้องกับงานวิจัยของ Keeratikarn N., et al., (2017)[53] ดังนั้นคอมโพสิตของยางธรรมชาติที่มีบิส്മัทออกไซด์สามารถเกิดปฏิกิริยาวัลคาไนซ์ได้เร็วกว่าคอมโพสิตของยางธรรมชาติที่ไม่มีการเติมบิส്മัทออกไซด์ซึ่งผลการทดลองนี้สอดคล้องกับผลการทดลองปริมาณการเชื่อมขวาง (Crosslink density) ของคอมโพสิตของยางธรรมชาติ ผลการทดลองความสัมพันธ์ระหว่างปริมาณที่แตกต่างกันของบิส്മัทออกไซด์ในคอมโพสิตของยางธรรมชาติต่อปริมาณการเชื่อมขวางของคอมโพสิตของยางธรรมชาติแสดงในตารางที่ 4.2

4.1.2 ผลของการแปรปริมาณบิส്മัทออกไซด์ต่อปริมาณการเชื่อมขวางของคอมโพสิตของยางธรรมชาติ

ยางธรรมชาติจะมีความแข็งแรงมากขึ้น เมื่อสายโซ่โมเลกุลของยางเกิดการเชื่อมขวางกัน ซึ่งความแข็งแรงของยางจะขึ้นอยู่กับปริมาณการเชื่อมขวางที่เกิดขึ้นสามารถทดสอบหาปริมาณการเชื่อมขวางได้ดังหัวข้อที่ 3.2.5.2 และผลการทดสอบหาปริมาณการเชื่อมขวางของคอมโพสิตของยางธรรมชาติที่มีปริมาณของบิส്മัทออกไซด์ที่แตกต่างกันแสดงในตารางที่ 4.2

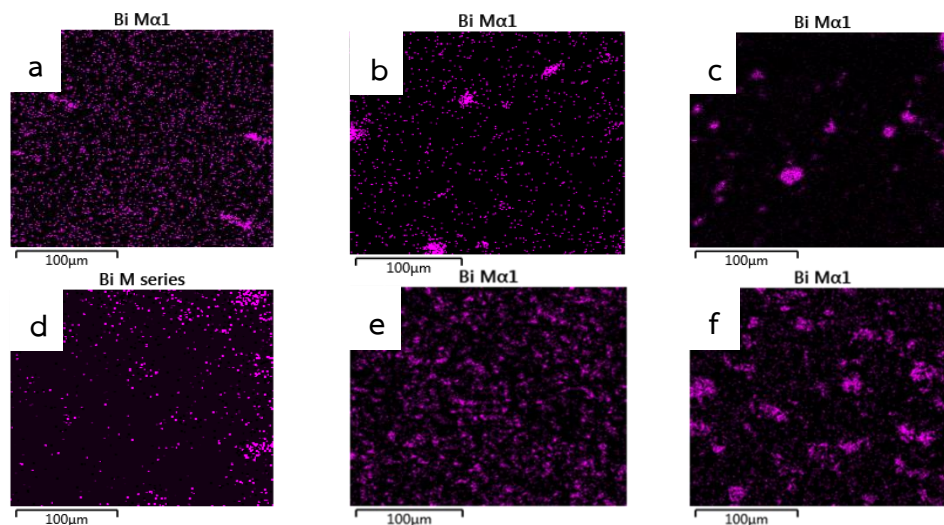
ตารางที่ 4.2 ปริมาณของการเชื่อมขวางของคอมโพสิตของยางธรรมชาติที่มีปริมาณของบิส്മัทออกไซด์ที่แตกต่างกัน

BO Contents (phr)	Crosslink density ($\times 10^{-4} \text{g/cm}^3$)
0	3.12 \pm 0.00010
10	4.84 \pm 0.00011
20	6.33 \pm 0.00015
40	8.12 \pm 0.00015
80	12.3 \pm 0.00010
120	23.9 \pm 0.00011
150	26.3 \pm 0.00011

จากผลการทดลองปริมาณการเชื่อมขวางของคอมโพสิตของยางธรรมชาติในตารางที่ 4.2 แสดงให้เห็นว่า เมื่อปริมาณของบิส്മัทออกไซด์เพิ่มขึ้น ปริมาณการเชื่อมขวางจะมีแนวโน้มเพิ่มขึ้นเช่นกัน เนื่องจากบิส്മัทออกไซด์ทำหน้าที่เป็นสารช่วยกระตุ้นที่มีผลต่อปฏิกิริยาการวัลคาไนซ์ทำให้ปริมาณพันธะเชื่อมขวางระหว่างสายโซ่โพลีเมอร์ของยางเพิ่มมากขึ้น ผลที่ได้สอดคล้องกันกับงานวิจัยของ T. Donruedee., et al., (2018)[54] ศึกษาการเตรียมวัสดุกำบังรังสีที่มีความยืดหยุ่น และปลอดภัยจากยางธรรมชาติผสมกับโลหะออกไซด์ ได้แก่ เหล็กออกไซด์ ทังสเตนออกไซด์ และบิส്മัทออกไซด์ที่ปริมาณ 100 300 และ 500 ส่วนโดยร้อยละเมื่อเทียบกับยางพบว่าเมื่อเพิ่มปริมาณของโลหะออกไซด์ทำให้ปริมาณการเชื่อมขวางเพิ่มขึ้น เนื่องจากสารประกอบออกไซด์ทั้งสามชนิดทำหน้าที่เป็นสารกระตุ้นสารตัวเร่ง ปฏิกิริยาวัลคาไนซ์เกิดได้เร็วขึ้นส่งผลให้ปริมาณการเชื่อมขวางเพิ่มขึ้นเช่นกัน

4.1.3 ผลของการแปรปริมาณบิส്മัทออกไซด์ ต่อการกระจายตัว และปริมาณการกระจายตัวของธาตุของบิส്മัทออกไซด์ในคอมโพสิตของยางธรรมชาติ

การกระจายตัวของสารส่งผลโดยตรงต่อสมบัติเชิงกลของวัสดุคอมโพสิต เนื่องจากเมื่อทำการให้แรงกับวัสดุแรงจะเคลื่อนที่ไปยังส่วนที่เนื้อพื้น (Matrix phase) ก่อนหลังจากนั้นจะส่งผ่านแรงไปยังส่วนที่กระจาย (Distribution phase) ถ้าวัสดุมีการกระจายตัวของสารที่ดีจะทำให้เกิดการส่งผ่านแรงได้อย่างต่อเนื่อง ส่งผลให้วัสดุรับแรงได้ดีซึ่งการทดสอบการกระจายตัวของบิส്മัทออกไซด์เริ่มจากการนำตัวอย่างเคลือบทอง และทดสอบด้วยกล้องจุลทรรศน์อิเล็กตรอนแบบส่องกราด โดยใช้เทคนิคเอ็กซ์เรย์ ฟลูออเรสเซนซ์แบบกระจายพลังงาน ผลการทดลองความสัมพันธ์ระหว่างปริมาณที่แตกต่างกันของบิส്മัทออกไซด์ในคอมโพสิตของยางธรรมชาติต่อการกระจายตัวของบิส്മัทออกไซด์ในคอมโพสิตของยางธรรมชาติแสดงในรูปที่ 4.1 และปริมาณการกระจายตัวของธาตุในคอมโพสิตของยางธรรมชาติที่ได้จากการคำนวณตามสมการที่ (3.2) และ (3.3) แสดงในตารางที่ 4.3



รูปที่ 4.1 การกระจายตัวของบิสมัทในคอมโพสิตของยางธรรมชาติที่มีปริมาณของบิสมัทออกไซด์ที่แตกต่างกัน a) 10 phr b) 20 phr c) 40 phr d) 80 phr e) 120 phr และ f) 150 phr

ตารางที่ 4.3 ร้อยละปริมาณการกระจายตัวของธาตุในคอมโพสิตของยางธรรมชาติที่มีการแปรปริมาณของบิสมัทออกไซด์

Elements	BO Contents (phr)						
	0	10	20	40	80	120	150
C	81.714	74.876	69.094	59.850	47.217	38.988	34.480
H	10.981	10.062	9.285	8.043	6.345	5.239	4.634
O	1.000	1.779	2.437	3.489	4.927	5.863	6.376
Zn	3.668	3.361	3.102	2.687	2.120	1.750	1.548
Bi	0.000	7.506	13.853	24.000	37.868	46.901	51.849
N	0.107	0.098	0.091	0.079	0.062	0.051	0.045
S	2.529	2.317	2.138	1.852	1.461	1.207	1.067

รูปที่ 4.1 แสดงการกระจายตัวของบิสมัทออกไซด์ในคอมโพสิตของยางธรรมชาติที่ปริมาณต่าง ๆ พบว่า เมื่อปริมาณของบิสมัทออกไซด์เพิ่มขึ้น ความสามารถในการกระจายตัวของสารจะลดลง เนื่องจากปริมาณของบิสมัทออกไซด์ที่เพิ่มขึ้นจะส่งผลให้การผสมสารเข้ากับยางธรรมชาติได้ยากขึ้น และทำให้บิสมัทออกไซด์เกิดการเกาะกลุ่มกันเอง (Agglomeration) มากกว่าที่จะกระจายตัวใน

ยางธรรมชาติซึ่งบริเวณที่เกิดการเกาะกลุ่มกันของสารถือเป็นจุดอ่อนของวัสดุที่ส่งผลต่อสมบัติเชิงกลของคอมโพสิตของยางธรรมชาติโดยตรง

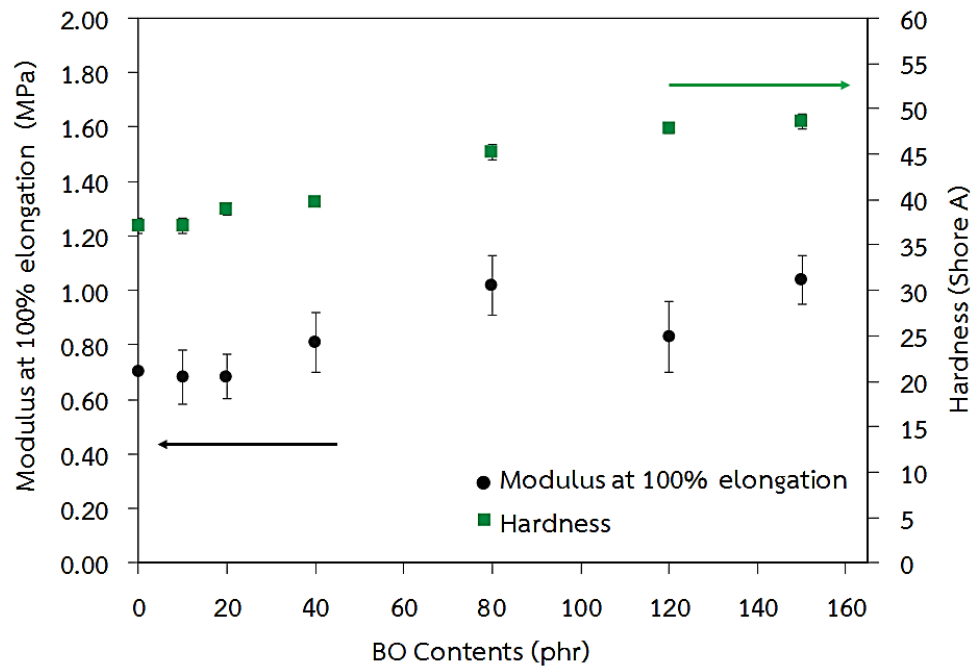
ตารางที่ 4.3 แสดงร้อยละปริมาณการกระจายตัวของธาตุในคอมโพสิตของยางธรรมชาติที่มีการแปรปริมาณของบิสมัทออกไซด์จากตารางจะเห็นได้ว่า เมื่อปริมาณของบิสมัทออกไซด์เพิ่มขึ้น ปริมาณบิสมัทมีแนวโน้มที่เพิ่มขึ้นเช่นกัน ซึ่งการเพิ่มขึ้นของบิสมัทอาจส่งผลต่อสมบัติการลดทอนรังสีเนื่องจากบิสมัทจัดเป็นธาตุที่มีเลขอะตอมสูงสามารถดูดกลืนคลื่นแม่เหล็กไฟฟ้าที่มีพลังงานสูงได้

4.1.4 ผลของการแปรปริมาณบิสมัทออกไซด์ต่อสมบัติเชิงกลของคอมโพสิตของยางธรรมชาติ

ทำการทดสอบสมบัติเชิงกลโดยการเตรียมตัวอย่างเป็นรูปดรัมเบล ทดสอบตามมาตรฐาน ASTM D 412 ผลการทดลองความสัมพันธ์ระหว่างปริมาณที่แตกต่างกันของบิสมัทออกไซด์ในคอมโพสิตของยางธรรมชาติต่อสมบัติเชิงกลแสดงในตารางที่ 4.4-4.6 และรูปที่ 4.2-4.4

ตารางที่ 4.4 มอดูลัสที่ ระยะยืด 100% (Modulus at 100% elongation) และความแข็ง (Hardness) ของคอมโพสิตของยางธรรมชาติที่มีปริมาณของบิสมัทออกไซด์ที่แตกต่างกัน

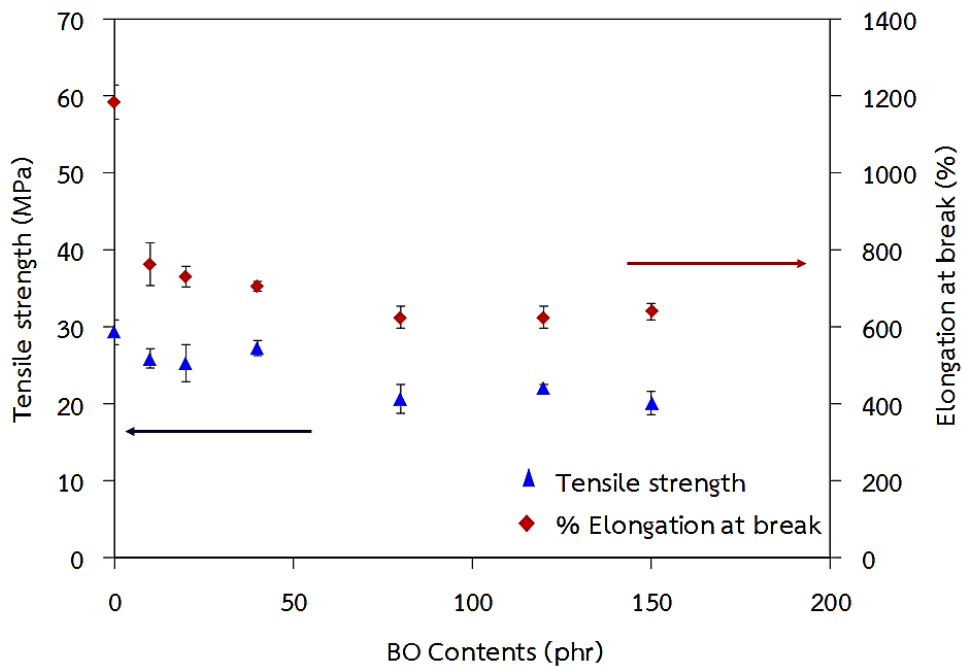
BO Contents (phr)	Modulus at 100% elongation (MPa)	Hardness (Shore A)
0	0.70 ±0.01	37.20 ±0.84
10	0.68 ±0.10	37.20 ±0.84
20	0.68 ±0.08	39.00 ±0.71
40	0.81 ±0.11	39.80 ±0.84
80	1.02 ±0.11	45.20 ±0.45
120	0.83 ±0.13	47.80 ±0.84
150	1.04 ±0.09	48.60 ±0.89



รูปที่ 4.2 โมดูลัสที่ระยะยืด 100% และความแข็งของคอมโพสิตของยางธรรมชาติที่มีปริมาณของบิสม์ทออกไซด์ที่แตกต่างกัน

ตารางที่ 4.5 ความต้านทานต่อแรงดึง (Tensile strength) และระยะยืด ณ จุดขาด (% Elongation at break) ของคอมโพสิตของยางธรรมชาติที่มีปริมาณของบิสม์ทออกไซด์ที่แตกต่างกัน

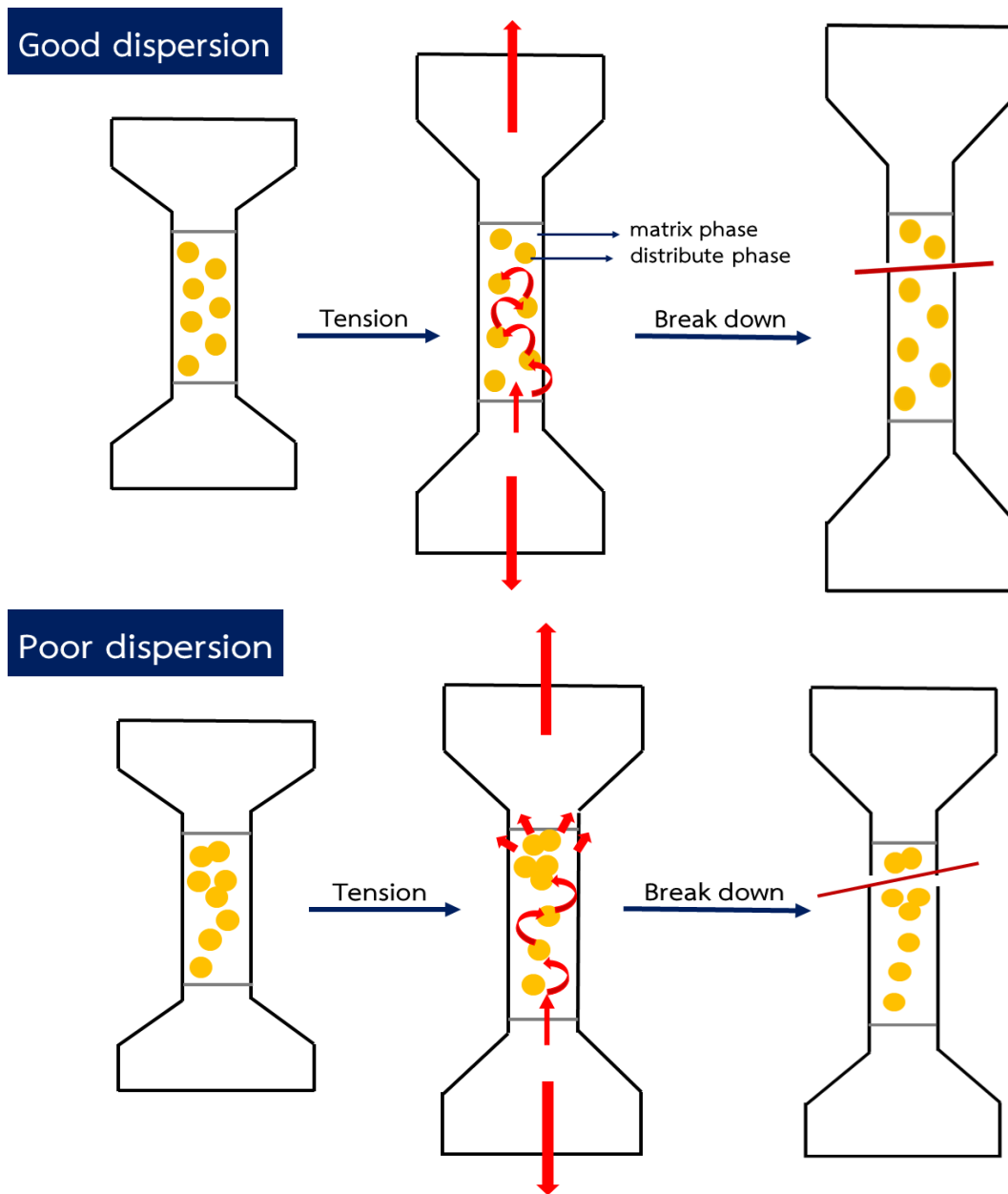
BO contents (phr)	Tensile strength (MPa)	Elongation at break (%)
0	29.31 ±1.60	1,183 ±45
10	25.90 ±1.21	763 ±54
20	25.22 ±2.41	730 ±27
40	27.25 ±1.00	706 ±13
80	20.66 ±1.88	625 ±29
120	22.08 ±0.37	625 ±29
150	20.13 ±1.53	640 ±22



รูปที่ 4.3 ความต้านทานต่อแรงดึง และระยะยืด ณ จุดขาดของคอมโพสิตของยางธรรมชาติที่มีปริมาณของบิส്മัทออกไซด์ที่แตกต่างกัน

จากตารางที่ 4.4 และรูปที่ 4.2 แสดงค่ามอดูลัสที่ระยะยืด 100% และค่าความแข็ง ของคอมโพสิตของยางธรรมชาติที่มีปริมาณของบิส്മัทออกไซด์ที่แตกต่างกันพบว่า เมื่อเพิ่มปริมาณบิส്മัทออกไซด์ส่งผลให้ค่ามอดูลัสที่ระยะยืด 100% และค่าความแข็งมีแนวโน้มเพิ่มขึ้น เนื่องจากบิส്മัทออกไซด์จัดเป็นสารที่มีอนุภาคแข็ง เมื่อเติมลงในยางธรรมชาติอนุภาคของบิส്മัทออกไซด์จะเข้าแทรกระหว่างสายโซ่โมเลกุลของยางส่งผลให้สายโซ่โมเลกุลของยางถูกจำกัดการเคลื่อนที่ หรือความสามารถในการเคลื่อนที่ของสายโซ่โมเลกุลของยางลดลง

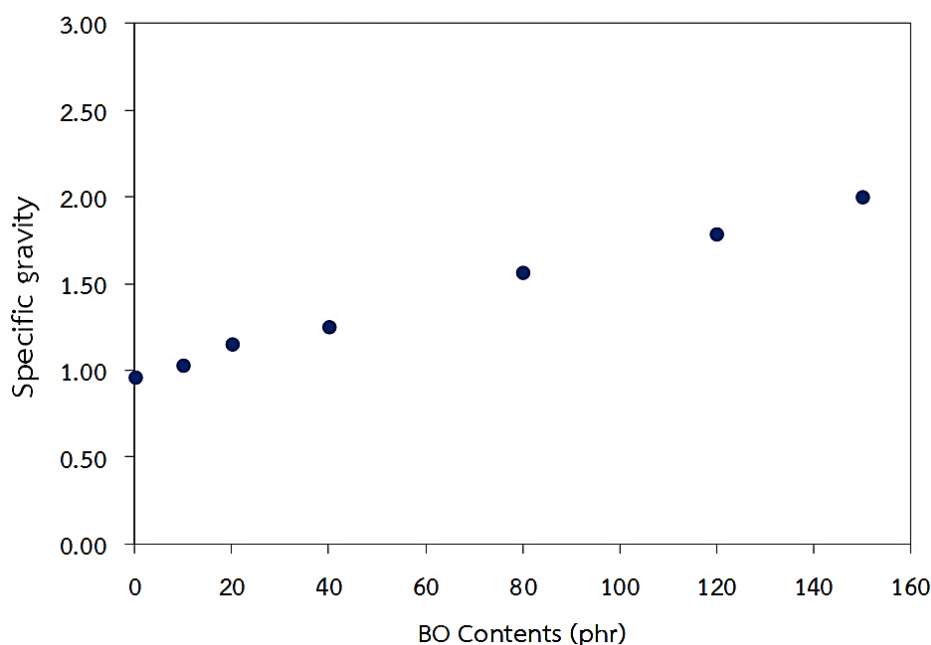
ในทางกลับกันการเพิ่มขึ้นของบิส്മัทออกไซด์ในคอมโพสิตของยางธรรมชาติส่งผลต่อความสามารถในการกระจายตัวของสารดังแสดงในรูปที่ 4.1 ความสามารถในการกระจายตัวน้อยลงเมื่อปริมาณของบิส്മัทออกไซด์เพิ่มขึ้นเป็นปัจจัยที่ทำให้ค่าความต้านทานต่อแรงดึง และค่าระยะยืด ณ จุดขาดของวัสดุคอมโพสิตของยางธรรมชาติมีแนวโน้มลดลงซึ่งสามารถอธิบายได้จากรูปที่ 4.4 แสดงกระบวนการส่งผ่านแรงของวัสดุคอมโพสิตที่มีการกระจายตัวของสารแตกต่างกันซึ่งส่งผลต่อสมบัติเชิงกลของวัสดุคอมโพสิตกล่าวคือ วัสดุคอมโพสิตจะประกอบไปด้วยสองส่วนได้แก่ ส่วนที่เป็นเนื้อพื้น (matrix) และเฟสกระจาย (distribute phase) เมื่อให้แรงดึงยึดกับวัสดุคอมโพสิตแรงจะต้อง



รูปที่ 4.4 กระบวนการส่งผ่านแรงของวัสดุคอมโพสิตที่มีการกระจายตัวของสารที่ดี (Good dispersion) และการกระจายตัวของสารที่ไม่ดี (poor dispersion) ซึ่งส่งผลต่อสมบัติเชิงกลของวัสดุคอมโพสิต

ตารางที่ 4.6 ความถ่วงจำเพาะ (Specific gravity) ของคอมโพสิตของยางธรรมชาติที่มีปริมาณของบิสม์ทออกไซด์ที่แตกต่างกัน

BO Contents (phr)	Specific gravity
0	0.9630 ±0.0070
10	1.0370 ±0.0040
20	1.1560 ±0.0070
40	1.2580 ±0.0020
80	1.5680 ±0.0030
120	1.7940 ±0.0040
150	2.0040 ±0.0050



รูปที่ 4.5 ความถ่วงจำเพาะของคอมโพสิตของยางธรรมชาติที่มีปริมาณของบิสม์ทออกไซด์แตกต่างกัน

เคลื่อนที่ไปยังส่วนของเนื้อพื้ก่อน หลังจากนั้นจะทำการถ่ายโอนแรงไปยังส่วนเสริมแรง หากวัสดุคอมโพสิตมีการกระจายตัวของสารที่ดี การถ่ายโอนแรงจะเกิดได้อย่างต่อเนื่อง วัสดุคอมโพสิตสามารถรับแรงได้ดีส่งผลให้ค่าความต้านทานต่อแรงดึง และระยะยืด ณ จุดขาดสูง ในขณะที่เดียวกัน หากวัสดุคอมโพสิตมีการกระจายตัวของสารที่ไม่ดี การส่งผ่านแรงจากเนื้อพื้ไปยังส่วนเสริมแรงจะเกิดได้อย่างไม่ต่อเนื่อง บริเวณที่เกิดการร่วมตัวกันของสารจะเป็นบริเวณที่เกิดช่องว่าง และไม่เกิดการรับแรง หรือเป็นบริเวณที่เนื้อพื้ทำหน้าที่เป็นส่วนที่รับแรงเพียงส่วนเดียวเท่านั้น วัสดุจึงเกิดการ

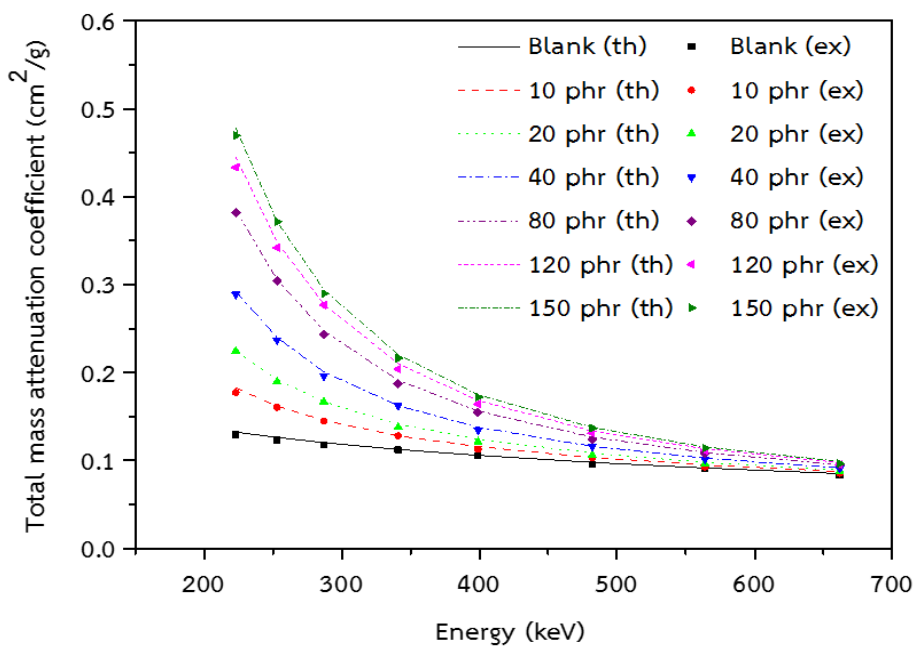
แตกหัก หรือฉีกขาดออกจากกันได้ง่ายส่งผลให้ค่าความต้านทานต่อแรงดึง และระยะยืด ณ จุดขาดต่ำ ผลการทดลองความต้านทานต่อแรงดึง และระยะยืด ณ จุดขาดแสดงในตารางที่ 4.5 และรูปที่ 4.3

สำหรับค่าความถ่วงจำเพาะของคอมโพสิตของยางธรรมชาติ (ความถ่วงจำเพาะของยางธรรมชาติเท่ากับ 0.92) ที่มีปริมาณของบิสม์ทออกไซด์ที่แตกต่างกันแสดงในตารางที่ 4.6 และรูปที่ 4.5 จะเห็นได้ว่า ค่าความถ่วงจำเพาะมีแนวโน้มเพิ่มขึ้น เมื่อเพิ่มปริมาณของบิสม์ทออกไซด์(ความถ่วงจำเพาะของบิสม์ทออกไซด์เท่ากับ 8.9)[56] เนื่องบิสม์ทออกไซด์มีค่าความถ่วงจำเพาะที่สูง เมื่อเติมลงในยางธรรมชาติเพิ่มขึ้นส่งผลให้ค่าความถ่วงจำเพาะของคอมโพสิตของยางธรรมชาติที่เตรียมได้เพิ่มขึ้น

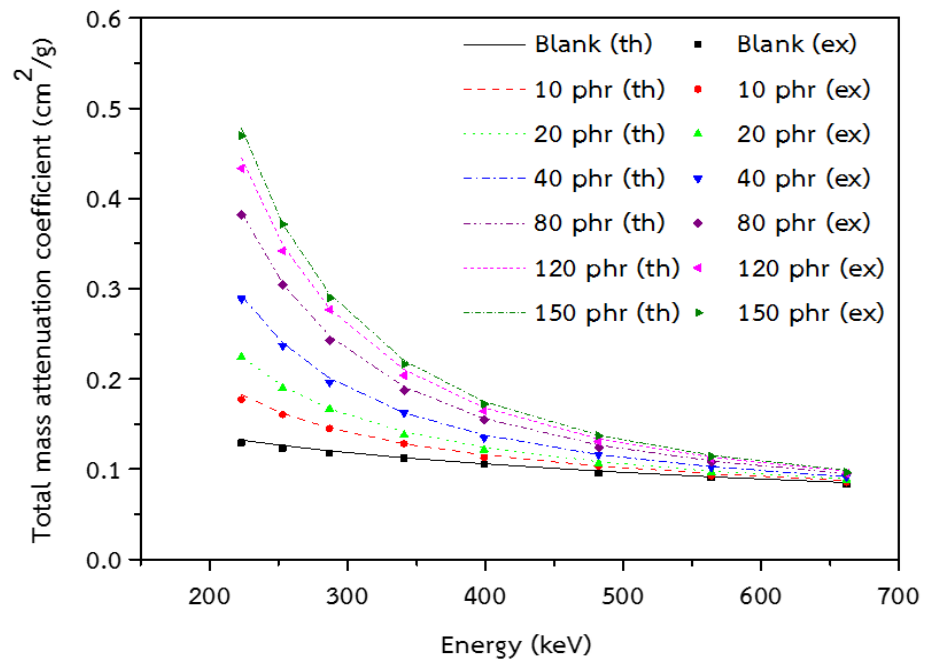
4.1.5 ผลของการแปรปริมาณบิสมัทออกไซด์ต่อสมบัติทางด้านรังสีของคอมโพสิตของยางธรรมชาติ

4.1.5.1 ผลของการแปรปริมาณบิสมัทออกไซด์ต่อสมบัติการลดทอนรังสีแกมมา (Gamma ray attenuation) ของคอมโพสิตของยางธรรมชาติ

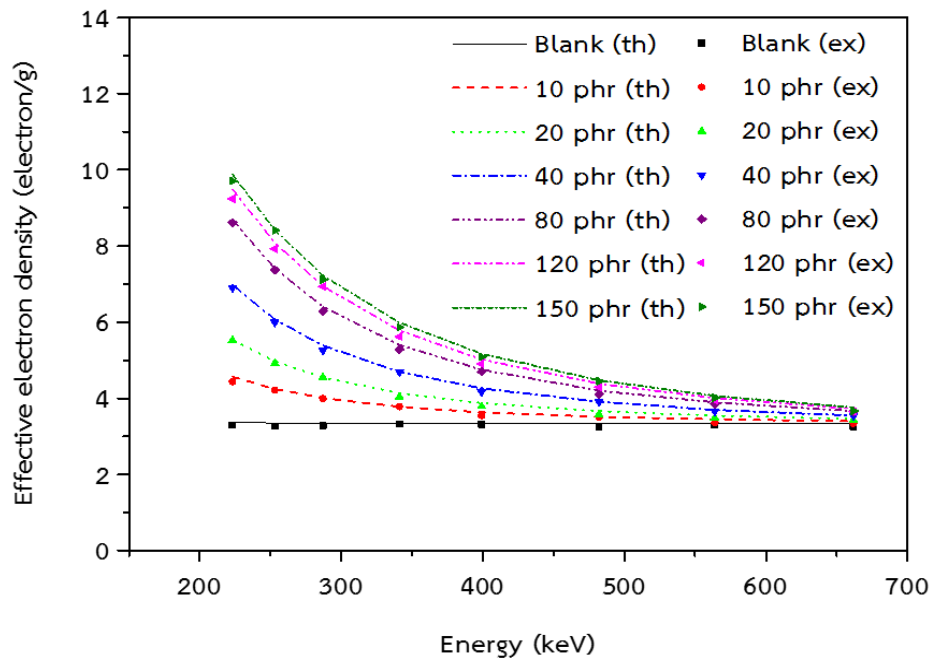
คลื่นแม่เหล็กไฟฟ้าที่มีพลังงานสูงสามารถถูกดูดกลืนได้ดีด้วยธาตุหนัก หรือธาตุที่มีเลขอะตอมสูง บิสมัทออกไซด์จัดเป็นธาตุหนักที่สามารถดูดกลืน หรือลดทอนปริมาณของรังสีได้ ทำศึกษาปริมาณที่ต่างกันของบิสมัทออกไซด์ที่มีผลต่อการลดทอนรังสีแกมมาของคอมโพสิตของยางธรรมชาติทำการทดสอบที่พลังงานในช่วง 223-662 กิโลอิเล็กตรอนโวลต์ ผลการทดลองความสัมพันธ์ระหว่างปริมาณที่แตกต่างกันของบิสมัทออกไซด์ในคอมโพสิตของยางธรรมชาติต่อความสามารถในการลดทอนรังสีแกมมาของคอมโพสิตของยางธรรมชาติ แสดงในรูปที่ 4.6-4.10



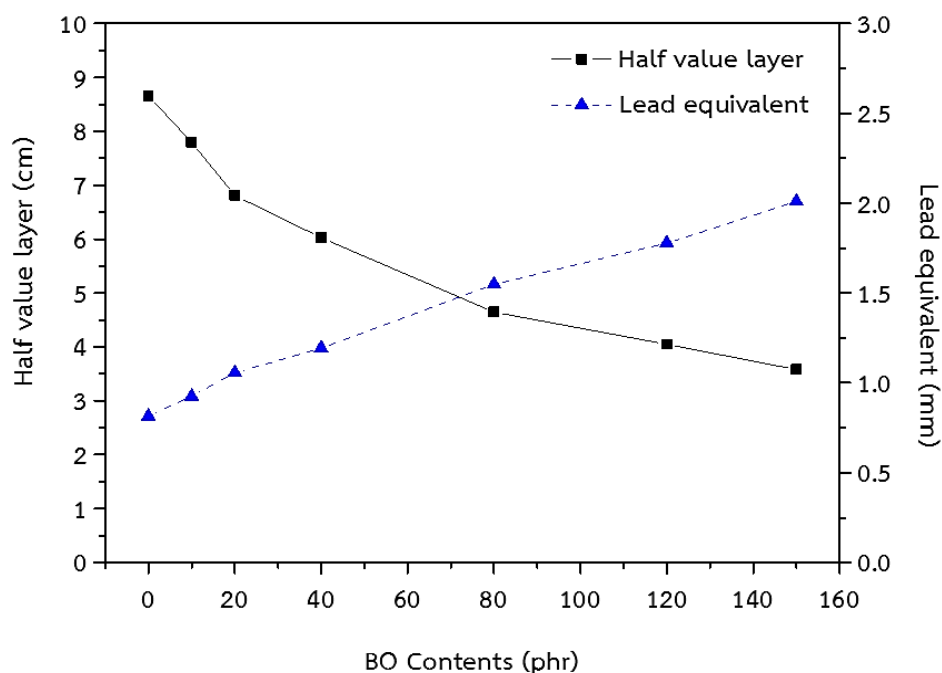
รูปที่ 4.6 สัมประสิทธิ์การลดทอนรังสีเชิงมวล (Total mass attenuation coefficient; μ_m) ของคอมโพสิตของยางธรรมชาติที่มีปริมาณของบิสมัทออกไซด์ที่แตกต่างกัน ทดสอบด้วยรังสีแกมมาที่พลังงาน 223-662 keV



รูปที่ 4.7 เลขอะตอมยังผล (Effective atomic number; Z_{eff}) ของคอมโพสิตของยางธรรมชาติที่มีปริมาณของบิสมีท์ออกไซด์ที่แตกต่างกัน ทดสอบด้วยรังสีแกมมาที่พลังงาน 223-662 keV

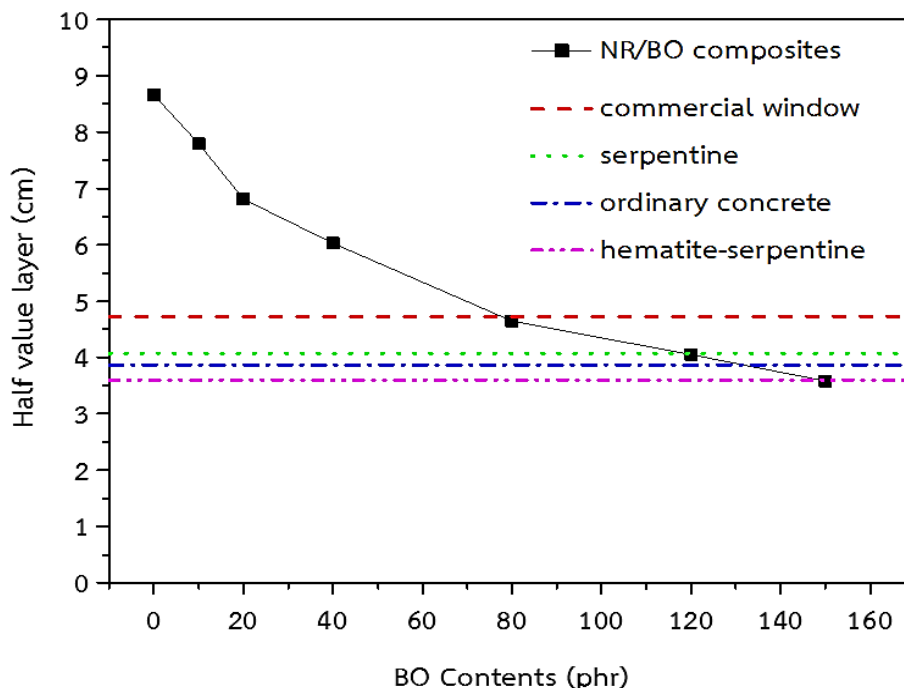


รูปที่ 4.8 ความหนาแน่นอิเล็กตรอน (Effective atomic density; N_e) ของคอมโพสิตของยางธรรมชาติที่มีปริมาณของบิสมีท์ออกไซด์ที่แตกต่างกัน ทดสอบด้วยรังสีแกมมาที่พลังงาน 223-662 keV



รูปที่ 4.9 ความหนาครึ่งค่า (Half value layer; HVL) และความหนาเทียบเท่าตะกั่ว (Lead equivalent) ของคอมโพสิตของยางธรรมชาติที่มีปริมาณของบิสมีทออกไซด์ที่แตกต่างกัน ทดสอบด้วยรังสีแกมมาที่พลังงาน 662 keV

รูปที่ 4.6 แสดงสัมประสิทธิ์การลดทอนรังสีเชิงมวลของคอมโพสิตของยางธรรมชาติที่มีปริมาณของบิสมีทออกไซด์ที่แตกต่างกัน จากผลการศึกษาพบว่า ค่าสัมประสิทธิ์การลดทอนรังสีเชิงมวลเพิ่มขึ้น เมื่อปริมาณของบิสมีทออกไซด์เพิ่มขึ้นหมายความว่า คอมโพสิตของยางธรรมชาติที่มีปริมาณของบิสมีทออกไซด์ที่เพิ่มขึ้น สามารถดูดกลืน หรือลดทอนปริมาณของรังสีแกมมาได้มากขึ้น ตามทฤษฎีที่กล่าวมาข้างต้นว่า การลดทอนปริมาณรังสีจะเกิดขึ้นได้เมื่อรังสีแกมมาเกิดอันตรกิริยา (interaction) กับอิเล็กตรอนในอะตอมของสารในคอมโพสิตของยางธรรมชาติ รูปที่ 4.7 แสดงเลขอะตอมยังผลของคอมโพสิตของยางธรรมชาติที่มีปริมาณของบิสมีทออกไซด์ที่แตกต่างกัน เลขอะตอมยังผลบ่งบอกถึงจำนวนอิเล็กตรอนที่วิ่งวนรอบนิวเคลียสของอะตอมที่เป็นกลาง[57] และรูปที่ 4.8 แสดงความหนาแน่นอิเล็กตรอนของคอมโพสิตของยางธรรมชาติที่มีปริมาณของบิสมีทออกไซด์ที่แตกต่างกัน จากทั้งสองรูปจะเห็นได้ว่า เลขอะตอมยังผล และความหนาแน่นอิเล็กตรอนเพิ่มขึ้นเมื่อเพิ่มปริมาณของบิสมีทออกไซด์กล่าวคือ อิเล็กตรอนมีจำนวนเพิ่มขึ้นตามการเพิ่มขึ้นของบิสมีทออกไซด์ ดังนั้นอันตรกิริยาระหว่างรังสีแกมมา หรือโฟตอน และอิเล็กตรอนมีโอกาสเกิดได้มากขึ้นเช่นกัน โดยส่วนสำคัญที่สามารถดูดกลืน หรือลดทอนรังสีได้ดีคือบิสมีทซึ่งเป็นธาตุหนักที่เป็นองค์ประกอบของบิสมีทออกไซด์ ส่งผลให้ยางธรรมชาติที่มีปริมาณของบิสมีทออกไซด์ในปริมาณ



รูปที่ 4.10 เปรียบเทียบความหนาครึ่งค่าของคอมโพสิตของยางธรรมชาติที่มีปริมาณของบิสมัท ออกไซด์ที่แตกต่างกับกระจกเชิงพาณิชย์ (commercial window) เซอร์เพนไทน์ (serpentine) คอนกรีต (ordinary concrete) และเฮมาไทต์-เซอร์เพนไทน์ (hematite-serpentine)[43] ทดสอบ ด้วยรังสีแกมมาที่พลังงาน 662 keV

มากมีโอกาสเกิดอันตรกิริยากับรังสีแกมมาได้มากเช่นกัน คอมโพสิตของยางธรรมชาติจึงสามารถลดทอนปริมาณรังสีแกมมาได้มากขึ้น อย่างไรก็ตามความสามารถในการลดทอนรังสีจะลดลงเมื่อเพิ่มพลังงานของรังสีแกมมาสังเกตได้จากคอมโพสิตของยางธรรมชาติที่มีปริมาณของบิสมัทออกไซด์ที่เท่ากัน เนื่องจากที่รังสีพลังงานต่ำมีความสามารถในการทะลุทะลวงผ่านวัสดุได้น้อยกว่ารังสีที่พลังงานสูงหมายความว่า ความสามารถในการลดทอนรังสีของคอมโพสิตของยางธรรมชาติลดลงเมื่อเพิ่มพลังงานรังสีแกมมาให้สูงขึ้น นอกจากนี้ผลการทดลองทั้งสามผลการทดลองมีค่าการทดลอง (ex) ที่ใกล้เคียงกับค่าทางทฤษฎี (th) ที่คำนวณได้จากโปรแกรม WinXCom สามารถยืนยันได้ว่าผลการทดลองที่ได้มีความแม่นยำ และถูกต้องตรงตามทฤษฎี

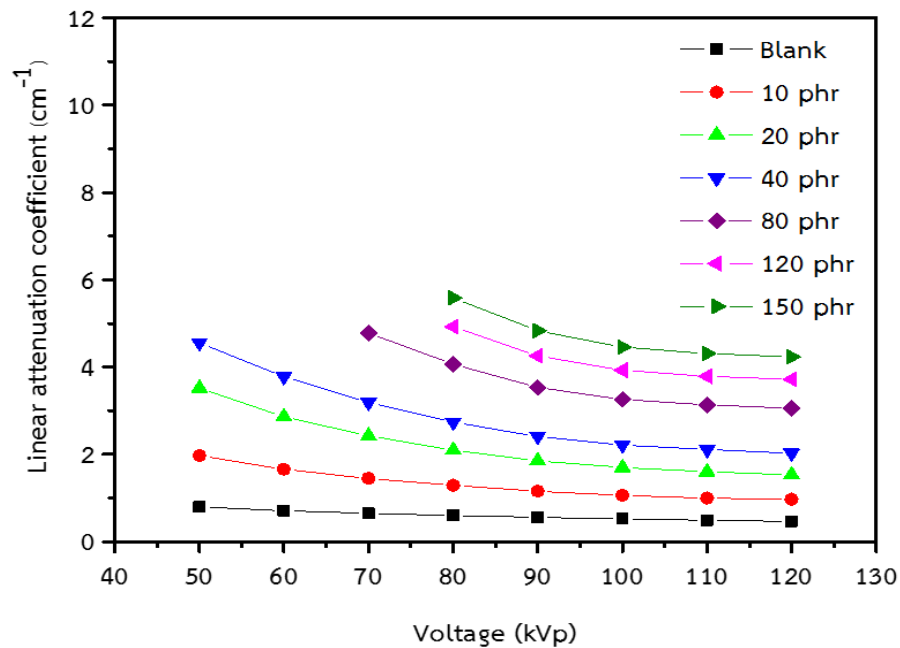
รูปที่ 4.9 แสดงค่าความหนาครึ่งค่า และความหนาเทียบเท่าตะกั่วของคอมโพสิตของยางธรรมชาติที่มีปริมาณของบิสมัทออกไซด์ที่แตกต่างกัน ทำการทดสอบรังสีแกมมาที่พลังงาน 662 กิโลอิเล็กตรอนโวลต์ โดยค่าความหนาครึ่งค่าหมายถึง ความหนาของวัสดุซึ่งสามารถลดทอนปริมาณรังสีลงไปครึ่งหนึ่งจากพลังงานของรังสีเดิม จากรูปจะเห็นได้ว่า เมื่อเพิ่มปริมาณบิสมัทออกไซด์ ค่าความหนาครึ่งค่าลดลงแสดงว่า คอมโพสิตของยางธรรมชาติที่มีบิสมัทออกไซด์เพิ่มขึ้นสามารถลดทอนปริมาณรังสีลงไปได้ครึ่งหนึ่งได้โดยคอมโพสิตของยางธรรมชาติจะมีความหนาที่ลดลง และค่าความหนา

เทียบเท่าตะกั่วเป็นการเปรียบเทียบความสามารถในการลดทอนปริมาณของรังสีของคอมโพสิตของยางธรรมชาติกับตะกั่ว ยกตัวอย่างจากในรูปที่ 4.9 คอมโพสิตของยางธรรมชาติที่ไม่มี และมีการเติมบิส്മัทออกไซด์หนา 13 มิลลิเมตรเท่ากัน แต่ความสามารถในการลดทอนปริมาณรังสีต่างกันคือ คอมโพสิตของยางธรรมชาติที่ไม่มีการเติมบิส്മัทออกไซด์สามารถลดทอนปริมาณรังสีได้เทียบเท่ากับตะกั่วหนา 0.75 มิลลิเมตร ในขณะที่คอมโพสิตของยางธรรมชาติที่มีการเติมบิส്മัทออกไซด์ 150 ส่วนโดยร้อยละเมื่อเทียบกับยาง สามารถลดทอนปริมาณรังสีได้เทียบเท่ากับตะกั่วหนา 2 มิลลิเมตรที่รังสีแกมมาพลังงานเดียวกัน ซึ่งผลการทดลองมีแนวโน้มเช่นเดียวกับค่าความหนาครึ่งค่าแสดงว่า การเติมปริมาณบิส്മัทออกไซด์ลงในคอมโพสิตของยางธรรมชาติทำให้วัสดุสามารถลดทอนปริมาณรังสีได้มากขึ้นดูได้จากค่าความหนาครึ่งค่าที่ลดลง และความหนาเทียบเท่าตะกั่วที่เพิ่มขึ้น

รูปที่ 4.10 แสดงการเปรียบเทียบความหนาครึ่งค่าของคอมโพสิตของยางธรรมชาติที่มีปริมาณของบิส്മัทออกไซด์ที่แตกต่างกันกับวัสดุกำบังรังสีชนิดต่าง ๆ ที่พลังงานรังสีแกมมาเท่ากับ 662 กิโลอิเล็กตรอนโวลต์ เมื่อทำการพิจารณาค่าความหนาครึ่งค่าจากรูปที่ 4.10 พบว่า การเติมบิส്മัทออกไซด์ที่มีปริมาณ 80 ส่วนโดยร้อยละเมื่อเทียบกับยางในคอมโพสิตของยางธรรมชาติสามารถกำบังรังสีแกมมาได้เทียบเท่ากับกระจกเชิงพาณิชย์ เมื่อเพิ่มปริมาณบิส്മัทออกไซด์เป็น 120 ส่วนโดยร้อยละเมื่อเทียบกับยาง สามารถกำบังรังสีแกมมาได้ดีกว่ากระจกเชิงพาณิชย์ เซอร์เพนไทน์ และคอมโพสิตของยางธรรมชาติที่มีบิส്മัทออกไซด์ 150 ส่วนโดยร้อยละเมื่อเทียบกับยางสามารถกำบังรังสีแกมมาได้ดีกว่ากระจกเชิงพาณิชย์ เซอร์เพนไทน์ คอนกรีต และเฮมาไทด์-เซอร์เพนไทน์ จากการทดลองสมบัติทางด้านรังสีแกมมาจะเห็นได้ว่า คอมโพสิตของยางธรรมชาติที่มีการเติมบิส്മัทออกไซด์ปริมาณ 150 ส่วนโดยร้อยละเมื่อเทียบกับยางสามารถลดทอน หรือกำบังรังสีแกมมาได้ดีที่สุดเมื่อเทียบกับคอมโพสิตของยางธรรมชาติที่ปริมาณต่าง ๆ โดยปริมาณของบิส്മัทออกไซด์ที่เหมาะสมจะนำมาผลิตเป็นวัสดุกำบังรังสีแกมมาที่มีความยืดหยุ่นสูง สามารถยึดตัวได้มากกว่าร้อยละ 600 และปลอดภัยต่อสุขภาพอยู่ในช่วงปริมาณ 80-150 ส่วนโดยร้อยละเมื่อเทียบกับยาง

4.1.5.2 ผลของการแปรปริมาณบิส്മัทออกไซด์ต่อสมบัติการลดทอนรังสีเอ็กซ์ (X-ray attenuation) ของคอมโพสิตของยางธรรมชาติ

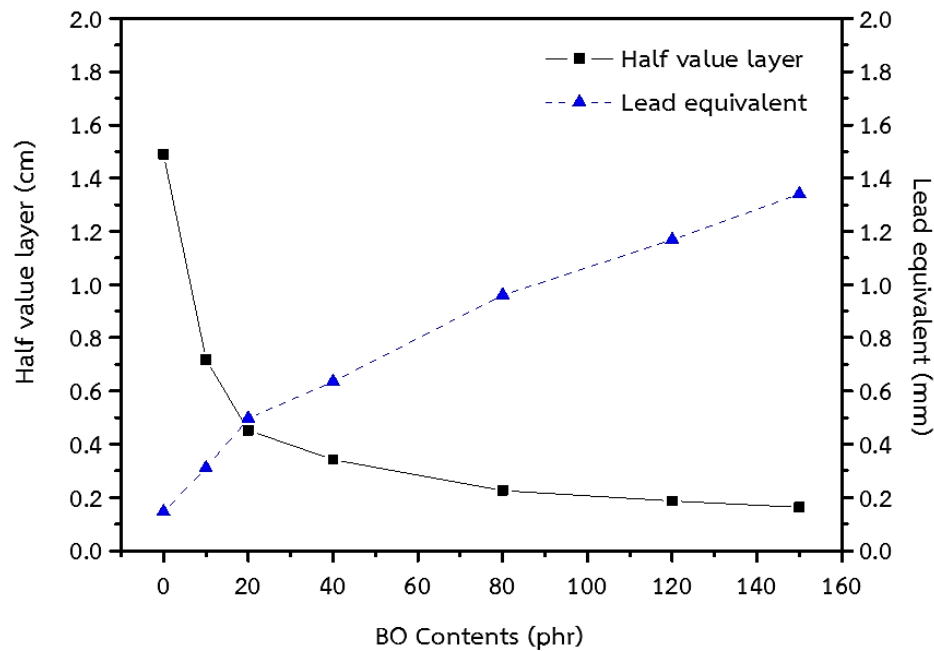
รังสีเอ็กซ์ (X-ray) จัดเป็นคลื่นแม่เหล็กไฟฟ้าที่มีพลังงานสูงซึ่งในปัจจุบันมีการใช้งานอย่างแพร่หลาย โดยรังสีเอ็กซ์สามารถก่ออันตรายแก่ผู้ใช้งานได้ ดังนั้นจึงมีความจำเป็นที่จะต้องมีการกำบังรังสีเอ็กซ์ เพื่อป้องกันอันตรายที่จะเกิดขึ้น ในขั้นตอนนี้เป็นการศึกษาสมบัติการลดทอนรังสีเอ็กซ์ของคอมโพสิตของยางธรรมชาติที่มีพลังงานในช่วง 50-120 กิโลโวลต์สูงสุด ผลการทดลองความสัมพันธ์ระหว่างปริมาณที่แตกต่างกันของบิส്മัทออกไซด์ในคอมโพสิตของยางธรรมชาติต่อความสามารถในการลดทอนรังสีเอ็กซ์ของคอมโพสิตของยางธรรมชาติแสดงในรูปที่ 4.11-4.13



รูปที่ 4.11 สัมประสิทธิ์การลดทอนรังสีเชิงเส้น (Linear attenuation coefficient; μ) ของคอมโพสิตของยางธรรมชาติที่มีปริมาณของบิสมาท์ออกไซด์ที่แตกต่างกัน ทดสอบด้วยรังสีเอ็กซ์ที่พลังงาน 50- 120 kVp

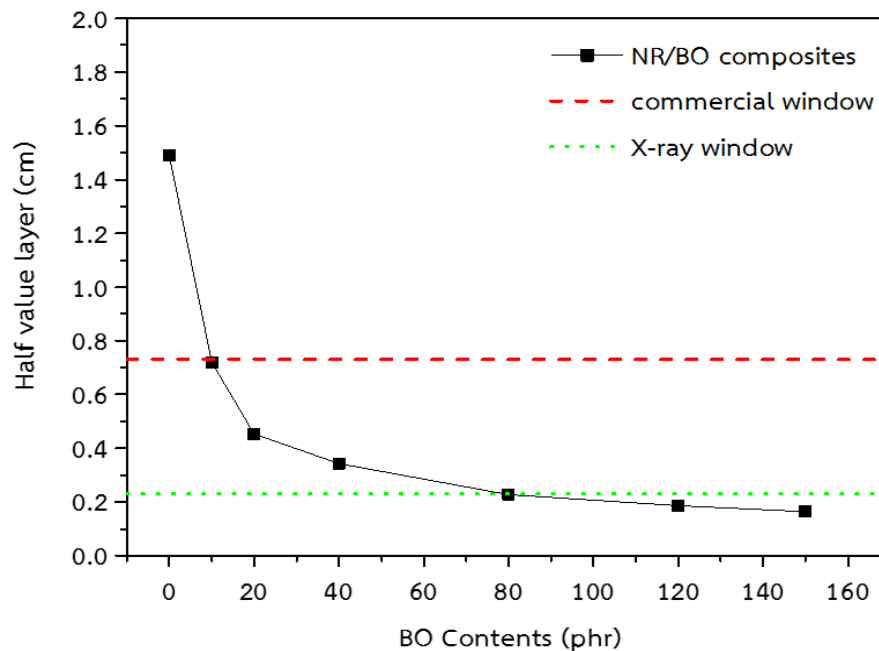
รูปที่ 4.11 แสดงค่าสัมประสิทธิ์การลดทอนรังสีเชิงเส้นของคอมโพสิตของยางธรรมชาติที่มีปริมาณของบิสมาท์ออกไซด์ที่แตกต่างกัน จากผลการทดลองแสดงให้เห็นว่า เมื่อเพิ่มปริมาณบิสมาท์ออกไซด์สัมประสิทธิ์การลดทอนรังสีเชิงเส้นมีค่าเพิ่มขึ้น อย่างที่กล่าวไปข้างต้นว่า การลดทอนรังสีจะเกิดขึ้นได้เมื่อรังสีเกิดอันตรกิริยากับอิเล็กตรอนในอะตอมล้อมนิวเคลียสของตัวกลางนั้นหมายความว่า การเติมบิสมาท์ออกไซด์เป็นการเพิ่มอิเล็กตรอนในอะตอมส่งผลให้เกิดอันตรกิริยาระหว่างรังสีเอ็กซ์และอิเล็กตรอนในอะตอมเพิ่มมากขึ้น คอมโพสิตของยางธรรมชาติที่มีปริมาณบิสมาท์ออกไซด์ที่เพิ่มขึ้นสามารถลดทอน หรือกำบังรังสีเอ็กซ์ได้ดีขึ้น

รูปที่ 4.12 แสดงค่าความหนาครึ่งค่า และความหนาเทียบเท่าตะกั่วของคอมโพสิตของยางธรรมชาติที่มีปริมาณของบิสมาท์ออกไซด์ที่แตกต่างกันที่พลังงาน 120 กิโลโวลต์สูงสุด จากผลการทดลองค่าความหนาครึ่งค่าลดลงเมื่อเพิ่มปริมาณบิสมาท์ออกไซด์แสดงว่า คอมโพสิตของยางธรรมชาติสามารถลดทอนปริมาณของรังสีเอ็กซ์ได้ครึ่งหนึ่งจากพลังงานของรังสีเดิม โดยใช้ความหนาที่ลดลง และค่าความหนาเทียบเท่าตะกั่วเพิ่มขึ้น เมื่อเพิ่มปริมาณบิสมาท์ออกไซด์ โดยในการทดลองหาค่าความหนาเทียบเท่าตะกั่วกำหนดให้คอมโพสิตของยางธรรมชาติมีความหนาเท่ากันคือ 13 มิลลิเมตรหมายความว่า คอมโพสิตของยางธรรมชาติที่มีปริมาณบิสมาท์ออกไซด์เพิ่มขึ้น สามารถลดทอน หรือกำบังรังสีเอ็กซ์ได้ดีขึ้น



รูปที่ 4.12 ความหนาครึ่งค่า และความหนาเทียบเท่าตะกั่วของคอมโพสิตของยางธรรมชาติที่มีปริมาณของบิสมีท์ออกไซด์ที่แตกต่างกัน ทดสอบด้วยรังสีเอ็กซ์ที่พลังงาน 120 kVp

เมื่อนำคอมโพสิตของยางธรรมชาติที่มีการเติมบิสมีท์ออกไซด์เปรียบเทียบกับกระจกเชิงพาณิชย์ และกระจกกำบังรังสีเอ็กซ์พบว่า คอมโพสิตของยางธรรมชาติที่มีปริมาณบิสมีท์ออกไซด์เท่ากับ 10 20 และ 40 ส่วนโดยร้อยละเมื่อเทียบกับยางสามารถกำบังรังสีเอ็กซ์ได้ดีกว่ากระจกเชิงพาณิชย์ และเมื่อเพิ่มปริมาณของบิสมีท์ออกไซด์เป็น 80 120 150 ส่วนโดยร้อยละเมื่อเทียบกับยางสามารถกำบังรังสีเอ็กซ์ได้ดีกว่ากระจกเชิงพาณิชย์ และกระจกกำบังรังสีเอ็กซ์ สังเกตการเปรียบเทียบวัสดุกำบังรังสีเอ็กซ์ชนิดต่าง ๆ ได้จากรูปที่ 4.13 จากผลการทดลองสมบัติการลดทอนรังสีเอ็กซ์ทั้งหมดพบว่า คอมโพสิตของยางธรรมชาติที่มีบิสมีท์ออกไซด์ปริมาณ 150 ส่วนโดยร้อยละเมื่อเทียบกับยางให้สมบัติทางด้านรังสีเอ็กซ์ที่ดีที่สุด และคอมโพสิตของยางธรรมชาติที่มีปริมาณบิสมีท์ออกไซด์เท่ากับ 80 120 และ 150 ส่วนโดยร้อยละเมื่อเทียบกับยางเป็นปริมาณที่เหมาะสมที่จะนำมาผลิตเป็นวัสดุกำบังรังสีเอ็กซ์ เนื่องจากมีความสามารถในการกำบังรังสีเอ็กซ์ได้ดีกว่ากระจกเชิงพาณิชย์ และกระจกกำบังรังสีเอ็กซ์ซึ่งเป็นวัสดุที่นิยมนำมากำบังรังสีเอ็กซ์



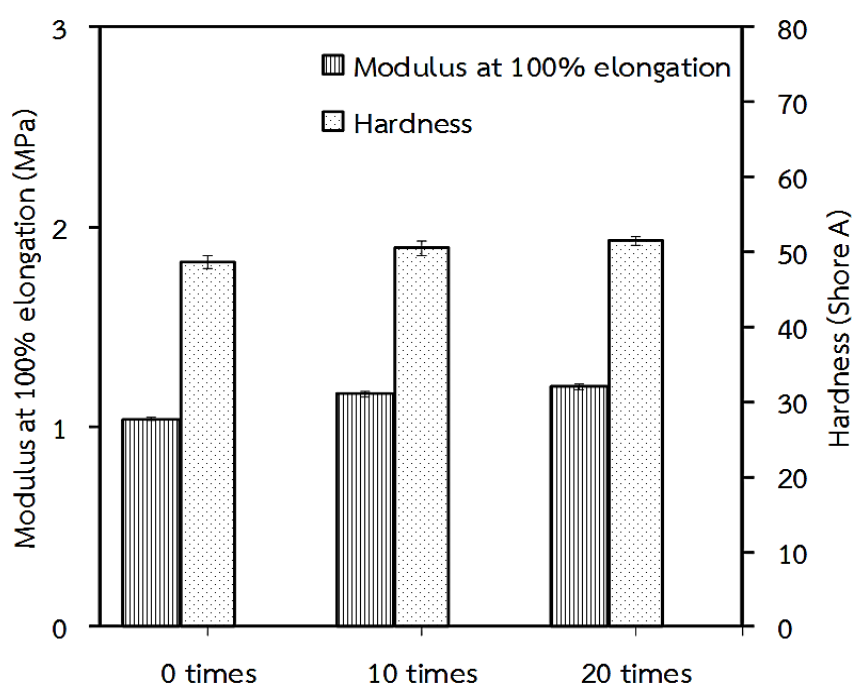
รูปที่ 4.13 เปรียบเทียบความหนาครึ่งค่าของคอมโพสิตของยางธรรมชาติที่มีปริมาณของบิส്മัทออกไซด์ที่แตกต่างกันกับกระจกเชิงพาณิชย์ (commercial window) และกระจกกำบังรังสีเอ็กซ์ (X-ray window) ทดสอบด้วยรังสีเอ็กซ์ที่พลังงาน 120 kVp

4.1.6 ผลของการทดสอบสมบัติเชิงกลหลังผ่านการกำบังรังสีที่มีการฉายรังสีซ้ำ 10 และ 20 ครั้งของคอมโพสิตของยางธรรมชาติ

เมื่อพิจารณาสมบัติเชิงกล และสมบัติด้านการลดทอนรังสีของคอมโพสิตของยางธรรมชาติที่มีปริมาณของบิส്മัทออกไซด์เท่ากับ 0 10 20 40 80 120 และ 150 ส่วนโดยร้อยละ เมื่อเทียบกับยางพบว่า คอมโพสิตของยางธรรมชาติที่มีการเติมบิส്മัทออกไซด์ปริมาณ 150 ส่วนโดยร้อยละเมื่อเทียบกับยางให้สมบัติเชิงกลอยู่ในเกณฑ์ที่ดี และให้ค่ากำบังรังสีแกมมา และรังสีเอ็กซ์ที่ดีที่สุดจึงเลือกคอมโพสิตของยางธรรมชาติที่มีการเติมบิส്മัทออกไซด์ปริมาณ 150 ส่วนโดยร้อยละเมื่อเทียบกับยางทำการฉายรังสี 10 และ 20 ครั้ง ครั้งละ 100 วินาที โดยการใช้มุมในการกระเจิงแสง 0° ซึ่งมีค่าพลังงานเท่ากับ 662 กิโลอิเล็กตรอนโวลต์ ผลการทดลองสมบัติเชิงกลหลังได้รับรังสีของคอมโพสิตของยางธรรมชาติที่มีการเติมบิส്മัทออกไซด์ปริมาณ 150 ส่วนโดยร้อยละเมื่อเทียบกับยางแสดงในตารางที่ 4.7-4.9 และรูปที่ 4.13-4.15

ตารางที่ 4.7 มอดูลัสที่ระยะยืด 100% และความแข็ง หลังผ่านการกำบังรังสีที่มีการฉายรังสีซ้ำ 10 และ 20 ครั้งของคอมโพสิตของยางธรรมชาติ

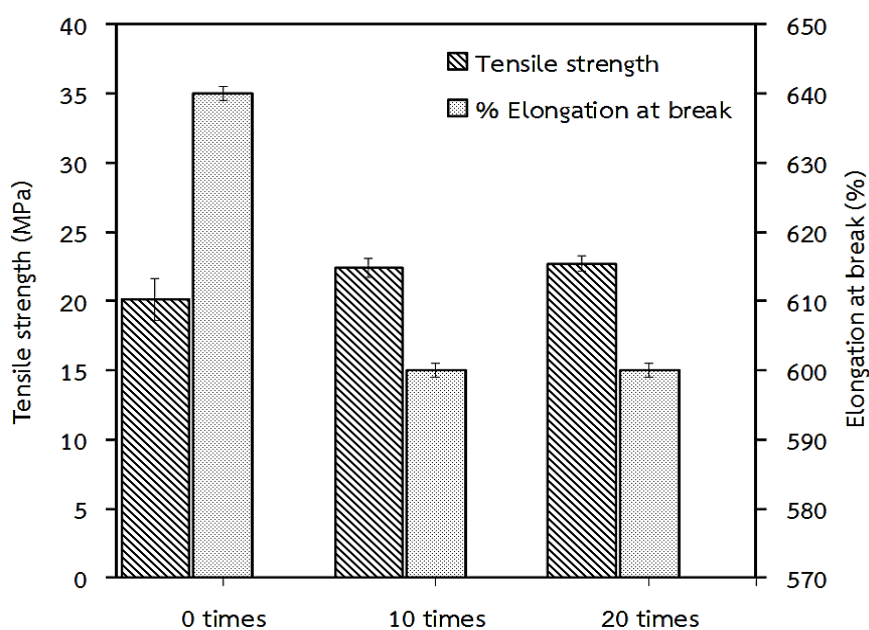
Radiation shielding (times)	Modulus at 100% elongation (MPa)	Hardness (Shore A)
0	1.04 ±0.01	48.60 ±0.84
10	1.17 ±0.02	50.50 ±1.00
20	1.20 ±0.01	51.50 ±0.58



รูปที่ 4.14 มอดูลัสที่ระยะยืด 100% และความแข็ง หลังผ่านการกำบังรังสีที่มีการฉายรังสีซ้ำ 10 และ 20 ครั้งของคอมโพสิตของยางธรรมชาติ

ตารางที่ 4.8 ความต้านทานต่อแรงดึง และระยะยืด ณ จุดขาด หลังผ่านการกำบังรังสีที่มีการฉายรังสีซ้ำ 10 และ 20 ครั้งของคอมโพสิตของยางธรรมชาติ

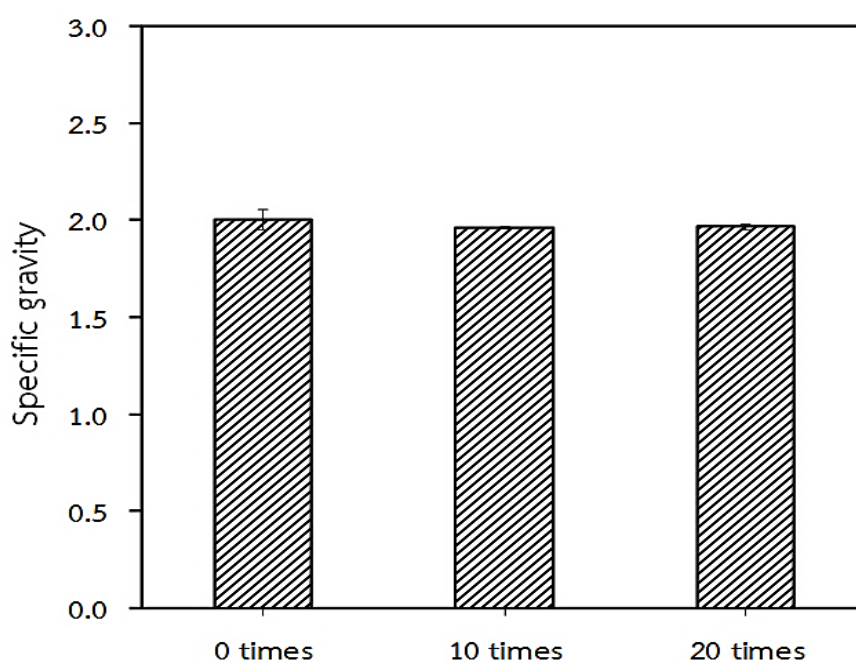
Radiation shielding (times)	Tensile strength (MPa)	Elongation at break (%)
0	20.13 ±1.53	640 ±22
10	22.42 ±0.66	600 ±0
20	22.69 ±0.55	600 ±30



รูปที่ 4.15 ความต้านทานต่อแรงดึง และระยะยืด ณ จุดขาด หลังผ่านการกำบังรังสีที่มีการฉายรังสีซ้ำ 10 และ 20 ครั้งของคอมโพสิตของยางธรรมชาติ

ตารางที่ 4.8 ความถ่วงจำเพาะหลังผ่านการกำบังรังสีที่มีการฉายรังสีซ้ำ 10 และ 20 ครั้งของคอมโพลีเมอร์ของยางธรรมชาติ

Radiation shielding (times)	Specific gravity
0	2.004 ±0.005
10	1.964 ±0.003
20	1.966 ±0.011



รูปที่ 4.16 ความถ่วงจำเพาะหลังผ่านการกำบังรังสีที่มีการฉายรังสีซ้ำ 10 และ 20 ครั้งของคอมโพลีเมอร์ของยางธรรมชาติ

ตารางที่ 4.9 ปริมาณการเชื่อมขวางหลังผ่านการกำบังรังสีของคอมโพลีเมอร์ของยางธรรมชาติที่มีบิสเมทออกไซด์ปริมาณ 150 phr

Radiation shielding (times)	Crosslink density ($\times 10^{-3} \text{g/cm}^3$)
0	2.63 ±0.00012
10	2.84 ±0.00011
20	2.90 ±0.00011

จากตารางที่ 4.7 และรูปที่ 4.14 แสดงค่ามอดูลัสที่ระยะยึด 100% และความแข็ง หลังผ่านการกำบังรังสีของคอมโพสิตของยางธรรมชาติที่มีการเติมบิสมัทออกไซด์ปริมาณ 150 ส่วนโดยร้อยละ เมื่อเทียบกับยางพบว่า ค่ามอดูลัส และความแข็งมีแนวโน้มเพิ่มขึ้น เมื่อคอมโพสิตของยางธรรมชาติได้รับรังสีที่พลังงาน 662 กิโลอิเล็กตรอนโวลต์เป็นจำนวน 10 และ 20 ครั้งซึ่งมีแนวโน้มเช่นเดียวกับค่าความต้านทานต่อแรงดึงสังเกตได้จากตารางที่ 4.8 และรูปที่ 4.15 ซึ่งเป็นผลมาจากการเพิ่มขึ้นของปริมาณการเชื่อมขวาง หมายความว่า คอมโพสิตของยางธรรมชาติสามารถเชื่อมขวางได้เพิ่มขึ้น เมื่อคอมโพสิตของยางธรรมชาติที่ได้รับรังสี และปริมาณการเชื่อมขวางที่เพิ่มขึ้นนี้ยังส่งผลต่อค่าระยะยืด ณ จุดขาดลดลง แสดงในตารางที่ 4.8 และรูปที่ 4.15 หมายความว่า คอมโพสิตของยางธรรมชาติมีความสามารถในการยืดหยุ่นลดลง เนื่องจากการเชื่อมขวางเปรียบเสมือนจุดที่ตรึงสายโซ่โมเลกุลของยางทำให้สายโซ่โมเลกุลของยางเกิดการเคลื่อนไหว หรือเกิดการยึดตัวได้น้อยลง ดังนั้นคอมโพสิตของยางธรรมชาติหลังจากได้รับรังสีจะมีสมบัติเชิงกลที่ดีขึ้น ในขณะที่เดียวกันคอมโพสิตของยางธรรมชาติจะมีความยืดหยุ่นที่ลดลง นอกจากนี้รังสีที่ทำให้เกิดการเชื่อมขวางระหว่างสายโซ่โมเลกุลของยางที่เพิ่มขึ้นนี้ไม่มีผลต่อค่าความถ่วงจำเพาะของคอมโพสิตของยางธรรมชาติสังเกตได้จากตารางที่ 4.9 และรูปที่ 4.16

ดังนั้นคอมโพสิตของยางธรรมชาติที่มีการเติมบิสมัทออกไซด์ปริมาณ 150 ส่วนโดยร้อยละ เมื่อเทียบกับยางเป็นปริมาณที่เหมาะสมที่สุดที่จะนำมาทำเป็นวัสดุกำบังรังสีตลอดตะกั่วที่มีความยืดหยุ่น โดยคอมโพสิตของยางธรรมชาติที่มีการเติมบิสมัทออกไซด์ปริมาณ 150 ส่วนโดยร้อยละเมื่อเทียบกับยางมีค่ามอดูลัสที่ระยะยึด 100% เท่ากับ 1.04 เมกะพาสคัล ความแข็งชอร์เอเท่ากับ 48.6 ความต้านทานต่อแรงดึงเท่ากับ 20.13 เมกะพาสคัล และระยะยืด ณ จุดขาดเท่ากับร้อยละ 640 สำหรับสมบัติการลดทอนรังสีแกมมาคอมโพสิตของยางธรรมชาติที่มีการเติมบิสมัทออกไซด์ปริมาณ 150 ส่วนโดยร้อยละเมื่อเทียบกับยาง ทดสอบด้วยรังสีแกมมาที่พลังงาน 662 กิโลอิเล็กตรอนโวลต์ มีค่าสัมประสิทธิ์การลดทอนรังสีเชิงมวลที่พลังงานเท่ากับ 0.0989 ตารางเซนติเมตรต่อกรัม ความหนาครึ่งค่า 3.5816 เซนติเมตร และคอมโพสิตของยางธรรมชาติที่มีการเติมบิสมัทออกไซด์ปริมาณ 150 ส่วนโดยร้อยละเมื่อเทียบกับยางที่มีความหนา 13 เซนติเมตรสามารถลดทอนรังสีแกมมาได้เทียบเท่ากับตะกั่วหนา 2.0093 มิลลิเมตร และสมบัติการลดทอนรังสีเอ็กซ์คอมโพสิตของยางธรรมชาติที่มีการเติมบิสมัทออกไซด์ปริมาณ 150 ส่วนโดยร้อยละเมื่อเทียบกับยาง ทดสอบด้วยรังสีเอ็กซ์ที่พลังงาน 120 กิโลโวลต์สูงสุดมีค่าสัมประสิทธิ์การลดทอนรังสีเชิงเส้นเท่ากับ 4.2311 ต่อเซนติเมตร ความหนาครึ่งค่าเท่ากับ 0.1637 เซนติเมตร และคอมโพสิตของยางธรรมชาติที่มีการเติมบิสมัทออกไซด์ปริมาณ 150 ส่วนโดยร้อยละเมื่อเทียบกับยางที่มีความหนา 13 เซนติเมตรสามารถลดทอนรังสีเอ็กซ์ได้เทียบเท่ากับตะกั่วหนา 1.3401 มิลลิเมตร และเมื่อนำมาเปรียบเทียบกับวัสดุกำบังรังสีชนิดอื่นพบว่า คอมโพสิตของยางธรรมชาติที่มีการเติมบิสมัทออกไซด์ปริมาณ 150 ส่วนโดย

ร้อยละเมื่อเทียบกับยางสามารถกำบังรังสีได้ดีกว่าวัสดุทุกชนิดที่นำมาเปรียบเทียบ และคอมโพสิตของยางธรรมชาติที่เตรียมได้เมื่อผ่านการฉายรังสีจะมีความต้านทานต่อแรงดึงเพิ่มขึ้น โดยคอมโพสิตของยางธรรมชาติที่มีการเติมบิสมีทออกไซด์ปริมาณ 150 ส่วนโดยร้อยละเมื่อเทียบกับยาง เมื่อผ่านการฉายรังสีแกมมาที่พลังงาน 662 กิโลอิเล็กตรอนโวลต์ซ้ำกัน 10 ครั้งมีความต้านทานต่อแรงดึงเท่ากับ 22.42 เมกะพาสคัล และ 20 ครั้งมีค่าความต้านทานต่อแรงดึงเท่ากับ 22.69 เมกะพาสคัล

นอกจากปริมาณของสารตัวเติมสำหรับการกำบังรังสีจะมีผลต่อสมบัติของคอมโพสิตของยางธรรมชาติแล้ว งานวิจัยนี้ยังสนใจที่จะศึกษาชนิดของสารตัวเติมสำหรับการกำบังรังสีที่มีชนิดต่างกัน ซึ่งปัจจัยดังกล่าวอาจส่งผลกระทบต่อสมบัติเชิงกล และสมบัติการลดทอน หรือกำบังรังสีของคอมโพสิตของยางธรรมชาติที่เตรียมได้

4.2 ผลของการเตรียมสูตรยางธรรมชาติผสมสารตัวเติมสำหรับการกำบังรังสีที่ปริมาณ 150 ส่วน โดยร้อยละเมื่อเทียบกับยาง โดยมีการแปรชนิดของสารตัวเติมสำหรับการกำบังรังสี

ชนิดของสารตัวเติมสำหรับการกำบังรังสีที่นำมาศึกษาได้แก่ แบเรียมคาร์บอเนต (BaCO_3 ; BC) แบเรียมซัลเฟต (BaSO_4 ; BS) และบิสมัทออกไซด์ (Bi_2O_3 ; BO) โดยสารตัวเติมสำหรับการกำบังรังสีแต่ละชนิดจะมีคุณสมบัติที่แตกต่างกันซึ่งจะส่งผลโดยตรงต่อสมบัติของคอมโพสิตของยางธรรมชาติที่เตรียมได้

4.2.1 ผลของการแปรชนิดของสารตัวเติมสำหรับการกำบังรังสีต่อระยะเวลาในการคงรูปของคอมโพสิตของยางธรรมชาติ

ระยะเวลาในการคงรูปของคอมโพสิตของยางธรรมชาติที่มีการแปรชนิดของโลหะออกไซด์ที่แตกต่างกันแสดงในตารางที่ 4.10

ตารางที่ 4.10 ระยะเวลาในการคงรูปยางของคอมโพสิตของยางธรรมชาติที่มีชนิดของสารตัวเติมสำหรับการกำบังรังสีที่แตกต่างกัน

Types of radiation shielding fillers	Cure time; t_{c90} (min)
BC	7.10
BO	6.22
BS	7.37

จากตารางที่ 4.10 แสดงระยะเวลาในการคงรูปยางหรือ t_{c90} ของคอมโพสิตของยางธรรมชาติที่มีชนิดของโลหะออกไซด์ที่แตกต่างกันพบว่า คอมโพสิตของยางธรรมชาติที่มีการเติมบิสมัทออกไซด์ใช้เวลาในการคงรูปยางน้อยที่สุด เมื่อเทียบกับคอมโพสิตของยางธรรมชาติที่มีการเติมแบเรียมคาร์บอเนต และคอมโพสิตของยางธรรมชาติที่มีการเติมแบเรียมซัลเฟตอย่างที่กล่าวไปในหัวข้อที่ 4.1.1 แล้วว่า บิสมัทออกไซด์จัดเป็นโลหะออกไซด์นอกจากจะเป็นสารที่ใช้ในการกำบังรังสีแล้วยังทำหน้าที่เป็นสารกระตุ้นสารตัวเร่งส่งผลให้สารตัวเร่งสามารถเร่งการเกิดปฏิกิริยาวัลคาไนซ์ระหว่างกำมะถัน และสายโซ่โมเลกุลของยางได้เร็วขึ้นซึ่งผลการทดลองนี้มีความสอดคล้องกับผลการทดลองปริมาณการเชื่อมขวางของคอมโพสิตของยางธรรมชาติที่แสดงในตารางที่ 4.11

4.2.2 ผลของการแปรชนิดของสารตัวเติมสำหรับการกำบังรังสีต่อปริมาณการเชื่อมขวางของคอมโพสิตของยางธรรมชาติ

ปริมาณการเชื่อมขวางที่เกิดขึ้นในยางธรรมชาติ นอกจากจะขึ้นอยู่กับปริมาณกำมะถันชนิดของสารตัวเร่ง ยังขึ้นอยู่กับชนิดของสารกระตุ้นที่ใส่เข้าไปในยางด้วย เนื่องจากสารกระตุ้นจะทำให้หน้าที่ยืดตัวของสารตัวเร่งให้ทำหน้าที่ได้เร็วขึ้น ผลการทดลองปริมาณการเชื่อมขวางของคอมโพสิตของยางธรรมชาติที่มีชนิดของสารตัวเติมสำหรับการกำบังรังสีที่แตกต่างกันแสดงในตารางที่ 4.11

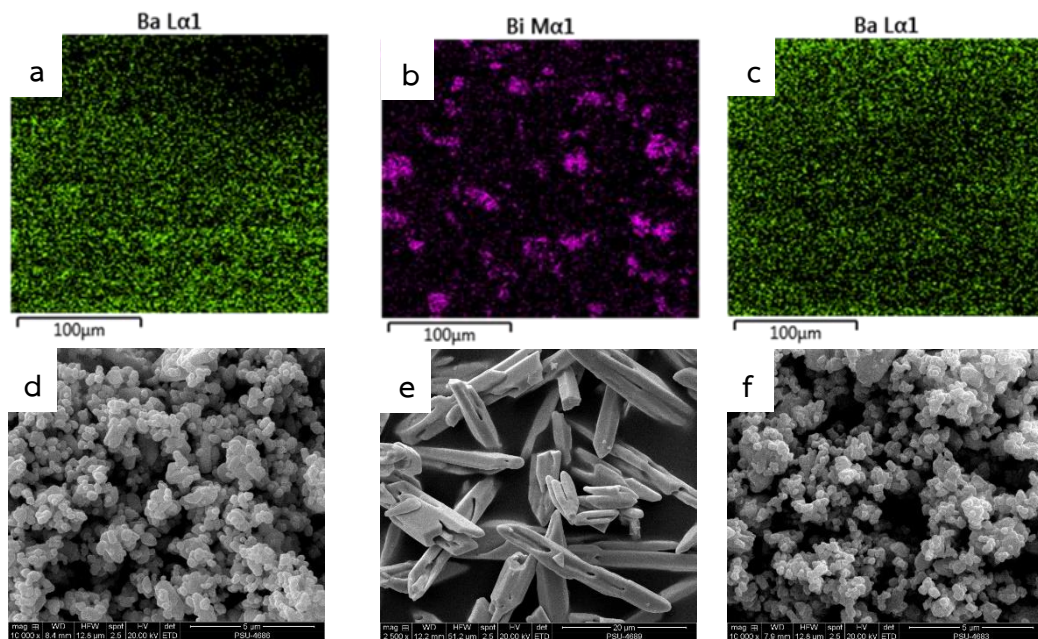
ตารางที่ 4.11 ปริมาณการเชื่อมขวางของคอมโพสิตของยางธรรมชาติที่มีชนิดของสารตัวเติมสำหรับการกำบังรังสีที่แตกต่างกัน

Types of radiation shielding fillers	Crosslink density ($\times 10^{-3}$ g/cm ³)
BC	1.58 \pm 0.00022
BO	2.63 \pm 0.00011
BS	1.46 \pm 0.00012

ตารางที่ 4.11 แสดงปริมาณการเชื่อมขวางของคอมโพสิตของยางธรรมชาติที่มีชนิดของสารตัวเติมสำหรับการกำบังรังสีที่แตกต่างกันจะเห็นได้ว่า คอมโพสิตของยางธรรมชาติที่มีการเติมบิสฟีนอลเอให้ปริมาณการเชื่อมขวางสูงกว่าคอมโพสิตของยางธรรมชาติที่มีการเติมแบเรียมคาร์บอเนต และคอมโพสิตของยางธรรมชาติที่มีการเติมแบเรียมซัลเฟต เนื่องจากบิสฟีนอลเอทำหน้าที่เป็นสารกระตุ้น ทำให้ตัวเร่งเร่งสารกำมะถันให้เกิดปฏิกิริยาการวัลคาไนซ์เร็วขึ้น การเชื่อมขวางระหว่างสายโซ่โพลีเมอร์ของยางจึงเกิดได้มากขึ้นเช่นกัน ซึ่งจะส่งผลดีต่อสมบัติเชิงกลของคอมโพสิตของยางธรรมชาติที่เตรียมได้

4.2.3 ผลของการแปรชนิดของสารตัวเติมสำหรับการกำบังรังสีต่อการกระจายตัว และปริมาณการกระจายตัวของธาตุในคอมโพสิตของยางธรรมชาติ

ทดสอบการกระจายตัว และลักษณะทางสัณฐานวิทยาของโลหะออกไซด์ที่เติมลงในยางธรรมชาติซึ่งผลการทดสอบการกระจายตัวที่ได้จากเทคนิคเอ็กซ์เรย์ ฟลูออเรสเซนซ์แบบกระจายพลังงาน และสัณฐานวิทยา ทดสอบด้วยกล้องจุลทรรศน์อิเล็กตรอนแบบส่องกราดที่กำลังขยายที่ 1000x ผลการทดลองแสดงดังรูปที่ 4.17 และปริมาณการกระจายตัวของธาตุในคอมโพสิตของยางธรรมชาติที่ได้จากการคำนวณตามสมการที่ (3.2) และ (3.3) แสดงในตารางที่ 4.12



รูปที่ 4.17 การกระจายตัว และสัณฐานวิทยาของสารตัวเติมสำหรับการกำบังรังสีในคอมโพสิตของ

ยางธรรมชาติที่มีการแปรชนิดของสารตัวเติมสำหรับการกำบังรังสีที่แตกต่างกัน

- a) คือ การกระจายตัวของแบเรียมในคอมโพสิตของยางธรรมชาติ
- b) คือ การกระจายตัวของบิสมัทในคอมโพสิตของยางธรรมชาติ
- c) คือ การกระจายตัวของแบเรียมในคอมโพสิตของยางธรรมชาติ
- d) คือ สัณฐานวิทยาของแบเรียมคาร์บอเนต
- e) คือ สัณฐานวิทยาของบิสมัทออกไซด์
- f) คือ สัณฐานวิทยาของแบเรียมซัลเฟต

ตารางที่ 4.12 ร้อยละปริมาณการกระจายตัวของธาตุในคอมโพสิตของยางธรรมชาติที่มีการแปรชนิดของสารตัวเติมสำหรับการกำบังรังสี

Elements	Types of radiation shielding fillers		
	BC	BO	BS
C	37.998	34.480	34.480
H	4.634	4.634	4.634
O	14.482	6.376	16.272
Zn	1.548	1.548	1.548
Bi	-	51.849	-
Ba	40.226	-	34.012
N	0.045	0.045	0.045
S	1.067	1.067	9.009

รูปที่ 4.17 แสดงการกระจายตัว และสัณฐานวิทยาของโลหะออกไซด์ในคอมโพสิตของยางธรรมชาติที่มีการแปรชนิดของโลหะออกไซด์ที่แตกต่างกันจากรูปจะเห็นว่า คอมโพสิตของยางธรรมชาติที่มีการเติมบิสมัทออกไซด์เกิดการเกาะกลุ่มกันของบิสมัทออกไซด์ หรือเกิดการกระจายตัวที่ไม่ดี เนื่องจากบิสมัทออกไซด์มีลักษณะเป็นแท่งยาว มีขนาดอนุภาคที่ใหญ่กว่าแบเรียมคาร์บอเนต และแบเรียมซัลเฟต ส่งผลให้บิสมัทออกไซด์เกิดการกระจายตัวในยางธรรมชาติได้ไม่ดี เมื่อเปรียบเทียบกับคอมโพสิตของยางธรรมชาติที่มีการเติมแบเรียมคาร์บอเนต และคอมโพสิตของยางธรรมชาติที่มีการเติมแบเรียมซัลเฟต ซึ่งผลการทดลองนี้สอดคล้องกันกับงานวิจัยของ Y.H. Lee., et al., (2018)[58]

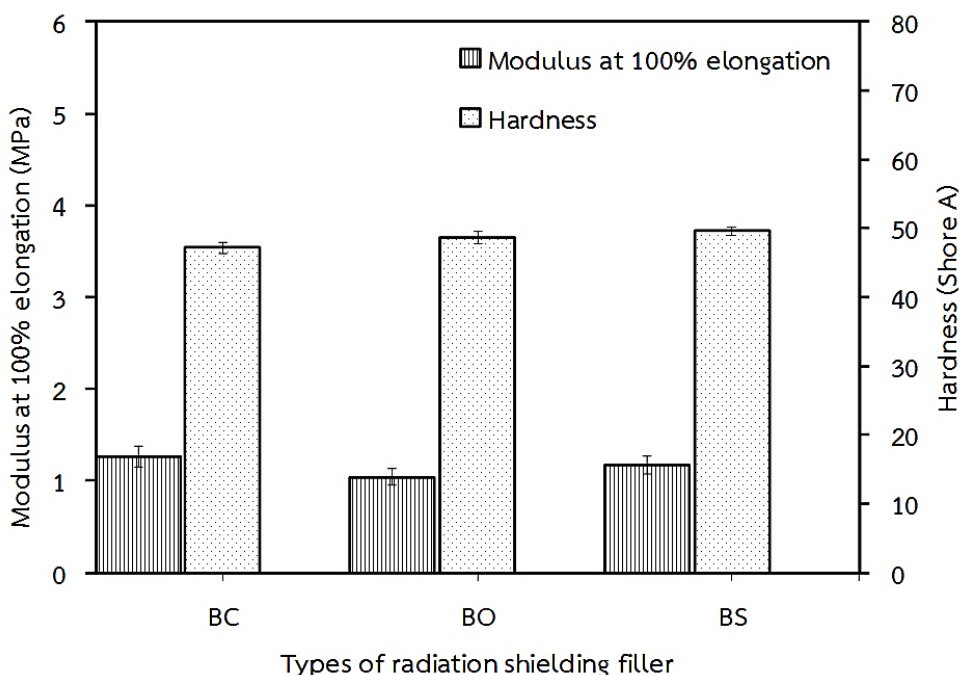
ตารางที่ 4.12 แสดงร้อยละปริมาณการกระจายตัวของธาตุในคอมโพสิตของยางธรรมชาติที่มีการแปรชนิดของโลหะออกไซด์ ทำการเปรียบเทียบธาตุที่เป็นส่วนสำคัญในการลดทอนรังสีได้แก่ ธาตุแบเรียม และบิสมัท จากตารางจะเห็นว่า คอมโพสิตของยางธรรมชาติที่มีการเติมบิสมัทออกไซด์มีปริมาณของธาตุบิสมัทอยู่มากกว่าธาตุแบเรียมที่เป็นส่วนประกอบของคอมโพสิตของยางธรรมชาติที่มีการเติมแบเรียมคาร์บอเนต และคอมโพสิตของยางธรรมชาติที่มีการเติมแบเรียมซัลเฟตซึ่งปริมาณของธาตุที่กระจายตัวอยู่ในคอมโพสิตของยางธรรมชาติอาจส่งผลต่อสมบัติในการลดทอนรังสีของคอมโพสิตของยางธรรมชาติ

4.2.4 ผลของการแปรชนิดของสารตัวเติมสำหรับการกำบังรังสีต่อสมบัติเชิงกลของคอมโพสิตของยางธรรมชาติ

สมบัติเชิงกลเป็นตัวบ่งชี้ความแข็งแรงของคอมโพสิตของยางธรรมชาติ เมื่อทำการเติมชนิดของสาร หรือปริมาณของสารที่เปลี่ยนแปลงไปจะส่งผลให้สมบัติเชิงกลเปลี่ยนไปเช่นกัน ผลการทดลองความสัมพันธ์ระหว่างชนิดที่แตกต่างกันของสารตัวเติมสำหรับการกำบังรังสีในคอมโพสิตของยางธรรมชาติต่อสมบัติเชิงกลแสดงในตารางที่ 4.13-4.15 และรูปที่ 4.18-4.20

ตารางที่ 4.13 มอดูลัสที่ระยะยืด 100 % และความแข็งของคอมโพสิตของยางธรรมชาติที่มีการแปรชนิดของสารตัวเติมสำหรับการกำบังรังสีที่แตกต่างกัน

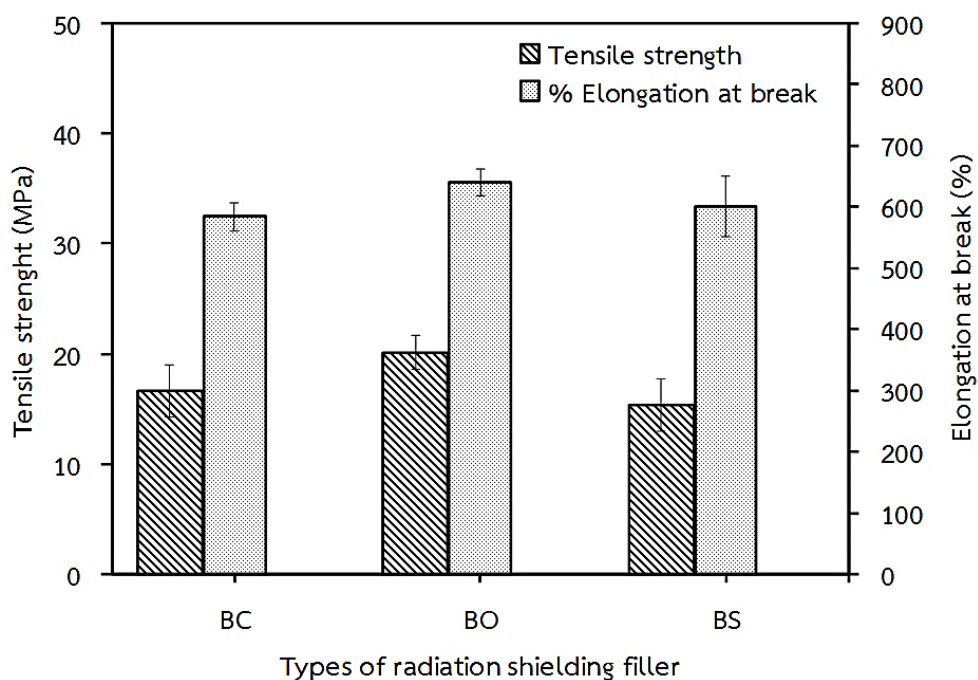
Types of radiation shielding fillers	Modulus at 100% elongation (MPa)	Hardness (Shore A)
BC	1.26 ±0.11	47.20 ±0.84
BO	1.04 ±0.09	48.60 ±0.89
BS	1.17 ±0.10	49.60 ±0.55



รูปที่ 4.18 มอดูลัสที่ระยะยืด 100% และความแข็งของคอมโพสิตของยางธรรมชาติที่มีการแปรชนิดของสารตัวเติมสำหรับการกำบังรังสีที่แตกต่างกัน

ตารางที่ 4.14 ความต้านทานต่อแรงดึง และระยะยืด ณ จุดขาด ของคอมโพสิตของยางธรรมชาติที่มีการแปรชนิดของสารตัวเติมสำหรับการกำบังรังสีที่แตกต่างกัน

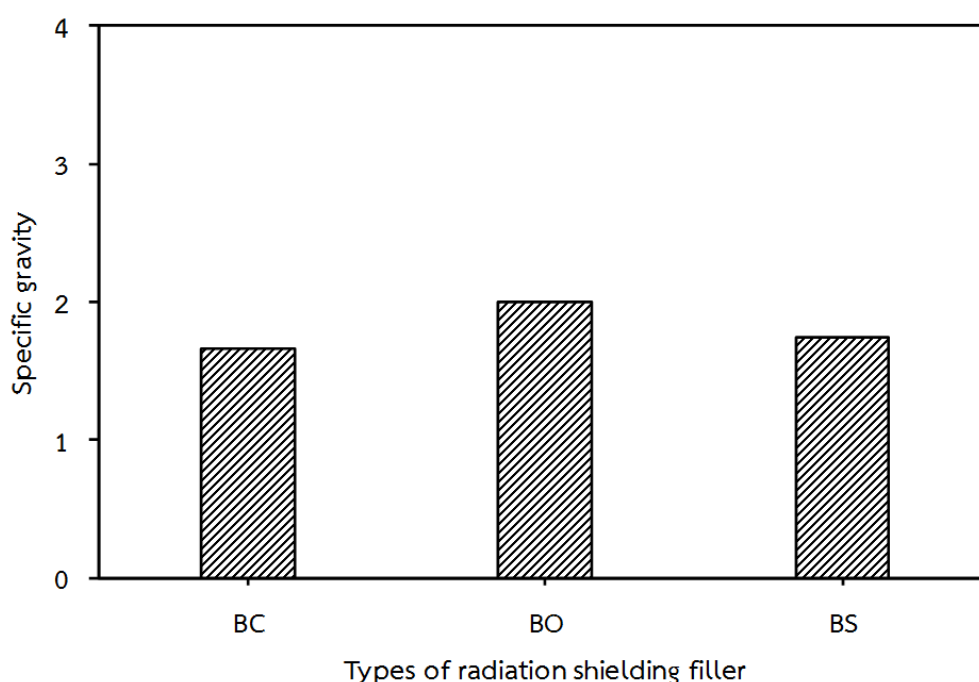
Types of radiation shielding fillers	Tensile strength (MPa)	Elongation at break (%)
BC	16.60 ±2.34	584 ±23
BO	20.13 ±1.54	640 ±22
BS	15.33 ±2.37	600 ±50



รูปที่ 4.19 ความต้านทานต่อแรงดึง และระยะยืด ณ จุดขาดของคอมโพสิตของยางธรรมชาติที่มีการแปรชนิดของสารตัวเติมสำหรับการกำบังรังสีที่แตกต่างกัน

ตารางที่ 4.15 ความถ่วงจำเพาะของคอมโพสิตของยางธรรมชาติที่มีการแปรชนิดของสารตัวเติมสำหรับการกำบังรังสีที่แตกต่างกัน

Types of radiation shielding fillers	Specific gravity
BC	1.665 ±0.005
BO	2.004 ±0.005
BS	1.745±0.005



รูปที่ 4.20 ความถ่วงจำเพาะของคอมโพสิตของยางธรรมชาติที่มีการแปรชนิดของสารตัวเติมสำหรับการกำบังรังสีที่แตกต่างกัน

ตารางที่ 4.13 และรูปที่ 4.18 แสดงมอดูลัสที่ระยะยัด 100% และความแข็งของคอมโพสิตของยางธรรมชาติที่มีการแปรชนิดของสารตัวเติมสำหรับการกำบังรังสีที่แตกต่างกันจะเห็นได้ว่า คอมโพสิตของยางธรรมชาติที่มีการเติมแบเรียมคาร์บอเนต คอมโพสิตของยางธรรมชาติที่มีการเติมบิสมัทออกไซด์ และคอมโพสิตของยางธรรมชาติที่มีการเติมแบเรียมซัลเฟตให้ค่ามอดูลัสที่ระยะยัด 100% และความแข็งที่ไม่ต่างกันอย่างมีนัยสำคัญ เนื่องจากแบเรียมคาร์บอเนต บิสมัทออกไซด์ และแบเรียมซัลเฟตเป็นอนุภาคของแข็งที่เติมลงในยางธรรมชาติปริมาณที่เท่ากันคือ 150 ส่วนโดยร้อยละเมื่อเทียบกับยาง

อย่างไรก็ตามความต้านทานต่อแรงดึง และระยะยัด ณ จุดขาดของคอมโพสิตของยางธรรมชาติแสดงในตารางที่ 4.14 และรูปที่ 4.19 พบว่า คอมโพสิตของยางธรรมชาติที่มีการเติมบิสมัท

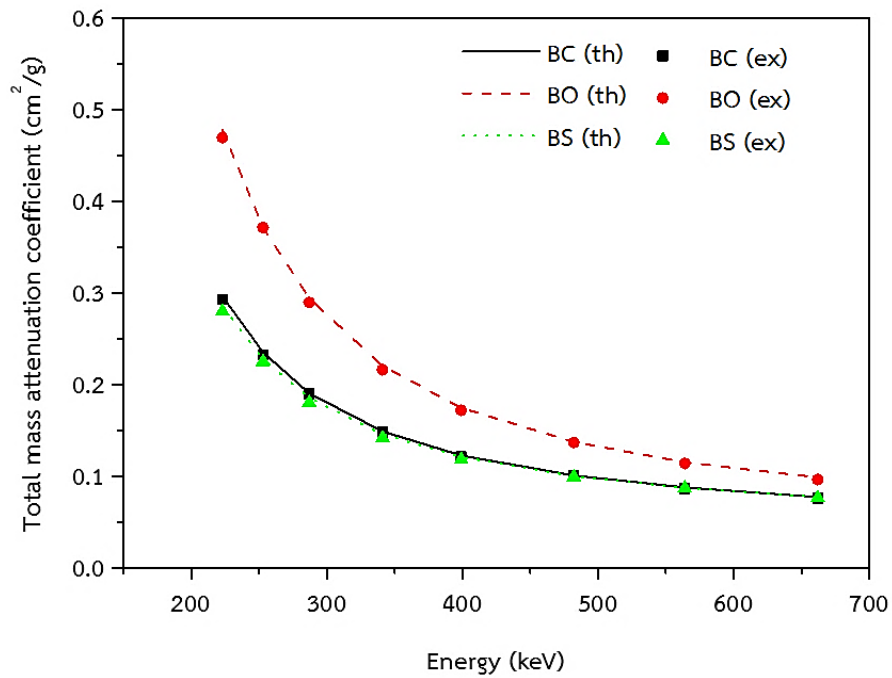
ออกไซด์ให้ค่าความต้านทานต่อแรงดึงสูงกว่าคอมโพสิตของยางธรรมชาติที่มีการเติมแบเรียมคาร์บอเนต และคอมโพสิตของยางธรรมชาติที่มีการเติมแบเรียมซิลเฟต เนื่องจากมีปริมาณการเชื่อมขวางของสายโซ่โมเลกุลยางมากกว่าสังเกตได้จากตารางที่ 4.11 โดยจุดเชื่อมขวางที่เกิดขึ้นจะทำให้หน้าที่เป็นจุดที่ตรึงสายโซ่โมเลกุลยางซึ่งเป็นการจำกัดการเคลื่อนที่ของสายโซ่โมเลกุลยางส่งผลให้สายโซ่โมเลกุลยางเกิดการเคลื่อนที่ หรือเกิดการเคลื่อนไหวได้ยากขึ้นจึงต้องใช้แรงดึงสูงขึ้นเพื่อให้สายโซ่โมเลกุลยางเกิดการขาดออกจากกัน

ผลการทดลองความถ่วงจำเพาะแสดงในตารางที่ 4.15 และรูปที่ 4.20 จากผลการทดลองจะเห็นได้ว่า คอมโพสิตของยางธรรมชาติที่มีการเติมบิสมัทออกไซด์ให้ค่าความถ่วงจำเพาะสูงกว่ายางธรรมชาติที่มีการเติมแบเรียมคาร์บอเนต และคอมโพสิตของยางธรรมชาติที่มีการเติมแบเรียมซิลเฟต เนื่องจากบิสมัทออกไซด์มีความถ่วงจำเพาะที่สูงกว่าทั้งแบเรียมคาร์บอเนต และแบเรียมซิลเฟต (ความถ่วงจำเพาะของบิสมัทออกไซด์เท่ากับ 8.9 ความถ่วงจำเพาะของแบเรียมคาร์บอเนตเท่ากับ 4.30[59] และความถ่วงจำเพาะของแบเรียมซิลเฟตเท่ากับ 4.35[60])

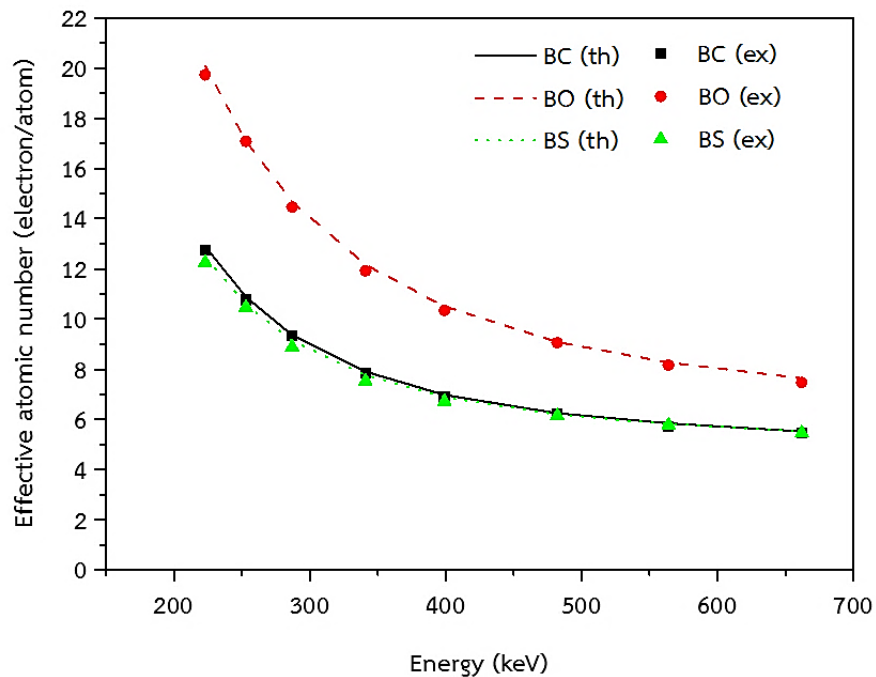
4.2.5 ผลของการแปรชนิดของสารตัวเติมสำหรับการกำบังรังสีต่อสมบัติการลดทอนรังสีของคอมโพสิตของยางธรรมชาติ

4.2.5.1 ผลของการแปรชนิดของสารตัวเติมสำหรับการกำบังรังสีต่อสมบัติการลดทอนรังสีแกมมา (Gamma ray attenuation) ของคอมโพสิตของยางธรรมชาติ

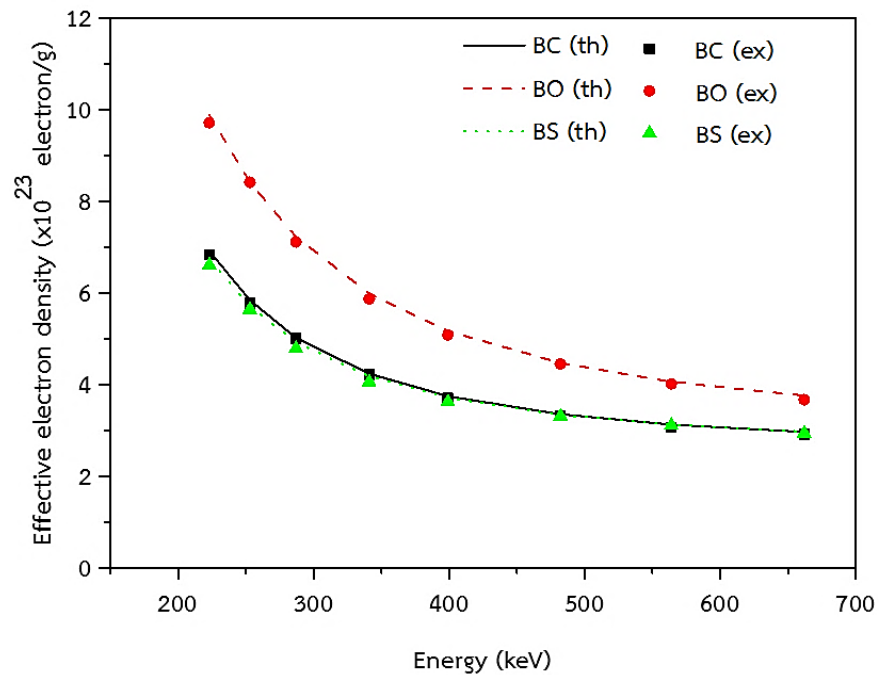
สารตัวเติมสำหรับการกำบังรังสีแต่ละชนิดมีเลขอะตอมที่แตกต่างกัน ซึ่งความแตกต่างของเลขอะตอมจะส่งผลต่อสมบัติการลดทอนรังสีโดยตรง ทำการทดสอบการลดทอนรังสีแกมมาที่พลังงานช่วง 223-662 กิโลอิเล็กตรอนโวลต์ ผลการทดลองสมบัติการลดทอนรังสีแกมมา แสดงในรูปที่ 4.21 – 4.25



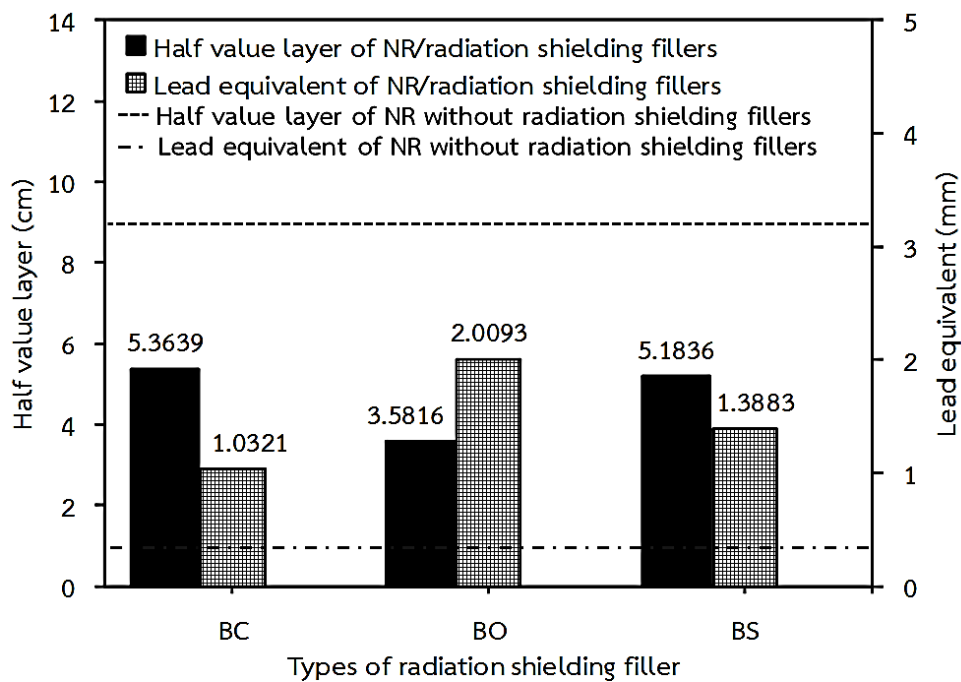
รูปที่ 4.21 สัมประสิทธิ์การลดทอนรังสีเชิงมวลของคอมโพสิตของยางธรรมชาติที่มีการแปรชนิดของสารตัวเติมสำหรับการกำบังรังสีที่แตกต่างกัน ทดสอบด้วยรังสีแกมมาที่พลังงาน 223-662 keV



รูปที่ 4.22 เลขอะตอมยังผลของคอมโพสิตของยางธรรมชาติที่มีการแปรชนิดของสารตัวเติมสำหรับการกำบังรังสีที่แตกต่างกัน ทดสอบด้วยรังสีแกมมาที่พลังงาน 223-662 keV

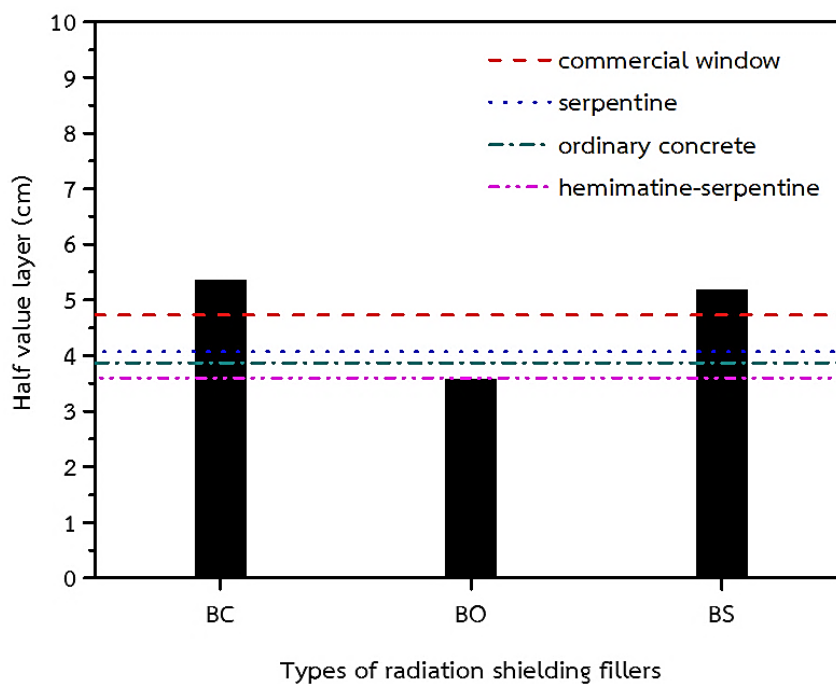


รูปที่ 4.23 ความหนาแน่นอิเล็กตรอนของคอมโพสิตของยางธรรมชาติที่มีการแปรชนิดของสารตัวเติม สำหรับการกำบังรังสีที่แตกต่างกัน ทดสอบด้วยรังสีแกมมาที่พลังงาน 223-662 keV



รูปที่ 4.24 ความหนาครึ่งค่า และความหนาเทียบเท่าตะกั่วของคอมโพสิตของยางธรรมชาติที่มีการแปรชนิดของสารตัวเติม สำหรับการกำบังรังสีที่แตกต่างกัน ทดสอบด้วยรังสีแกมมาที่พลังงาน

662 keV



รูปที่ 4.25 เปรียบเทียบความหนาครึ่งค่าของคอมโพสิตของยางธรรมชาติที่มีชนิดของสารตัวเติม สำหรับการกำบังรังสีที่แตกต่างกันกับกระจกเชิงพาณิชย์ เซอร์เพนไทน์ คอนกรีต และเฮมาไทต์-เซอร์เพนไทน์[43] ทดสอบด้วยรังสีแกมมาที่พลังงาน 662 keV

รูปที่ 4.21 แสดงสัมประสิทธิ์การลดทอนรังสีเชิงมวลของคอมโพสิตของยางธรรมชาติที่มีการแปรชนิดของสารตัวเติมสำหรับการกำบังรังสีที่แตกต่างกันทำการทดสอบด้วยรังสีแกมมาที่มีพลังงานระหว่าง 223-662 กิโลอิเล็กตรอนโวลต์พบว่า คอมโพสิตของยางธรรมชาติที่มีการเติมบิสมัทออกไซด์ให้ค่าสัมประสิทธิ์การลดทอนรังสีเชิงมวลมากที่สุด เมื่อเทียบกับยางธรรมชาติที่มีการเติมแบเรียมคาร์บอเนต และคอมโพสิตของยางธรรมชาติที่มีการเติมแบเรียมซัลเฟตซึ่งยางธรรมชาติที่มีการเติมแบเรียมคาร์บอเนต และคอมโพสิตของยางธรรมชาติที่มีการเติมแบเรียมซัลเฟตให้ค่าสัมประสิทธิ์การลดทอนรังสีเชิงมวลที่ใกล้เคียงกันแสดงให้เห็นว่า คอมโพสิตของยางธรรมชาติที่มีการเติมบิสมัทออกไซด์สามารถลดทอนรังสีแกมมาได้ดีกว่าคอมโพสิตของยางธรรมชาติที่มีการเติมแบเรียมคาร์บอเนต และแบเรียมซัลเฟต ทั้งนี้เป็นผลมาจากเลขอะตอม โดยบิสมัทออกไซด์มีส่วนประกอบของธาตุบิสมัท (Bi) ที่มีเลขอะตอมสูงกว่าแบเรียม (Ba) ซึ่งเป็นธาตุที่เป็นส่วนประกอบของแบเรียมคาร์บอเนต และแบเรียมซัลเฟต (เลขอะตอมของบิสมัทเท่ากับ 83 และเลขอะตอมของแบเรียมเท่ากับ 56) อย่างที่กล่าวไปข้างต้นว่า คลื่นแม่เหล็กไฟฟ้าที่มีพลังงานสูงสามารถถูกดูดกลืนได้ด้วยธาตุที่มีเลขอะตอมที่สูง เนื่องจากเลขอะตอมเป็นตัวเลขที่บ่งบอกถึงปริมาณของอิเล็กตรอนในอะตอมที่สามารถเกิดปฏิกิริยากับรังสี หรือโฟตอน และทำให้อะตอมเกิดการดูดกลืนรังสี โดยรังสีที่ผ่านออกมาจะมีความเข้มข้น หรือพลังงานที่ลดลงไปจากรังสีเดิม

ปริมาณของอิเล็กตรอนในอะตอมของคอมโพสิตของยางธรรมชาติ สามารถพิจารณาได้จาก รูปที่ 4.22 จะเห็นได้ว่า คอมโพสิตของยางธรรมชาติที่มีการเติมบิสมัทออกไซด์ให้ค่าเลขอะตอมยังผล มากกว่าคอมโพสิตของยางธรรมชาติที่มีการเติมแบเรียมคาร์บอเนต และคอมโพสิตของยางธรรมชาติที่มีการเติมแบเรียมซัลเฟตแสดงว่า คอมโพสิตของยางธรรมชาติที่มีการเติมบิสมัทออกไซด์มีปริมาณ อิเล็กตรอนในอะตอมมากกว่ามีโอกาสดเกิดปฏิกิริยากับรังสีได้มากกว่า และเกิดการดูดกลืนรังสีได้ มากกว่าเช่นกันซึ่งผลการทดลองนี้สอดคล้องกับผลการทดลองในรูปที่ 4.23 แสดงความหนาแน่น อิเล็กตรอนของคอมโพสิตของยางธรรมชาติจะสังเกตได้ว่า คอมโพสิตของยางธรรมชาติที่มีการเติม บิสมัทออกไซด์ให้ค่าความหนาแน่นอิเล็กตรอนที่มากกว่าคอมโพสิตของยางธรรมชาติที่มีการเติม แบเรียมคาร์บอเนต และคอมโพสิตของยางธรรมชาติที่มีการเติมแบเรียมซัลเฟต โดยผลทดลองทั้งสาม ผลการทดลองสามารถยืนยันได้ว่า คอมโพสิตของยางธรรมชาติที่มีการเติมบิสมัทออกไซด์สามารถ ลดทอนรังสีแกมมาได้ดีกว่าคอมโพสิตของยางธรรมชาติที่มีการเติมแบเรียมคาร์บอเนต และคอมโพสิต ของยางธรรมชาติที่มีการเติมแบเรียมซัลเฟต นอกจากนี้ค่าสัมประสิทธิ์การลดทอนรังสีเชิงมวล ค่า อะตอมยังผล และค่าความหนาแน่นอิเล็กตรอนที่ได้จากการทดลอง (ex) มีค่าใกล้เคียงกับค่าทาง ทฤษฎี (th) ซึ่งสามารถคำนวณได้จากโปรแกรม WinXCom สามารถยืนยันได้ว่าผลการทดลองที่ได้มี ความแม่นยำ และถูกต้องตรงตามทฤษฎี

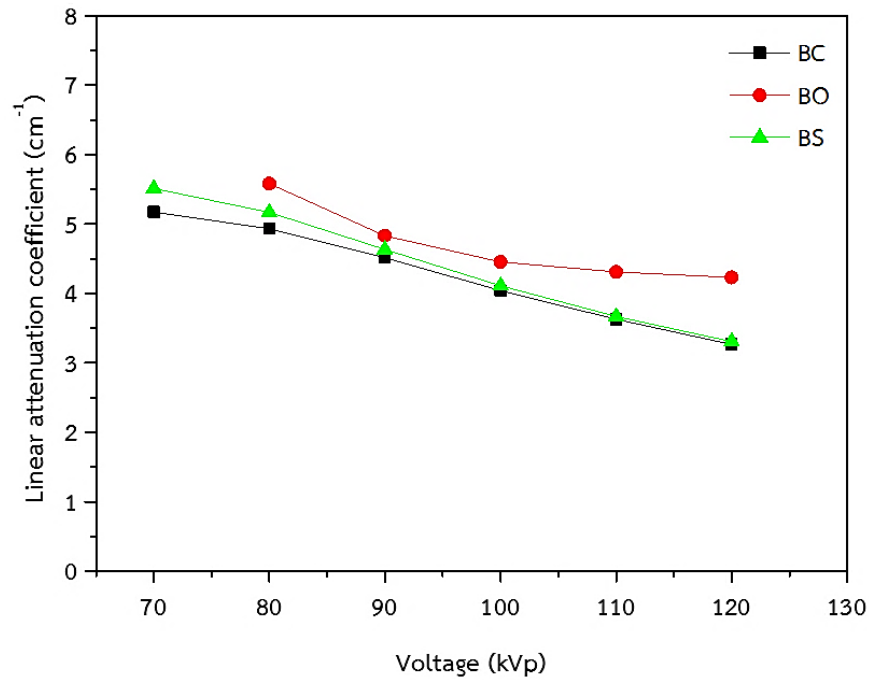
รูปที่ 4.24 แสดงความหนาแน่นครึ่งค่า และความหนาแน่นเทียบเท่าตะกั่วของคอมโพสิตของยาง ธรรมชาติที่มีการแปรชนิดของสารตัวเติมสำหรับกำบังรังสีที่แตกต่างกัน ทดสอบด้วยรังสีแกมมาที่ พลังงาน 662 กิโลอิเล็กตรอนโวลต์จากผลการทดลองพบว่า ยางธรรมชาติที่ไม่มีการเติมสารตัวเติม สำหรับการกำบังรังสี (NR without radiation shielding fillers) มีค่าความหนาแน่นครึ่งค่าที่สูงกว่าคอม โพสิตของยางธรรมชาติที่มีการเติมสารตัวเติมสำหรับการกำบังรังสี และมีค่าความหนาแน่นเทียบเท่าตะกั่ว น้อยกว่าคอมโพสิตของยางธรรมชาติที่มีการเติมสารตัวเติมสำหรับการกำบังรังสีแสดงให้เห็นว่า เมื่อ เติมสารตัวเติมสำหรับกำบังรังสีลงในยางธรรมชาติส่งผลให้ยางธรรมชาติสามารถลดทอนปริมาณ หรือ กำบังรังสีแกมมาได้ดีขึ้น และคอมโพสิตของยางธรรมชาติที่มีการเติมบิสมัทออกไซด์ให้ค่าความหนา แน่นครึ่งค่าของคอมโพสิตของยางธรรมชาติมากกว่าคอมโพสิตของยางธรรมชาติที่มีการเติมแบเรียม คาร์บอเนต และคอมโพสิตของยางธรรมชาติที่มีการเติมแบเรียมซัลเฟตหมายความว่า คอมโพสิตของ ยางธรรมชาติที่มีการเติมบิสมัทออกไซด์สามารถลดทอนปริมาณรังสีแกมมาได้ดีครั้งหนึ่งจากรังสีเดิม โดยคอมโพสิตของยางธรรมชาติที่มีการเติมบิสมัทออกไซด์มีความหนาน้อยกว่าคอมโพสิตของยาง ธรรมชาติที่มีการเติมแบเรียมคาร์บอเนต และคอมโพสิตของยางธรรมชาติที่มีการเติมแบเรียมซัลเฟต ส่วนค่าความหนาแน่นเทียบเท่าตะกั่วคอมโพสิตของยางธรรมชาติที่มีการเติมบิสมัทออกไซด์สามารถ ลดทอนรังสีแกมมาได้ดีเทียบเท่ากับตะกั่วที่มีความหนาประมาณ 2 มิลลิเมตร ในขณะที่คอมโพสิตของ ยางธรรมชาติที่มีการเติมแบเรียมคาร์บอเนต และคอมโพสิตของยางธรรมชาติที่มีการเติมแบเรียม

ซัลเฟตสามารถลดทอนรังสีแกมมาได้เทียบเท่ากับตะกั่วหนาประมาณ 1.5 มิลลิเมตร โดยการทดสอบหาค่าความหนาครึ่งค่ามีการกำหนดความหนาของคอมโพสิตของยางธรรมชาติเท่ากันคือ 13 มิลลิเมตรแสดงว่า คอมโพสิตของยางธรรมชาติที่มีการเติมบิสม์ทออกไซด์สามารถลดทอนรังสีแกมมาได้ดีกว่าคอมโพสิตของยางธรรมชาติที่มีการเติมแบเรียมคาร์บอเนต และคอมโพสิตของยางธรรมชาติที่มีการเติมแบเรียมซัลเฟต

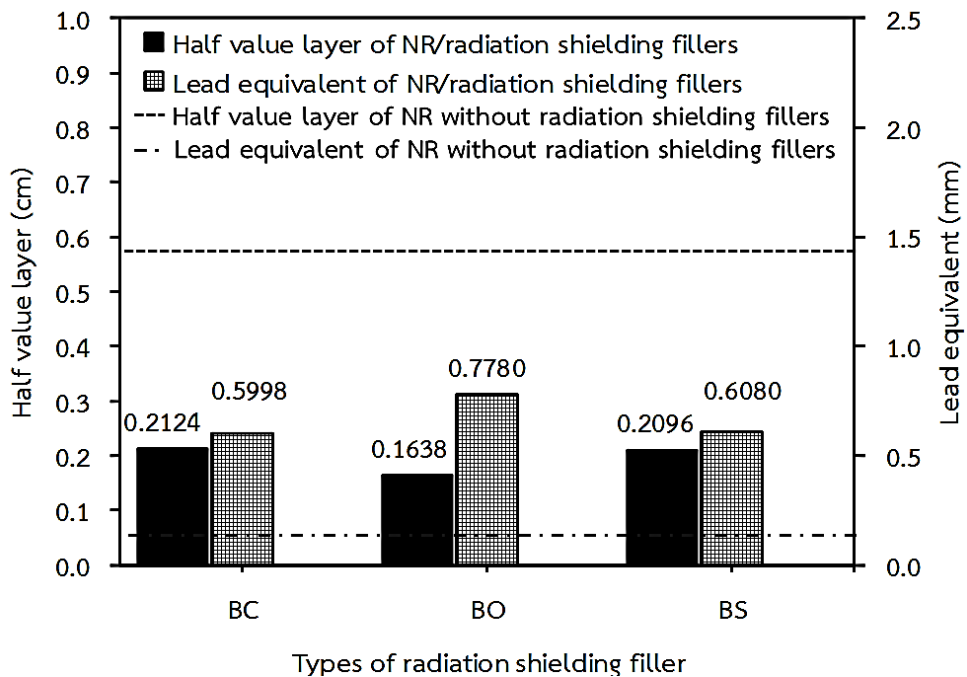
เมื่อนำคอมโพสิตของยางธรรมชาติที่มีการเติมแบเรียมคาร์บอเนต บิสม์ทออกไซด์ และแบเรียมซัลเฟตปริมาณ 150 ส่วนโดยร้อยละเมื่อเทียบกับยาง เปรียบเทียบกับวัสดุกำบังรังสีแกมมา ได้แก่ กระจกเชิงพาณิชย์ เซอร์เพนไทน์ คอนกรีต และเฮมาไทด์-เซอร์เพนไทน์ ดังรูปที่ 4.25 ซึ่งทำการทดลองที่พลังงาน 662 กิโลอิเล็กตรอนโวลต์ จากรูปจะเห็นได้ว่า คอมโพสิตของยางธรรมชาติที่มีการเติมบิสม์ทออกไซด์มีค่าความหนาครึ่งค่าน้อยกว่าวัสดุกำบังรังสีแกมมาทั้งหมดที่นำมาเปรียบเทียบนั้นแสดงว่า คอมโพสิตของยางธรรมชาติที่มีการเติมบิสม์ทออกไซด์สามารถกำบังรังสีแกมมาได้ดีกว่าวัสดุกำบังรังสีแกมมาทั้งหมดที่นำมาเปรียบเทียบ ในขณะที่เดียวกันคอมโพสิตของยางธรรมชาติที่มีการเติมแบเรียมคาร์บอเนต และคอมโพสิตของยางธรรมชาติที่มีการเติมแบเรียมซัลเฟตมีค่าความหนาครึ่งค่าที่สูงกว่าวัสดุกำบังรังสีแกมมาทั้งหมดที่นำมาเปรียบเทียบแสดงว่า คอมโพสิตของยางธรรมชาติที่มีการเติมแบเรียมคาร์บอเนต และแบเรียมซัลเฟตสามารถกำบังรังสีได้น้อยกว่าวัสดุกำบังรังสีแกมมาทั้งหมดที่นำมาเปรียบเทียบ ดังนั้นคอมโพสิตของยางธรรมชาติที่มีการเติมบิสม์ทออกไซด์เหมาะสมที่สุดที่จะนำมาผลิตเป็นวัสดุกำบังรังสีแกมมาที่มีความยืดหยุ่น และปลอดภัย

4.2.5.2 ผลของการแปรชนิดของสารตัวเติมสำหรับการกำบังรังสีต่อสมบัติการลดทอนรังสีเอ็กซ์ (X-ray attenuation) ของคอมโพสิตของยางธรรมชาติ

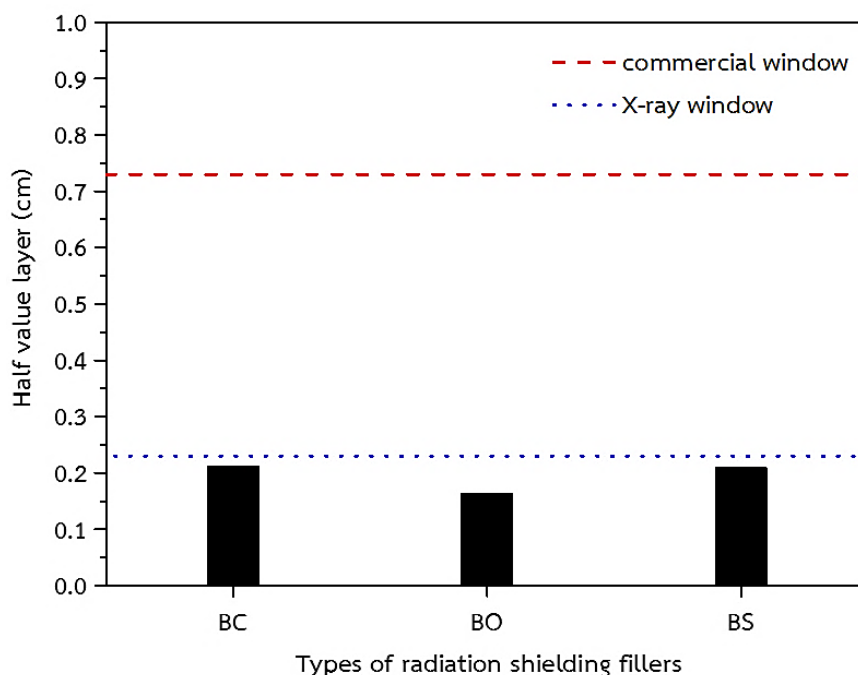
ผลการทดลองความสัมพันธ์ระหว่างการแปรชนิดของสารตัวเติมสำหรับการกำบังรังสีในคอมโพสิตของยางธรรมชาติต่อความสามารถในการลดทอนรังสีเอ็กซ์แสดงในรูปที่ 4.26-4.28



รูปที่ 4.26 สัมประสิทธิ์การลดทอนรังสีเชิงเส้นของคอมโพสิตของยางธรรมชาติที่มีการแปรชนิดของสารตัวเติมสำหรับการกำบังรังสีที่แตกต่างกัน ทดสอบรังสีด้วยเอ็กซ์ที่พลังงาน 50–120 kVp



รูปที่ 4.27 ความหนาครึ่งค่า และความหนาเทียบเท่าตะกั่วของคอมโพสิตของยางธรรมชาติที่มีการแปรชนิดของสารตัวเติมสำหรับการกำบังรังสีที่แตกต่างกัน ทดสอบด้วยรังสีเอ็กซ์ที่พลังงาน 120 kVp



รูปที่ 4.28 เปรียบเทียบความหนาครึ่งค่าของคอมโพสิตของยางธรรมชาติที่มีการแปรชนิดของสารตัวเติมสำหรับการกำบังรังสีที่แตกต่างกันกับกระจกเชิงพาณิชย์ และกระจกกำบังรังสีเอ็กซ์ ทดสอบด้วยรังสีเอ็กซ์ที่พลังงาน 120 kVp

รูปที่ 4.26 แสดงสัมประสิทธิ์การลดทอนรังสีเชิงเส้นของคอมโพสิตของยางธรรมชาติที่มีการแปรชนิดของสารตัวเติมสำหรับการกำบังรังสีที่แตกต่างกัน ทำการทดสอบรังสีเอ็กซ์ที่พลังงานในช่วง 50 – 120 กิโลโวลต์สูงสุดจะเห็นได้ว่า คอมโพสิตของยางธรรมชาติที่มีการเติมแบเรียมคาร์บอเนต บิสมัทออกไซด์ และแบเรียมคาร์บอเนต แนวโน้มของผลการทดลองเช่นเดียวกับการทดลองการลดทอนรังสีแกมมากล่าวคือ คอมโพสิตของยางธรรมชาติที่มีการเติมบิสมัทออกไซด์ให้ค่าสัมประสิทธิ์การลดทอนรังสีเชิงเส้นมากกว่าคอมโพสิตของยางธรรมชาติที่มีการเติมแบเรียมคาร์บอเนต และคอมโพสิตของยางธรรมชาติที่มีการเติมแบเรียมซัลเฟตแสดงว่า คอมโพสิตของยางธรรมชาติที่มีการเติมบิสมัทออกไซด์สามารถลดทอนรังสีเอ็กซ์ได้ดีที่สุด เมื่อเปรียบเทียบกับคอมโพสิตของยางธรรมชาติที่มีการเติมแบเรียมคาร์บอเนต และคอมโพสิตของยางธรรมชาติที่มีการเติมแบเรียมซัลเฟต เนื่องจากบิสมัทออกไซด์มีส่วนประกอบของบิสมัทซึ่งมีเลขอะตอมมากกว่าแบเรียมที่เป็นส่วนประกอบของแบเรียมคาร์บอเนต และแบเรียมซัลเฟตซึ่งรังสีเอ็กซ์จัดเป็นคลื่นแม่เหล็กไฟฟ้าที่มีพลังงานสูงสามารถถูกดูดกลืนได้ดีด้วยธาตุที่มีเลขอะตอมสูงยิ่งธาตุที่มีเลขอะตอมสูงก็จะสามารถดูดกลืนพลังงาน หรือความเข้มของรังสีได้สูงขึ้นส่งผลให้เกิดการลดทอนรังสีเอ็กซ์ได้ดีขึ้นเช่นกัน

รูปที่ 4.27 แสดงความหนาครึ่งค่า และความหนาเทียบเท่าตะกั่วของคอมโพสิตของยางธรรมชาติที่มีการแปรชนิดของสารตัวเติมสำหรับการกำบังรังสีที่แตกต่างกัน ทำการทดสอบด้วยรังสี

เอ็กซ์ที่พลังงานเท่ากับ 120 กิโลวัตต์สูงสุดจากผลการทดลองพบว่า ยางธรรมชาติที่ไม่มีการเติมสารตัวเติมสำหรับการกำบังรังสีมีค่าความหนาครั้งค่ามากกว่า และมีค่าความหนาเทียบเท่าตะกั่วน้อยกว่า คอมโพลีเมอร์ของยางธรรมชาติที่มีการเติมสารตัวเติมสำหรับการกำบังรังสีแสดงให้เห็นว่า สารตัวเติมสำหรับการกำบังรังสีสามารถเพิ่มสมบัติการลดทอน หรือกำบังรังสีเอ็กซ์ให้กับยางธรรมชาติได้ เมื่อสังเกตคอมโพลีเมอร์ของยางธรรมชาติที่มีชนิดของสารตัวเติมสำหรับการกำบังรังสีที่แตกต่างกันพบว่า คอมโพลีเมอร์ของยางธรรมชาติที่มีการเติมบิสมาทออกไซด์ให้ค่าความหนาครั้งค่าน้อยกว่าคอมโพลีเมอร์ของยางธรรมชาติที่มีการเติมแบเรียมคาร์บอเนต และคอมโพลีเมอร์ของยางธรรมชาติที่มีการเติมแบเรียมซัลเฟตแสดงว่า คอมโพลีเมอร์ของยางธรรมชาติที่มีการเติมบิสมาทออกไซด์มีความหนาน้อยที่สุดที่สามารถลดทอนปริมาณ หรือความเข้มรังสีเอ็กซ์ได้ครั้งหนึ่งจากรังสีเดิม หรือกล่าวอีกอย่างหนึ่งคือ คอมโพลีเมอร์ของยางธรรมชาติที่มีการเติมบิสมาทออกไซด์สามารถลดทอนรังสีเอ็กซ์ได้ดีกว่าคอมโพลีเมอร์ของยางธรรมชาติที่มีการเติมแบเรียมคาร์บอเนต และคอมโพลีเมอร์ของยางธรรมชาติที่มีการเติมแบเรียมซัลเฟต ในขณะที่คอมโพลีเมอร์ของยางธรรมชาติที่มีการเติมบิสมาทออกไซด์ให้ค่าความหนาเทียบเท่าตะกั่วที่มากกว่าคอมโพลีเมอร์ของยางธรรมชาติที่มีการเติมแบเรียมคาร์บอเนต และคอมโพลีเมอร์ของยางธรรมชาติที่มีการเติมแบเรียมซัลเฟตแสดงว่า คอมโพลีเมอร์ของยางธรรมชาติที่มีความหนา 13 มิลลิเมตรเท่ากับ คอมโพลีเมอร์ของยางธรรมชาติที่เติมบิสมาทออกไซด์สามารถลดทอนรังสีเอ็กซ์ได้เทียบเท่ากับตะกั่วหนา 0.8 มิลลิเมตร ในขณะที่คอมโพลีเมอร์ของยางธรรมชาติที่มีการเติมแบเรียมคาร์บอเนต และแบเรียมซัลเฟตสามารถลดทอนรังสีเอ็กซ์ได้เทียบเท่ากับตะกั่วหนา 0.6 มิลลิเมตร เป็นอีกหนึ่งผลการทดลองที่สามารถยืนยันได้ว่า คอมโพลีเมอร์ของยางธรรมชาติที่มีการเติมบิสมาทออกไซด์สามารถลดทอนรังสีเอ็กซ์ได้ดีที่สุด

รูปที่ 4.28 แสดงการเปรียบเทียบคอมโพลีเมอร์ของยางธรรมชาติที่มีการแปรชนิดของโลหะออกไซด์ที่ต่างกันกับวัสดุกำบังรังสีเอ็กซ์ได้แก่ กระจกเชิงพาณิชย์ และกระจกกำบังรังสีเอ็กซ์พบว่า คอมโพลีเมอร์ของยางธรรมชาติที่มีการเติมแบเรียมคาร์บอเนต บิสมาทออกไซด์ และแบเรียมซัลเฟตให้ค่าความหนาครั้งค่าต่ำกว่าวัสดุกำบังรังสีเอ็กซ์ทั้งหมดที่นำมาเปรียบเทียบแสดงให้เห็นว่า คอมโพลีเมอร์ของยางธรรมชาติที่มีการเติมแบเรียมคาร์บอเนต บิสมาทออกไซด์ และแบเรียมซัลเฟตสามารถกำบังรังสีเอ็กซ์ได้ดีกว่าวัสดุกำบังรังสีเอ็กซ์ทั้งหมดที่นำมาเปรียบเทียบ

ดังนั้นบิสมาทออกไซด์เป็นชนิดของสารตัวเติมสำหรับการกำบังรังสีที่เหมาะสมที่สุดที่จะนำมาทำเป็นวัสดุกำบังรังสีปลอดตะกั่วที่มีความยืดหยุ่น โดยคอมโพลีเมอร์ของยางธรรมชาติที่มีการเติมบิสมาทออกไซด์มีค่ามอดูลัสที่ร้อยละยืด 100 % เท่ากับ 1.04 เมกะพาสคัล ความแข็งชอร์เอเท่ากับ 48.6 ความต้านทานต่อแรงดึงเท่ากับ 20.13 เมกะพาสคัล และร้อยละ ย่น จุดขาดเท่ากับร้อยละ 640 ซึ่งมีสมบัติเชิงกลที่สูงมากพอที่จะนำมาผลิตเป็นวัสดุกำบังรังสี โดยคอมโพลีเมอร์ของยางธรรมชาติที่มีการเติมบิสมาทออกไซด์มีค่าสัมประสิทธิ์การลดทอนรังสีแกมมาเชิงมวลเท่ากับ 0.0989 ตาราง

เซนติเมตรต่อกรัม ความหนาครึ่งค่า 3.5816 เซนติเมตร คอมโพสิตของยางธรรมชาติที่มีการเติม บิสมัทออกไซด์ที่มีความหนา 13 เซนติเมตรสามารถลดทอนรังสีแกมมาได้เทียบเท่ากับตะกั่วหนา 2.0093 มิลลิเมตร และมีค่าสัมประสิทธิ์การลดทอนรังสีเอ็กซ์เชิงเส้นเท่ากับ 4.2311 ต่อเซนติเมตร ความหนาครึ่งค่าเท่ากับ 0.1637 เซนติเมตร คอมโพสิตของยางธรรมชาติที่มีการเติมบิสมัทออกไซด์ที่มีความหนา 13 เซนติเมตร สามารถลดทอนรังสีเอ็กซ์ได้เทียบเท่ากับตะกั่วหนา 1.3401 มิลลิเมตร เมื่อนำมาเปรียบเทียบกับวัสดุกำบังรังสีชนิดอื่นพบว่า คอมโพสิตของยางธรรมชาติที่มีการเติมบิสมัทออกไซด์สามารถกำบังรังสีแกมมาได้ดีกว่าวัสดุทุกชนิดที่นำมาเปรียบเทียบ และคอมโพสิตของยางธรรมชาติที่มีการเติมสารตัวเติมสำหรับการกำบังรังสีทั้งสามชนิดสามารถกำบังรังสีเอ็กซ์ได้ดีกว่า กระจกกำบังรังสี และกระจกกำบังรังสีเอ็กซ์

4.3 ผลของการเตรียมยางธรรมชาติกำบังรังสี โดยมีการแปรชนิดของยางธรรมชาติที่มีการเติมบิสมีทออกไซด์เป็นสารกำบังรังสี

ขั้นตอนนี้ศึกษาชนิดของยางธรรมชาติได้แก่ ยางธรรมชาติที่ไม่ผ่านการดัดแปรโมเลกุล (Natural rubber; NR; 0) ยางธรรมชาติอีพอกไซด์ที่มีอีพอกไซด์ร้อยละ 25 โดยโมล (Epoxides natural rubber 25; ENR 25; 25) และยางธรรมชาติอีพอกไซด์ที่มีอีพอกไซด์ร้อยละ 50 โดยโมล (Epoxides natural rubber 50; ENR 50; 50) โดยยางธรรมชาติอีพอกไซด์เป็นยางธรรมชาติที่ผ่านการสังเคราะห์ให้มีโครงสร้างคล้ายยางธรรมชาติที่ไม่ผ่านการดัดแปรโมเลกุลแต่มีบางส่วนตรงตำแหน่งพันธะคู่ที่ถูกเปลี่ยนเป็นวงแหวนอีพอกไซด์ทำให้ยางธรรมชาติชนิดนี้มีสมบัติเด่นกว่ายางธรรมชาติที่ไม่ผ่านการดัดแปรโมเลกุลในด้านของความทนทานต่อความร้อน และความทนทานต่อน้ำมัน เนื่องจากยางธรรมชาติอีพอกไซด์มีพันธะคู่ที่ว่องไวต่อการเกิดปฏิกิริยาลดลง อีกทั้งยังมีความเป็นขี้ผึ้งมากขึ้นจากหมู่อีพอกไซด์ภายในสายโซ่โมเลกุล สำหรับตัวเลขที่ตามหลังคำว่า ยางธรรมชาติอีพอกไซด์เป็นตัวเลขที่บ่งบอกถึงปริมาณวงแหวนอีพอกไซด์ที่เกิดขึ้นภายในสายโซ่โมเลกุลยาง ในขั้นตอนนี้จะทำการเติมบิสมีทออกไซด์ปริมาณ 80 ส่วนโดยร้อยละเมื่อเทียบกับยางลงในยางธรรมชาติที่ไม่ผ่านการดัดแปรโมเลกุล เปรียบเทียบกับยางธรรมชาติที่ผ่านการดัดแปรเป็นยางธรรมชาติอีพอกไซด์ที่ระดับอีพอกไซด์ร้อยละ 25 และ 50 โดยมวล

4.3.1 ผลของการแปรชนิดของยางที่แตกต่างกัน ต่อระยะเวลาในการคงรูปของคอมโพสิตของยางธรรมชาติ ที่มีการเติมบิสมีทออกไซด์เป็นสารกำบังรังสี

ระยะเวลาในการคงรูปของคอมโพสิตของยางธรรมชาติที่มีการแปรชนิดของยางธรรมชาติที่แตกต่างกัน และเติมบิสมีทออกไซด์เป็นสารกำบังรังสี แสดงในตารางที่ 4.16

ตารางที่ 4.16 ระยะเวลาในการคงรูปยางของคอมโพสิตของยางธรรมชาติ โดยมีการแปรชนิดของยางธรรมชาติที่มีการเติมบิสมีทออกไซด์เป็นสารกำบังรังสี

Epoxide contents (%)	Cure time; t_{c90} (min)
0	7.29
25	8.14
50	8.16

จากตารางที่ 4.16 แสดงระยะเวลาในการคงรูปยางของคอมโพสิตของยางธรรมชาติที่มีชนิดของยางธรรมชาติที่แตกต่างกันพบว่า คอมโพสิตของยางธรรมชาติที่ไม่ผ่านการดัดแปรโมเลกุลใช้ระยะเวลาในการคงรูปยางน้อยกว่าคอมโพสิตของยางธรรมชาติอีพอกไซด์ที่มีอีพอกไซด์ร้อยละ 25 โดยโมล และคอมโพสิตของยางธรรมชาติอีพอกไซด์ที่มีอีพอกไซด์ร้อยละ 50 โดยโมล เนื่องจากยางธรรมชาติที่

ไม่ผ่านการดัดแปรโมเลกุลมีพันธะคู่ภายในโครงสร้างมากกว่ายางธรรมชาติอีพอกไซด์ซึ่งพันธะคู่นี้ทำหน้าที่รองรับต่อการเกิดปฏิกิริยา สามารถเกิดปฏิกิริยาการวัลคาไนซ์กับกำมะถันได้ดีจึงส่งผลให้คอมโพสิตของยางธรรมชาติที่ไม่ผ่านการดัดแปรโมเลกุลใช้เวลาสั้นในการ คงรูปยาง

4.3.2 ผลของการแปรชนิดของยางธรรมชาติที่แตกต่างกันต่อปริมาณการเชื่อมขวางของคอมโพสิตของยางธรรมชาติที่มีการเติมบิสหม์ทออกไซด์เป็นสารกำบังรังสี

ผลการทดลองปริมาณการเชื่อมขวางของคอมโพสิตของยางธรรมชาติที่มีการแปรชนิดของยางธรรมชาติที่แตกต่างกันแสดงในตารางที่ 4.17

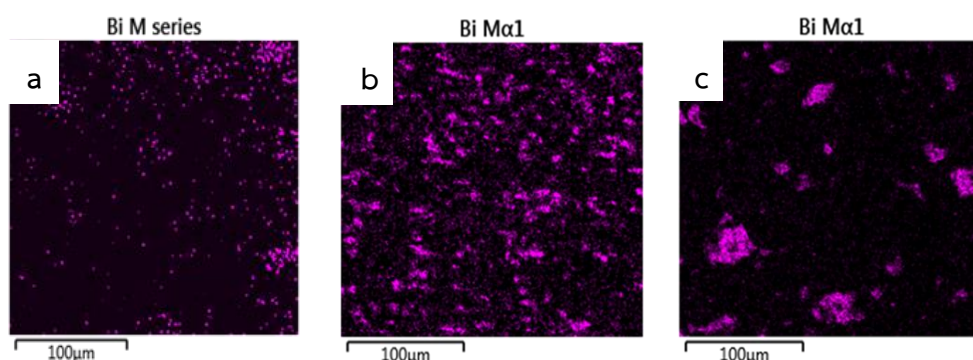
ตารางที่ 4.17 ปริมาณการเชื่อมขวางของคอมโพสิตของยางธรรมชาติ โดยมีการแปรชนิดของยางธรรมชาติที่มีการเติมบิสหม์ทออกไซด์เป็นสารกำบังรังสี

Epoxide contents (%)	Crosslink density ($\times 10^{-3}$ cm ² /g)
0	1.23 \pm 0.00010
25	1.21 \pm 0.00020
50	1.15 \pm 0.00015

จากตารางที่ 4.17 แสดงปริมาณการเชื่อมขวางของคอมโพสิตของยางธรรมชาติจะเห็นได้ว่าคอมโพสิตของยางธรรมชาติที่ไม่ผ่านการดัดแปรโมเลกุล คอมโพสิตของยางธรรมชาติอีพอกไซด์ที่มีอีพอกไซด์ร้อยละ 25 โดยโมล และคอมโพสิตของยางธรรมชาติอีพอกไซด์ที่มีอีพอกไซด์ร้อยละ 50 โดยโมลมีปริมาณการเชื่อมขวางที่ใกล้เคียงกัน เนื่องจากภายในระบบมีการเติมกำมะถัน สารตัวเร่ง และสารกระตุ้นในปริมาณที่เท่ากัน ดังนั้นชนิดของยางไม่มีผลต่อการเพิ่ม หรือลดปริมาณการเชื่อมขวางของคอมโพสิตของยางธรรมชาติอย่างมีนัยสำคัญ

4.3.3 ผลของการแปรชนิดของยางที่แตกต่างกันต่อการกระจายตัว และปริมาณการกระจายตัวของบิสหม์ทออกไซด์ในคอมโพสิตของยางธรรมชาติที่มีการเติมบิสหม์ทออกไซด์เป็นสารกำบังรังสี

การกระจายตัวของสารที่เติมลงในยางธรรมชาติจะกระจายตัวได้มากน้อยเพียงใดขึ้นอยู่กับชนิด และคุณสมบัติของสาร เช่น สารที่ไม่มีขั้วจะกระจายตัวได้ดีในยางที่ไม่มีขั้วกล่าวคือ สิ่งที่มีคุณสมบัติคล้ายกันจะสามารถเข้ากันได้ดี ผลการทดลองการกระจายตัวของบิสหม์ทออกไซด์ในยางธรรมชาติต่างชนิดกันแสดงในรูปที่ 4.29 และปริมาณการกระจายตัวของธาตุในคอมโพสิตของยางธรรมชาติที่มีการแปรชนิดของยางธรรมชาติจากการคำนวณตามสมการที่ (3.2) และ (3.3) แสดงในตารางที่ 4.18



รูปที่ 4.29 การกระจายตัวของบิสมัทในคอมโพสิตของยางธรรมชาติที่มีการแปรชนิดของยางธรรมชาติที่แตกต่างกัน a) คือ คอมโพสิตของยางธรรมชาติที่ไม่ผ่านการตัดแปรโมเลกุล b) คือ คอมโพสิตของยางธรรมชาติที่อ็อกไซด์ที่มีอ็อกไซด์ร้อยละ 25 และ c) คือ คอมโพสิตของยางธรรมชาติที่อ็อกไซด์ที่มีอ็อกไซด์ร้อยละ 50

ตารางที่ 4.18 ร้อยละปริมาณการกระจายตัวของธาตุในคอมโพสิตของยางธรรมชาติที่มีการแปรชนิดของยางธรรมชาติที่แตกต่างกัน

Elements	Epoxyde contents (%)		
	0	25	50
C	47.217	47.190	47.190
H	6.345	6.200	6.200
O	4.927	5.100	5.100
Zn	2.120	2.120	2.120
Bi	37.868	37.868	37.868
N	0.062	0.062	0.062
S	1.461	1.461	1.461

รูปที่ 4.29 แสดงการกระจายตัวของบิสมัทออกไซด์ในคอมโพสิตของยางธรรมชาติที่มีการแปรชนิดของยางธรรมชาติที่แตกต่างกันจะเห็นได้ว่า คอมโพสิตของยางธรรมชาติอ็อกไซด์ที่มีอ็อกไซด์ร้อยละ 25 โดยโมลมีการกระจายตัวของบิสมัทออกไซด์ได้ดีกว่าคอมโพสิตของยางธรรมชาติที่ไม่ผ่านการตัดแปรโมเลกุล และคอมโพสิตของยางธรรมชาติอ็อกไซด์ที่มีอ็อกไซด์ร้อยละ 50 โดยโมล อย่างที่กล่าวไปข้างต้นแล้วว่า ยางธรรมชาติอ็อกไซด์เป็นยางที่มีวงแหวนอ็อกไซด์ภายในโครงสร้างของสายโซ่โมเลกุลนั้นหมายความว่า ยางสังเคราะห์ชนิดนี้มีความเป็นขั้ว สามารถเข้ากันได้ดีกับบิสมัทออกไซด์ซึ่งจัดเป็นสารที่มีขั้วเช่นเดียวกัน ในทางกลับกันยางธรรมชาติอ็อกไซด์ที่มี

อิพอกไซด์ร้อยละ 50 โดยโมลก็จัดเป็นยางธรรมชาติที่ผ่านการตัดแปรมะเลกุลที่มีความเป็นขั้ว และความเป็นขั้วของยางธรรมชาติอิพอกไซด์ที่มีอิพอกไซด์ร้อยละ 50 โดยโมลยังสูงกว่ายางธรรมชาติอิพอกไซด์ที่มีอิพอกไซด์ร้อยละ 25 โดยโมลอีกด้วยแต่บิสมีทออกไซด์กลับกระจายตัวในยางธรรมชาติอิพอกไซด์ที่มีอิพอกไซด์ร้อยละ 50 โดยโมลได้ต่ำเมื่อเปรียบเทียบกับยางธรรมชาติที่ไม่ผ่านการตัดแปรมะเลกุล และยางธรรมชาติอิพอกไซด์ที่มีอิพอกไซด์ร้อยละ 25 โดยโมลเป็นผลมาจากเมื่อเกิดการตัดแปรมะเลกุลจะเกิดการตัดสายโซ่มะเลกุลของยางร่วมด้วย โดยการตัดสายโซ่มะเลกุลเกิดขึ้นจากการเปลี่ยนพันธะคู่ในยางธรรมชาติที่ไม่ผ่านการตัดแปรมะเลกุลเป็นวงแหวนอิพอกไซด์ทำให้สายโซ่มะเลกุลสั้นลงซึ่งส่งผลโดยตรงต่อความหนืดเริ่มต้นของยางหรือค่า P_0 ลดลง (ความหนืดเริ่มต้นของยางธรรมชาติที่ไม่ผ่านการตัดแปรมะเลกุลเท่ากับ 53.0 ยางธรรมชาติอิพอกไซด์ที่มีอิพอกไซด์ร้อยละ 25 เท่ากับ 21.3 และยางธรรมชาติอิพอกไซด์ที่มีอิพอกไซด์ร้อยละ 50 เท่ากับ 19.3) ส่งผลให้แรงเฉือนที่เกิดขึ้นภายในเครื่องผสมแบบปิดลดลงเช่นกัน การกระจายตัวของสารจึงเกิดได้ไม่ดีทำให้สารเกิดการเกาะกลุ่มกันเองมากกว่าที่จะกระจายตัวในเนื้ออย่างสม่ำเสมอ ซึ่งการกระจายตัวของสารจะส่งผลโดยตรงต่อสมบัติเชิงกลของคอมโพสิตของยางธรรมชาติ

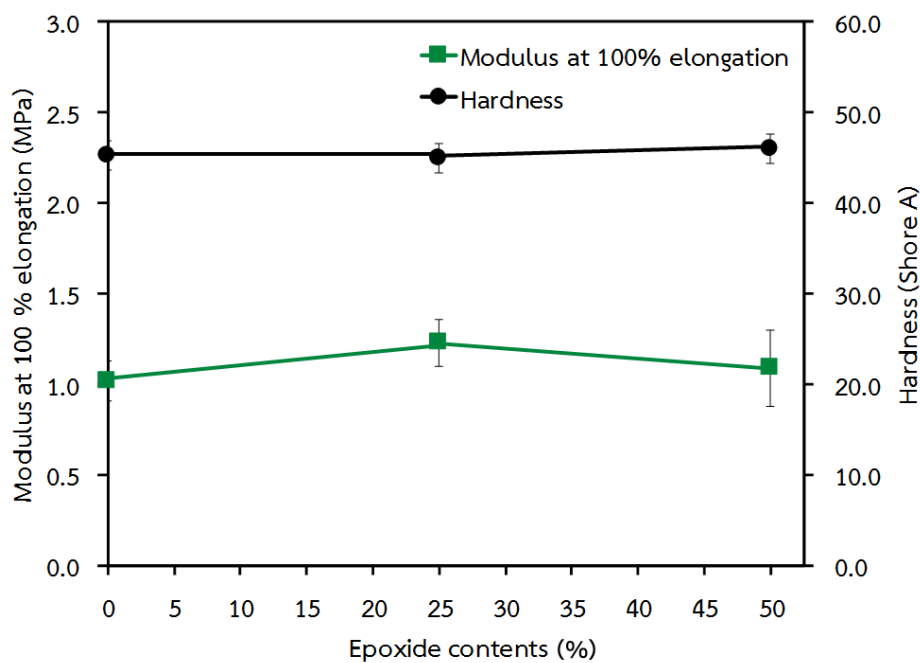
ตารางที่ 4.18 แสดงร้อยละปริมาณการกระจายตัวของธาตุในคอมโพสิตของยางธรรมชาติที่มีการแปรชนิดของยางธรรมชาติจากตารางจะเห็นได้ว่า คอมโพสิตของยางธรรมชาติที่ไม่ผ่านการตัดแปรมะเลกุล คอมโพสิตของยางธรรมชาติอิพอกไซด์ที่มีอิพอกไซด์ร้อยละ 25 โดยโมล และคอมโพสิตของยางธรรมชาติอิพอกไซด์ที่มีอิพอกไซด์ร้อยละ 50 โดยโมลมีปริมาณของธาตุส่วนใหญ่ที่เท่ากัน แต่มีธาตุบางตัวของคอมโพสิตของยางธรรมชาติอิพอกไซด์ที่มีอิพอกไซด์ร้อยละ 25 โดยโมล และคอมโพสิตของยางธรรมชาติอิพอกไซด์ที่มีอิพอกไซด์ร้อยละ 50 โดยโมลที่ไม่เท่ากับคอมโพสิตของยางธรรมชาติที่ไม่ผ่านการตัดแปรมะเลกุลได้แก่ ธาตุคาร์บอน (C) ไฮโดรเจน (H) ลดลง และออกซิเจน (O) เพิ่มขึ้น เนื่องจากยางธรรมชาติอิพอกไซด์มีวงแหวนอิพอกไซด์ภายในโครงสร้างจึงทำให้ยางธรรมชาติอิพอกไซด์มีปริมาณของออกซิเจนมากกว่า และมีปริมาณของคาร์บอน และไฮโดรเจนลดลง

4.3.4 ผลของการแปรชนิดของยางธรรมชาติต่อสมบัติเชิงกลของคอมโพสิตของยางธรรมชาติที่มีการเติมบิสมีทออกไซด์เป็นสารกำบังรังสี

การทดลองสมบัติเชิงกลของคอมโพสิตของยางธรรมชาติ โดยทำการแปรชนิดของยางธรรมชาติเพื่อเป็นสารกำบังรังสี ผลการทดลองสมบัติเชิงกลแสดงในตารางที่ 4.19-4.21 และรูปที่ 4.30-4.32

ตารางที่ 4.19 มอดูลัสที่ระยะยืด 100% และความแข็งของคอมโพสิตของยางธรรมชาติที่มีการแปรชนิดของยางธรรมชาติ และเติมบิสมันท์ออกไซด์เป็นสารกำบังรังสี

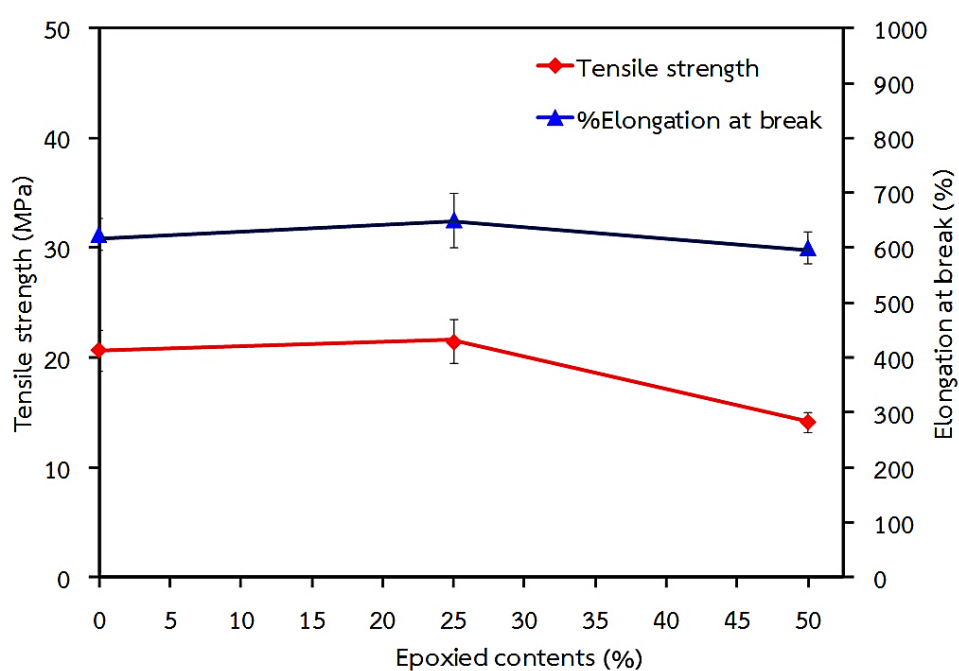
Epoxide contents (%)	Modulus at 100% elongation (MPa)	Hardness (Shore A)
0	1.02 ±0.11	45.20 ±0.45
25	1.23 ±0.13	45.00 ±0.89
50	1.09 ±0.21	46.00 ±0.45



รูปที่ 4.30 มอดูลัสที่ระยะยืด 100% และความแข็งของคอมโพสิตของยางธรรมชาติที่มีการแปรชนิดของยางธรรมชาติ และเติมบิสมันท์ออกไซด์เป็นสารกำบังรังสี

ตารางที่ 4.20 ความต้านทานต่อแรงดึง และระยะยืด ณ จุดขาดของคอมโพสิตของยางธรรมชาติที่มีการแปรชนิดของยางธรรมชาติ และเติมบิสแมท์ออกไซด์เป็นสารกำบังรังสี

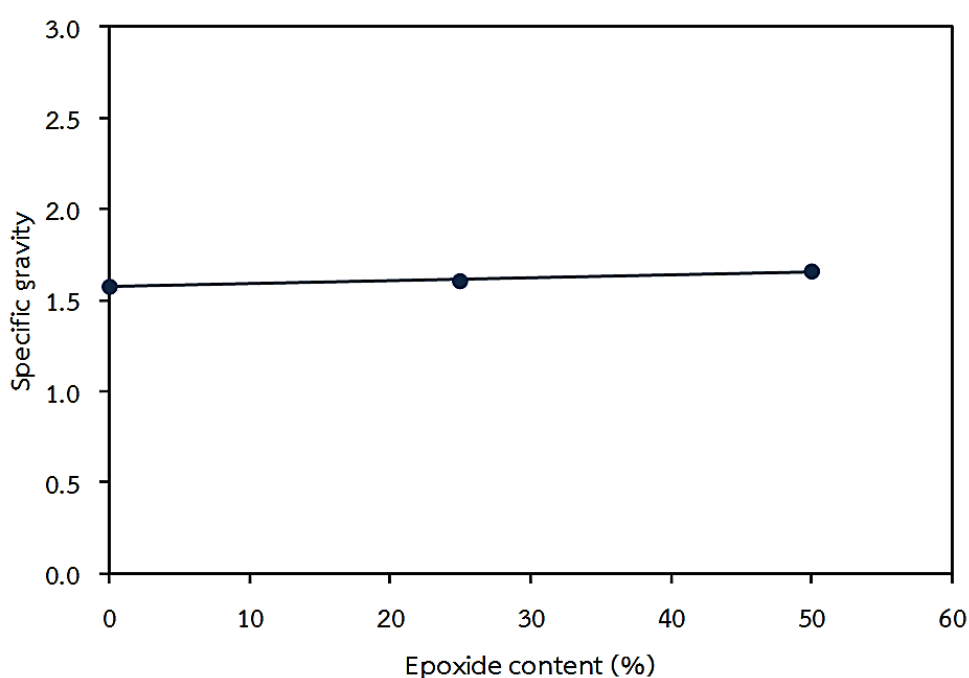
Epoxide contents (%)	Tensile strength (MPa)	Elongation at break (%)
0	20.66 ±1.88	625 ±29
25	21.42 ±1.99	650 ±50
50	14.10 ±0.87	600 ±29



รูปที่ 4.31 ความต้านทานต่อแรงดึง และระยะยืด ณ จุดขาดของคอมโพสิตของยางธรรมชาติที่มีการแปรชนิดของยางธรรมชาติ และเติมบิสแมท์ออกไซด์เป็นสารกำบังรังสี

ตารางที่ 4.21 ความถ่วงจำเพาะของคอมโพสิตของยางธรรมชาติที่มีการแปรชนิดของยางธรรมชาติ และเติมบิสแมทออกไซด์เป็นสารกำบังรังสี

Epoxide contents (%)	Specific gravity
0	1.568 ±0.003
25	1.601 ±0.004
50	1.653 ±0.024



รูปที่ 4.32 ความถ่วงจำเพาะของคอมโพสิตของยางธรรมชาติที่มีการแปรชนิดของยางธรรมชาติ และเติมบิสแมทออกไซด์เป็นสารกำบังรังสี

ตารางที่ 4.19 และรูปที่ 4.30 แสดงค่ามอดูลัสที่ระยะยืด 100% และความแข็งของคอมโพสิตของยางธรรมชาติที่มีการแปรชนิดของยางธรรมชาติ และเติมบิสแมทออกไซด์เป็นสารกำบังรังสี จากผลการทดลองพบว่า คอมโพสิตของยางธรรมชาติที่ไม่ผ่านการตัดแปรโมเลกุล คอมโพสิตของยางธรรมชาติอีพอกไซด์ที่มีอีพอกไซด์ร้อยละ 25 โดยโมล และคอมโพสิตของยางธรรมชาติอีพอกไซด์ที่มีอีพอกไซด์ร้อยละ 50 โดยโมลให้ค่ามอดูลัสที่ระยะยืด 100% และความแข็งที่ใกล้เคียงกัน เนื่องจากเติมบิสแมทออกไซด์ในปริมาณที่เท่ากัน และคอมโพสิตของยางธรรมชาติทั้งสามชนิดมีปริมาณการเชื่อมขวางที่ใกล้เคียงกันสังเกตได้จากตารางที่ 4.17 ส่งผลให้ค่าดังกล่าวไม่ต่างกันอย่างมีนัยสำคัญ

ตารางที่ 4.20 และรูปที่ 4.31 แสดงค่าความต้านทานต่อแรงดึง และระยะยืด ณ จุดขาดของคอมโพสิตของยางธรรมชาติที่มีการแปรชนิดของยางธรรมชาติ และเติมบิสแมทออกไซด์เป็น

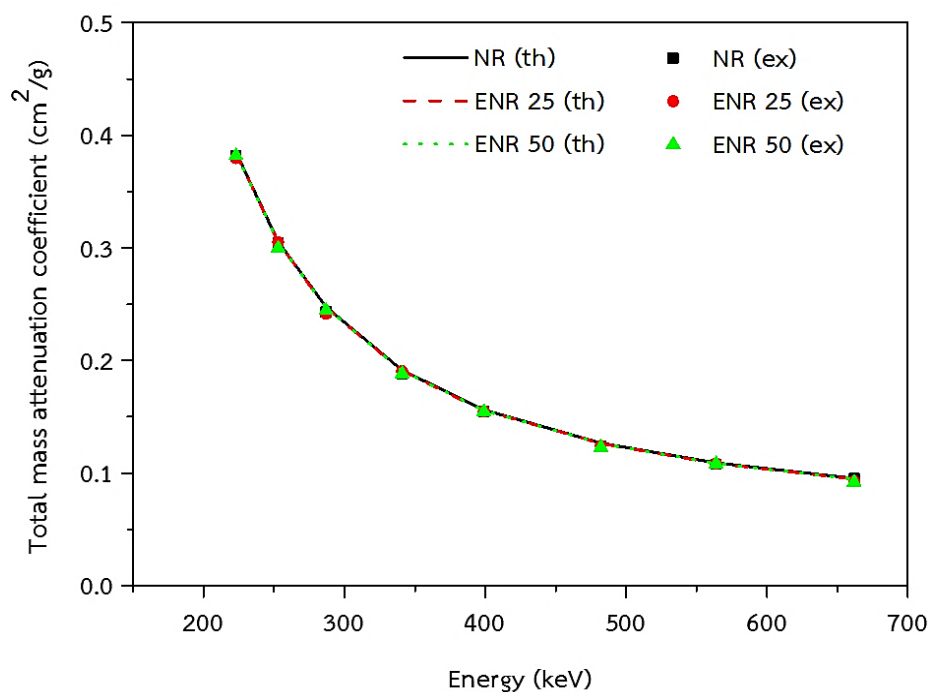
สารกำบังรังสี จากรูปจะเห็นได้ว่า คอมโพสิตของยางธรรมชาติอิพอกไซด์ที่มีอิพอกไซด์ร้อยละ 25 โดยโมลให้ค่าความต้านทานต่อแรงดึงมากกว่าคอมโพสิตของยางธรรมชาติที่ไม่ผ่านการตัดแปรโมเลกุล และคอมโพสิตของยางธรรมชาติอิพอกไซด์ที่มีอิพอกไซด์ร้อยละ 50 โดยโมลเป็นผลมาจากการกระจายตัวของบิสฟีนอลเอที่เติมลงในยางธรรมชาติอิพอกไซด์อย่างที่ว่าไปแล้ว การกระจายตัวของสารมีผลต่อสมบัติเชิงกลของวัสดุคอมโพสิตในเรื่องของการส่งผ่านแรง หากวัสดุคอมโพสิตมีการกระจายตัวของสารที่ดีการส่งผ่านแรงก็จะเป็นไปอย่างต่อเนื่องทำให้วัสดุคอมโพสิตเกิดการรับแรงได้ดี และส่งผลต่อความแข็งแรงที่ดีอีกด้วย ในทางกลับกันหากวัสดุคอมโพสิตมีการกระจายตัวของสารที่ไม่ดีก็จะส่งผลต่อการถ่ายโอนแรงที่ไม่ต่อเนื่องจากเนื้อพื้นไปยังเฟสกระจาย วัสดุคอมโพสิตเกิดการรับแรงได้ไม่ดี สมบัติด้านความแข็งแรงจะลดลงเช่นเดียวกับคอมโพสิตของยางธรรมชาติอิพอกไซด์ที่มีอิพอกไซด์ร้อยละ 50 โดยโมลที่ให้ค่าความต้านทานต่อแรงดึงน้อยที่สุด เมื่อเทียบกับคอมโพสิตของยางธรรมชาติที่ไม่ผ่านการตัดแปรโมเลกุล และคอมโพสิตของยางธรรมชาติอิพอกไซด์ที่มีอิพอกไซด์ร้อยละ 25 โดยโมล นอกจากนี้การกระจายตัวที่ไม่ดีของสารยังส่งผลต่อค่าระยะยึด ผน จุดขาด เนื่องจากบริเวณที่เกิดการเกาะกลุ่มกันของสารจัดเป็นบริเวณที่มีเป็นจุดอ่อนของวัสดุคอมโพสิตกล่าวคือ จุดที่เกิดการเกาะกลุ่มกันนี้จะเป็นจุดที่เกิดการขาดเมื่อให้แรงดึงกับวัสดุคอมโพสิต ดังนั้นคอมโพสิตของยางธรรมชาติอิพอกไซด์ที่มีอิพอกไซด์ร้อยละ 50 โดยโมลมีการกระจายตัวที่ไม่ดีจึงทำให้มีค่าระยะยึด ผน จุดขาดต่ำกว่าคอมโพสิตของยางธรรมชาติที่ไม่ผ่านการตัดแปรโมเลกุล และคอมโพสิตของยางธรรมชาติอิพอกไซด์ที่มีอิพอกไซด์ร้อยละ 25 โดยโมล

ตารางที่ 4.21 และรูปที่ 4.32 แสดงความถ่วงจำเพาะของคอมโพสิตของยางธรรมชาติที่มีการแปรชนิดของยางธรรมชาติ และเติมบิสฟีนอลเอเป็นสารกำบังรังสีซึ่งเติมในปริมาณที่เท่ากันจากรูปจะเห็นได้ว่า คอมโพสิตของยางธรรมชาติอิพอกไซด์ที่มีอิพอกไซด์ร้อยละ 25 โดยโมล และคอมโพสิตของยางธรรมชาติอิพอกไซด์ที่มีอิพอกไซด์ร้อยละ 50 โดยโมลให้ค่าความถ่วงจำเพาะมากกว่าคอมโพสิตของยางธรรมชาติที่ไม่ผ่านการตัดแปรโมเลกุลเล็กน้อย เนื่องจากชนิดของยางที่ต่างกันมีความถ่วงจำเพาะเริ่มต้นเฉพาะที่ต่างกัน โดยยางธรรมชาติอิพอกไซด์มีความถ่วงจำเพาะมากกว่ายางธรรมชาติที่ไม่ผ่านการตัดแปรโมเลกุล (ความถ่วงจำเพาะของยางธรรมชาติอิพอกไซด์ประมาณ 1 [61] และความถ่วงจำเพาะของยางธรรมชาติที่ไม่ผ่านการตัดแปรโมเลกุลประมาณ 0.92 [62] ส่งผลให้ค่าความถ่วงจำเพาะของคอมโพสิตของยางธรรมชาติต่างกันเล็กน้อย

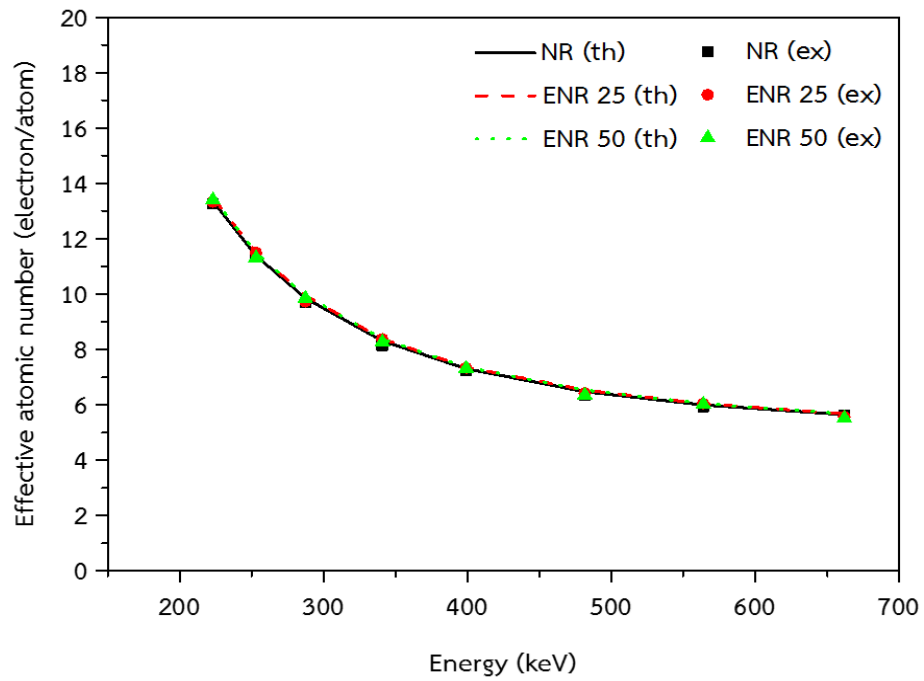
4.3.5 ผลของการแปรชนิดของยางธรรมชาติต่อสมบัติการลดทอนรังสีของคอมโพสิตของยางธรรมชาติที่มีเติมบิสมัทออกไซด์เป็นสารกำบังรังสี

4.3.5.1 ผลของการแปรชนิดของยางธรรมชาติต่อสมบัติการลดทอนรังสีแกมมา (Gamma ray attenuation) ของคอมโพสิตของยางธรรมชาติที่มีเติมบิสมัทออกไซด์เป็นสารกำบังรังสี

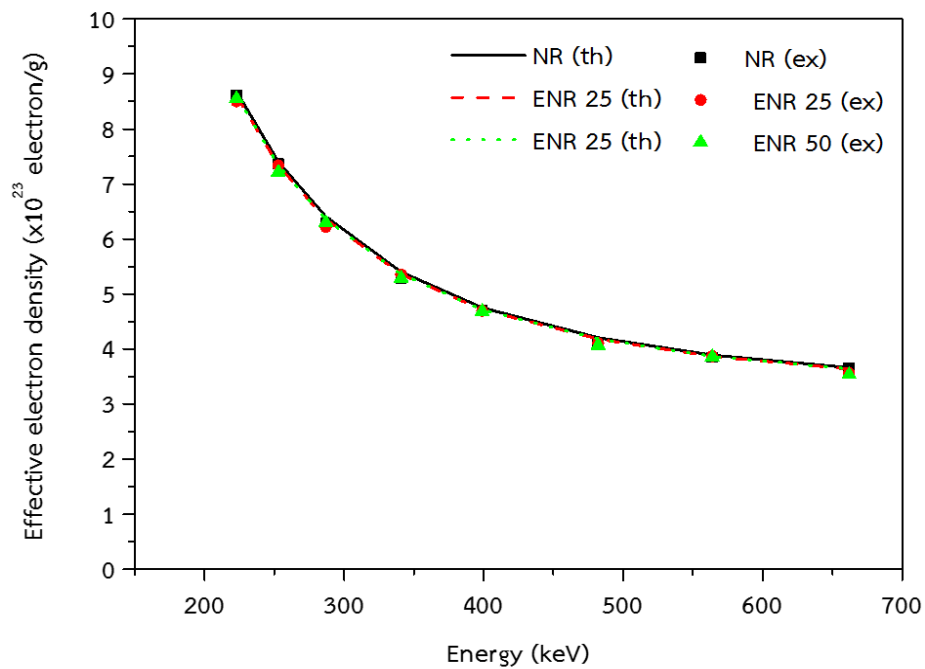
ผลการทดลองความสัมพันธ์ระหว่างคอมโพสิตของยางธรรมชาติที่มีการแปรชนิดของยาง และเติมบิสมัทออกไซด์เป็นสารกำบังรังสีต่อความสามารถในการลดทอนรังสีแกมมาของคอมโพสิตของยางธรรมชาติแสดงในรูปที่ 4.33-4.37



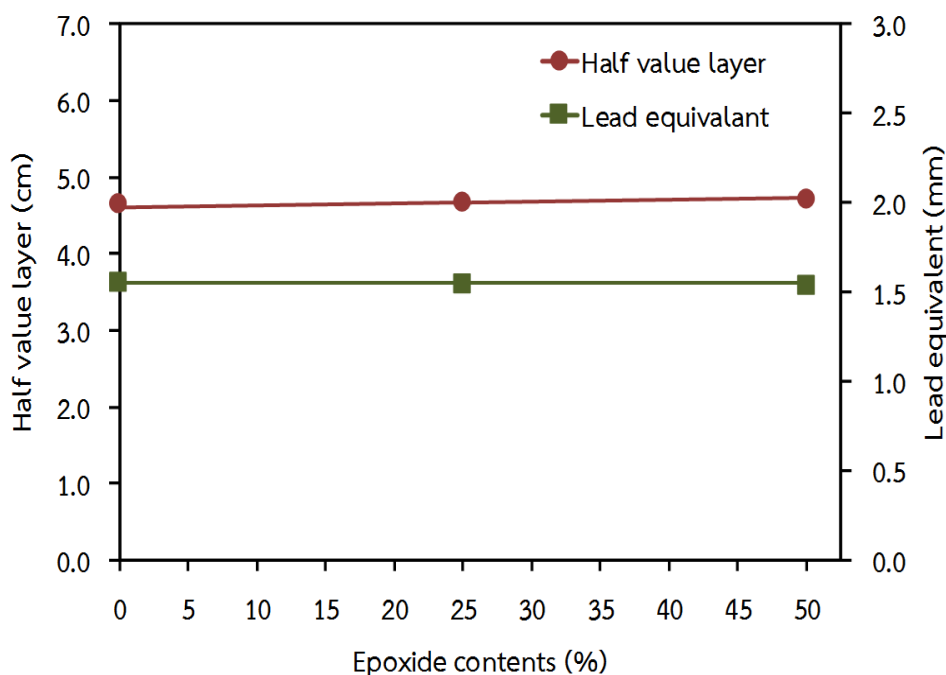
รูปที่ 4.33 สัมประสิทธิ์การลดทอนรังสีเชิงมวลของคอมโพสิตของยางธรรมชาติที่มีการแปรชนิดของยางธรรมชาติ และเติมบิสมัทออกไซด์เป็นสารกำบังรังสี ทดสอบด้วยรังสีแกมมาที่พลังงาน 223-662 keV



รูปที่ 4.34 เลขอะตอมยังผลของคอมโพสิตของยางธรรมชาติที่มีการแปรชนิดของยางธรรมชาติ และเติมบิสมีทออกไซด์เป็นสารก้ำบั้งรังสี ทดสอบด้วยรังสีแกมมาที่พลังงาน 223-662 keV



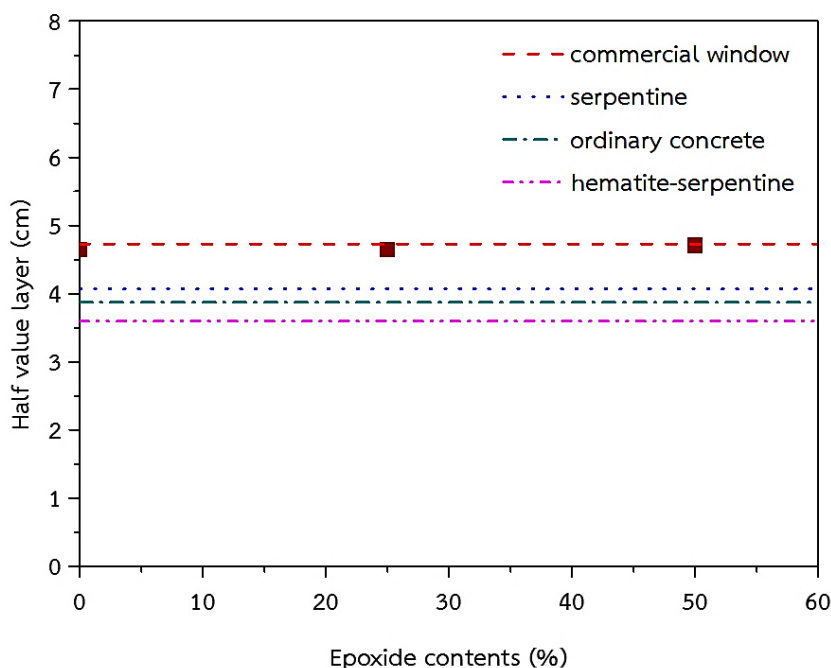
รูปที่ 4.35 ความหนาแน่นอิเล็กตรอนของคอมโพสิตของยางธรรมชาติที่มีการแปรชนิดของยางธรรมชาติ และเติมบิสมีทออกไซด์เป็นสารก้ำบั้งรังสี ทดสอบด้วยรังสีแกมมาที่พลังงาน 223-662 keV



รูปที่ 4.36 ความหนาครึ่งค่าของคอมโพสิตของยางธรรมชาติที่มีการแปรชนิดของยางธรรมชาติ และเติมบิสมันท์ออกไซด์เป็นสารก้ำบังรังสี ทดสอบด้วยรังสีแกมมาที่พลังงาน 662 keV

รูปที่ 4.33 แสดงค่าสัมประสิทธิ์การลดทอนรังสีเชิงมวลของคอมโพสิตของยางธรรมชาติที่มีการแปรชนิดของยางธรรมชาติ และเติมบิสมันท์ออกไซด์เป็นสารก้ำบัง โดยทำการทดสอบรังสีแกมมาที่มีพลังงานในช่วง 223-662 กิโลอิเล็กตรอนโวลต์จากผลการทดลองพบว่า คอมโพสิตของยางธรรมชาติที่มีการแปรชนิดของยางธรรมชาติจากรายจะเห็นได้ว่า คอมโพสิตของยางธรรมชาติที่ไม่ผ่านการดัดแปรโมเลกุล คอมโพสิตของยางธรรมชาติอีพอกไซด์ที่มีอีพอกไซด์ร้อยละ 25 โดยโมล และคอมโพสิตของยางธรรมชาติอีพอกไซด์ที่มีอีพอกไซด์ร้อยละ 50 โดยโมลให้ค่าสัมประสิทธิ์การลดทอนรังสีเชิงมวลที่ใกล้เคียงกันนั่นหมายความว่า คอมโพสิตของยางธรรมชาติสามารถลดทอนรังสีได้มีประสิทธิภาพใกล้เคียงกัน

ผลการทดลองค่าสัมประสิทธิ์การลดทอนรังสีเชิงมวลสามารถยืนยันได้จากค่าเลขอะตอมยังผล และค่าความหนาแน่นของอิเล็กตรอนในรูปที่ 4.34 และรูปที่ 4.35 ของคอมโพสิตของยางธรรมชาติที่มีการแปรชนิดของยางธรรมชาติจากรายจะเห็นได้ว่า คอมโพสิตของยางธรรมชาติที่ไม่ผ่านการดัดแปรโมเลกุล คอมโพสิตของยางธรรมชาติอีพอกไซด์ที่มีอีพอกไซด์ร้อยละ 25 โดยโมล และคอมโพสิตของยางธรรมชาติอีพอกไซด์ที่มีอีพอกไซด์ร้อยละ 50 โดยโมลให้ค่าเลขอะตอมยังผล และค่าความหนาแน่นของอิเล็กตรอนไม่ต่างกันอย่างมีนัยสำคัญนั่นยืนยันได้ว่า จำนวนอิเล็กตรอนที่สามารถเกิดปฏิกิริยากับรังสี หรือโฟตอน จนเกิดการดูดกลืน หรือลดทอนรังสีมีจำนวนที่ใกล้เคียงกัน



รูปที่ 4.37 เปรียบเทียบความหนาครึ่งค่าของคอมโพสิตของยางธรรมชาติที่มีการแปรชนิดของยางธรรมชาติ และเติมบิสมันท์ออกไซด์เป็นสารก้ำบังรังสีทดสอบที่รังสีกับกระจกเชิงพาณิชย์ เซอร์เพนไทน์ คอนกรีต และเฮมาไทต์-เซอร์เพนไทน์[43] ทดสอบด้วยรังสีแกมมาพลังงาน 662 keV

ดังนั้นชนิดของยางธรรมชาติไม่มีผลต่อการก้ำบังรังสีเท่ากับปริมาณ หรือชนิดของสารที่ทำหน้าที่เป็นสารก้ำบังรังสี นอกจากนั้นค่าสัมประสิทธิ์การลดทอนรังสีเชิงมวล เลขอะตอมยังผล และความหนาแน่นอิเล็กตรอนที่ได้จากการทดลอง (ex) มีค่าใกล้เคียงกับค่าทางทฤษฎี (th) ที่ได้จากโปรแกรม WinXCom สามารถยืนยันได้ว่า ผลการทดลองที่ได้มีความแม่นยำ และถูกต้องตรงตามทฤษฎี

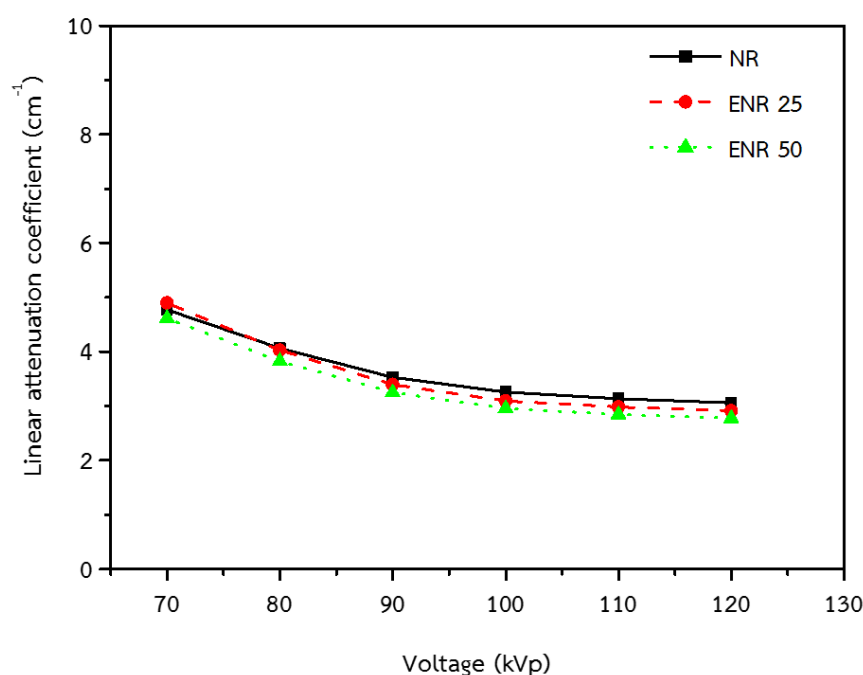
รูปที่ 4.36 แสดงความหนาครึ่งค่า และความหนาเทียบเท่าตะกั่วของคอมโพสิตของยางธรรมชาติที่มีการแปรชนิดของยาง และเติมบิสมันท์ออกไซด์เป็นสารก้ำบังรังสี ทำการทดสอบที่รังสีแกมมาที่มีพลังงานเท่ากับ 662 กิโลอิเล็กตรอนโวลต์ จากผลการทดลองพบว่า คอมโพสิตของยางธรรมชาติที่มีการแปรชนิดของยางธรรมชาติจากตารางจะเห็นได้ว่า คอมโพสิตของยางธรรมชาติที่ไม่ผ่านการดัดแปรโมเลกุล คอมโพสิตของยางธรรมชาติอ็อกไซด์ที่มีอ็อกไซด์ร้อยละ 25 โดยโมล และคอมโพสิตของยางธรรมชาติอ็อกไซด์ที่มีอ็อกไซด์ร้อยละ 50 โดยโมลมีความหนาครึ่งค่า และความหนาเทียบเท่าตะกั่วที่ใกล้เคียงกัน หมายความว่า คอมโพสิตของยางธรรมชาติทั้งสามชนิดสามารถลดทอนความเข้ม หรือพลังงานรังสีได้ครึ่งหนึ่งจากรังสีเดิมโดยมีความหนาที่เท่ากัน และคอมโพสิตของยางธรรมชาติทั้งสามชนิดสามารถก้ำบังรังสีได้เทียบเท่ากับตะกั่วที่มีความหนาประมาณ 1.5 มิลลิเมตร

รูปที่ 4.37 แสดงเปรียบเทียบค่าความหนาครึ่งค่าระหว่างคอมโพสิตของยางธรรมชาติที่มีการแปรชนิดของยางธรรมชาติจากตารางจะเห็นได้ว่าคอมโพสิตของยางธรรมชาติที่

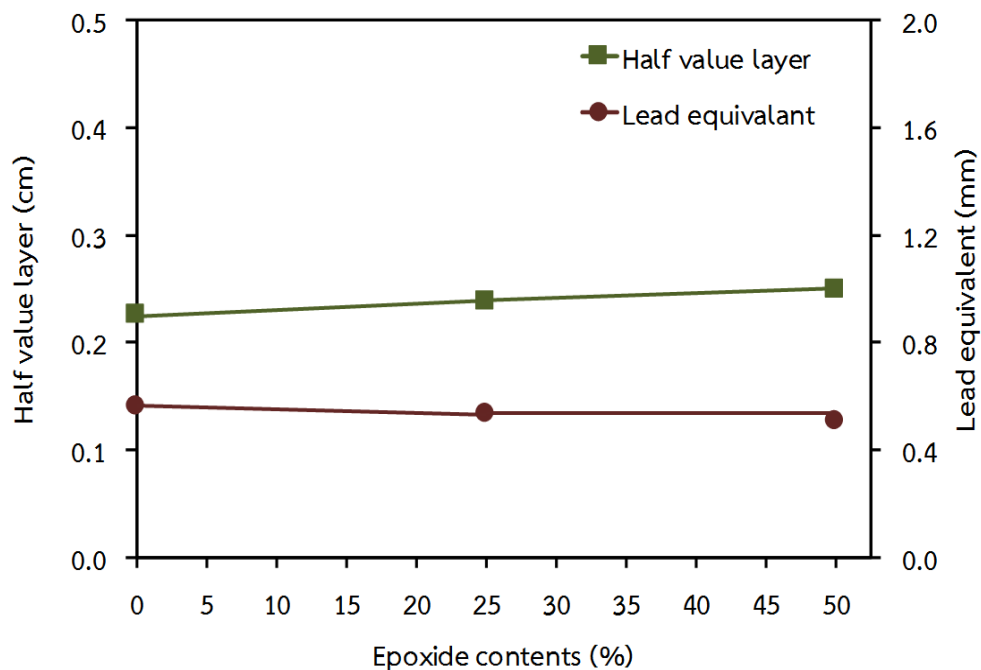
ไม่ผ่านการตัดแปรมอเลกุล คอมโพสิตของยางธรรมชาติอิพอกไซด์ที่มีอิพอกไซด์ร้อยละ 25 โดยโมล และคอมโพสิตของยางธรรมชาติอิพอกไซด์ที่มีอิพอกไซด์ร้อยละ 50 โดยโมล ทำการทดสอบที่รังสีแกมมาที่มีพลังงานเท่ากับ 662 กิโลอิเล็กตรอนโวลต์พบว่า คอมโพสิตของยางธรรมชาติทั้งสามชนิดให้ค่าความหนาแน่นที่น้อยกว่ากระจกเชิงพาณิชย์เพียงชนิดเดียวเท่านั้น แสดงว่า คอมโพสิตของยางธรรมชาติทั้งสามชนิดสามารถกำบังรังสีแกมมาได้ดีกว่ากระจกเชิงพาณิชย์ และสามารถกำบังรังสีได้น้อยกว่าเซอร์เพนไทน์ คอนกรีต และเฮมาไทต์-เซอร์เพนไทน์

4.3.5.2 ผลของชนิดของการแปรชนิดของยางธรรมชาติต่อสมบัติการลดทอนรังสีเอ็กซ์ (X-ray attenuation) ของคอมโพสิตของยางธรรมชาติ และเติมบิสมัทออกไซด์เป็นสารกำบังรังสี

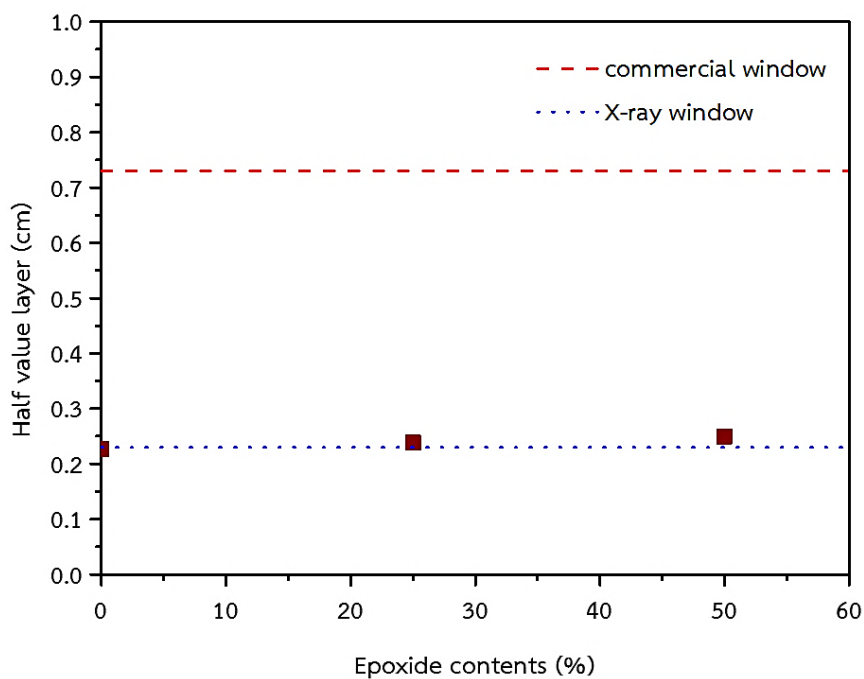
ผลการทดลองความสัมพันธ์ระหว่างคอมโพสิตของยางธรรมชาติที่มีการแปรชนิดของยางธรรมชาติ และเติมบิสมัทออกไซด์เป็นสารกำบังรังสีต่อความสามารถในการลดทอนรังสีเอ็กซ์ของคอมโพสิตของยางธรรมชาติแสดงในรูปที่ 4.38-4.40



รูปที่ 4.38 สัมประสิทธิ์การลดทอนรังสีเอ็กซ์เชิงเส้นของคอมโพสิตของยางธรรมชาติที่มีการแปรชนิดของยางธรรมชาติ และเติมบิสมัทออกไซด์เป็นสารกำบังรังสี ทดสอบด้วยรังสีเอ็กซ์ที่พลังงาน 50-120 kVp



รูปที่ 4.39 ความหนาครึ่งค่า และความหนาเทียบเท่าตะกั่วของคอมโพสิตของยางธรรมชาติที่มีการแปรชนิดของยางธรรมชาติ และเติมบิสมัทออกไซด์เป็นสารกำบังรังสี ทดสอบด้วยรังสีเอ็กซ์พลังงาน 120 kVp



รูปที่ 4.40 เปรียบเทียบความหนาครึ่งค่าของคอมโพสิตของยางธรรมชาติที่มีการแปรชนิดของยางธรรมชาติ และเติมบิสมัทออกไซด์เป็นสารกำบังรังสีกับกระจกเชิงพาณิชย์ และกระจกกำบังรังสีเอ็กซ์ ทดสอบด้วยรังสีเอ็กซ์พลังงาน 120 kVp

รูปที่ 4.38 แสดงสัมประสิทธิ์การลดทอนรังสีเชิงเส้นของคอมโพสิตของยางธรรมชาติที่มีการแปรชนิดของยาง และเติมบิสมัทออกไซด์เป็นสารก้ำบั้งรังสี โดยทำการทดสอบรังสีเอ็กซ์ที่มีพลังงานในช่วง 50-120 กิโลโวลต์สูงสุดพบว่า ผลการทดลองมีแนวโน้มเช่นเดียวกับการทดสอบคุณสมบัติการลดทอนรังสีแกมมากล่าวคือ คอมโพสิตของยางธรรมชาติที่มีการแปรชนิดของยางธรรมชาติจากตารางจะเห็นได้ว่าคอมโพสิตของยางธรรมชาติที่ไม่ผ่านการดัดแปรโมเลกุล คอมโพสิตของยางธรรมชาติอิพอกไซด์ที่มีอิพอกไซด์ร้อยละ 25 โดยโมลและคอมโพสิตของยางธรรมชาติอิพอกไซด์ที่มีอิพอกไซด์ร้อยละ 50 โดยโมลให้ค่าสัมประสิทธิ์การลดทอนรังสีเชิงเส้นที่ใกล้เคียงกันหมายความว่า คอมโพสิตของยางธรรมชาติทั้งสามชนิดมีความสามารถในการลดทอนรังสีไม่แตกต่างกันอย่างมีนัยสำคัญ

รูปที่ 4.39 แสดงความหนาครึ่งค่า และความหนาเทียบเท่าตะกั่ว ของคอมโพสิตของยางธรรมชาติที่มีการแปรชนิดของยางธรรมชาติ และเติมบิสมัทออกไซด์เป็นสารก้ำบั้งรังสีทดสอบด้วยรังสีเอ็กซ์ที่มีพลังงานเท่ากับ 120 กิโลโวลต์สูงสุด จากผลการทดลองจะเห็นได้ว่า คอมโพสิตของยางธรรมชาติที่มีการแปรชนิดของยางธรรมชาติจากตารางจะเห็นได้ว่า คอมโพสิตของยางธรรมชาติที่ไม่ผ่านการดัดแปรโมเลกุลคอมโพสิตของยางธรรมชาติอิพอกไซด์ที่มีอิพอกไซด์ร้อยละ 25 โดยโมลและคอมโพสิตของยางธรรมชาติอิพอกไซด์ที่มีอิพอกไซด์ร้อยละ 50 โดยโมลมีค่าความหนาครึ่งค่า และความหนาเทียบเท่าตะกั่วที่ใกล้เคียงกันแสดงว่า คอมโพสิตของยางธรรมชาติทั้งสามชนิดมีความหนาเท่ากันที่สามารถลดทอนปริมาณ หรือความเข้มของรังสีได้ครึ่งหนึ่งจากพลังงาน หรือความเข้มของรังสีเดิม หรือกล่าวคือ รังสีจะถูกคอมโพสิตของยางธรรมชาติดูดกลืนรังสีได้ครึ่งหนึ่ง และรังสีอีกครึ่งหนึ่งสามารถทะลุผ่านออกมาจากคอมโพสิตของยางธรรมชาติได้ และคอมโพสิตของยางธรรมชาติทั้งสามชนิดสามารถก้ำบั้งรังสีเอ็กซ์ได้เทียบเท่าตะกั่วที่มีหนาประมาณ 0.25 มิลลิเมตร โดยทำการเปรียบเทียบคอมโพสิตของยางธรรมชาติที่ความหนาเท่ากันคือ 13 มิลลิเมตร

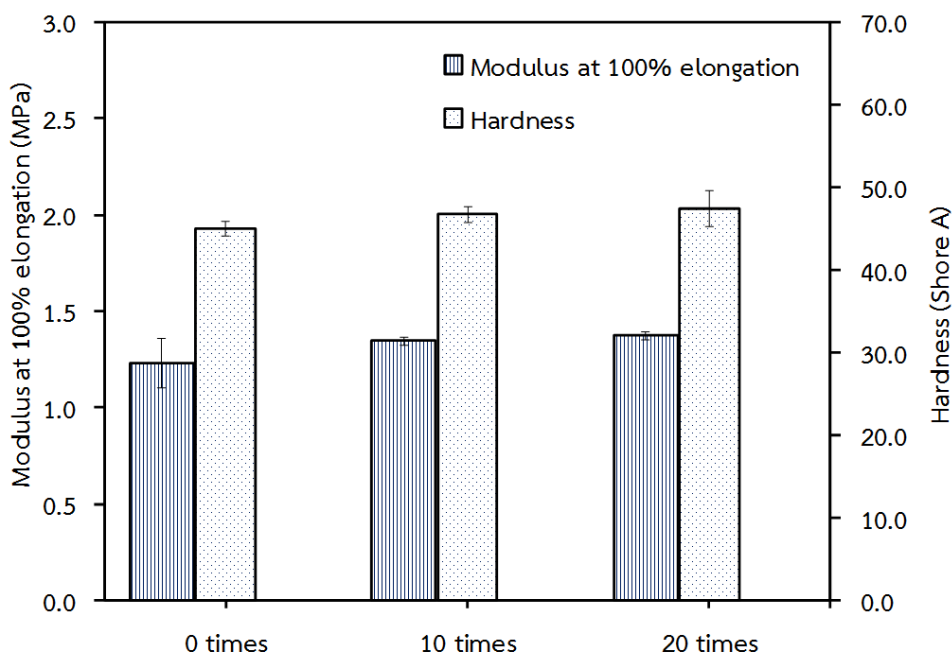
นอกจากนี้เมื่อนำคอมโพสิตของยางธรรมชาติที่มีการแปรชนิดของยางธรรมชาติ และเติมบิสมัทออกไซด์เป็นสารก้ำบั้งรังสีกับกระจกเชิงพานิชย์ และกระจกก้ำบั้งรังสีเอ็กซ์ แสดงในรูปที่ 4.40 พบว่า คอมโพสิตของยางธรรมชาติทั้งสามชนิดสามารถก้ำบั้งรังสีเอ็กซ์ได้ดีกว่ากระจกเชิงพานิชย์ และกระจกก้ำบั้งรังสีเอ็กซ์ เนื่องจากมีค่าความหนาครึ่งค่าที่น้อยกว่ากระจกเชิงพานิชย์ และกระจกก้ำบั้งรังสีเอ็กซ์ ดังนั้นเมื่อทำการพิจารณาจากสมบัติเชิงกล และสมบัติทางด้านรังสีเอ็กซ์สามารถกล่าวได้ว่า คอมโพสิตของยางธรรมชาติที่มีการแปรชนิดของยางธรรมชาติจากตารางจะเห็นได้ว่า คอมโพสิตของยางธรรมชาติที่ไม่ผ่านการดัดแปรโมเลกุล และคอมโพสิตของยางธรรมชาติอิพอกไซด์ที่มีอิพอกไซด์ร้อยละ 25 โดยโมลเหมาะสมที่จะนำมาผลิตเป็นยางธรรมชาติก้ำบั้งรังสีเอ็กซ์ที่มีความยืดหยุ่น และปลอดภัย

4.3.6 ผลของการทดสอบสมบัติเชิงกลหลังผ่านการกำบังรังสีที่มีการฉายรังสีซ้ำ 10 และ 20 ครั้งของคอมโพสิตของยางธรรมชาติที่มีการแปรชนิดของยางธรรมชาติ และเติมบิสมีท ออกไซด์เป็นสารกำบังรังสี

เมื่อพิจารณาสมบัติเชิงกล และสมบัติด้านการลดทอนรังสีของคอมโพสิตของยางธรรมชาติที่มีการแปรชนิดของยางธรรมชาติได้แก่ ยางธรรมชาติที่ไม่ผ่านการดัดแปรโมเลกุล ยางธรรมชาติอิพอกไซด์ที่มีอิพอกไซด์ร้อยละ 25 โดยโมลและยางธรรมชาติอิพอกไซด์ที่มีอิพอกไซด์ร้อยละ 50 โดยโมลที่มีการเติมบิสมีทออกไซด์ปริมาณ 80 ส่วนโดยร้อยละเมื่อเทียบกับยางพบว่ามีสมบัติเชิงกล และสมบัติด้านการลดทอนรังสีแกมมา และรังสีเอ็กซ์ คอมโพสิตของยางธรรมชาติอิพอกไซด์ที่มีอิพอกไซด์ร้อยละ 25 โดยโมลที่ให้สมบัติที่เหมาะสมกล่าวคือ มีสมบัติเชิงกลที่ดีที่สุด และมีสมบัติการกำบังรังสีที่มีประสิทธิภาพจึงนำสภาวะดังกล่าวมาทำการฉายรังสี 10 และ 20 ครั้งละ 100 วินาที โดยการใช้มุมในการกระเจิงแสง 0° ซึ่งมีค่าพลังงานเท่ากับ 662 กิโลวัตต์สูงสุดซึ่งผลการทดลองสมบัติเชิงกลหลังได้รับรังสีของคอมโพสิตของยางธรรมชาติอิพอกไซด์ที่มีอิพอกไซด์ร้อยละ 25 โดยโมลแสดงในตารางที่ 4.22-4.24 และรูปที่ 4.41-4.43

ตารางที่ 4.22 มอดูลัสที่ระยะยืด 100% และความแข็ง หลังผ่านการกำบังรังสีที่มีการฉายรังสีซ้ำ 10 และ 20 ครั้งของคอมโพสิตของยางธรรมชาติที่มีการแปรชนิดของยางธรรมชาติ และเติมบิสมีท ออกไซด์เป็นสารกำบังรังสี

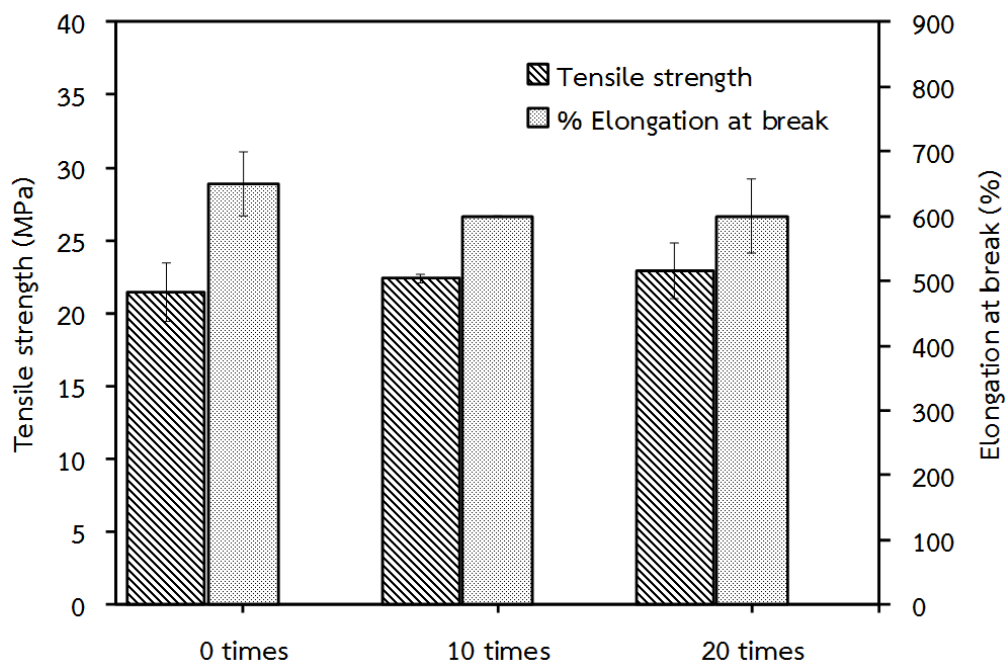
Radiation shielding (times)	Modulus at 100% elongation (MPa)	Hardness (Shore A)
0	1.23 \pm 0.13	45.00 \pm 0.89
10	1.35 \pm 0.02	46.75 \pm 0.96
20	1.38 \pm 0.02	47.45 \pm 2.22



รูปที่ 4.41 มอดูลัสที่ระยะยืด 100% และความแข็ง หลังผ่านการกำบังรังสีที่มีการฉายรังสีซ้ำ 10 และ 20 ครั้งของคอมโพสิตของยางธรรมชาติที่มีการแปรชนิดของยางธรรมชาติ และเติมบิสมัท ออกไซด์เป็นสารกำบังรังสี

ตารางที่ 4.23 ความต้านทานต่อแรงดึง และระยะยืด ณ จุดขาด หลังผ่านการกำบังรังสีที่มีการฉายรังสีซ้ำ 10 และ 20 ครั้งของคอมโพสิตของยางธรรมชาติที่มีการแปรชนิดของยางธรรมชาติ และเติมบิสมัทออกไซด์เป็นสารกำบังรังสี

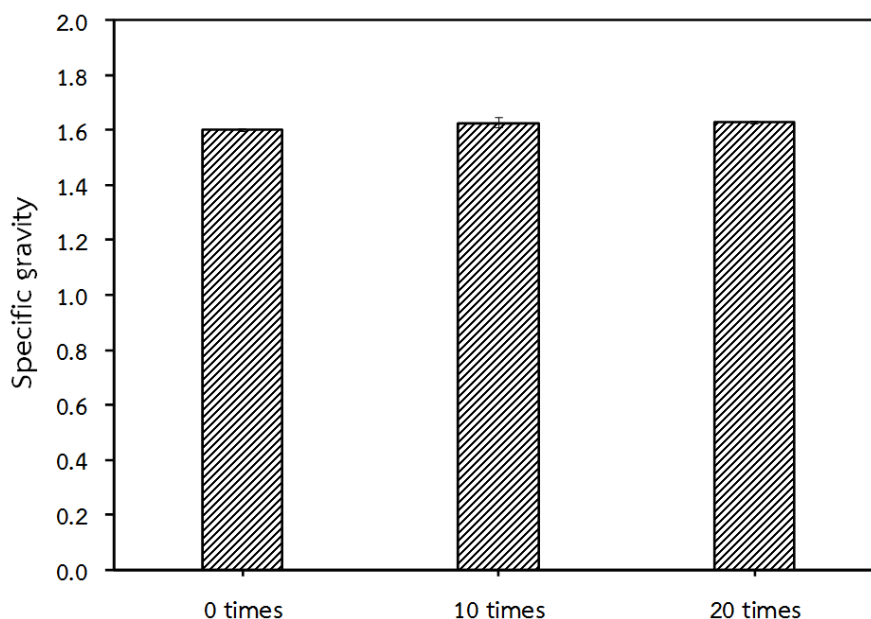
Radiation shielding (times)	Tensile strength (MPa)	Elongation at break (%)
0	21.42 ±1.99	650.00 ±50.00
10	22.39 ±0.34	600.00 ±0.00
20	22.95 ±1.89	600.00 ±57.74



รูปที่ 4.42 ความต้านทานต่อแรงดึง และระยะยืด ณ จุดขาด หลังผ่านการกำบังรังสีที่มีการฉายรังสีซ้ำ 10 และ 20 ครั้งของคอมโพสิตของยางธรรมชาติที่มีการแปรชนิดของยางธรรมชาติ และเติมบิสมัทออกไซด์เป็นสารกำบังรังสี

ตารางที่ 4.24 ความถ่วงจำเพาะ หลังผ่านการกำบังรังสีที่มีการฉายรังสีซ้ำ 10 และ 20 ครั้งของคอมโพสิตของยางธรรมชาติที่มีการแปรชนิดของยางธรรมชาติ และเติมบิสมัทออกไซด์เป็นสารกำบังรังสี

Radiation shielding (times)	Specific gravity
0	1.601 ±0.004
10	1.626 ±0.018
20	1.628 ±0.004



รูปที่ 4.43 ความถ่วงจำเพาะ หลังผ่านการกำบังรังสีที่มีการฉายรังสีซ้ำ 10 และ 20 ครั้งของคอมโพสิตของยางธรรมชาติที่มีการแปรชนิดของยางธรรมชาติ และเติมบิสมีทออกไซด์เป็นสารกำบังรังสี

ตารางที่ 4.25 ปริมาณการเชื่อมขวางหลังผ่านการกำบังรังสีที่มีการฉายรังสีซ้ำ 10 และ 20 ครั้งของคอมโพสิตของยางธรรมชาติที่มีการแปรชนิดของยางธรรมชาติ และเติมบิสมีทออกไซด์เป็นสารกำบังรังสี

Radiation shielding (times)	Crosslink density ($\times 10^{-3} \text{ cm}^2/\text{g}$)
0	1.21 \pm 0.00020
10	1.38 \pm 0.00028
20	1.42 \pm 0.00019

จากตารางที่ 4.22 แสดงค่ามอดูลัสที่ระยะยืด 100% และความแข็ง หลังผ่านการกำบังรังสีของคอมโพสิตของยางธรรมชาติอีพอกไซด์ที่มีอีพอกไซด์ร้อยละ 25 โดยโมลจากผลการทดลองพบว่า เมื่อคอมโพสิตของยางธรรมชาติอีพอกไซด์ที่มีอีพอกไซด์ร้อยละ 25 โดยโมลได้รับรังสีแกมมาทำให้ค่ามอดูลัสที่ระยะยืด 100% และความแข็งมีแนวโน้มเพิ่มขึ้นแสดงว่า คอมโพสิตของยางธรรมชาติอีพอกไซด์ที่มีอีพอกไซด์ร้อยละ 25 โดยโมลจะต้องใช้แรงเพิ่มขึ้นในการทำให้ คอมโพสิตของยางธรรมชาติอีพอกไซด์ที่มีอีพอกไซด์ร้อยละ 25 โดยโมลเกิดการยึด หรือคอมโพสิตของยางธรรมชาติอีพอกไซด์ที่มีอีพอกไซด์ร้อยละ 25 โดยโมลมีความแข็งเพิ่มขึ้นเป็นผลมาจากการเพิ่มขึ้นของปริมาณการเชื่อมขวางซึ่งผลการทดลองแสดงดังตารางที่ 4.25 โดยการเพิ่มขึ้นของปริมาณการเชื่อม

ขวางเมื่อได้รับรังสีนั้นยังส่งผลให้คอมโพสิตของยางธรรมชาติอีพอกไซด์ที่มีอีพอกไซด์ร้อยละ 25 โดยโมลมีความต้านทานต่อแรงดึงที่เพิ่มขึ้น เนื่องจากเมื่อเกิดการเชื่อมขวางระหว่างสายโซ่โมเลกุลของยางจะทำให้เกิดการเคลื่อนที่ หรือเกิดการเคลื่อนไหวได้ยากขึ้นจึงต้องใช้แรงดึงเพิ่มขึ้นเพื่อให้คอมโพสิตของยางธรรมชาติอีพอกไซด์ที่มีอีพอกไซด์ร้อยละ 25 โดยโมลขาดออกจากกัน และการที่สายโซ่โมเลกุลเกิดการเคลื่อนไหวได้ยากขึ้นนั้นหมายความว่าวัสดุมีความยืดหยุ่นที่ลดลงสังเกตได้จากค่าระยะยืด ณ จุดขาด แสดงในรูปที่ 4.25 และการได้รับรังสีแกมมาของคอมโพสิตของยางธรรมชาติอีพอกไซด์ที่มีอีพอกไซด์ร้อยละ 25 โดยโมลไม่มีผลต่อความถ่วงจำเพาะ ผลการทดลองแสดงในตารางที่ 24 และรูปที่ 43

จากผลการทดลองจึงสรุปได้ว่าปริมาณหมู่อีพอกไซด์บนยางธรรมชาติมีผลต่อสมบัติเชิงกล แต่ไม่มีผลต่อประสิทธิภาพในการลดทอนปริมาณ หรือกัมบังรังสีของคอมโพสิตของยางธรรมชาติที่เตรียมได้ โดยคอมโพสิตของยางธรรมชาติที่มีหมู่อีพอกไซด์ร้อยละ 25 โดยโมลให้สมบัติเชิงกลดีที่สุดมีค่ามอดูลัสเท่ากับ 1.23 เมกะพาสคัล ความแข็งชอร์เอเท่ากับ 45 ความต้านทานต่อแรงดึงเท่ากับ 21.42 เมกะพาสคัล และระยะยืด ณ จุดขาดเท่ากับร้อยละ 650 สำหรับสมบัติการลดทอนรังสีแกมมา และรังสีเอ็กซ์พบว่า คอมโพสิตของยางธรรมชาติทั้งสามชนิดมีการลดทอนปริมาณ หรือกัมบังรังสีได้ไม่ต่างกันอย่างมีนัยสำคัญ คอมโพสิตของยางธรรมชาติทั้งสามชนิดสามารถกัมบังรังสีแกมมา และรังสีเอ็กซ์ได้ดีกว่ากระจกเชิงพาณิชย์ และสามารถกัมบังรังสีเอ็กซ์ได้เทียบเท่ากับกระจกกัมบังรังสีเอ็กซ์ ซึ่งเมื่อคอมโพสิตของยางธรรมชาติผ่านการฉายรังสีจะส่งผลให้คอมโพสิตของยางธรรมชาติมีค่าความต้านทานต่อแรงดึงเพิ่มขึ้น

4.4 ผลของการเปรียบเทียบคอมโพสิตของยางธรรมชาติที่มีการเติมบิสมัทออกไซด์ หรือตะกั่วออกไซด์เป็นสารกำบังรังสี

เป็นที่ทราบกันดีว่าวัสดุกำบังรังสีส่วนใหญ่ผลิตมาจากตะกั่ว เนื่องจากตะกั่วสามารถขึ้นรูป หรือรีดเป็นแผ่นบางได้ง่าย และมีราคาถูก แต่ตะกั่วมีความเป็นพิษสูงซึ่งองค์การอนามัยโลก (World Health Organization; WHO) มีการรณรงค์ และมีมาตรการที่ป้องกันความเสี่ยงคือ ใช้กฎหมาย การกำหนดมาตรฐานระดับความปลอดภัย รวมทั้งระบบเฝ้าระวัง ตรวจสอบและศึกษาวิจัยวัสดุที่ผลิตจากสารตะกั่ว นับว่าตะกั่วเป็นปัญหาต่อสุขภาพและสิ่งแวดล้อมอย่างยิ่ง ในชั้นตอนนี้จึงได้ทำการศึกษาเปรียบเทียบคุณสมบัติของคอมโพสิตของยางธรรมชาติที่มีการเติมบิสมัทออกไซด์ (BO) หรือตะกั่วออกไซด์ (PbO) ปริมาณ 150 ส่วนโดยร้อยละเมื่อเทียบกับยาง เพื่อนำคอมโพสิตของยางธรรมชาติที่ไร้ตะกั่วมาผลิตเป็นวัสดุกำบังรังสีทดแทนวัสดุกำบังรังสีที่ทำมาจากตะกั่ว

4.4.1 ผลของการเปรียบเทียบคอมโพสิตของยางธรรมชาติที่มีการเติมบิสมัทออกไซด์ หรือตะกั่วออกไซด์เป็นสารกำบังรังสี ต่อระยะเวลาในการคงรูปของคอมโพสิตของยางธรรมชาติ

ผลการทดลองเปรียบเทียบระยะเวลาในการคงรูปของคอมโพสิตของยางธรรมชาติที่มีการเติมบิสมัทออกไซด์ หรือตะกั่วออกไซด์เป็นสารกำบังรังสีแสดงในตารางที่ 4.25

ตารางที่ 4.26 ระยะเวลาในการคงรูปของคอมโพสิตของยางธรรมชาติที่มีการเติมบิสมัทออกไซด์ หรือตะกั่วออกไซด์เป็นสารกำบังรังสี

Types of metal oxides	Cure time; t_{c90} (min)
BO	6.22
PbO	6.50

ตารางที่ 4.25 แสดงระยะเวลาในการคงรูปของคอมโพสิตของยางธรรมชาติที่มีการเติมบิสมัทออกไซด์ หรือตะกั่วออกไซด์ จากผลการทดลองพบว่า คอมโพสิตของยางธรรมชาติที่มีการเติมบิสมัทออกไซด์ หรือตะกั่วออกไซด์ใช้เวลาในการคงรูปที่ใกล้เคียงกัน และมีเวลาในการคงรูปยางได้เร็วกว่ายางธรรมชาติที่ไม่มีการเติมโลหะออกไซด์ซึ่งเวลาในการคงรูปของยางธรรมชาติที่ไม่มีการเติมโลหะออกไซด์เท่ากับ 8.44 นาทีสังเกตได้จากตารางที่ 4.1 นั้นหมายความว่า ทั้งบิสมัทออกไซด์ และตะกั่วออกไซด์จัดเป็นสารประกอบออกไซด์ที่นอกจากจะทำหน้าที่เป็นสารกำบังรังสีแล้วยังทำหน้าที่เป็นสารกระตุ้นที่ช่วยกระตุ้นสารตัวเร่งให้ทำงานได้เร็วขึ้น ส่งผลให้ปฏิกิริยาวัลคาไนซ์เกิดได้เร็วขึ้นเช่นกัน

4.4.2 ผลของการเปรียบเทียบคอมโพสิตของยางธรรมชาติที่มีการเติมบิสม์ทออกไซด์ หรือ ตะกั่วออกไซด์เป็นสารก้ำบั้งรังสีต่อปริมาณการเชื่อมขวางของคอมโพสิตของยางธรรมชาติ

ผลการทดลองเปรียบเทียบปริมาณการเชื่อมขวางของคอมโพสิตของยางธรรมชาติที่มีสารก้ำบั้งรังสีต่างชนิดกันได้แก่บิสม์ทออกไซด์ หรือตะกั่วออกไซด์แสดงในตารางที่ 4.26

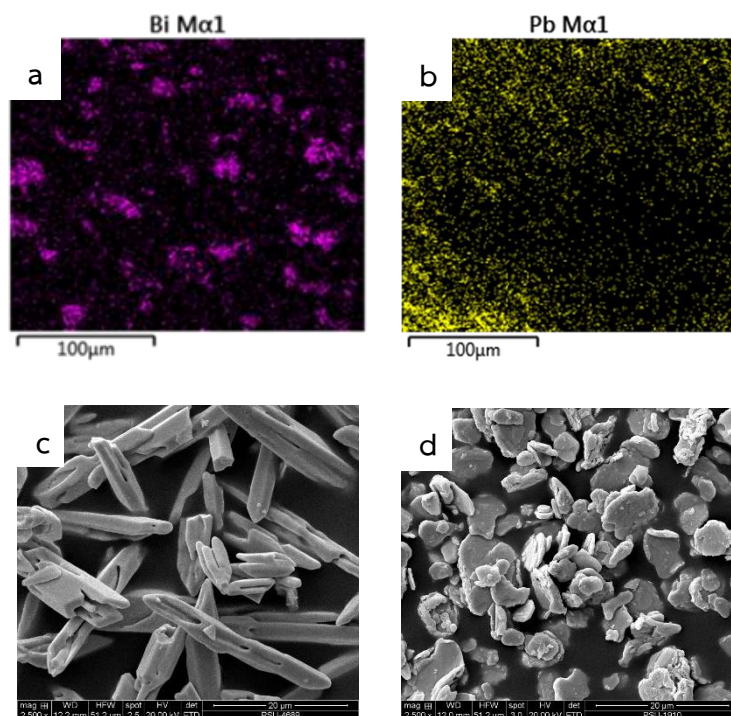
ตารางที่ 4.27 ปริมาณการเชื่อมขวางของคอมโพสิตของยางธรรมชาติที่มีการเติมบิสม์ทออกไซด์ หรือ ตะกั่วออกไซด์เป็นสารก้ำบั้งรังสี

Types of metal oxides	Crosslink density ($\times 10^{-3} \text{cm}^2/\text{g}$)
BO	2.63 \pm 0.00012
PbO	2.95 \pm 0.00026

ตารางที่ 4.26 แสดงปริมาณการเชื่อมขวางของคอมโพสิตของยางธรรมชาติที่มีการเติมบิสม์ทออกไซด์ หรือตะกั่วออกไซด์เป็นสารก้ำบั้งรังสีพบว่า คอมโพสิตของยางธรรมชาติที่มีการเติมบิสม์ทออกไซด์ และคอมโพสิตของยางธรรมชาติที่มีการเติมตะกั่วออกไซด์มีปริมาณการเชื่อมขวางที่ใกล้เคียงกัน เนื่องจากสารทั้งสองชนิดจัดเป็นสารประกอบออกไซด์ที่ทำหน้าที่เป็นทั้งสารก้ำบั้งรังสี และสารกระตุ้น

4.4.3 ผลของการเปรียบเทียบคอมโพสิตของยางธรรมชาติมีการเติมบิสม์ทออกไซด์ หรือ ตะกั่วออกไซด์เป็นสารก้ำบั้งรังสีต่อการกระจายตัวของสารในคอมโพสิตของยางธรรมชาติ

ผลการทดสอบการกระจายตัว และสัณฐานวิทยาของบิสม์ทออกไซด์ หรือตะกั่วออกไซด์ในคอมโพสิตของยางธรรมชาติแสดงในรูปที่ 4.44 และปริมาณการกระจายตัวของธาตุในคอมโพสิตของยางธรรมชาติที่มีการเปรียบเทียบคอมโพสิตของยางธรรมชาติที่มีการเติมบิสม์ทออกไซด์ หรือ ตะกั่วออกไซด์เป็นสารก้ำบั้งรังสีสามารถคำนวณได้ตามสมการที่ (3.2) และ (3.3) แสดงในตารางที่ 4.27



รูปที่ 4.44 การกระจายตัว และสัณฐานวิทยาของสารที่ทำหน้าที่ในการกำบังรังสีเปรียบเทียบระหว่างสารประกอบออกไซด์ และตะกั่วในยางธรรมชาติ a) คือ การกระจายตัวของบิสมัทในคอมโพสิตของยางธรรมชาติ b) คือ การกระจายตัวของตะกั่วในคอมโพสิตของยางธรรมชาติ c) คือ สัณฐานวิทยาของบิสมัทออกไซด์ d) คือ สัณฐานวิทยาของตะกั่วออกไซด์

ตารางที่ 4.28 ร้อยละปริมาณการกระจายตัวของธาตุในคอมโพสิตของยางธรรมชาติเปรียบเทียบกับระหว่างคอมโพสิตของยางธรรมชาติที่มีการเติมบิสมัทออกไซด์ หรือตะกั่วออกไซด์เป็นสารกำบังรังสี

Elements	Types of metal oxides	
	BO	PbO
C	34.480	34.480
H	4.634	4.634
O	6.376	4.566
Zn	1.548	1.548
Bi	51.849	-
Pb	-	53.660
N	0.045	0.045
S	1.067	1.067

รูปที่ 4.44 แสดงการกระจายตัว และสัณฐานวิทยาของสารที่ทำหน้าที่ในการกำบังรังสีเปรียบเทียบกับสารประกอบออกไซด์ และตะกั่วในยางธรรมชาติจากรูป 4.44a และ b จะเห็นได้ว่า ตะกั่วสามารถกระจายตัวในยางธรรมชาติได้ดีกว่าบิสมัท เนื่องจากอนุภาคของตะกั่วออกไซด์มีลักษณะกลม และมีขนาดอนุภาคที่เล็กกว่าจึงสามารถกระจายตัวในยางธรรมชาติได้ดีกว่าบิสมัทออกไซด์ที่มีลักษณะเป็นแท่ง และมีขนาดอนุภาคที่ใหญ่กว่าสังเกตได้จากรูปที่ 4.44c และ d แสดงสัณฐานวิทยาของบิสมัทออกไซด์ และตะกั่วออกไซด์ ตามลำดับ

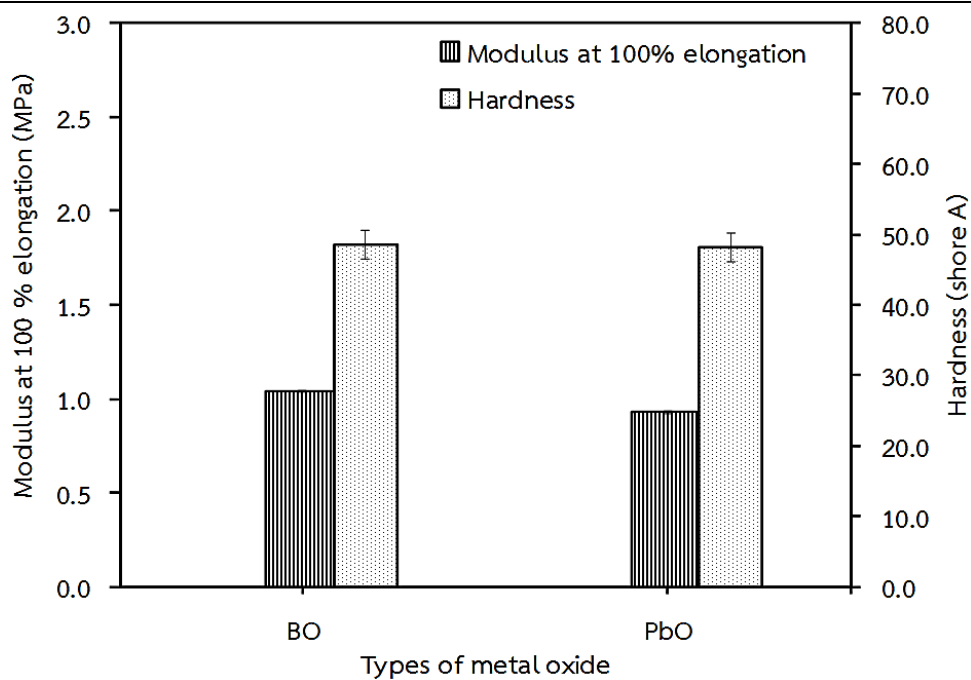
ตารางที่ 4.26 แสดงร้อยละปริมาณการกระจายตัวของธาตุในคอมโพสิตของยางธรรมชาติเปรียบเทียบกับระหว่างคอมโพสิตของยางธรรมชาติที่มีการเติมบิสมัทออกไซด์ และคอมโพสิตของยางธรรมชาติที่มีการเติมตะกั่วออกไซด์จะเห็นได้ว่า คอมโพสิตของยางธรรมชาติทั้งสองชนิดให้ปริมาณของธาตุที่ใกล้เคียงกัน เนื่องจากมีการเติมสารต่าง ๆ ลงในคอมโพสิตของยางธรรมชาติในปริมาณเท่ากัน

4.4.4 ผลของการเปรียบเทียบคอมโพสิตของยางธรรมชาติที่มีการเติมบิสมัทออกไซด์ หรือตะกั่วออกไซด์เป็นสารกำบังรังสีต่อสมบัติเชิงกลของคอมโพสิตของยางธรรมชาติ

เปรียบเทียบผลการทดลองความสัมพันธ์ระหว่างคอมโพสิตของยางธรรมชาติที่มีการเติมบิสมัทออกไซด์ และตะกั่วออกไซด์เป็นสารกำบังรังสีต่อสมบัติเชิงกล ผลการทดลองแสดงในตารางที่ 4.26-4.28 และรูปที่ 4.45-4.47

ตารางที่ 4.28 มอดูลัสที่ระยะยืด 100% และความแข็งของคอมโพสิตของยางธรรมชาติที่เปรียบเทียบระหว่างยางธรรมชาติที่มีการเติมบิส്മัทออกไซด์ หรือตะกั่วออกไซด์

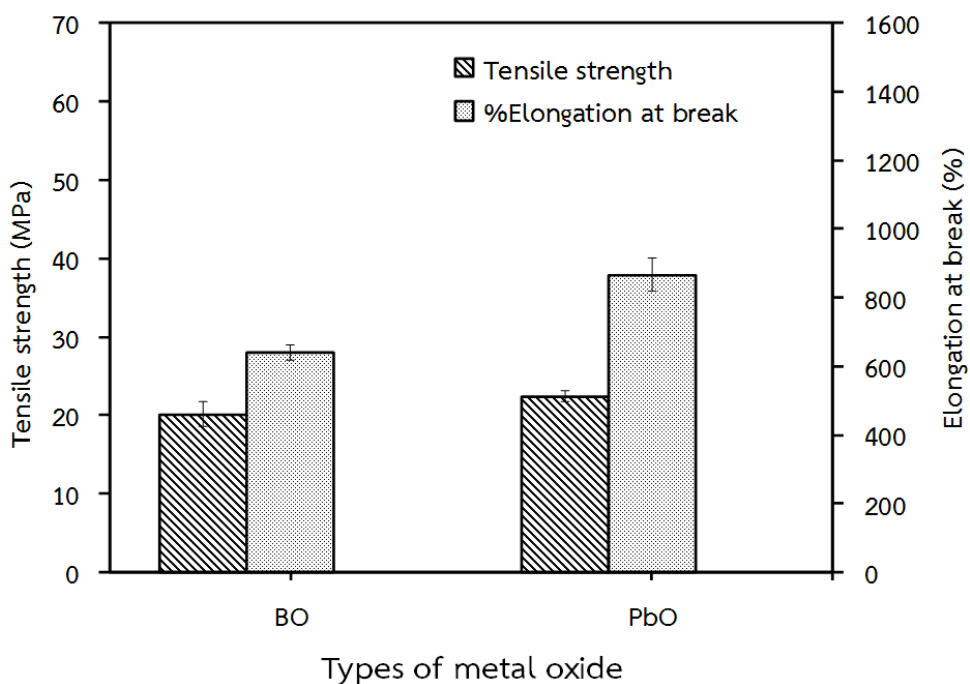
Types of metal oxide	Modulus at 100% elongation (MPa)	Hardness (Shore A)
BO	1.04 ±0.09	48.60 ±0.89
PbO	0.83 ±0.06	47.20 ±0.40



รูปที่ 4.45 มอดูลัสที่ระยะยืด 100% และความแข็งของคอมโพสิตของยางธรรมชาติที่เปรียบเทียบระหว่างยางธรรมชาติที่มีการเติมบิส്മัทออกไซด์ หรือตะกั่วออกไซด์

ตารางที่ 4.30 ความต้านทานต่อแรงดึง และระยะยืด ณ จุดขาดของคอมโพสิตของยางธรรมชาติที่เปรียบเทียบระหว่างยางธรรมชาติที่มีการเติมบิสมัทออกไซด์ หรือตะกั่วออกไซด์

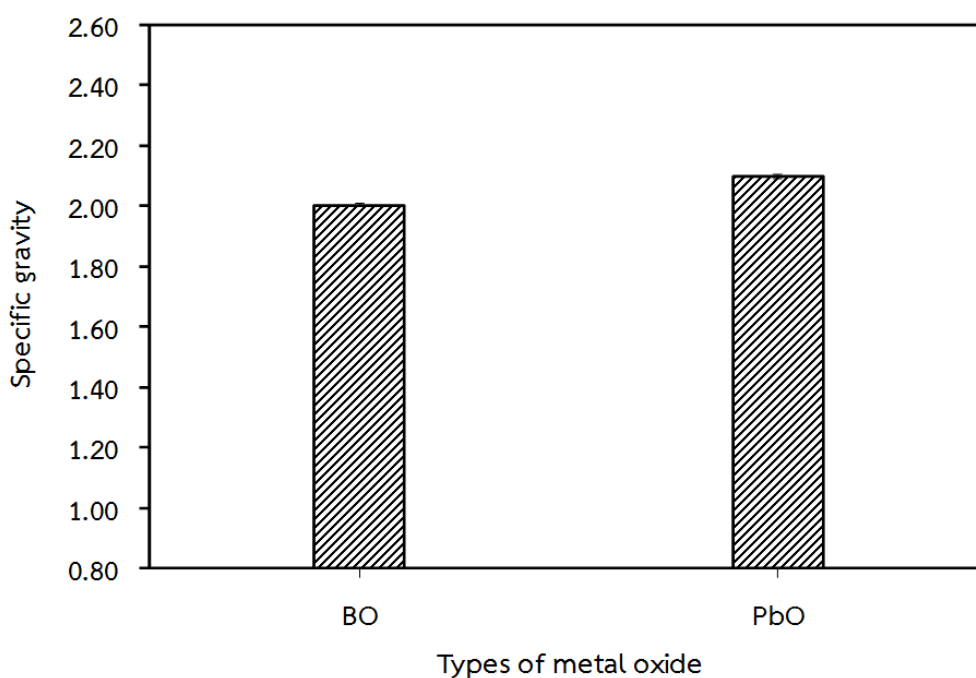
Types of metal oxide	Tensile strength (MPa)	Elongation at break (%)
BO	20.13 \pm 1.54	640 \pm 22
PbO	22.41 \pm 0.68	867 \pm 47



รูปที่ 4.46 ความต้านทานต่อแรงดึง และระยะยืด ณ จุดขาดของคอมโพสิตของยางธรรมชาติที่เปรียบเทียบระหว่างยางธรรมชาติที่มีการเติมบิสมัทออกไซด์ หรือตะกั่วออกไซด์

ตารางที่ 4.31 ความถ่วงจำเพาะของคอมโพสิตของยางธรรมชาติที่เปรียบเทียบกับระหว่างยางธรรมชาติที่มีการเติมบิสมัทออกไซด์ หรือตะกั่วออกไซด์

Types of metal oxide	Specific gravity
BO	2.004 ±0.005
PbO	2.100 ±0.007



รูปที่ 4.47 ความถ่วงจำเพาะของคอมโพสิตของยางธรรมชาติที่เปรียบเทียบกับระหว่างยางธรรมชาติที่มีการเติมบิสมัทออกไซด์ หรือตะกั่วออกไซด์

ตารางที่ 4.28 และรูปที่ 4.45 แสดงค่ามอดูลัสที่ระยะยืด 100% และความแข็งของคอมโพสิตของยางธรรมชาติที่เปรียบเทียบกับระหว่างยางธรรมชาติที่มีการเติมบิสมัทออกไซด์ หรือตะกั่วออกไซด์ จากผลการทดลองพบว่า คอมโพสิตของยางธรรมชาติที่มีการเติมบิสมัทออกไซด์ และคอมโพสิตของยางธรรมชาติที่มีการเติมตะกั่วออกไซด์มีค่ามอดูลัสที่ระยะยืด 100% และความแข็งที่ใกล้เคียงกันอย่างมีนัยสำคัญเป็นผลมาจากการเติมบิสมัทออกไซด์ และตะกั่วออกไซด์ลงในยางธรรมชาติในปริมาณที่เท่ากันคือ 150 ส่วนโดยร้อยละเมื่อเทียบกับยาง และคอมโพสิตของยางธรรมชาติทั้งสองชนิดมีปริมาณการเชื่อมขวางที่ใกล้เคียงกันสังเกตได้จากตารางที่ 4.26

ตารางที่ 4.29 และรูปที่ 4.46 แสดงค่าความต้านทานต่อแรงดึง และระยะยืด ณ จุดขาดของคอมโพสิตของยางธรรมชาติที่เปรียบเทียบกับระหว่างบิสมัทออกไซด์ และตะกั่วออกไซด์พบว่า คอมโพสิตของยางธรรมชาติที่มีการเติมตะกั่วออกไซด์ให้ค่าความต้านทานต่อแรงดึงมากกว่าคอมโพสิตของ

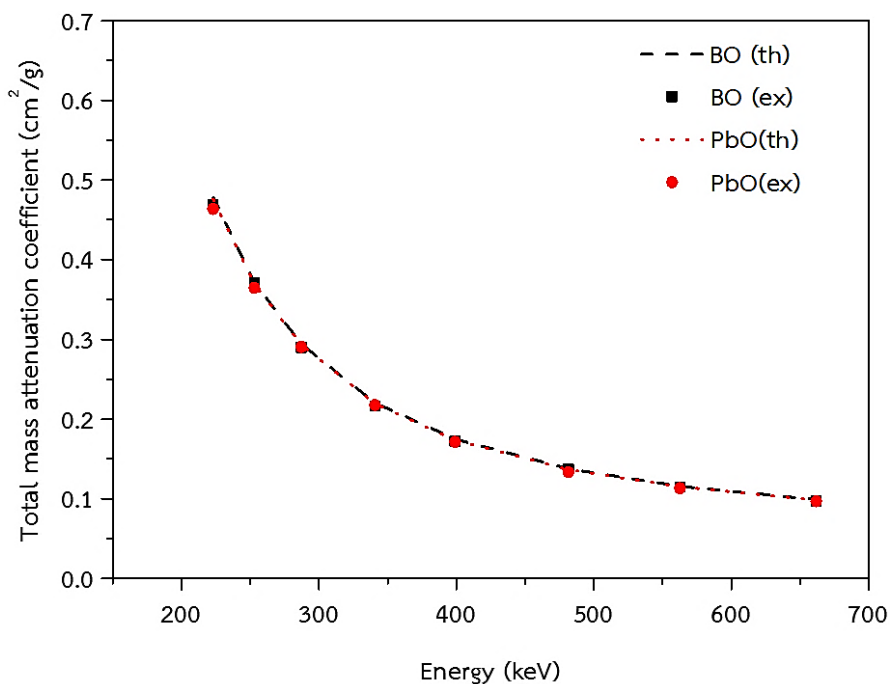
ยางธรรมชาติที่มีการเติมบิสมีทออกไซด์ เนื่องจากตะกั่วออกไซด์สามารถกระจายตัวในยางธรรมชาติได้ดีกว่าบิสมีทออกไซด์ ผลการกระจายตัวของคอมโพสิตของยางธรรมชาติแสดงในรูปที่ 4.44 ซึ่งการกระจายตัวที่ดีของตะกั่วออกไซด์ในยางธรรมชาติ ส่งผลให้คอมโพสิตของยางธรรมชาติถ่ายโอนแรงได้อย่างต่อเนื่องคอมโพสิตของยางธรรมชาติเกิดการรับแรงได้ดี ในทางกลับกันคอมโพสิตของยางธรรมชาติที่เกิดการเกาะกลุ่มกันของบิสมีทออกไซด์ทำให้เกิดการส่งผ่านแรงที่ไม่ต่อเนื่องส่งผลให้คอมโพสิตของยางธรรมชาติมีความต้านทานต่อแรงดึงน้อยกว่าคอมโพสิตของยางธรรมชาติที่มีการเติมตะกั่วออกไซด์ นอกจากนี้การกระจายตัวที่ไม่ดีของบิสมีทออกไซด์ในยางธรรมชาติยังส่งผลให้ค่าระยะยืด ณ จุดขาดน้อยกว่าคอมโพสิตของยางธรรมชาติที่มีการเติมตะกั่วออกไซด์หมายความว่า คอมโพสิตของยางธรรมชาติที่มีการเติมบิสมีทออกไซด์มีความสามารถในการยืดได้น้อยกว่าคอมโพสิตของยางธรรมชาติที่มีการเติมตะกั่วออกไซด์ เนื่องจากบริเวณที่เกิดการเกาะกลุ่มกันเป็นบริเวณที่เกิดการส่งผ่านแรงที่ไม่ต่อเนื่อง ดังนั้นบริเวณดังกล่าวจะไม่สามารถช่วยรับแรงจากยางธรรมชาติที่เป็นเนื้อพื้นได้ส่งผลให้ยางธรรมชาติต้องทำหน้าที่เป็นตัวรับแรงเพียงลำพัง คอมโพสิตของยางธรรมชาติจึงเกิดการขาดได้ง่ายในบริเวณที่เกิดการเกาะกลุ่มกันของบิสมีทออกไซด์

ตารางที่ 4.28 และรูปที่ 4.47 แสดงค่าความถ่วงจำเพาะของคอมโพสิตของยางธรรมชาติที่เปรียบเทียบระหว่างบิสมีทออกไซด์ และตะกั่วออกไซด์ จากผลการทดลองจะเห็นได้ว่า คอมโพสิตของยางธรรมชาติที่มีการเติมตะกั่วออกไซด์ให้ค่าความถ่วงจำเพาะที่มากกว่าคอมโพสิตของยางธรรมชาติที่มีการเติมบิสมีทออกไซด์เล็กน้อย เนื่องจากตะกั่วออกไซด์มีค่าความถ่วงจำเพาะที่มากกว่าบิสมีทออกไซด์ (ความถ่วงจำเพาะของตะกั่วออกไซด์เท่ากับ 9.53[63] ความถ่วงจำเพาะของบิสมีทออกไซด์เท่ากับ 8.90)

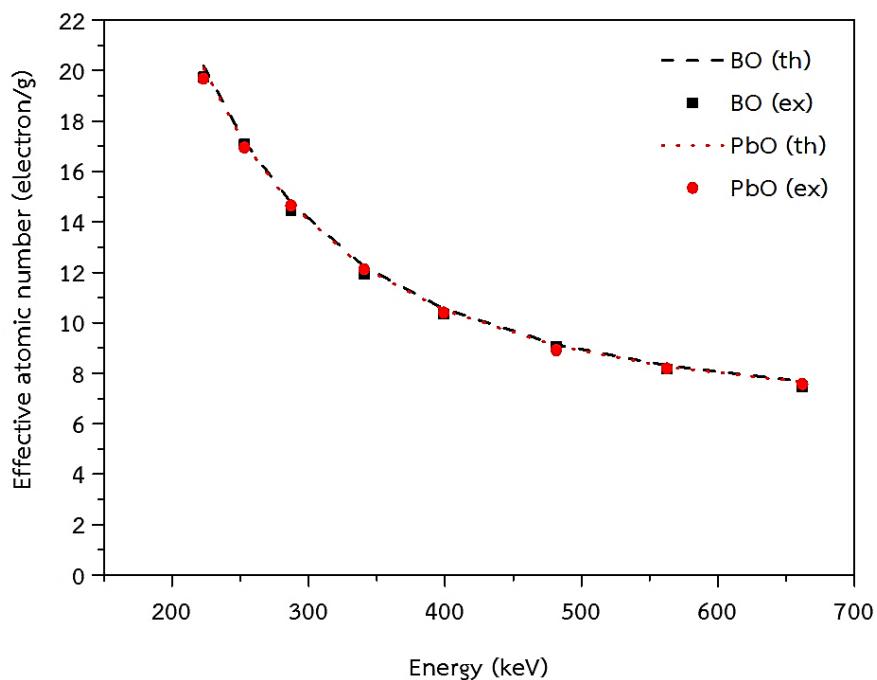
4.4.5 ผลของการเปรียบเทียบคอมโพสิตของยางธรรมชาติที่มีการเติมบิสมีทออกไซด์ หรือ ตะกั่วออกไซด์เป็นสารกำบังรังสีต่อสมบัติการลดทอนรังสีของคอมโพสิตของยางธรรมชาติ

4.4.5.1 ผลของการเปรียบเทียบคอมโพสิตของยางธรรมชาติที่มีการเติมบิสมีทออกไซด์ หรือตะกั่วออกไซด์เป็นสารกำบังรังสีต่อสมบัติการลดทอนรังสีแกมมา (Gamma ray attenuation) ของคอมโพสิตของยางธรรมชาติ

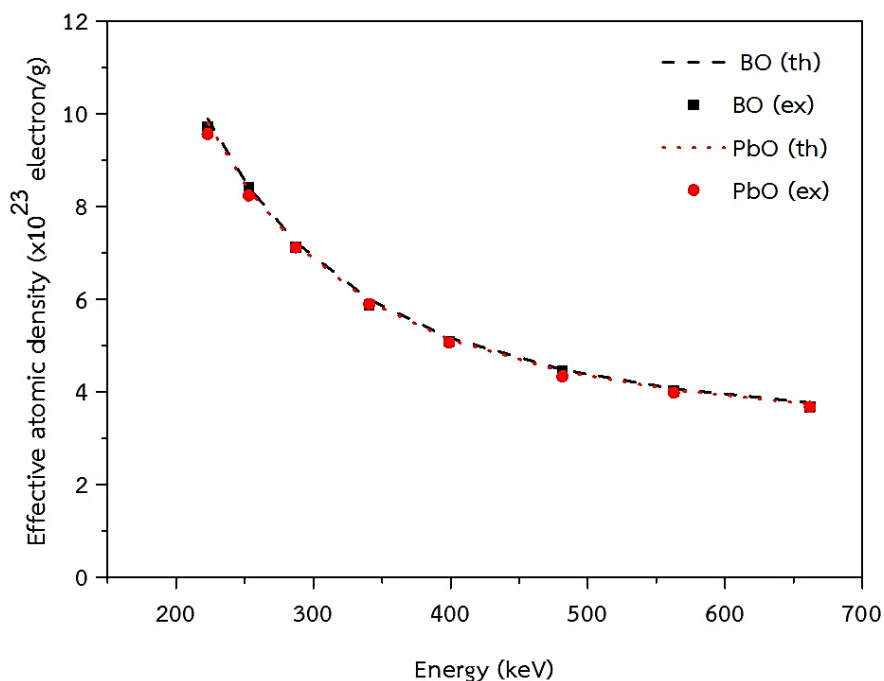
ผลการทดลองความสัมพันธ์ระหว่างการเปรียบเทียบคอมโพสิตของยางธรรมชาติที่มีการเติมบิสมีทออกไซด์ และตะกั่วออกไซด์เป็นสารกำบังรังสีต่อความสามารถในการลดทอนรังสีแกมมาของคอมโพสิตของยางธรรมชาติ แสดงในรูปที่ 4.48-4.52



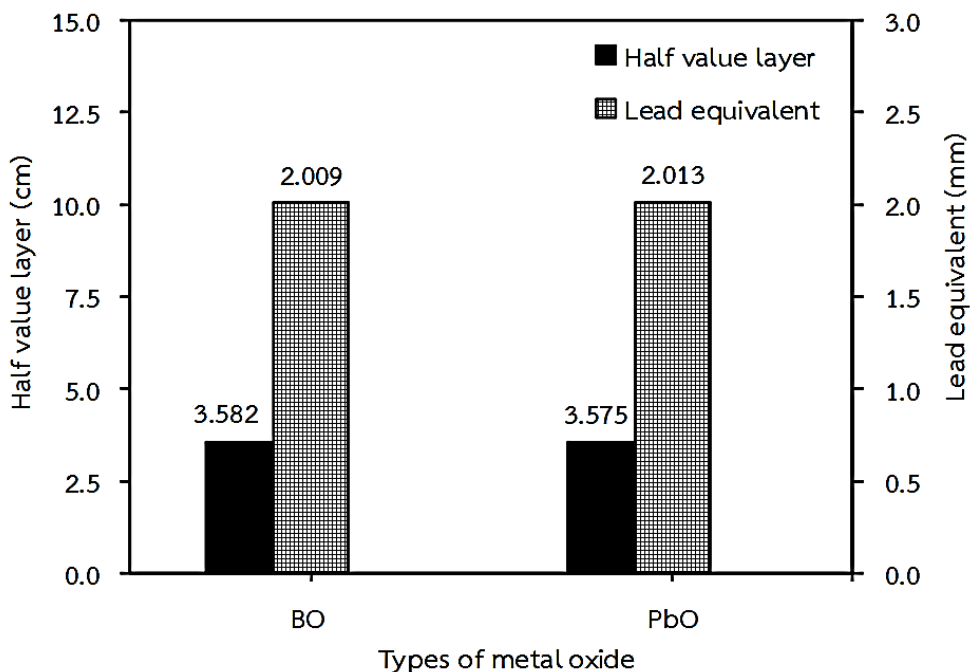
รูปที่ 4.48 สัมประสิทธิ์การลดทอนรังสีเชิงมวลของคอมโพสิตของยางธรรมชาติที่เปรียบเทียบระหว่างยางธรรมชาติที่มีการเติมบิสมัทออกไซด์ หรือตะกั่วออกไซด์เป็นสารกำบังรังสี ทดสอบด้วยรังสีแกมมาที่พลังงาน 223-662 keV



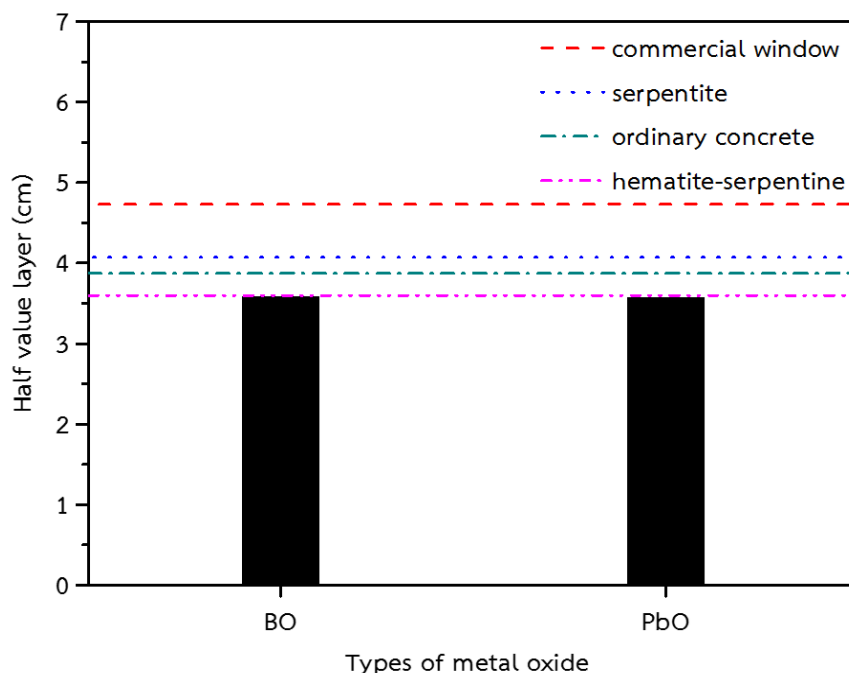
รูปที่ 4.49 เลขอะตอมยังผลของคอมโพสิตของยางธรรมชาติที่เปรียบเทียบระหว่างยางธรรมชาติที่มีการเติมบิสมัทออกไซด์ หรือตะกั่วออกไซด์เป็นสารกำบังรังสี ทดสอบด้วยรังสีแกมมาที่พลังงาน 223-662 keV



รูปที่ 4.50 ความหนาแน่นอิเล็กตรอนของคอมโพสิตของยางธรรมชาติที่เปรียบเทียบระหว่างยางธรรมชาติที่มีการเติมบิสมัทออกไซด์ หรือตะกั่วออกไซด์เป็นสารกำบังรังสี ทดสอบด้วยรังสีแกมมาที่พลังงาน 223-662 keV



รูปที่ 4.51 ความหนาครึ่งค่า และความหนาเทียบเท่าตะกั่วของคอมโพสิตของยางธรรมชาติที่เปรียบเทียบระหว่างยางธรรมชาติที่มีการเติมบิสมัทออกไซด์ หรือตะกั่วออกไซด์เป็นสารกำบังรังสี ทดสอบด้วยรังสีแกมมาที่พลังงาน 662 keV



รูปที่ 4.52 เปรียบเทียบความหนาครึ่งค่าของคอมโพสิตของยางธรรมชาติที่มีการเติมสารประกอบออกไซด์ และตะกั่วเป็นสารกำบังรังสี กับกระจกเชิงพาณิชย์ เซอร์เพนไทน์ คอนกรีต และเฮมาไทต์-เซอร์เพนไทน์[43] ทดสอบด้วยรังสีแกมมาที่พลังงาน 662 keV

รูปที่ 4.48 แสดงสัมประสิทธิ์การลดทอนรังสีเชิงมวลของคอมโพสิตของยางธรรมชาติที่เปรียบเทียบกับระหว่างบิสมัทออกไซด์ และตะกั่วออกไซด์ในยางธรรมชาติ ทำการทดสอบด้วยรังสีแกมมาที่มีพลังงานในช่วง 223-662 กิโลอิเล็กตรอนโวลต์พบว่า คอมโพสิตของยางธรรมชาติที่มีการเติมบิสมัทออกไซด์ และคอมโพสิตของยางธรรมชาติที่มีการเติมตะกั่วออกไซด์ให้ค่าสัมประสิทธิ์การลดทอนรังสีเชิงมวลที่ใกล้เคียงกันเป็นผลมาจากบิสมัทออกไซด์ และตะกั่วออกไซด์มีส่วนประกอบของธาตุบิสมัท และตะกั่ว ตามลำดับ ซึ่งธาตุทั้งสองมีเลขอะตอมที่ใกล้เคียงกัน โดยบิสมัทมีเลขอะตอมเท่ากับ 83 และตะกั่วมีเลขอะตอมเท่ากับ 82 ซึ่งผลการทดลองค่าสัมประสิทธิ์การลดทอนรังสีเชิงมวลมีแนวโน้มเช่นเดียวกับผลการทดลองของเลขอะตอมยังผล และความหนาแน่นอิเล็กตรอนของคอมโพสิตของยางธรรมชาติ

รูปที่ 4.49 และรูปที่ 4.50 แสดงเลขอะตอมยังผล และความหนาแน่นอิเล็กตรอนของการเปรียบเทียบคอมโพสิตของยางธรรมชาติที่มีการเติมบิสมัทออกไซด์ และตะกั่วออกไซด์เป็นสารกำบังรังสี ทดสอบด้วยรังสีแกมมาที่พลังงาน 223-662 กิโลอิเล็กตรอนโวลต์ซึ่งทั้งสองผลการทดลองให้ค่าเลขอะตอมยังผล และความหนาแน่นของอิเล็กตรอนของคอมโพสิตของยางธรรมชาติที่มีการเติมบิสมัทออกไซด์ และคอมโพสิตของยางธรรมชาติที่มีการเติมตะกั่วออกไซด์ที่ใกล้เคียงกัน โดยเลขอะตอมยังผลจะบ่งชี้ถึงจำนวนอิเล็กตรอนในอะตอม และความหนาแน่นอิเล็กตรอนจะบ่งบอกถึงจำนวนอิเล็กตรอนต่อกรัม ผลการทดลองที่ให้ค่าใกล้เคียงกันแสดงว่าคอมโพสิตของยางธรรมชาติทั้ง

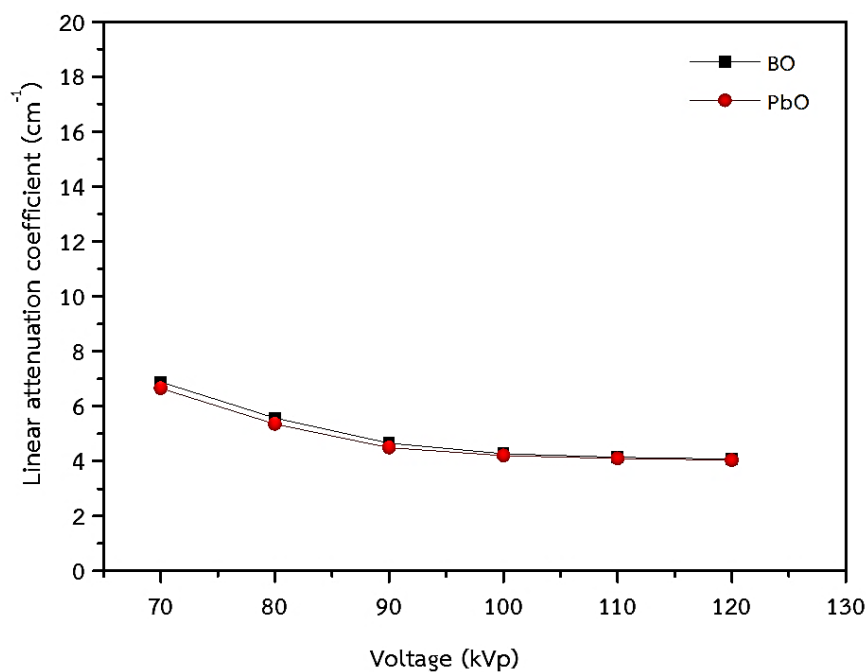
สองชนิดมีจำนวนอิเล็กตรอนไม่ต่างกัน ดังนั้นการเกิดปฏิกิริยาระหว่างรังสี กับอิเล็กตรอน หรือเกิดการดูดกลืนรังสีมีโอกาสดังกล่าวเกิดขึ้นเท่ากัน คอมโพสิตของยางธรรมชาติที่มีการเติมบิสมาท์ออกไซด์ หรือตะกั่วออกไซด์ลงในยางธรรมชาติมีความสามารถในการลดทอนรังสีได้เช่นเดียวกัน นอกจากนี้ผลการทดลองทั้งสามผลการทดลอง (ex) ให้ค่าที่ใกล้เคียงกับค่าทางทฤษฎี (th) ที่ได้จากโปรแกรม WinXCom สามารถยืนยันได้ว่าผลการทดลองที่ได้มีความแม่นยำ และถูกต้องตรงตามทฤษฎี

รูปที่ 4.51 แสดงค่าความหนาครึ่งค่า และความหนาเทียบเท่าตะกั่วของคอมโพสิตของยางธรรมชาติที่เปรียบเทียบระหว่างบิสมาท์ออกไซด์ และตะกั่วออกไซด์ในยางธรรมชาติ ทำการทดสอบด้วยรังสีแกมมาที่มีพลังงานเท่ากับ 662 กิโลอิเล็กตรอนโวลต์ จากรูปจะเห็นว่า คอมโพสิตของยางธรรมชาติที่มีการเติมบิสมาท์ออกไซด์ และคอมโพสิตของยางธรรมชาติที่มีการเติมตะกั่วออกไซด์มีความหนาครึ่งค่า และความหนาเทียบเท่าตะกั่วที่ใกล้เคียงกันนั่นหมายความว่า คอมโพสิตของยางธรรมชาติทั้งสองชนิดใช้ความหนาเท่ากันที่สามารถลดทอนปริมาณ หรือความเข้มของรังสีได้ครึ่งหนึ่งจากพลังงาน หรือความเข้มรังสีเดิม และความสามารถในการลดทอนรังสีได้เทียบเท่ากับตะกั่วที่มีความหนาประมาณ 2 มิลลิเมตร ดังนั้นจึงสรุปได้ว่า คอมโพสิตของยางธรรมชาติที่มีการเติมบิสมาท์ออกไซด์ และคอมโพสิตของยางธรรมชาติที่มีการเติมตะกั่วออกไซด์มีความสามารถในการลดทอนรังสีได้เหมือนกัน

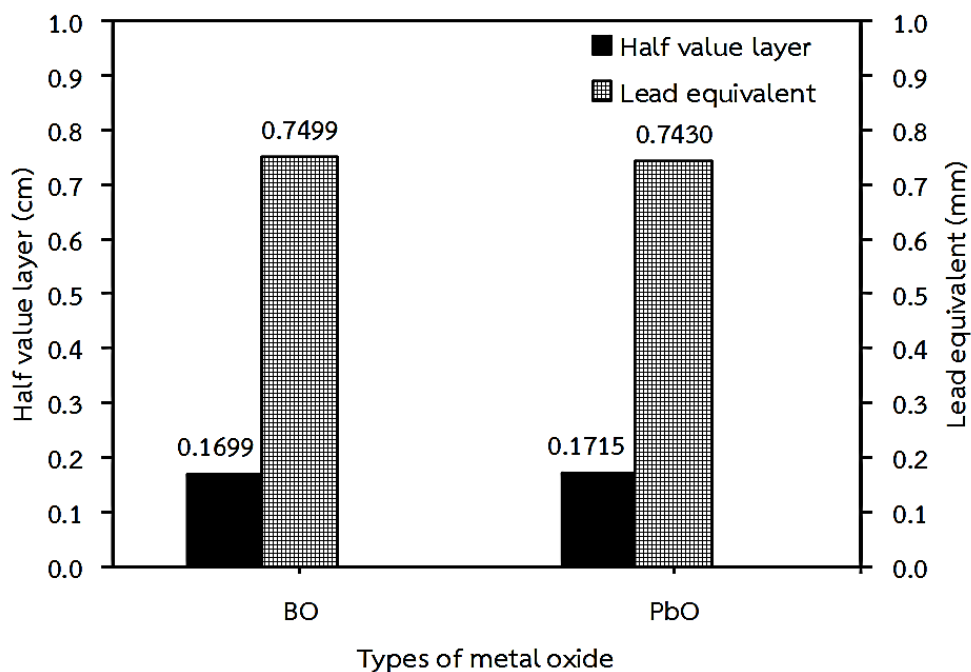
เมื่อนำค่าความหนาครึ่งค่าของคอมโพสิตของยางธรรมชาติที่มีการเติมบิสมาท์ออกไซด์ และคอมโพสิตของยางธรรมชาติที่มีการเติมตะกั่วออกไซด์มาเปรียบเทียบกับวัสดุกำบังรังสีแกมมา ได้แก่ กระดาษแข็งพาณิชย์ เซอร์เพนไทน์ คอนกรีต และเฮมาไทด์-เซอร์เพนไทน์ จากรูปที่ 4.52 จะเห็นว่า คอมโพสิตของยางธรรมชาติที่มีการเติมบิสมาท์ออกไซด์ และคอมโพสิตของยางธรรมชาติที่มีการเติมตะกั่วออกไซด์มีความหนาครึ่งค่าน้อยกว่าวัสดุกำบังรังสีทั้งหมดที่นำมาเปรียบเทียบ ดังนั้นจึงสามารถสรุปได้ว่า คอมโพสิตของยางธรรมชาติที่มีการเติมบิสมาท์ออกไซด์ และคอมโพสิตของยางธรรมชาติที่มีการเติมตะกั่วออกไซด์สามารถกำบังรังสีแกมมาได้ดีกว่าวัสดุกำบังรังสีแกมมาทั้งหมดที่นำมาเปรียบเทียบ

4.2.6.2 ผลของการเปรียบเทียบคอมโพสิตของยางธรรมชาติที่มีการเติมบิสมัทออกไซด์ออกไซด์ และตะกั่วออกไซด์เป็นสารกำบังรังสีต่อสมบัติการลดทอนรังสีเอ็กซ์ (X-ray attenuation) ของคอมโพสิตของยางธรรมชาติ

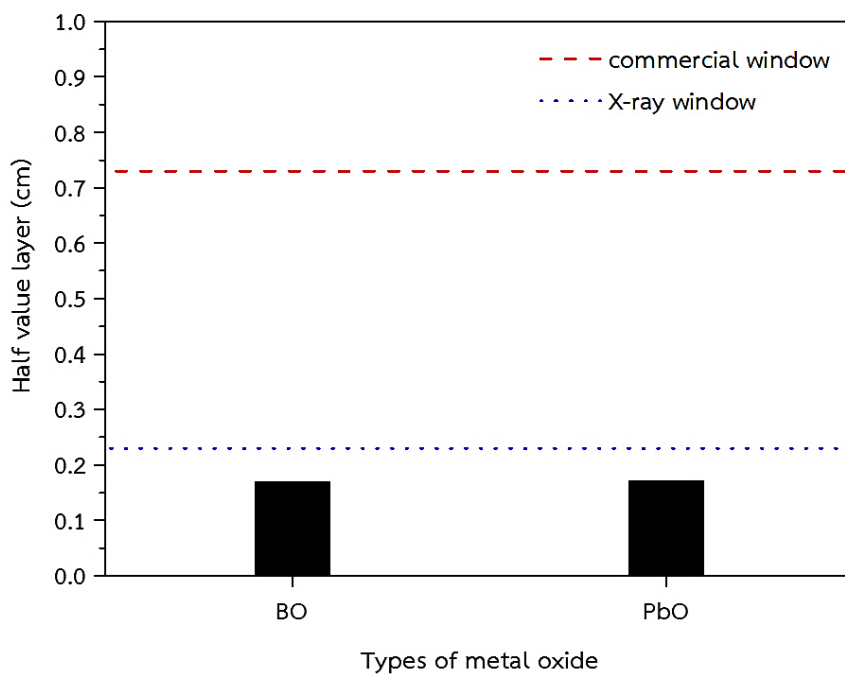
ผลการทดลองความสัมพันธ์ระหว่างชนิดของสารที่ทำหน้าที่ในการกำบังรังสีเปรียบเทียบระหว่างสารประกอบออกไซด์ และตะกั่วในยางธรรมชาติ ต่อความสามารถในการลดทอนรังสีเอ็กซ์ของคอมโพสิตของยางธรรมชาติ แสดงในรูปที่ 4.53-4.55



รูปที่ 4.53 สัมประสิทธิ์การลดทอนรังสีเชิงเส้นของการเปรียบเทียบคอมโพสิตของยางธรรมชาติที่มีการเติมบิสมัทออกไซด์ และตะกั่วออกไซด์เป็นสารกำบังรังสี ทดสอบด้วยรังสีเอ็กซ์ที่พลังงาน 50-120 kVp



รูปที่ 4.54 ความหนาครึ่งค่า และความหนาเทียบเท่าตะกั่วของการเปรียบเทียบคอมโพสิตของยางธรรมชาติที่มีการเติมบิสมัทออกไซด์ และตะกั่วออกไซด์เป็นสารกำบังรังสี ทดสอบด้วยรังสีเอ็กซ์ที่พลังงาน 120 kVp



รูปที่ 4.55 เปรียบเทียบความหนาครึ่งค่าของการเปรียบเทียบคอมโพสิตของยางธรรมชาติที่มีการเติมบิสมัทออกไซด์ และตะกั่วออกไซด์เป็นสารกำบังรังสี กับกระจกเชิงพาณิชย์ และกระจกกำบังรังสีเอ็กซ์ ทดสอบด้วยรังสีเอ็กซ์ที่พลังงาน 120 kVp

รูปที่ 4.53 แสดงสัมประสิทธิ์การลดทอนรังสีเชิงเส้นของการเปรียบเทียบคอมโพสิตของยางธรรมชาติที่มีการเติมบิสมัทออกไซด์ และตะกั่วออกไซด์เป็นสารกำบังรังสี ทำการทดสอบด้วยรังสีเอ็กซ์ที่มีพลังงาน 50-120 กิโลโวลต์สูงสุดซึ่งเป็นพลังงานช่วงที่ใช้ในงานด้านรังสีวินิจฉัย จากรูปจะเห็นได้ว่า คอมโพสิตของยางธรรมชาติที่มีการเติมบิสมัทออกไซด์ และคอมโพสิตของยางธรรมชาติที่มีการเติมตะกั่วออกไซด์มีค่าสัมประสิทธิ์การลดทอนรังสีเชิงเส้นที่ใกล้เคียงกันเป็นผลมาจากธาตุบิสมัท และตะกั่วที่เป็นส่วนประกอบของบิสมัทออกไซด์ และตะกั่วออกไซด์ ตามลำดับที่มีเลขอะตอมใกล้เคียงกันแสดงว่า คอมโพสิตของยางธรรมชาติที่มีการเติมบิสมัทออกไซด์ และคอมโพสิตของยางธรรมชาติที่มีการเติมตะกั่วออกไซด์สามารถลดทอนรังสีเอ็กซ์ได้เช่นเดียวกัน

รูปที่ 4.54 แสดงค่าความหนาครึ่งค่า และความหนาเทียบเท่าตะกั่วของการเปรียบเทียบคอมโพสิตของยางธรรมชาติที่มีการเติมบิสมัทออกไซด์ และตะกั่วออกไซด์เป็นสารกำบังรังสี ทำการทดสอบด้วยรังสีเอ็กซ์พลังงาน 120 กิโลโวลต์สูงสุด จากรูปจะเห็นได้ว่า คอมโพสิตของยางธรรมชาติที่มีการเติมบิสมัทออกไซด์ และคอมโพสิตของยางธรรมชาติที่มีการเติมตะกั่วออกไซด์มีความหนาครึ่งค่าที่ใกล้เคียงกันแสดงว่า คอมโพสิตของยางธรรมชาติที่มีการเติมบิสมัทออกไซด์ หรือตะกั่วออกไซด์ที่มีความหนาประมาณ 0.18 เซนติเมตร คอมโพสิตของยางธรรมชาติสามารถลดทอนความเข้มของรังสีลงครึ่งหนึ่งจากความเข้มของรังสีเดิม และคอมโพสิตของยางธรรมชาติทั้งสองชนิดที่มีความหนา 13 มิลลิเมตรสามารถลดทอนรังสีได้เทียบเท่าตะกั่วหนาประมาณ 0.8 มิลลิเมตร

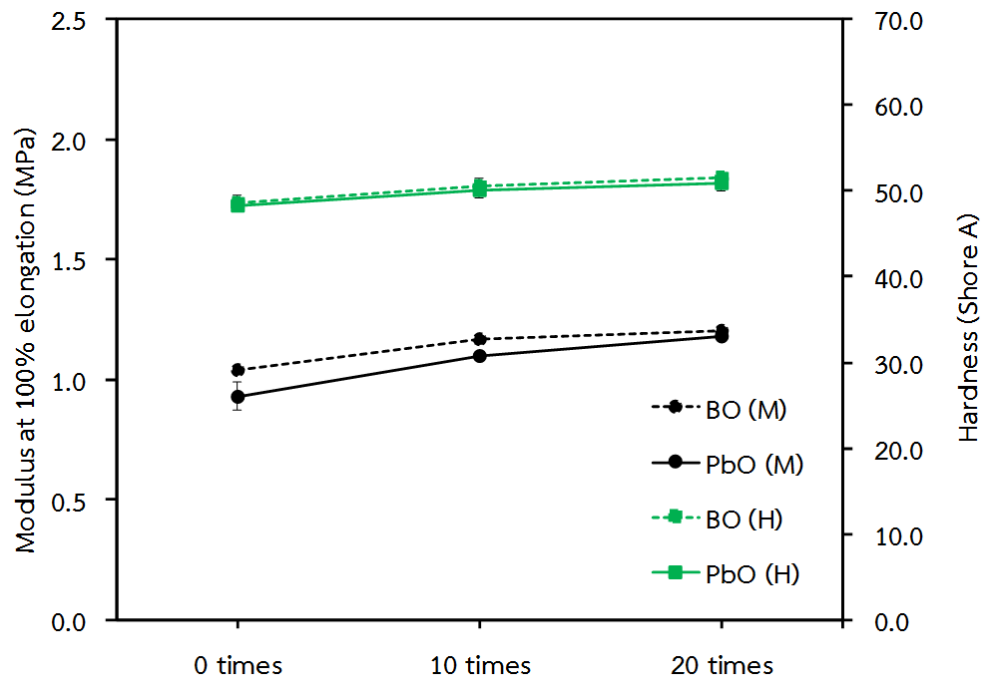
นำค่าความหนาครึ่งค่าของคอมโพสิตของยางธรรมชาติที่มีการเติมบิสมัทออกไซด์ และคอมโพสิตของยางธรรมชาติที่มีการเติมตะกั่วออกไซด์เปรียบเทียบกับกระจกเชิงพาณิชย์ และกระจกกำบังรังสีเอ็กซ์พบว่า คอมโพสิตของยางธรรมชาติที่มีการเติมบิสมัทออกไซด์ และคอมโพสิตของยางธรรมชาติที่มีการเติมตะกั่วออกไซด์มีความหนาครึ่งค่าที่น้อยกว่ากระจกเชิงพาณิชย์ และกระจกกำบังรังสีเอ็กซ์แสดงว่า คอมโพสิตของยางธรรมชาติที่มีการเติมบิสมัทออกไซด์ หรือตะกั่วออกไซด์ปริมาณ 150 ส่วนโดยร้อยละเมื่อเทียบกับยางสามารถกำบังรังสีเอ็กซ์ได้ดีกว่ากระจกเชิงพาณิชย์ และกระจกกำบังรังสีเอ็กซ์ สังเกตได้จากรูปที่ 4.55 ดังนั้นจากผลการทดลองทางด้านรังสีแกมมา และรังสีเอ็กซ์จึงสามารถสรุปได้ว่า คอมโพสิตของยางธรรมชาติที่มีการเติมบิสมัทออกไซด์ สามารถนำมาใช้เป็นวัสดุกำบังรังสีที่มีความยืดหยุ่น ทดแทนวัสดุกำบังรังสีที่มีส่วนผสมของตะกั่วได้

4.4.6 ผลของการทดสอบสมบัติเชิงกลหลังผ่านการกำบังรังสีที่มีการฉายรังสีซ้ำ 10 และ 20 ครั้งของคอมโพสิตของยางธรรมชาติที่มีการเติมบิสมาท์ออกไซด์ออกไซด์ และตะกั่วออกไซด์เป็นสารกำบังรังสี

ในขั้นตอนนี้จะเป็นการเปรียบเทียบสมบัติเชิงกลของพิจารณาสมบัติเชิงกล และสมบัติด้านการลดทอนรังสีของคอมโพสิตของยางธรรมชาติที่มีการเติมบิสมาท์ออกไซด์ และตะกั่วออกไซด์ที่ปริมาณ 150 ส่วนโดยร้อยละเมื่อเทียบกับยาง โดยทำการฉายรังสี 10 และ 20 ครั้ง ครั้งละ 100 วินาที โดยการใช้มุมในการกระเจิงแสง 0° ซึ่งมีค่าพลังงานเท่ากับ 662 กิโลอิเล็กตรอนโวลต์ซึ่งผลการทดลองสมบัติเชิงกลหลังได้รับรังสีของคอมโพสิตของยางธรรมชาติที่มีการเติมโลหะออกไซด์เป็นสารกำบังรังสีแสดงในตารางที่ 4.31-4.33 และรูปที่ 4.56-4.58

ตารางที่ 4.32 มอดูลัสที่ระยะยืด 100% และความแข็ง หลังผ่านการกำบังรังสีที่มีการฉายรังสีซ้ำ 10 และ 20 ครั้งของคอมโพสิตของยางธรรมชาติที่มีการเติมบิสมาท์ออกไซด์ และตะกั่วออกไซด์เป็นสารกำบังรังสี

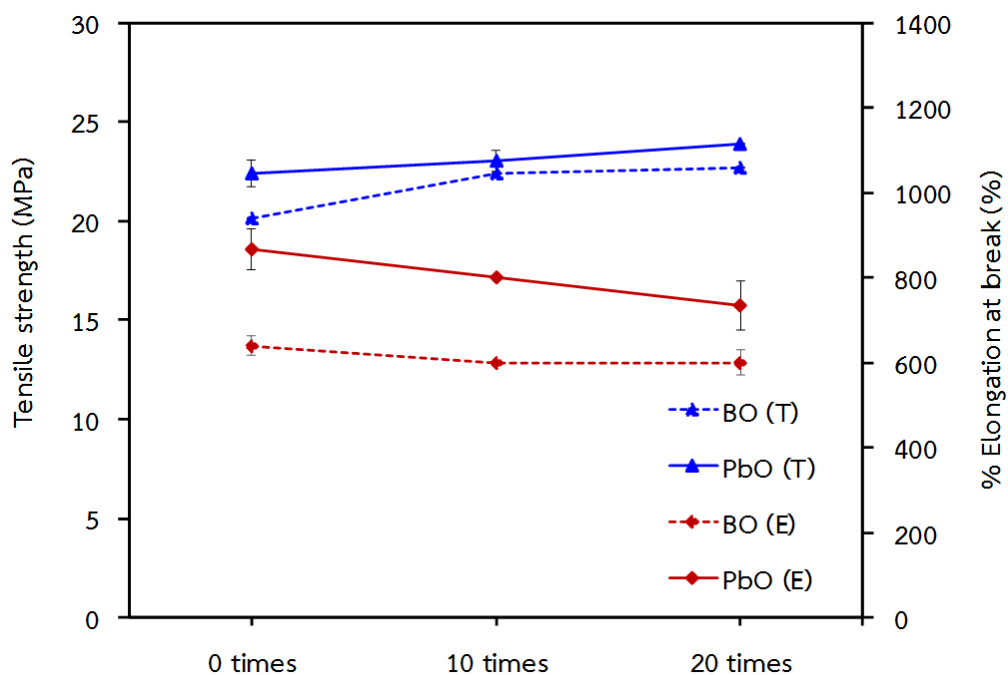
Radiation shielding (times)	BO		PbO	
	Modulus at 100% elongation (MPa)	Hardness (Shore A)	Modulus at 100% elongation (MPa)	Hardness (Shore A)
0	1.04 ±0.01	48.60 ±0.84	0.93 ±0.06	48.20 ±0.40
10	1.17 ±0.02	50.50 ±1.00	1.10 ±0.01	50.00 ±0.82
20	1.20 ±0.01	51.50 ±0.58	1.18 ±0.00	50.90 ±0.96



รูปที่ 4.56 มอดุลัสที่ระยะยืด 100% และความแข็ง หลังผ่านการกำบังรังสีที่มีการฉายรังสีซ้ำ 10 และ 20 ครั้งของคอมโพสิตของยางธรรมชาติที่มีการเติมบิสมัทออกไซด์ และตะกั่วออกไซด์เป็นสารกำบังรังสี

ตารางที่ 4.32 ความต้านทานต่อแรงดึง และระยะยืด ณ จุดขาด หลังผ่านการกำบังรังสีที่มีการฉายรังสีซ้ำ 10 และ 20 ครั้งของคอมโพสิตของยางธรรมชาติที่มีการเติมบิสมัทออกไซด์ และตะกั่วออกไซด์ เป็นสารกำบังรังสี

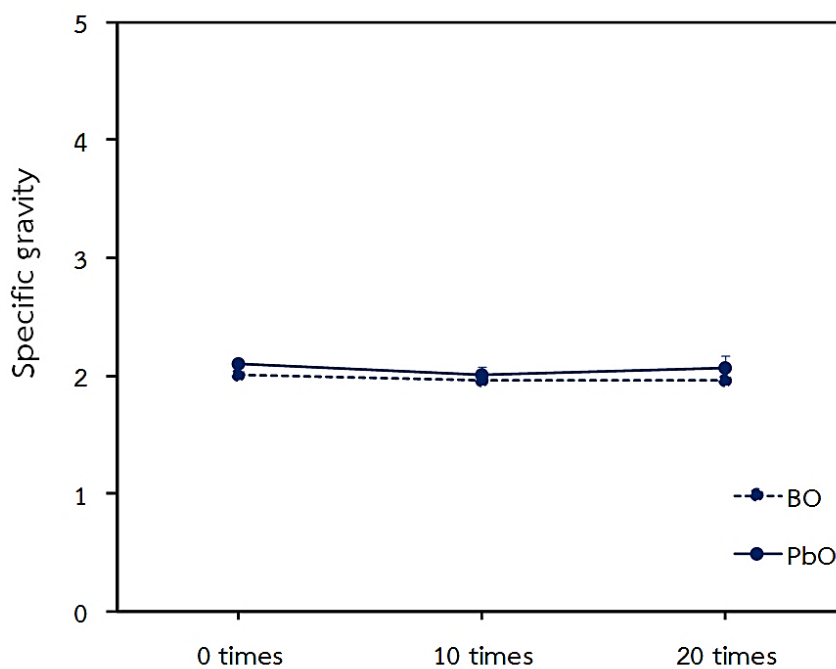
Radiation shielding (times)	BO		PbO	
	Tensile strength (MPa)	Elongation at break (%)	Tensile strength (MPa)	Elongation at break (%)
0	20.13 ±0.01	640.00 ±22.00	22.41 ±0.68	867.00 ±47.00
10	22.42 ±0.02	600.00 ±0.00	23.01 ±0.52	800.00 ±0.00
20	22.69 ±0.01	600.00 ±30.00	23.89 ±0.01	733.00 ±57.74



รูปที่ 4.57 ความต้านทานต่อแรงดึง และระยะยืด ณ จุดขาด หลังผ่านการกำบังรังสีที่มีการฉายรังสีซ้ำ 10 และ 20 ครั้งของคอมโพสิตของยางธรรมชาติที่มีการเติมบิสมัทออกไซด์ และตะกั่วออกไซด์ เป็นสารกำบังรังสี

ตารางที่ 4.34 ความถ่วงจำเพาะ หลังผ่านการกำบังรังสีที่มีการฉายรังสีซ้ำ 10 และ 20 ครั้งของคอมโพสิตของยางธรรมชาติที่มีการเติมบิสมาท์ออกไซด์ และตะกั่วออกไซด์เป็นสารกำบังรังสี

Radiation shielding (times)	Specific gravity	
	BO	PbO
0	2.004 ±0.050	2.100 ±0.007
10	1.964 ±0.003	2.013 ±0.062
20	1.966 ±0.011	2.066 ±0.105



รูปที่ 4.58 ความถ่วงจำเพาะ หลังผ่านการกำบังรังสีที่มีการฉายรังสีซ้ำ 10 และ 20 ครั้งของคอมโพสิตของยางธรรมชาติที่มีการเติมบิสมาท์ออกไซด์ และตะกั่วออกไซด์เป็นสารกำบังรังสี

ตารางที่ 4.35 ปริมาณการเชื่อมขวาง หลังผ่านการกำบังรังสีที่มีการฉายรังสีซ้ำ 10 และ 20 ครั้งของคอมโพลีเมอร์ของยางธรรมชาติที่มีการเติมบิสมาท์ออกไซด์ และตะกั่วออกไซด์เป็นสารกำบังรังสี

Times	Crosslink density ($\times 10^{-3}$ cm ² /g)	
	BO	PbO
0	2.63 \pm 0.00012	2.95 \pm 0.00026
10	2.84 \pm 0.00012	2.97 \pm 0.00019
20	2.90 \pm 0.00010	3.01 \pm 0.00047

จากผลการทดลองสมบัติเชิงกลในตารางที่ 4.31-4.33 และรูปที่ 4.56-4.58 จะเห็นได้ว่าผลการทดลองสมบัติเชิงกลทั้งหมดมีแนวโน้มไปในทิศทางเดียวกับหัวข้อที่ 4.1.6 กล่าวคือเมื่อคอมโพลีเมอร์ของยางธรรมชาติได้รับรังสีแกมมาทำให้สายโซ่โมเลกุลของยางมีโอกาสเกิดการปฏิกิริยาการเชื่อมขวางขึ้น ส่งผลให้มีปริมาณการเชื่อมขวางเพิ่มขึ้น สมบัติเชิงกลของคอมโพลีเมอร์ของยางธรรมชาติเพิ่มขึ้น ในขณะที่เดียวกันคอมโพลีเมอร์ของยางธรรมชาติจะมีความยืดหยุ่นลดลง ซึ่งเมื่อทำการเปรียบเทียบระหว่างยางธรรมชาติที่มีการเติมบิสมาท์ออกไซด์ และตะกั่วออกไซด์จะเห็นได้ว่าคอมโพลีเมอร์ของยางธรรมชาติที่มีการเติมตะกั่วออกไซด์ยังคงให้ความต้านทานต่อแรงดึงที่ดีกว่าคอมโพลีเมอร์ของยางธรรมชาติที่มีการเติมบิสมาท์ออกไซด์เนื่องจากการกระจายตัวที่ดีของตะกั่วออกไซด์และการกระจายตัวที่ต่ำกว่าของบิสมาท์ออกไซด์ในยางธรรมชาติยังส่งผลต่อความต้านทานต่อแรงดึงของคอมโพลีเมอร์ของยางธรรมชาติหลังผ่านการกำบังรังสีที่มีการฉายรังสีซ้ำ 10 และ 20 ครั้ง โดยหลังจากการกำบังรังสีความถ่วงจำเพาะของคอมโพลีเมอร์ของยางธรรมชาติไม่เปลี่ยนแปลง

ตะกั่วมีความเป็นพิษสูง ดังนั้นหากต้องการหาโลหะออกไซด์ที่สามารถนำมาเป็นวัสดุกำบังรังสีที่มีคุณสมบัติที่เทียบเท่ากับตะกั่ว บิสมาท์ออกไซด์จึงเหมาะที่จะนำมาใช้ทดแทนตะกั่วซึ่งคอมโพลีเมอร์ของยางธรรมชาติที่มีการเติมบิสมาท์ออกไซด์ให้สมบัติเชิงกลที่ดี และสามารถลดทอนปริมาณหรือกำบังรังสีได้เทียบเท่ากับคอมโพลีเมอร์ของยางธรรมชาติที่มีการเติมตะกั่วออกไซด์ และคอมโพลีเมอร์ของยางธรรมชาติที่มีการเติมโลหะออกไซด์มีสมบัติเชิงกลเพิ่มขึ้นได้อีกหลังผ่านการฉายรังสีซ้ำ 10 – 20 ครั้ง

บทที่ 5

สรุปผลการทดลอง

5.1 การศึกษาการเตรียมสูตรยางธรรมชาติผสมบิสมีท์ออกไซด์ โดยมีการแปรปริมาณของบิสมีท์ออกไซด์

ผลการศึกษาการเตรียมคอมโพสิตของยางธรรมชาติ ที่มีการเติมบิสมีท์ออกไซด์ที่ปริมาณ 0 10 20 40 80 120 และ 150 ส่วนโดยร้อยละเมื่อเทียบกับยางพบว่า เมื่อเพิ่มปริมาณของบิสมีท์ออกไซด์ ส่งผลให้สมบัติเชิงกลลดลง ความแข็ง และความถ่วงจำเพาะเพิ่มขึ้น ในทางกลับกันสมบัติในการลดทอนรังสีของคอมโพสิตของยางธรรมชาติเพิ่มขึ้น เมื่อเพิ่มปริมาณของบิสมีท์ออกไซด์ และเมื่อทำการเปรียบเทียบสมบัติการก้ำบั้งรังสีระหว่างคอมโพสิตของยางธรรมชาติที่มีการเติมบิสมีท์ออกไซด์ในปริมาณต่าง ๆ กับวัสดุก้ำบั้งรังสีพบว่า คอมโพสิตของยางธรรมชาติที่มีบิสมีท์ออกไซด์ปริมาณ 150 ส่วนโดยร้อยละเมื่อเทียบกับยางให้สมบัติทางด้านการก้ำบั้งรังสีที่ดีที่สุด และคอมโพสิตของยางธรรมชาติที่มีปริมาณบิสมีท์ออกไซด์เท่ากับ 80 120 และ 150 phr เป็นปริมาณที่เหมาะสมที่จะนำมาผลิตเป็นวัสดุก้ำบั้งรังสี นอกจากนี้คอมโพสิตของยางธรรมชาติที่เตรียมได้ เมื่อผ่านการฉายรังสีซ้ำ 10 ครั้ง และ 20 ครั้งจะมีความต้านทานต่อแรงดึงมีแนวโน้มเพิ่มขึ้น ตามลำดับ

5.2 การศึกษาการเตรียมสูตรยางธรรมชาติผสมสารตัวเติมสำหรับการก้ำบั้งรังสี โดยมีการแปรชนิดของสารตัวเติมสำหรับการก้ำบั้งรังสี

ผลการศึกษาการเตรียมคอมโพสิตของยางธรรมชาติที่มีการเติมสารตัวเติมสำหรับการก้ำบั้งรังสีเป็นสารก้ำบั้งรังสี โดยมีการแปรชนิดของสารตัวเติมสำหรับการก้ำบั้งรังสีได้แก่ แบริมคาร์บอนเนต บิสมีท์ออกไซด์ และแบริมซัลเฟตที่ปริมาณ 150 ส่วนโดยร้อยละเมื่อเทียบกับยางพบว่า คอมโพสิตของยางธรรมชาติที่มีการเติมบิสมีท์ออกไซด์ให้สมบัติเชิงกล และสมบัติการลดทอนรังสีที่ดีที่สุด นอกจากนี้เมื่อนำไปเปรียบเทียบกับวัสดุก้ำบั้งรังสีชนิดต่าง ๆ คอมโพสิตของยางธรรมชาติที่มีการเติมบิสมีท์ออกไซด์สามารถก้ำบั้งรังสีได้ดีกว่าทุกวัสดุก้ำบั้งรังสีที่นำมาเปรียบเทียบ

5.3 การศึกษาผลการเตรียมคอมโพสิตของยางธรรมชาติ โดยมีการแปรชนิดของยางธรรมชาติที่มีการเติมบิสมีท์ออกไซด์เป็นสารก้ำบั้งรังสี

ผลการศึกษาการเตรียมคอมโพสิตของยางธรรมชาติที่มีการเติมบิสมีท์ออกไซด์ที่ปริมาณ 80 ส่วนโดยร้อยละเมื่อเทียบกับยาง โดยมีการแปรชนิดของยางธรรมชาติได้แก่ ยางธรรมชาติที่ไม่ผ่านการดัดแปรโมเลกุล ยางธรรมชาติอีพอกไซด์ที่มีอีพอกไซด์ร้อยละ 25 โดยโมล และยางธรรมชาติ

อิพอกไซด์ที่มีอิพอกไซด์ร้อยละ 50 พบว่า ยางธรรมชาติอิพอกไซด์ที่มีอิพอกไซด์ร้อยละ 25 โดยโมลที่มีการเติมบิสหมัทออกไซด์ให้สมบัติเชิงกลที่ดีที่สุด และชนิดของยางธรรมชาติไม่มีผลต่อการลดทอนรังสีของคอมโพสิตของยางธรรมชาติ ผลการเปรียบเทียบคอมโพสิตของยางธรรมชาติกับวัสดุกำบังรังสีแกมมาพบว่า คอมโพสิตของยางธรรมชาติที่มีการเติมบิสหมัทออกไซด์ที่ปริมาณ 80 ส่วนโดยร้อยละ เมื่อเทียบกับยางสามารถกำบังรังสีได้ดีกว่ากระจกเชิงพาณิชย์ และสามารถกำบังรังสีได้น้อยกว่าเซอร์เพนไทน์ คอนกรีต และเฮมาไทด์-เซอร์เพนไทน์ ในขณะที่เดียวกันคอมโพสิตของยางธรรมชาติที่มีการเติมบิสหมัทออกไซด์ที่ปริมาณ 80 ส่วนโดยร้อยละเมื่อเทียบกับยางสามารถกำบังรังสีเอ็กซ์ได้ดีกว่าวัสดุกำบังรังสีทุกชนิดที่นำมาเปรียบเทียบ นอกจากนี้คอมโพสิตของยางธรรมชาติที่เตรียมได้ เมื่อผ่านการฉายรังสีจะมีความต้านทานต่อแรงดึงเพิ่มขึ้น

5.4 การศึกษาผลการเปรียบเทียบคอมโพสิตของยางธรรมชาติที่มีการเติมบิสหมัทออกไซด์ หรือ ตะกั่วออกไซด์เป็นสารกำบังรังสี

ผลการศึกษาการเปรียบเทียบคอมโพสิตของยางธรรมชาติที่มีการเติมบิสหมัทออกไซด์ และตะกั่วออกไซด์ที่ปริมาณ 150 ส่วนโดยร้อยละเมื่อเทียบกับยางพบว่า คอมโพสิตของยางธรรมชาติที่มีการเติมตะกั่วออกไซด์ให้สมบัติเชิงกลที่ดีกว่า และคอมโพสิตของยางธรรมชาติที่มีการเติมบิสหมัทออกไซด์ และตะกั่วออกไซด์ให้สมบัติการลดทอนรังสีที่ไม่ต่างกัน เมื่อนำไปเปรียบเทียบกับวัสดุกำบังรังสีชนิดต่าง ๆ พบว่า คอมโพสิตของยางธรรมชาติที่มีการเติมบิสหมัทออกไซด์ และตะกั่วออกไซด์มีประสิทธิภาพในการกำบังรังสีได้ดีกว่าวัสดุกำบังรังสีทุกชนิดที่นำมาเปรียบเทียบ ถึงอย่างไรก็ตาม ตะกั่วมีความเป็นพิษสูงซึ่งเป็นอันตรายต่อร่างกาย และสิ่งแวดล้อม ถ้าหากคำนึงถึงความปลอดภัยในการใช้งานคอมโพสิตของยางธรรมชาติที่มีการเติมตะกั่วออกไซด์จึงไม่เหมาะสมอย่างยิ่งที่จะนำมาผลิตเป็นวัสดุที่สัมผัสกับผิวหนัง ดังนั้นคอมโพสิตของยางธรรมชาติที่มีการเติมบิสหมัทออกไซด์เหมาะสมที่สุดที่จะนำมาผลิตเป็นวัสดุกำบังรังสีที่มีความยืดหยุ่น นอกจากนี้คอมโพสิตของยางธรรมชาติที่เตรียมได้ เมื่อผ่านการฉายรังสีจะมีความต้านทานต่อแรงดึงเพิ่มขึ้น

สภาวะที่เหมาะสมในการเตรียมคอมโพสิตของยางธรรมชาติสำหรับการกำบังรังสีคือ ยางธรรมชาติที่มีการเติมบิสหมัทออกไซด์ 150 ส่วนโดยร้อยละเมื่อเทียบกับยางให้สมบัติเชิงกลสูงพอที่จะนำมาผลิตเป็นวัสดุกำบังรังสีที่มีความยืดหยุ่นสูง และสามารถกำบังรังสีแกมมา และรังสีเอ็กซ์ได้อย่างมีประสิทธิภาพ โดยคอมโพสิตของยางธรรมชาติที่มีการเติมบิสหมัทออกไซด์ปริมาณ 150 ส่วนโดยร้อยละเมื่อเทียบกับยางสามารถกำบังรังสีแกมมาได้ดีกว่ากระจกเชิงพาณิชย์ และสามารถกำบังรังสีได้น้อยกว่าเซอร์เพนไทน์ คอนกรีต และเฮมาไทด์-เซอร์เพนไทน์ นอกจากนี้ยังสามารถกำบังรังสีเอ็กซ์ได้ดีกว่ากระจกเชิงพาณิชย์ และกระจกกำบังรังสีเอ็กซ์

บรรณานุกรม

- [1] บุญรักษ์ กาญจนวรวณิชย์. 2552. แผ่นเส้นใยนาโนคอมโพสิตป้องกันรังสีเอ็กซ์. ศูนย์เทคโนโลยีโลหะ และวัสดุแห่งชาติ: กรุงเทพฯ.
- [2] M. Finnerty and P. Brennan. 2005. Protective aprons in imaging departments: manufacturer stated lead equivalence values require validation. *Radiology* 15: 1477–1484.
- [3] K. Lambert and T. McKeon. 2001. Inspection of lead aprons: criteria for rejection. *Health Physical* 80: 67–69.
- [4] ศูนย์การเรียนรู้อุตสาหกรรมเหมืองแร่. 2011. ตะกั่ว. กรมอุตสาหกรรมพื้นฐานและการเหมืองแร่ กระทรวงอุตสาหกรรม. กรุงเทพฯ.
- [5] G. Flora, D. Gupta and A. Tiwari. 2012. Toxicity of lead: a review with recent updates. *Toxicology* 5: 47–58.
- [6] กุลธิดา ถาวรกิจการ และกิจชัย ศิริวัฒน์. 2542. พิษจากโลหะตะกั่ว. ศูนย์ข้อมูลพิษวิทยา. กรุงเทพฯ.
- [7] บทความสมาคมนิวเคลียร์แห่งประเทศไทย. 2550. ทอเรียมไดออกไซด์. สมาคมนิวเคลียร์แห่งประเทศไทย. <http://www.nst.or.th/article/article494/article49409.htm> (สืบค้นเมื่อ 2 พฤษภาคม 2561)
- [8] J. Chayanit and W. Doonyapong. 2014. Innovative neutron shielding material composing of natural rubber-styrene butadiene rubber blends and diboron trioxide. Chulalongkorn University. <http://uir.car.chula.ac.th/handle/123456789/45903> (accessed 2 May 2018)
- [9] ทิวาวัลย์ อธิชาติกุล, นพวรรณ ชัญญพานิช, วิทิต ผึ้งกัน และชลดา สุวรรณบุรณ์. 2560. สัมประสิทธิ์การลดทอนรังสีเอ็กซ์ของแผ่นคอมโพสิต Pu/BaSO₄. *วารสารวิชาการพระจอมเกล้าพระนครเหนือ* 27(1): 159–168.

- [11] K.Kalayanee , S.Lek, B.Tripob and N.Sompong. 2008. Ferrite-STR 5L Rubber Composites as Gamma Radiation shildings. *Khon Kaen University research journal* 13(2): 269—271.
- [12] วราภรณ์ ขจรไชยกูล. 2549. ยางธรรมชาติ: การผลิต และการใช้งาน. สำนักกองทุนสนับสนุนงานวิจัย (สกว.). <http://www.electron.rmutphysics.com/sciencenews> (สืบค้นเมื่อ 19 มกราคม 2561)
- [13] บทความศูนย์เทคโนโลยีโลหะและวัสดุแห่งชาติ. 2550. ถาม-ตอบปัญหาวัสดุศาสตร์. ศูนย์เทคโนโลยีโลหะและวัสดุแห่งชาติ. <https://www.mtec.or.th/academic-services/mtec-question-answer/1950> (สืบค้นเมื่อ 2 พฤษภาคม 2561)
- [14] สารานุกรมไทยสำหรับเยาวชนฯ. 2015. รังสี และประเภทของรังสี. มหาวิทยาลัยมหิดล. <http://www.mt.mahidol.ac.th/elearning/instrumentation/radiation.htm> (สืบค้นเมื่อ 2 พฤษภาคม 2561)
- [15] การเรียนรู้วิทยาศาสตร์โลก และอวกาศ. 2003. คลื่นแม่เหล็กไฟฟ้า. พิสิทธ์ราชมงคล <http://www.rumtphysics.com/physicsoldfront/100/2/emw1.htm> (สืบค้นเมื่อ 2 พฤษภาคม 2561)
- [16] นายธีรพงษ์ แสงสิทธิ์. 2008. กัมมันตรังสี. <http://nakhamwit.ac.th/Content.html> (สืบค้นเมื่อ 2 พฤษภาคม 2561)
- [17] ผศ.ปรียา อนุพงษ์องอาจ. 2008. รังสีเอ็กซ์. ภาควิชาฟิสิกส์ คณะวิทยาศาสตร์ มหาวิทยาลัยรังสิต. <http://www.rmutphysics.com/physics/quantum19.htm> (สืบค้นเมื่อ 2 พฤษภาคม 2561)
- [18] นางสาวเจือทิพย์ ภูริจิตราวรงค์, นางสาวสาวิตรี จันทร์สอน และนางสาวสุภาพร ศรีสุวรรณ. 2551. รังสี คือ อะไร. มหาวิทยาลัยมหิดล. http://www.mt.mahidol.ac.th/e-learning/instrumentation/NMP_chap1_47/page/2_radiation.htm (สืบค้นเมื่อ 2 พฤษภาคม 2561)
- [19] อนุกรรมการความปลอดภัยทางรังสี. 2555. อันตรายของรังสี. แนวทางปฏิบัติเพื่อความปลอดภัยทางรังสี. หน้า 6—12. กรุงเทพมหานคร: ทองสุขพันธ์.

- [20] อาจารย์มลลณี. 2560. ความรู้พื้นฐานด้านความปลอดภัยทางรังสี สำหรับผู้ปฏิบัติงานกับเครื่องกำเนิดรังสีและสารกัมมันตรังสี. <http://www.si.mahidol.ac.th/th/division/admin/news.pdf> (สืบค้นเมื่อ 4 พฤษภาคม 2561)
- [21] ประชุมการควบคุมคุณภาพการวินิจฉัยด้วยเอ็กซเรย์. 2553. หลักการปฏิบัติให้ได้รับปริมาณรังสีให้ได้น้อยที่สุด. โรงพยาบาลมนารมย์. <https://www.gotoknow.org/posts/387359> (สืบค้นเมื่อ 4 พฤษภาคม 2561)
- [22] ชวลิต วงษ์เอก. 2550. Interaction of radiation with matter. มหาวิทยาลัยมหิดล. <http://www.coshem.mahidol.ac.th/downloads/RadiationTrainingDay1/อันตรกิริยาของรังสี.ชวลิต.pdf> (สืบค้นเมื่อ 4 พฤษภาคม 2561)
- [23] P.Yasaka, N.Pattanaboonmee, HJ.Kim, P.Limkitjaroenporn and J.Kaewkhao. 2014. Gamma radiation shielding and optical properties measurement of zine bismuth borate glasses. *Annals of Nuclear Energy* 68: 4–9.
- [24] K.Kridsiri, J.Kaewkhao, A.Pokaipisit, W.Chewpraditkul and P. Limsuwan. 2009. Gamma-rays shielding properties of xPbO(100-x) B₂O₃ glasses system at 662 keV. *Annals of Nuclear Energy* 36: 1360–1365.
- [25] สายทอง กังทอง. 2556. การสังเคราะห์แก้วบอโรซิลิเกตจากซีเถ้าเคลบสำหรับประยุกต์ใช้เป็นแก้วกำบังรังสี. วิทยาศาสตร์บัณฑิต ภาควิชาเคมี คณะวิทยาศาสตร์และเทคโนโลยี มหาวิทยาลัยราชภัฏนครปฐม.
- [26] D. Hull and T.W. Clyne. 1996. An introduction to composite materials. Cambridge University. www.book.google.co.th (accessed 2 January 2018)
- [27] K. K. Chawla. 2001. Fibrous Reinforcements for composites: Overview. in *Encyclopedia of Materials*. 3160–3167. Amsterdam: Elsevier.
- [28] ทฤทท์ กิรติเสวี, ฉัตรชัย วีระนิติสกุล และอภิรัตน์ เล่าห์บุตรี. 2010. ภาพรวมของวัสดุเชิงประกอบ (An Overview of Composite Materials). *วิศวกรรมสาร* 22(70): 18–19.
- [29] thai composites. 2547. นิยามของวัสดุคอมโพสิต. Thai composites. http://www.thaitechno.net/knowledge_detail.php (สืบค้นเมื่อ 3 พฤษภาคม 2561)

- [30] H.Y.Chen, J.Wang, P.Y.Ma, J.Liang, L.Xiang. 2015. Influence of hydroxylation on fabrication of PVC/CaSO₄ composites. *Applied Surface Science* 357: 2320–2326.
- [31] ผศ. ดร. สุปรานี แก้วภิรมย์ และผศ. ดร. ศิริเดช บุญแสง. 2016. คอมโพสิตร์กษสังแวดล้อมจากพอลิแลคติกแอซิดและเส้นใยสับปะรด. รายงานวิจัยฉบับสมบูรณ์, ภาควิชาวิศวกรรมไฟฟ้า คณะวิศวกรรมศาสตร์ และสถาบันเทคโนโลยีพระจอมเกล้าเจ้าคุณทหารลาดกระบัง.
- [32] S. Tang, J. Deng and S. Wang and W. Liu. 2007. Fabrication and characterization of an ultrahigh-temperature carbon fiber-reinforced ZrB₂-SiC matrix composite. *American Ceramic Society* 90: 3320–3322.
- [33] F. Yang, X. Zhang, J. Han and S. Du. 2008. Preparation and properties of ZrB₂-SiC ceramic composites reinforced by carbon nanotubes. *Inorganic Materials* 23: 950–954.
- [34] F. Yang, X. Zhang, J. Han and S. Du. 2008. Characterization of hot-pressed short carbon fiber reinforced ZrB₂-SiC ultra- high temperature ceramic composites. *Alloys and Compounds* 472: 395–399.
- [35] W.Yiguang, L.Wen, C.Laifei and Z.Litong. 2009. Preparation and Properties of 2D C/ZrB₂-SiC ultrahigh temperature. *Materials Science and Engineering* 524: 129–131.
- [36] C.Pengcheng, J.Siyi, C.Yanhui and R.Pinggen. 2018. Improved fracture toughness of CNTs/SiC composites by HF treatment. *Alloys and Compounds* 73: 42–46.
- [37] AR.Bhattacharyya, TV.Sreekumar, T.Liu, S. Kumar, LM. Erieson, RH. Hauge. 2003. Crystallization and orientation studies in polypropylene/ single walled carbon nanotubes composites. *Polymer* 44(8): 2373–2377.
- [38] T.Y. Zhou, Gary C.P. Tsui, J.Z. Liang, S.Y. Zou, C.Y. Tang, Vesna Miskovic-Stankovic. 2016. Thermal properties and thermal stability of PP/MWCNT composites. *Composites Part B*. 90: 107–114.
- [39] P.L. Teh, M. Jaafar, H.M. Akil. 2018. Factors of the use of fused silica, glass powder and silica minerals in epoxy (epoxy) on dynamic properties. *Polymer. advanced technology* 19: 308–315.

- [40] S. Zhang, X.Y. Cao, Y.M. Ma. 2011. Conducted thermal conductivity, impact and tensile tests on Al₂O₃/high density polyethylene (HDPE) composites. *Express polymer* 5: 581–590.
- [41] M. A. Onitiri, E.T. Akinlabi. 2018. Thermal conductivity and impact properties of iron ore tailings filled epoxy composites. *Proceedings* 5: 79–83.
- [42] รังสิมา ทัญตสอน, นฤมล เครื่ององอาจกุล, สุพจน์ โชติวรรณ และวิวรรณ ธรรมมงคล. 2002. HDPE ผสมไมก้าหรือทาวคัม: สมบัติการแพร่ผ่านของแก๊สออกซิเจน และสมบัติเชิงกล. *วารสารวิชาการพระจอมเกล้าพระนครเหนือ* 12(3): 48–56.
- [43] K.Sing. 2002. Gamma-ray attenuation coefficients in bismuth borate glasses. *Nuclear and Methods in Physics Research B* 194: 1–6.
- [44] P.Kamonpan, C.Nipaphat, C.Wittawat and R.Gobwute. 2005. Preparation of lead glass using as a radiation protected Material. *Science and Technology* 2(1): 41–50.
- [45] ดนุพร ตันนโยภาส, วิชัย นกแก้ว และชิตพล เอียดปาน. 2551. คุณลักษณะของคอนกรีตกำบังรังสีแกมมาผสมมวลรวมแบไรต์ และหินแกรไฟต์ดิบบด, การประชุมวิชาการทางวิศวกรรม ครั้งที่ 6. 10-12 พฤษภาคม 2551 ณ มหาวิทยาลัยสงขลานครินทร์. สงขลา: คณะวิศวกรรมศาสตร์ มหาวิทยาลัยสงขลานครินทร์.
- [46] K.Kalayanee , S.Lek, B.Tripob and N.Sompong. 2008. Ferrite-STR 5L Rubber Composites as Gamma Radiation shielding. *Khon Kaen University research journal* 13(2): 269–271.
- [47] นรินทร์ สิริกุลรัตน์. 2552. การเตรียม และวิเคราะห์ประสิทธิภาพการป้องกันรังสีของวัสดุผสมแก้ว-ยาง. วิทยานิพนธ์วิทยาศาสตรบัณฑิต, ภาควิชาฟิสิกส์ และวัสดุศาสตร์ คณะวิทยาศาสตร์ และมหาวิทยาลัยเชียงใหม่.
- [48] นพวรรณ ชัญญพานิชย์ และอุทุมมา มัชชะเนมมี. 2554. แผ่นเส้นใยนาโนคอมโพสิตป้องกันรังสีเอ็กซ์. การประชุมวิชาการวิทยาศาสตร์และเทคโนโลยีนิวเคลียร์ ครั้งที่ 12. 6-7 กรกฎาคม 2554 ณ โรงแรมแชงกรีลา กรุงเทพมหานคร.

- [49] กীরติกานต์ นิลทอง, เอกชัย วิมลมาลา, ณรงค์ฤทธิ์ สมบัติสมภพ และเกียรติศักดิ์ แสนบุญเรือง. 2560. วัสดุเชิงประกอบยางธรรมชาติผสมผงซีลี้อยไม้. การประชุมวิชาการมหาวิทยาลัยเกษตรศาสตร์ ครั้งที่ 54. 2-5 กุมภาพันธ์ 2559 ณ.มหาวิทยาลัยเกษตรศาสตร์: 287–294.
- [50] T. Ozdemira, A.Gungora, K. Akbaya, H.Uzuna and Y.Babuccuoglub. 2018. Nano lead oxide and epdm composite for development of polymer-based radiation shielding material: Gamma irradiation and attenuation tests. *Radiation Physics and Chemistry* 144: 248–255.
- [51] J.Johns, C.Nakason, A.Thitithammawong, P.Klinpituksa. 2012. Method to vulcanize natural rubber from medium ammonia latex by using glutaraldehyde. *Rubber chemistry and Technology* 85(4): 565–575.
- [52] โครงการพัฒนาอุตสาหกรรมยางคอมพาวด์เพื่อยกระดับมูลค่าผลิตภัณฑ์ เพื่อสนับสนุน อุตสาหกรรมยานยนต์ และเครื่องมือแพทย์. 2014. สถาบันพลาสติก. <http://rubber.oie.go.th/box/Article/25239/.pdf> (สืบค้นเมื่อ 29 เมษายน 2562)
- [53] K.Ninyong, E.Wimolmala, N.Sombatsompop, K. Saenboonruang, 2017. Potential use of NR and wood/NR composites as thermal neutron shielding materials. *Polymer Testing* 59: 336–343.
- [54] T. Donruedee, R. Anawat, P. Worawat, S. Kiadtisak, 2018. Flexible, lead-free, gamma-shielding material based on natural rubber/metal oxide composites. *Iranian Polymer* 27: 33–41.
- [55] S.H. El-Sabbagh, A.A. Yehia, 2007. Detection of crosslink density by difference methods for natural rubber blended with SBR and NBR. *Egyptian Journal of Solids* 30: 157–173.
- [56] READ. 2018. Bismuth Oxide Powder (Bi_2O_3). Reade International Corp. <https://www.reade.com/products/bismuth-oxide-powder-bi2o3> (accessed 29 April 2019)
- [57] วรวิทย์ จันทร์สุวรรณ. 2554. เลขอะตอม เลขมวลและไอโซโทป. BOONMAWONG WEB. <https://boonmawong.wordpress.com/> (สืบค้นเมื่อ 1 พฤษภาคม 2562)

- [58] Y. H. Lee, M. Cho, J.D. Nam, Y. Lee, 2018. Effect of ZnO particle sizes on thermal aging behavior of natural rubber vulcanizates. *Polymer Degradation and Stability* 148: 50–55.
- [59] CAMEO Chemicals. 2016. BARIUM CARBONATE. CAMEO Chemicals. <https://cameochemicals.noaa.gov/chemical/8302> (สืบค้นเมื่อ 24 มิถุนายน 2562)
- [60] Dr. Kamar Shah Ariffin. 2015. Barite (BARIUM). Mineral Perindustrian. <http://lidarmax.altervista.org/lidar/SCIE%20CHIMICHE/BARIO%20generici/Baryte.pdf> (สืบค้นเมื่อ 24 มิถุนายน 2562)
- [61] เสาวนีย์ ก่อวุฒิกุลรังษี และกนกวรรณ หัตถิยา. 2558. การใช้เยื่อกระดาษหนังสือพิมพ์เป็นสารตัวเติมในยางธรรมชาติ. มหาวิทยาลัยสงขลานครินทร์. <http://dmhost2.psu.ac.th/~rumpsu/index.php/psu-research> (สืบค้นเมื่อ 25 มิถุนายน 2562)
- [62] POLYTECH INDUSTRY Co., ltd. 2554. ยางธรรมชาติ. RUBBER. <http://polytech-rubber.blogspot.com/2011/07/rubber.html> (สืบค้นเมื่อ 25 มิถุนายน 2562)
- [63] READE Certifications. 2018. Litharge (Lead (II) Oxide), Lead Monoxide. READE. <https://www.reade.com/products/litharge-lead-ii-oxide-lead-monoxide> (สืบค้นเมื่อ 26 มิถุนายน 2562)

ภาคผนวก ก.

ค่าทอร์คสูงสุด (M_H), ค่าทอร์คต่ำสุด (M_L) และปริมาณการเชื่อมขวาง (torque differences; ΔM) ที่ได้จากเครื่องรีโอมิเตอร์แบบดายน์เคลื่อนที่ (moving die rheometer; MDR)

ตารางที่ 1ก ค่าทอร์คสูงสุด (M_H), ค่าทอร์คต่ำสุด (M_L) และปริมาณการเชื่อมขวาง (torque differences; ΔM) ของวัสดุคอมโพสิตยางธรรมชาติที่มีการแปรปริมาณของบิสมีทออกไซด์ที่แตกต่างกัน

BO contents (phr)	M_H (dNm)	M_L (dNm)	ΔM (dNm)
0	6.10	0.39	5.71
10	6.28	0.47	5.81
20	7.00	0.36	6.64
40	7.53	0.47	7.06
80	9.74	0.42	9.32
120	9.86	0.34	9.52
150	10.47	0.39	10.08

ตารางที่ 2ก ค่าทอร์คสูงสุด (M_H), ค่าทอร์คต่ำสุด (M_L) และปริมาณการเชื่อมขวาง (torque differences; ΔM) ของวัสดุคอมโพสิตยางธรรมชาติที่มีการแปรชนิดของสารกำบังรังสีที่แตกต่างกัน

Types of radiation shielding fillers	M_H (dNm)	M_L (dNm)	ΔM (dNm)
BC	10.05	0.71	9.34
BO	10.47	0.39	10.08
BS	10.24	0.29	9.95

ตารางที่ 3ก ค่าทอร์คสูงสุด (M_H), ค่าทอร์คต่ำสุด (M_L) และปริมาณการเชื่อมขวาง (torque differences; ΔM) ของวัสดุคอมโพสิตยางธรรมชาติที่มีการแปรชนิดของยางธรรมชาติ และเติมบิสมีทออกไซด์เป็นสารกำบังรังสี

Epoxide contents (%)	M_H (dNm)	M_L (dNm)	ΔM (dNm)
0	10.47	0.39	10.08
25	7.53	0.47	7.06
50	7.37	0.36	7.01

ตารางที่ 4ก ค่าทอร์คสูงสุด (M_H), ค่าทอร์คต่ำสุด (M_L) และปริมาณการเชื่อมขวาง (torque differences; ΔM) ของวัสดุคอมโพสิตยางธรรมชาติที่มีการเติมบิสฟีนอลเอ และตะกั่วออกไซด์ เป็นสารก้ำบั้งรังสี

Epoxide contents (%)	M_H (dNm)	M_L (dNm)	ΔM (dNm)
BO	10.47	0.39	10.08
PbO	10.15	0.31	9.84

ภาคผนวก ข.

ต้นฉบับบทความวิจัย

Intom S., Kalkornsuranee E., Johns J., Kotan S., Keawjang S., Hongtong W.,
Chaiphaksa W. and Kaewkhao J. 2018. Mechanical and radiation shielding
properties of flexible material based on natural rubber/ Bi_2O_3 composites

Manuscript Details

Manuscript number	RPC_2019_1331
Title	Mechanical and radiation shielding properties of flexible material based on natural rubber/ Bi ₂ O ₃ composites
Article type	Full Length Article

Abstract

The purpose of this investigation have been developed lead-free and flexible radiation shielding materials. Composites of natural rubber (NR) were prepared by incorporating bismuth oxide (Bi₂O₃) with various loading levels. The variation mechanical properties of the composite with different loading levels have been studied. The gamma ray shielding properties were measured with ¹³⁷Cs (662 keV) source by Compton scattering technique. The X-ray shielding characterization were measured with high frequency digital radiography X-ray machine Shimadzu model RAD Speed Pro. The results show that addition of Bi₂O₃ into natural rubber enhances the modulus at 100 % elongation, hardness and specific gravity of the composites, whereas tensile strength and elongation at break reduces. For gamma ray shielding properties, the experimental values of mass attenuation coefficients (μ_m), effective atomic number(Z_{eff}), effective electron densities (Ne) and lead equivalent of the NR composites were found to increase with the increasing of Bi₂O₃ concentrations, while these value were decrease with the increasing of photon energy from 223 keV to 662 keV. The half value layer (HVL) values of all samples were decreased with the increasing of Bi₂O₃ concentrations. The NR of 150 phr Bi₂O₃ composites found to be the lowest HVL values in comparison with commercial window, serpentine, ordinary concrete and hemimatite-serpentine. For X-ray shielding properties, the linear attenuation coefficient (μ) and lead equivalent (dPb) were increased with increased Bi₂O₃ add in NR and show the decreasing of X-ray energies range.

Keywords	Natural rubber composites, Bismuth oxides, Radiation shielding, X-ray, Gamma ray.
Taxonomy	Electrochemistry, Radiation Physics
Corresponding Author	Jakrapong Kaewkhao
Corresponding Author's Institution	Nakhon Pathom Rajabhat University
Order of Authors	Sirilak Intom, Ekwiipoo Kalkornsurapranee, Jobish Johns, Siriprapa Kaewjaeng, suchart kothan, Wirapron Hongtong, Wuttichai Chaiphaksa, Jakrapong Kaewkhao
Suggested reviewers	B. Eraiah, JAYASANKAR C.K., juniastel rajagukguk

Submission Files Included in this PDF

File Name [File Type]

Cover Letter.docx [Cover Letter]
 Research Highlights.docx [Highlights]
 MUS Radiation.docx [Manuscript File]
 Fig.docx [Figure]
 Tables.docx [Table]

To view all the submission files, including those not included in the PDF, click on the manuscript title on your EVISE Homepage, then click 'Download zip file'.

From,

Date: 02/09/2019

Dr. Jakrapong Kaewkhao
Center of Excellence in Glass Technology and Materials Science,
Nakhon Pathom Rajabhat University,
Meuang, Nakhon Pathom, 73000, Thailand

To
Editor in Chief
Radiation Physics and Chemistry

I herewith sending our manuscript entitled: "Mechanical and radiation shielding properties of flexible material based on natural rubber/ Bi_2O_3 composites" for the publication in your reputed journal. The manuscript suits the standards as it discuss the radiation shielding properties of natural rubber.

Thanking You
Yours Sincerely,
Dr. Jakrapong Kaewkhao

Research Highlights

- Compton scattering technique were used to measure gamma-ray shielding properties with ^{137}Cs source.
- Enhancement in the radiation shielding properties were observed with addition of Bi_2O_3 in natural rubber.
- Addition of Bi_2O_3 content decreases half value layer (HVL).
- NR of 150 phr Bi_2O_3 composites found to be the lowest HVL values in comparison with commercial window

1
2
3
4 **Mechanical and radiation shielding properties of flexible material based on**
5 **natural rubber/ Bi₂O₃ composites**
6
7

8 Sirilak Intom^a, Ekwipoo Kalkornsuraanee^a, Jobish Johns^b, Siriprapa Kaewjaeng^c, Suchart Kothan^c,
9 Wirapron Hongtong^d, Wuttichai Chaiphaksa^{d,e}, **Jakrapong Kaewkhao^{d,e*}**
10

11
12 ^a *Department of Materials Science and Technology, Faculty of Science, Prince of Songkla University,*
13 *Hat-Yai, Thailand.*

14 ^b *R&D Center, Department of Physics, Rajarajeswari College of Engineering, Bangalore, INDIA.*

15 ^c *Department of Radiologic Technology, Faculty of Associated Medical Sciences, Chiang Mai*
16 *University, Chiang Mai, Thailand.*

17 ^d *Physics Program, Faculty of Science and Technology, Nakhon Pathom Rajabhat University, Nakhon*
18 *Pathom, Thailand.*

19 ^e *Center of Excellence in Glass Technology and Materials Science (CEGM), Nakhon Pathom*
20 *Rajabhat University, Nakhon Pathom, Thailand*
21

22
23 **ABSTRACT**
24

25
26 The purpose of this investigation have been developed lead-free and flexible radiation shielding
27 materials. Composites of natural rubber (NR) were prepared by incorporating bismuth oxide (Bi₂O₃)
28 with various loading levels. The variation mechanical properties of the composite with different
29 loading levels have been studied. The gamma ray shielding properties were measured with ¹³⁷Cs (662
30 keV) source by Compton scattering technique. The X-ray shielding characterization were measured
31 with high frequency digital radiography X-ray machine Shimadzu model RAD Speed Pro. The results
32 show that addition of Bi₂O₃ into natural rubber enhances the modulus at 100 % elongation, hardness
33 and specific gravity of the composites, whereas tensile strength and elongation at break reduces. For
34 gamma ray shielding properties, the experimental values of mass attenuation coefficients (μ_m),
35 effective atomic number (Z_{eff}), effective electron densities (N_e) and lead equivalent of the NR
36 composites were found to increase with the increasing of Bi₂O₃ concentrations, while these value
37 were decrease with the increasing of photon energy from 223 keV to 662 keV. The half value layer
38 (HVL) values of all samples were decreased with the increasing of Bi₂O₃ concentrations. The NR of
39 150 phr Bi₂O₃ composites found to be the lowest HVL values in comparison with commercial
40 window, serpentine, ordinary concrete and hemimatite-serpentine. For X-ray shielding properties, the
41 linear attenuation coefficient (μ) and lead equivalent (dPb) were increased with increased Bi₂O₃ add in
42 NR and show the decreasing of X-ray energies range.
43
44
45
46
47
48
49
50
51

52 **Keyword:** Natural rubber composites, Bismuth oxides, Radiation shielding, X-ray, Gamma ray.
53
54
55
56
57
58
59

60
61
62
63
64
65
66
67
68
69
70
71
72
73
74
75
76
77
78
79
80
81
82
83
84
85
86
87
88
89
90
91
92
93
94
95
96
97
98
99
100
101
102
103
104
105
106
107
108
109
110
111
112
113
114
115
116
117
118

1. Introduction

X-ray and gamma ray are used in industries, hospitals and laboratories for various purposes. Such types of radiations have significant side effects and hazardous to health. As a safety measure, radiation protection is desperately needed to avoid the exposure of radiation. Providing protection to human, animals and environment from high energy electromagnetic radiation is termed as radiation shielding. Various types of shielding materials with better radiation resistivity have been developed and reported in literature. Lead can be used as a common material for radiation shielding due to its low cost and high atomic number ($Z=82$). Highly energetic electromagnetic waves such as X-ray and gamma ray will be absorbed by materials with high atomic number or heavy metals. Absorption capacity of radiation is higher in cases of shielding material with higher atomic number. However, lead has several disadvantages such as heavy weight, easy to crack, harmful to human health and environment (Demayo et al., 1982; Ozdemira et al., 2018). Hence, researchers have attempted to develop alternative lead-free radiation shielding materials. Concrete is an example for lead-free shielding material which consists of barite, perlite and tungsten oxides (WO_3) (Topcu, 2003; Bektas et al., 2005; Tekin et al., 2017). Heavy-metal oxide glasses and borate glass system consisting of Bi_2O_3 (El-Khayatt, 2014; Kaewkhao, 2010). Radiation shielding materials are generally made up of concrete or glass with heavy weight and non-flexible. These are the drawbacks of using such materials in specific areas. In view of this, researchers have been developed flexible-lead free-radiation shielding materials by adding various compounds as fillers into a polymer matrix to shield or reduce energy of radiation. polyurethane/barium sulfate composites, STR 5L/ferried/carbon black composites and natural rubber/iron oxide (Fe_3O_4) composites are the complex materials reported in the literature (Tiwawn, 2017; Kalayance, 2008; Donruedee, 2018). However, radiation shielding materials are less flexible due to the brittle nature of synthetic polymers on incorporating with fillers.

In the present investigation, a lead-free, radiation protection at specific areas, flexible and lightweight shielding material based on natural rubber with addition various amount of bismuth oxide (Bi_2O_3). bismuth oxide has relatively high Z value ($Z=83$), high density, high melting point and available in the form of fine powder (Chanthima et al., 2017). Mechanical properties of the radiated shielding materials were investigated using tensile testing to determine modulus at 100%, tensile strength and elongation at break. In addition, specific gravity and hardness of radiation shielding materials are also investigated. The material developed can be used as a safe protective jacket by both the radiation workers and the patients during the medical exposure to minimize the exposure onto tissues and organs. For example: glove, apron, underwear and wristband for radiation shielding.

2. Materials and methods

2.1. Materials

The details of ingredients used to prepare composites of natural rubber are summarized in Table 1.

119
120
121
122
123
124
125
126
127
128
129
130
131
132
133
134
135
136
137
138
139
140
141
142
143
144
145
146
147
148
149
150
151
152
153
154
155
156
157
158
159
160
161
162
163
164
165
166
167
168
169
170
171
172
173
174
175
176
177

2.2. Preparation of composites

The mixtures of NR and other ingredients were prepared using an internal mixer (HAAK PolyLab OS, USA) at 60 °C with a rotor speed of 60 rpm. The preparation of composites consists of mastication and compounding. For mastication, NR was masticated in an internal mixer for 10 min. Further, ZnO, Stearic acid, TBBS, Bi₂O₃ and Sulfur were added into the masticated rubber for compounding and the mixing time was about 20-25 minutes. After compounding, cure time (t_{c90}) and torque differences were measured using moving die rheometer (MDR) and Vulcanization of rubber occurs during compression molding (LCC 140, Taiwan) at 150 °C.

2.3. Cure characteristics

The cure time (t_{c90}) and torque differences were evaluated using moving die rheometer (MDR type, Alpha RPA 2000, USA) according to ASTM D 5289 at a test temperature of 150 °C and test time 30 min. The cure time determined from rheometer was used to vulcanize NR composites in a compression molding.

2.4. Dispersion analysis

The nature of distribution of bismuth (Bi) particles in NR composites were studied by using an EDX spectrometer attached to scanning electron microscope (SEM Quanta 400 FEI, Netherland). The specimens were mounted on aluminum stubs using carbon tape and then coated with a thin layer of gold to prevent charging before scanning. The elemental composition of chemicals present in NR composites were calculated from two steps.

Step 1: Calculating the ratio of elements in percentage by Equation 1

$$\text{Ratio of element (\%)} = \frac{\text{Molecular weight of element}}{\text{Molecular weight of chemical}} \times 100 \quad (1)$$

Step 2: Calculating the ratio of elements in weight percentage by Equation 2

$$\text{Ratio of element (wt\%)} = \frac{\text{Ratio of element (\%)} \times \text{Ratio of chemical}}{100} \quad (2)$$

Where

$$\text{Ratio of chemical (wt\%)} = \frac{\text{phr of chemical}}{\text{phr}_{\text{total}}} \times 100 \quad (3)$$

2.5. Mechanical properties

The tensile properties such as modulus at 100 % elongation, ultimate tensile strength and elongation at break were measured using universal testing machine (Hounsfield, model H10KS, England) according to the ASTM D 412 method at a crosshead speed of 500 mm/min. The surface

178
179
180
181
182
183
184
185
186
187
188
189
190
191
192
193
194
195
196
197
198
199
200
201
202
203
204
205
206
207
208
209
210
211
212
213
214
215
216
217
218
219
220
221
222
223
224
225
226
227
228
229
230
231
232
233
234
235
236

hardness was tested using Shore A durometer (Frank GmbH, Hamburg, Germany) according to ASTM D 2240. The specific gravity (Mettler Toledo ML204, New Zealand) was measured using the procedures of ISO 2781:2008 (Method A) by comparative measurement of samples mass in air and water.

2.5. Radiation shielding

2.5.1 Theoretical background

The mass attenuation coefficient (μ_m) of experimental was calculated using the relation (Singh et al., 2006)

$$\mu_m = \frac{1}{\rho t} \ln\left(\frac{I_0}{I}\right) \quad (4)$$

where, ρ is the density of material (g/cm^3), I_0 and I are the incident and transmitted intensities respectively and t is the thickness of NR composites (cm)

Theoretical values of the mass attenuation coefficients of mixture or compound have been investigated by WinXCom program with base on mixture rule (Singh et al. 2002)

$$\mu_m = \sum w_i (\mu_m)_i \quad (5)$$

where, w_i weight fraction of each element in NR composites, $(\mu_m)_i$ is mass attenuation coefficient for individual element in NR composites. The mass attenuation coefficients value can be used to determine the total atomic cross-section ($\sigma_{t,a}$) by the following relation

$$\mu_m = \frac{(\mu_m)_{\text{composite}}}{N_A \sum w_i A_i} \quad (6)$$

where, N_A is Avogadro's number ($6.02 \times 10^{23} \text{ mol}^{-1}$), A_i is atomic weight of constituent element of composites. Also the total electronic cross-section ($\sigma_{t,el}$) for the element is expressed by the following equation

$$\sigma_{t,el} = \frac{1}{N_A} \sum_i \frac{f_i A_i}{Z_i} (\mu_m)_i \quad (7)$$

where, f_i is the number of atoms of element i relative to the total number of atoms of all elements in composites, Z_i is the atomic number of the element in composites. Total atomic cross-section and total electronic cross-section are related to effective atomic number (Z_{eff}) of the composites is calculated by following the formula (Singh et al., 2005)

178
179
180
181
182
183
184
185
186
187
188
189
190
191
192
193
194
195
196
197
198
199
200
201
202
203
204
205
206
207
208
209
210
211
212
213
214
215
216
217
218
219
220
221
222
223
224
225
226
227
228
229
230
231
232
233
234
235
236

hardness was tested using Shore A durometer (Frank GmbH, Hamburg, Germany) according to ASTM D 2240. The specific gravity (Mettler Toledo ML204, New Zealand) was measured using the procedures of ISO 2781:2008 (Method A) by comparative measurement of samples mass in air and water.

2.5. Radiation shielding

2.5.1 Theoretical background

The mass attenuation coefficient (μ_m) of experimental was calculated using the relation (Singh et al., 2006)

$$\mu_m = \frac{1}{\rho t} \ln\left(\frac{I_0}{I}\right) \quad (4)$$

where, ρ is the density of material (g/cm^3), I_0 and I are the incident and transmitted intensities respectively and t is the thickness of NR composites (cm)

Theoretical values of the mass attenuation coefficients of mixture or compound have been investigated by WinXCom program with base on mixture rule (Singh et al. 2002)

$$\mu_m = \sum w_i (\mu_m)_i \quad (5)$$

where, w_i weight fraction of each element in NR composites, $(\mu_m)_i$ is mass attenuation coefficient for individual element in NR composites. The mass attenuation coefficients value can be used to determine the total atomic cross-section ($\sigma_{t,a}$) by the following relation

$$\mu_m = \frac{(\mu_m)_{\text{composite}}}{N_A \sum w_i A_i} \quad (6)$$

where, N_A is Avogadro's number ($6.02 \times 10^{23} \text{ mol}^{-1}$), A_i is atomic weight of constituent element of composites. Also the total electronic cross-section ($\sigma_{t,el}$) for the element is expressed by the following equation

$$\sigma_{t,el} = \frac{1}{N_A} \sum_i \frac{f_i A_i}{Z_i} (\mu_m)_i \quad (7)$$

where, f_i is the number of atoms of element i relative to the total number of atoms of all elements in composites, Z_i is the atomic number of the element in composites. Total atomic cross-section and total electronic cross-section are related to effective atomic number (Z_{eff}) of the composites is calculated by following the formula (Singh et al., 2005)

237
238
239
240
241
242
243
244
245
246
247
248
249
250
251
252
253
254
255
256
257
258
259
260
261
262
263
264
265
266
267
268
269
270
271
272
273
274
275
276
277
278
279
280
281
282
283
284
285
286
287
288
289
290
291
292
293
294
295

$$Z_{\text{eff}} = \frac{\sigma_{t,a}}{\sigma_{t,el}} \quad (8)$$

The electron density can be defined as the number of electrons per unit mass, and it can be mathematically written as follows

$$N_e = \frac{\mu_m}{\mu_{t,el}} \quad (9)$$

The half value layer (HVL) is define in term of the mass attenuation coefficient relates half value layer to linear attenuation coefficient (μ) (Singh et al et al., 2006)

$$\text{HVL} = 0.693/\mu \quad (10)$$

when, linear attenuation coefficient (μ) can be calculated by

$$\mu_m = \frac{\mu}{\rho} \quad (11)$$

Lead equivalent thickness is written as (Biswas et al., 2016).

$$d_{\text{pb}} = \frac{\mu_{\text{composite}}}{\mu_{\text{pb}}} \times d_{\text{composite}} \quad (12)$$

where, μ_{pb} is the linear attenuation coefficient of lead, d_{pb} is the lead equivalent thickness, $\mu_{\text{composite}}$ is the linear attenuation coefficients of NR composites and $d_{\text{composite}}$ is the thickness of NR composites. In is work, the thickness of NR composites is 10 mm, has been used to compared with lead thickness

2.5.2 Measurement of gamma shielding properties

Experimental values of mass attenuation coefficient were measured by the Compton scattering technique with narrow beam transmission used for selected gamma rays energy.

The schematic of the gamma ray shielding properties measurement by Compton scattering technique shown in Fig. 1. The source system is mounted on a composite of adjustable stands. The stands can move in transverse direction for proper beam alignment. The ^{137}Cs radioactive source of 15^{mCi} (555 MBq) strength was obtained from the Office of Atom for Peace (OAP), Thailand. An aluminum rod was act as the scattering rod. The Compton scattered rays using a $2 \square \times 2 \square$ NaI(Tl) scintillator detector having an energy resolution of 8% at 662 keV (BICRON model 2M2/2) with CANBERRA photomultiplier tube base model 802-5. The optimum distances between the source and the scatterer was chosen to be 20 cm and 20 cm between the scatterer and detector. The

296 spectra were recorded using a CANBERRAPC based multi-channel analyzer (MCA). The spectrum
297 on the MCA of detector gave instance counts in each of 1024 bins divided by voltage. This work
298 measuring gamma ray shielding properties by varying the scattering angles (30° - 120°) to produce
299 gamma rays of different energies range of 223 keV -662 keV.
300
301
302
303
304

305 *2.5.3 Measurement of X-ray shielding properties*

306 The X-ray shielding efficiency is estimate by different category in partial interaction
307 parameters such as linear attenuation coefficient (μ) and half value layer (HVL). The X-ray shielding
308 characterization were measured with high frequency digital radiography X-ray machine Shimadzu
309 model RAD Speed Pro operated at 50-120 kVp and 40 mA. The full function meter (RMI 242) with
310 optical fiber to detect the transmission spectra used for recorded the spectra. The optimum set up
311 distance between the X-ray tube to the NR composites samples and from NR composites samples to
312 detector were found equally at 50 cm separation distance, and distance between detectors to table
313 about 30 cm. The validity of X-ray transmission technique had been confirmed with an energy
314 calibration of the system. The schematic diagram of the measurement X-ray shielding properties
315 shown in Fig. 2.
316
317
318
319
320
321
322

323 **3. Result and discussion**

324 *3.1 Cure time*

325 Cure time is an important parameter during rubber processing and the final property of rubber
326 depends on cure time. The cure time of NR/ Bi_2O_3 composites with various compositions are depicted
327 in Table 2. The cure time of composites are lower than NR without Bi_2O_3 . This may be attributed to
328 the existence of Bi_2O_3 as a metal oxide acts as co-activators during the vulcanization process. The
329 results of addition of metal oxide group into rubber composites have agreement with the previous
330 work (Worawat et al., 2018). It results in lowering the cure time of composites.
331
332
333
334

335 The difference in torque is directly related with the actual crosslinking density of rubber. Table 3
336 shows the maximum torque (M_{11}), minimum torque (M_L) and torque differences (ΔM) of NR and its
337 composites. The torque differences between its maximum and minimum values of the composites are
338 found to be increased as increasing the contents of Bi_2O_3 . The presence of metal oxides performs as a
339 co-activator during the chemical process of vulcanization. It develops interaction between the
340 molecular chains of rubber and sulfur, which leads to increase the cross-linking density of natural
341 rubber.
342
343
344
345
346

347 *3.2. Dispersion Analysis*

348 SEM has been employed to determine the nature of dispersion of particulates in the natural rubber
349 matrix. Figure 3 shows the SEM images of NR composites with different fillers phr. Element content
350
351
352
353
354

355
356
357 of the filler Bi_2O_3 in NR composites is detected by EDX technique and depicted in Table 4. SEM
358 microphotographs of Bi_2O_3 incorporated natural rubber composites show different morphologies on
359 increasing the filler content. A fine and uniform distribution is observed for 10 phr filled natural
360 rubber composite. Analysis revealed that the uniformity of particle distribution reduces on increasing
361 the content of Bi_2O_3 . Agglomeration of Bi_2O_3 particles occurs in the NR matrix as seen in the SEM
362 images. The amount of Bi element is increased on the addition of Bi_2O_3 as shown in Table 4.
363
364
365
366

367 *3.3. Mechanical properties*

370 Tensile properties and hardness of natural rubber composites filled with Bi_2O_3 are investigated
371 with respect to filler concentrations. Modulus at 100% elongation and Hardness of Bi_2O_3 incorporated
372 natural rubber are shown in Fig. 4. An increase in modulus can be seen with an escalation of filler
373 concentration in natural rubber. The presence of Bi_2O_3 increases the crosslink density of natural
374 rubber as discussed in the previous section. Metal oxides act as co-activators and speed up the
375 crosslinking reaction during vulcanization (Donruedee et al., 2018). Addition of Bi_2O_3 increases the
376 crosslink density of rubber and these hard metal oxide particles enhances the stiffness of matrix
377 material. Therefore, the modulus and hardness of natural rubber are considerably increased upon the
378 addition of Bi_2O_3 . Fig. 5. shows the dependence of tensile strength and elongation at break on the
379 concentration of fillers. Tensile strength of the composite is found to be reduced on increasing the
380 concentration of Bi_2O_3 . As a polar substance, Bi_2O_3 becomes agglomerated and it shows a poor
381 dispersion in non-polar rubber matrix. It weakens the elastomeric phases and decreases the tensile
382 strength. The elastic modulus and elongation at break are inversely proportional to each other. The
383 rigid nature of Bi_2O_3 caused in reducing the flexibility of natural rubber, thus a reduced manner is
384 observed in the elongation at break. Heterogeneous distribution of fillers deteriorates the interface and
385 the elasticity of the resulting composite decreases. Variation of specific gravity of natural rubber on
386 the addition of Bi_2O_3 is as shown in Fig. 6. An increasing trend in specific gravity is noticed as
387 increasing the concentration of filler particles. Bi_2O_3 has higher density ($D= 8.90 \text{ g/cm}^3$) and leading
388 to an increase in the specific gravity of the composites.
389
390
391
392
393
394
395
396
397

398 *3.4. Radiation Shielding Properties*

400 *3.4.1 Gamma ray Shielding Properties*

401
402
403
404 Total mass attenuation coefficient (μ_m) of the NR/ Bi_2O_3 composite were prepared
405 with a concentration of Bi_2O_3 10, 20, 40, 80, 120 and 150 phr as can be seen in Fig. 7. The
406 experimental of μ_m were measured with Cs-137 source at an energy of 663 keV and measured at
407 seven different angles from 30° - 120° using Al scattering rod for scattered photon energy. It was found
408
409
410
411
412
413

414
 415
 416
 417 seven photon energies were in the range of 223-662 keV. These value is based on the principle of
 418 Compton scattering technique. The experimental were compared with theoretical values which were
 419 calculate using WinXCom program. The result of μ_m show that the NR/ Bi₂O₃ composites are higher
 420 values when increase in Bi₂O₃ content. This is due to concentration of Bi₂O₃ because of Bi (208.98)
 421 are very heavy of atomic weight. The trend of experimental values of μ_m are in good agreement with
 422 the theoretical values. The μ_m of all NR/ Bi₂O₃ sample decrease with the increasing of photon
 423 energy, these indicate the dependence of μ_m value on the photon energy.
 424
 425
 426
 427

428
 429 Fig. 8. shows the effective atomic number (Z_{eff}) of NR composites and were
 430 calculated from equation (7). It was found that Z_{eff} will be increased with the increasing of Bi₂O₃
 431 concentration and those were decreased with increasing of the photon energies which the same trend
 432 of the μ_m , owing to higher atomic number increasing of Bi₂O₃ have an impact on the probability of
 433 the interaction between photon energy with electron in the matter. Nevertheless, the results of Z_{eff} are
 434 shown in good agreement with theoretical values.
 435
 436
 437

438
 439 The effective electron density (N_e) of NR composite is shown in Fig. 9. It is seen
 440 that the increasing of density by adding Bi₂O₃ into the structure of the NR/ Bi₂O₃ composite have an
 441 effect on the N_e value. The N_e is having a high value when increase of Bi₂O₃ and indicates that there
 442 are more number of virtual electron per unit mass of NR composite. Moreover, the N_e results show
 443 similar trends with μ_m and Z_{eff} . The trends shows that decreases exponentially when increasing
 444 photon energy.
 445
 446
 447

448
 449 Fig. 10. show half value layer (HVL) and lead equivalent of NR/Bi₂O₃ composites
 450 measured using gamma ray in the energy at 622 keV. It was seen that HVL were decreased with the
 451 increasing of Bi₂O₃ concentration due to the increasing of mass attenuation coefficient and density
 452 which effects to increasing of the gamma rays attenuation. For the results of lead equivalent of
 453 NR/Bi₂O₃ composite consisting Bi₂O₃. The results found that lead equivalent were increased with the
 454 increasing of Bi₂O₃ concentration which the gamma ray shielding equivalent thickness of lead 2.0093
 455 mm for 150 phr Bi₂O₃ is observed. Fig. 11. show the comparison of gamma ray shielding properties of
 456 NR/Bi₂O₃ composites with commercial window, serpentine, ordinary concrete and hemimatite-
 457 serpentine measured at 662 keV gamma ray from Cs-137 source. It indicates that, the gamma ray
 458 shielding of NR/ Bi₂O₃ composites with 10, 20 and 40 phr Bi₂O₃ lower than commercial window.
 459 However, Composites with 80 phr of Bi₂O₃ shown the gamma ray shielding better than commercial
 460 window. The composite with 80 phr Bi₂O₃ was no difference HVL value of serpentine show that it
 461 can be gamma shielding equivalent to serpentine. Eventually, composite with 150 phr Bi₂O₃ shows
 462 better gamma ray shielding compared to ordinary concrete and hemimatite-serpentine. This result is
 463
 464
 465
 466
 467
 468
 469
 470
 471
 472

an important for the development flexible, lead free radiation shielding material. It is concluded that, the thicker shielding materials can be replaced by such types of flexible materials with better shielding properties.

3.4.2 X-ray Shielding Properties

Linear attenuation coefficient of NR/Bi₂O₃ composites with various Bi₂O₃ concentrations measured using X-rays in the energy range 50 kVp -120 kVp shown in Fig. 12. It was seen that the linear attenuation coefficient was increased with the increasing Bi₂O₃ concentration and those decreased with increasing of the X-ray energy ranges due to increase of density have an effect on the linear attenuation coefficient which more likely to interact. It means NR/Bi₂O₃ composites can be better X-ray attenuation when increased amount of Bi₂O₃. However, it should be aware when put more a concentration of Bi₂O₃ due to morphology transformation which correspond to the tensile strength and elongation at break of natural rubber composite as shown in Fig. 5.

Fig. 13. show half value layer (HVL) and lead equivalent of NR composites with various Bi₂O₃ concentrations measured using X-rays in the energy at 120 kVp. The HVL values were decreased and increased values of lead equivalent with increased of Bi₂O₃ concentration due to the increasing of density and linear attenuation coefficient have an effect to more radiation attenuation of NR composite. Fig. 14. show the comparison of X-ray shielding properties of NR/ Bi₂O₃ composites with commercial window and X-ray window measured at 120 kVp. It indicates that, the X-ray attenuation of NR/ Bi₂O₃ composites with 10, 20, 40 and 80 phr the Bi₂O₃ exhibit better than commercial window. NR/ Bi₂O₃ composites with 120 and 150 phr the Bi₂O₃ show the X-ray attenuation better than both commercial window and X-ray window. It is clearly the concentration of Bi₂O₃ with 120 and 150 phr to candidate for application in flexible radiation shielding materials such glove and mask.

4. Conclusion

Flexible radiation shielding material based on NR/Bi₂O₃ composites were successfully prepared and developed. Increased concentration of Bi₂O₃ in natural rubber were enhanced the modulus at 100 % elongation, hardness and specific gravity of natural rubber, whereas tensile strength and elongation at break reduces.

– Increased concentration of Bi₂O₃ effect to the experimental values of mass attenuation coefficients (μ_m), effective atomic number (Z_{eff}), effective electron densities (N_e) and lead equivalent of the NR composites were increase and these were decrease with the increasing of photon energy from 223 keV to 662 keV. The half value layer (HVL) values of all sample were decrease with the

532
533
534
535
536
537
538
539
540
541
542
543
544
545
546
547
548
549
550
551
552
553
554
555
556
557
558
559
560
561
562
563
564
565
566
567
568
569
570
571
572
573
574
575
576
577
578
579
580
581
582
583
584
585
586
587
588
589
590

increasing of Bi_2O_3 concentrations. The half value layer (HVL) values of all sample were decrease with the increasing of Bi_2O_3 concentrations. The NR/150 phr Bi_2O_3 compositions has the lowest HVL values in comparison when compared with commercial window, serpentine, ordinary concrete and hemimatite- serpentine

– For X-ray shielding properties, the linear attenuation coefficient (μ) and lead equivalent (dPb) were increased with increased Bi_2O_3 add in NR and show the decreasing of X-ray energies range. The NR of all Bi_2O_3 compositions show lower HVL when compared with X-rays shielding window and commercial window.

Based on the studies related to tensile properties and radiation shielding effects, it can be concluded that flexible and lead-free NR/ Bi_2O_3 composites is possibility for application to radiation shielding material or protective wear.

Acknowledgement

The authors gratefully acknowledge financial support by a grant from Natural Rubber Innovation Research Institute, Prince of Songkla University, Thailand (contact number SCI601063s), and we would like to the Department of Radiologic Technology, Faculty of Associated Medical Sciences, Chiang Mai University and Center of Excellence in Glass Technology and Materials Science (CEGM), Rajabhat Naknow Phathom University for providing research instruments.

References

- Bektas, F., Turanli, L. and Monteiro, P.J.M., 2005. Use of perlite powder to suppress the alkali-silica reaction. *Cem. Conc. Res.* 35(10), 2014–2017.
- Biswas, R., Sahadath, H., Mollah, A.S., Fazlul Huq, Md., Radiat, J., 2016. Calculation of gamma-ray attenuation parameters for locally developed shielding material: Polyboron. *Rad. Res. Appl. Sci.* 9, 26–34.
- Chanthima, N., Kaewkhao, J., Limkitjaroenporn, P., Tuscharoen, S., Kothan, S., Tungjai, M., Kaewjaeng, S., Sarachai, S., Limsuwan, P., 2017. Development of $\text{BaO-ZnO-B}_2\text{O}_3$ glasses as a radiation shielding material. *Radiat. Phys. Chem.* 137, 72–77.
- Demayo, A., Taylor, M.C., Taylor, K.W., Hodson, P.V., Hammond, P.B., 1982. Toxic effects of lead and lead compounds on human health, aquatic life, wildlife plants, and livestock. *Crit. Rev. Environ. Control* 12, 257–305.

- 591
592
593 El-Khayatt, AM., Ali, AM., Singh, VP., 2014. Photon attenuation coefficients of heavy-metal oxide
594 glasses by MCNP code, XCOM program and experimental data: a comparison study. Nucl.
595 Instrum. Methods Phys. Res. Sect. A. 35, 207–212.
596
597
598 Kaewjang, S., Maghanemi, U., Kothan, S., Kim, H.J., Limkitjaroenporn, P., Kaewkhao, J., 2014. New
599 gadolinium-based glasses for gamma-rays shielding materials. Nucl. Eng. Des. 280, 21–26.
600
601
602 Kaewjaeng, S., Kothan, S., Chaiphaksa, W., Chanthima, N., Rajaramakrishna, R., Kim, H.J.,
603 Kaewkhao, J., 2019. High transparency La₂O₃-CaO-B₂O₃-SiO₂ glass for diagnosis x-rays
604 shielding material application. Radiat. Phys. Chem. 160, 41–47.
605
606
607 Kaewkhao, J., Pokaipisit, A., Limsuwan, P., 2010. Study on borate glass system containing with
608 Bi₂O₃ and BaO for gamma-rays shielding materials: comparison with PbO. Nucl. Mater. 399,
609 38–40.
610
611
612 Kalayaneç, K., Lek, S., Tripob, B., Sompong, N., 2008. Ferrite-STR 5L rubber composites as gamma
613 radiation shildings. KKU res. J. 13(2), 269–271.
614
615
616 Ozdemira, T., Gungora, A., Akbaya, K., Uzuna, H., Babuccuoglu, Y., 2018. Nano lead oxide and
617 epdm composite for development of polymer based radiation shielding material: gamma
618 irradiation and attenuation tests. Radiat. Phys. Chem. 144, 248–255.
619
620
621 Singh, K., Singh, H., Sharma, V., Nathuram, R., Khanna, A., Kumar, R., Bhatti, S.S., Sahota, H.S.,
622 2002. Gamma-ray attenuation coefficient in bismuth borate glass. Nucl. Instrum. Methods
623 Phys. Res. Sect. B. 194(1), 1–6.
624
625
626 Singh, K., Singh, H., Sharma, G., Gerward, L., Khanna, A., Kumar, R., Nathuram, R., Sahota, H.S.,
627 2005. Gamma-ray shielding properties of CaO-SrO-B₂O₃ glass system. Radiat. Meas. 72,
628 225–228.
629
630
631 Singh, N., Singh, K.J., Singh, K., Singh, H., 2006. Gamma-ray attenuation studies of PbO-BaO-B₂O₃
632 glass system. Radiat. Meas. 41, 84–88.
633
634
635 Tekin, HO., Singh, VP., Manici, T., 2017. Effects of micro-sized and nano sized WO₃ on mass
636 attenuation coefficients of concrete by using MCNPX code. Appl. Radiat. Isotopes. 121,
637 122–125.
638
639
640 Tiwawn, A., Noppavan, C., Vithit P., Chonlada, S., 2017. X-ray Attenuation coefficient of PU/BaSO₄
641 composites sheet. KMUTNB. J. 27(1), 159–168.
642
643
644
645
646
647
648
649

650
651
652
653
654
655
656
657
658
659
660
661
662
663
664
665
666
667
668
669
670
671
672
673
674
675
676
677
678
679
680
681
682
683
684
685
686
687
688
689
690
691
692
693
694
695
696
697
698
699
700
701
702
703
704
705
706
707
708

Topcu, I.B., 2003. Properties of Heavy weight Concrete Produced with Barite. *Cem. Concr. Res.* 33(6), 815–822.

Worawat, P., Ekachai, W., Kiadtisak, S., 2018. Properties of lead-free gamma-ray shielding materials from metal oxide/EPDM rubber composites. *Radiat. Phys. Chem.* 153, 1–9.

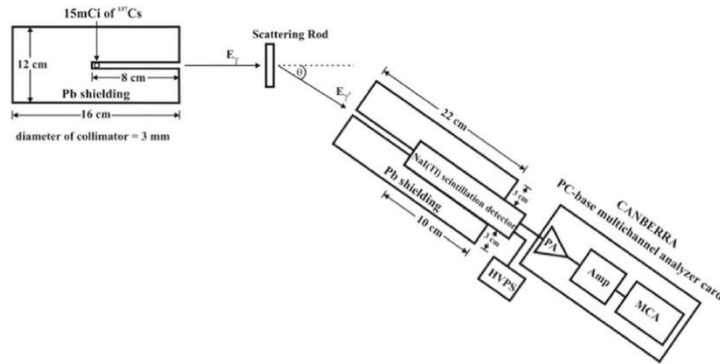


Fig. 1. Schematic of the mass attenuation coefficient measurement by Compton scattering technique (Chantima et al., 2017).

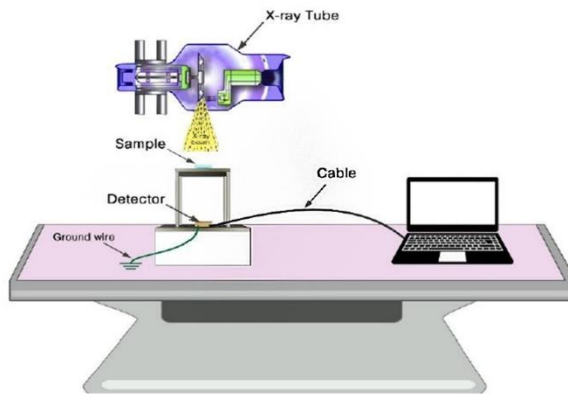


Fig. 2. Schematic diagram of the X-ray transmission technique (Kaewjang et al., 2019).

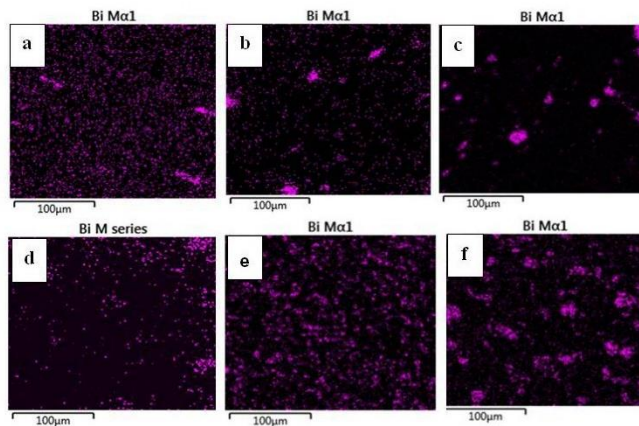


Fig. 3. SEM images of NR/ Bi₂O₃ composites with addition a) 10 phr, b) 20 phr, c) 40 phr, d) 80 phr, e) 120 phr and f) 150 phr.

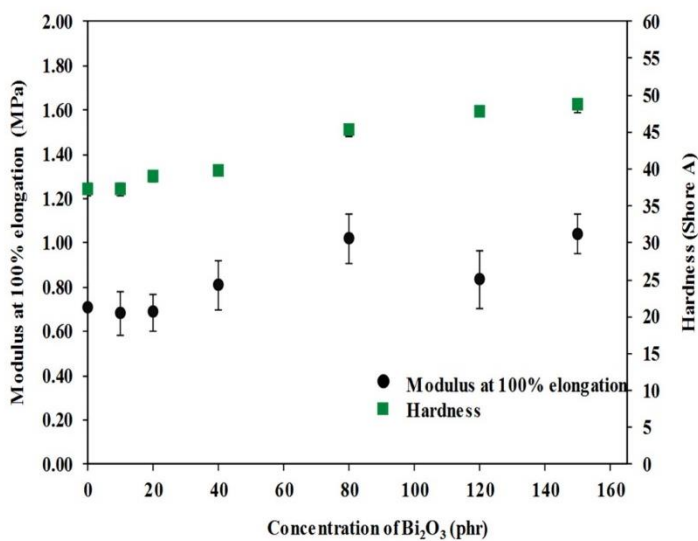


Fig. 4. Modulus at 100 % elongation and Hardness of natural rubber composite with different Bi_2O_3 loading levels.

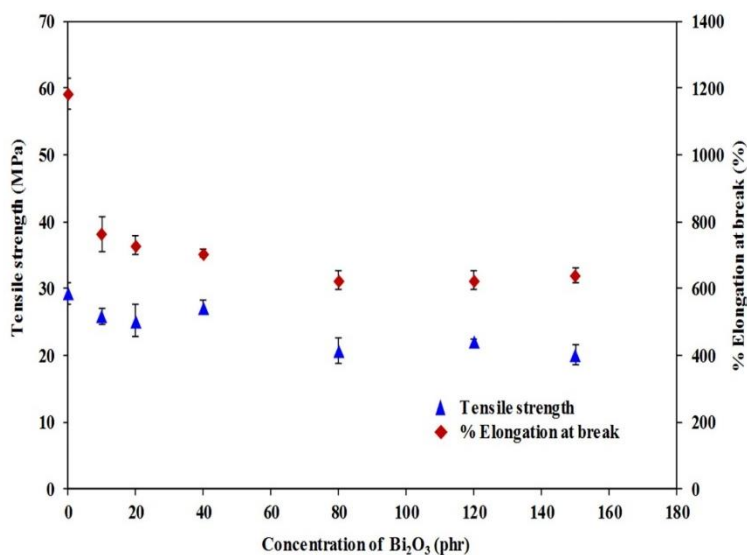


Fig. 5. Tensile strength and % Elongation at break of natural rubber composite with different Bi_2O_3 loading levels.

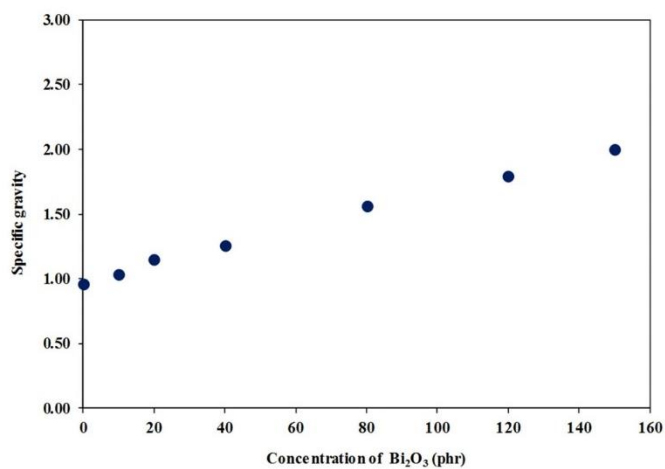


Fig. 6. Specific gravity of natural rubber composite with different Bi₂O₃ loading levels.

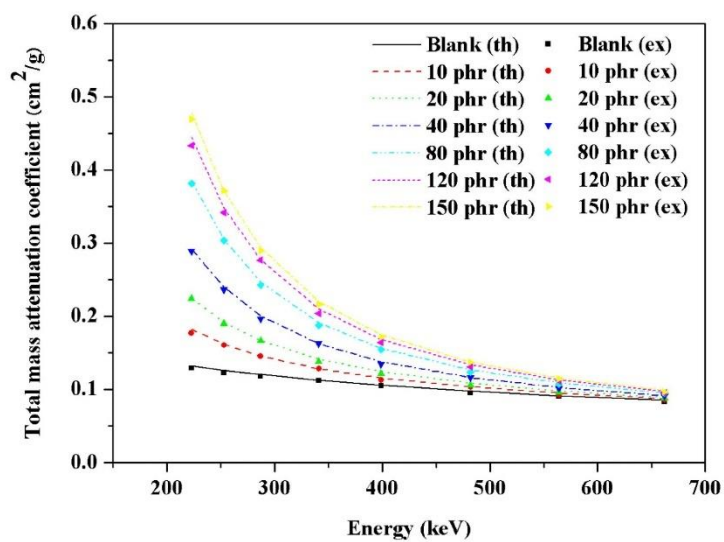


Fig. 7. Total mass attenuation coefficient of NR composites with various Bi₂O₃ concentrations measured using gamma rays with energy 223 keV-662 keV.

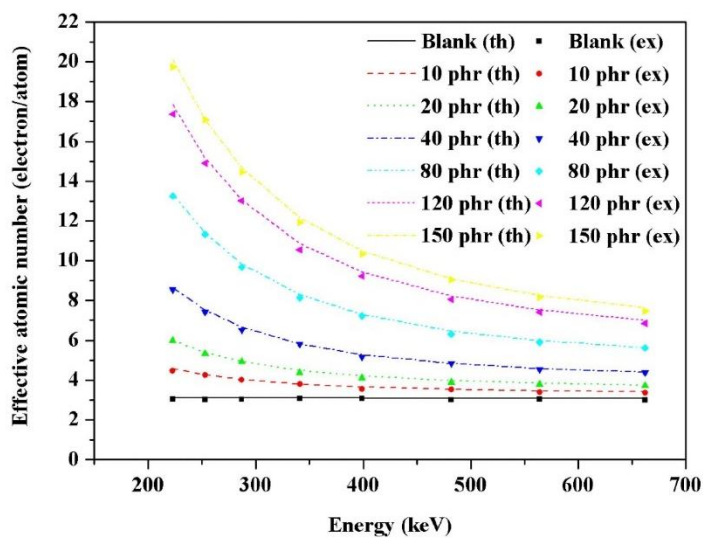


Fig. 8. Effective atomic number (Z_{eff}) of NR composites with various Bi_2O_3 concentrations measured using gamma rays with energy 223 keV-662 keV.

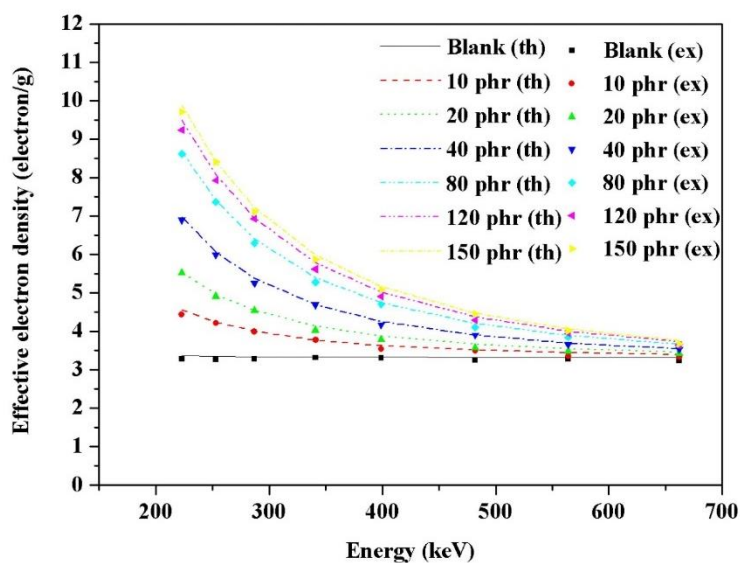


Fig. 9. Effective electron density (N_e) of NR composites with various Bi_2O_3 concentrations measured using gamma rays with energy 223 keV-662 keV.

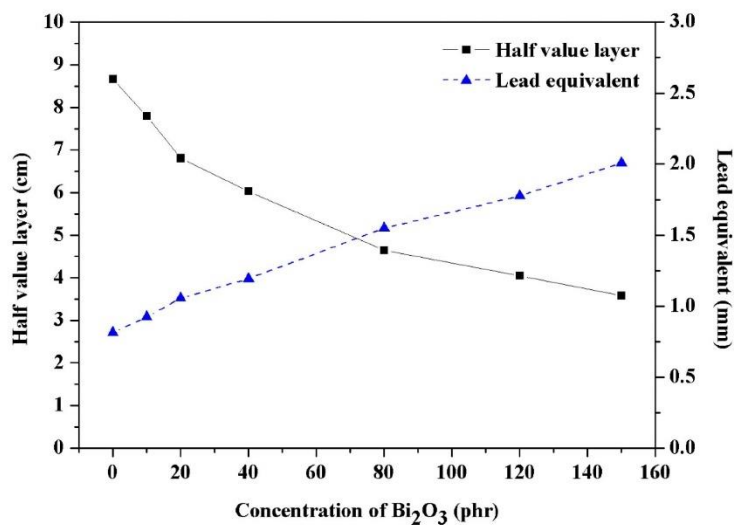


Fig. 10. Half value layer (HVL) and Lead equivalent (dPb) of NR composites with various Bi_2O_3 concentrations measured using gamma ray in the energy at 622 keV.

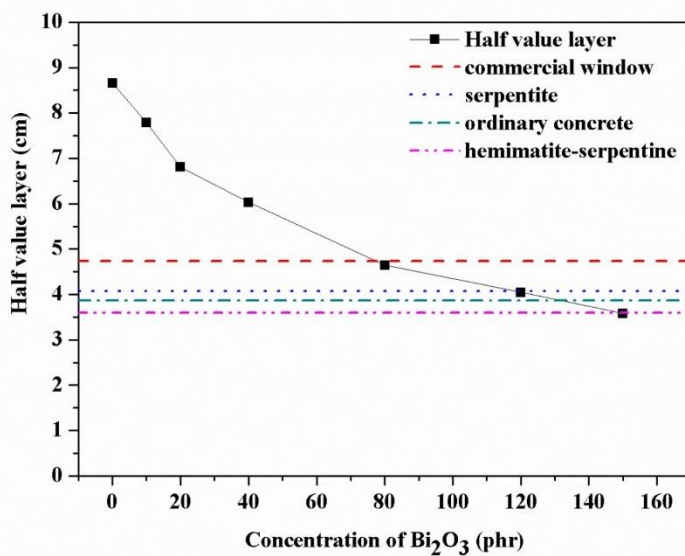


Fig. 11. The half value layer of NR composites with Bi_2O_3 in comparison to commercial window, serpentine, ordinary concrete and hematite-serpentine (Singh, 2002) at 662 keV.

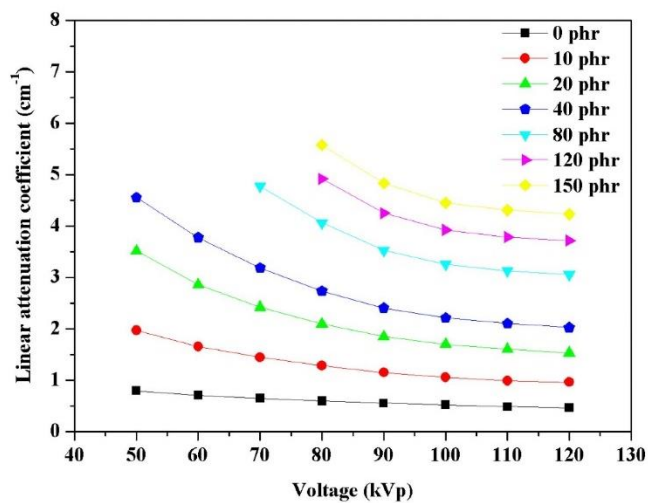


Fig. 12. Linear attenuation coefficient of NR composites with various Bi_2O_3 concentrations measured using X-rays in the energy range 50 kVp -120 kVp.

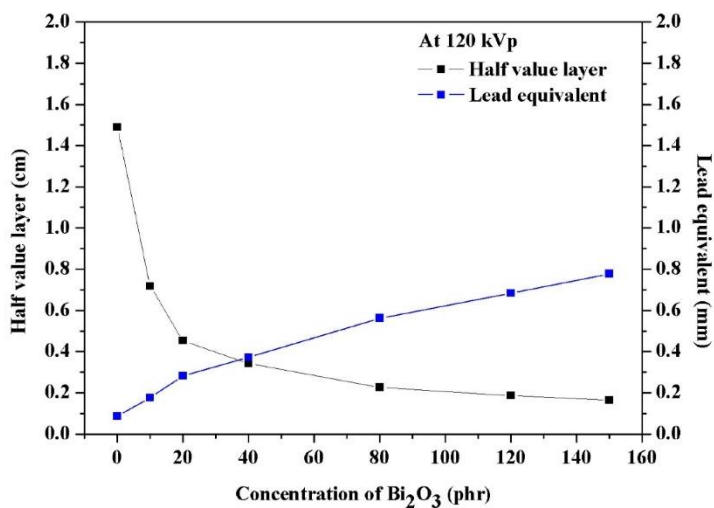


Fig. 13. Half value layer (HVL) and Lead equivalent (dPb) of NR composites with various Bi_2O_3 concentrations measured using X-rays in the energy at 120 kVp.

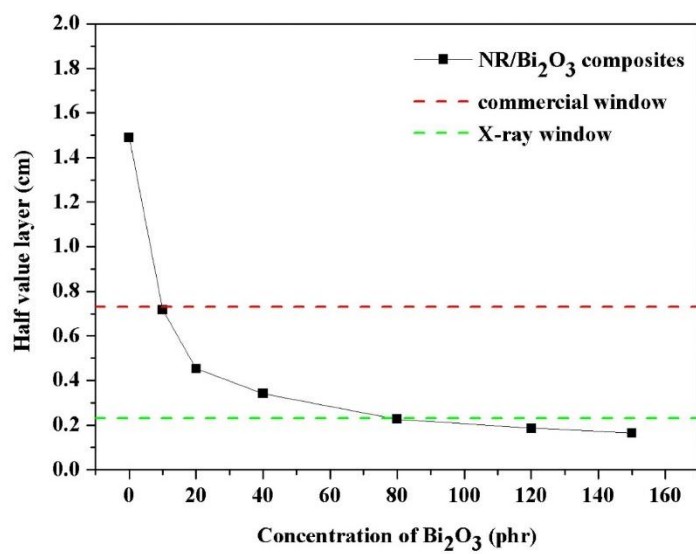


Fig. 14. The half value layer of NR composites with Bi₂O₃ in comparison to commercial window and X-ray window at 120 kVp.

Table 1. Ingredients of NR/ Bi₂O₃ composites and their role during the process.

	Content (phr) ^a	Function	Supplier
Natural rubber (NR, STR5L)	100	Polymer	Chalong latex industry.Co., Phuket (Thailand)
Stearic acid	1	Activator	Imperial Industrial Chemicals Co., Ltd. Bangkok, (Thailand)
Zinc Oxide; ZnO	5	Activator	Thai-Lysaght Co., Ltd., Phranakhon Si Ayutthaya, (Thailand)
N-tert-butyl-2-benzthiazyl sulphenamide; TBBS	1	Accclerator	Siam Chemicals Co., Samutprakarn (Thailand)
Sulfur (S)	2.5	Vulcanizing Agent	Siam Chemicals Co., Samutprakarn (Thailand)
Bismuth oxides (Bi ₂ O ₃)	0, 10, 20, 40, 80, 120 and 150 (0, 8.37, 15.44, 26.76, 42.22, 52.29 and 57.80 wt%, respectively)	Radiation Shielding	Alfa Aesar Co., Massachusetts (USA)

^aphr: parts per hundred parts of rubber

Table 2

Cure times of natural rubber composite with different Bi₂O₃ loading levels.

Content (phr)	Cure time (t ₅₀ , min)
0	8.44
10	7.50
20	7.47
40	7.39
80	7.29
120	7.10
150	6.22

Table 3

Maximum torque (M_H), minimum torque (M_L) and torque differences (ΔM) of NR composites for different Bi_2O_3 loading levels.

Bi_2O_3 Content (phr)	M_H (dNm)	M_L (dNm)	ΔM (dNm)
0	6.10	0.39	5.71
10	6.28	0.47	5.81
20	7.00	0.36	6.64
40	7.53	0.47	7.06
80	9.74	0.42	9.32
120	9.86	0.34	9.52
150	10.47	0.39	10.08

Table 4

The element contents in NR/ Bi_2O_3 composites.

Elements	wt% of element in rubber composites						
	0	10	20	40	80	120	150
C	81.714	74.876	69.094	59.850	47.217	38.988	34.480
H	10.981	10.062	9.285	8.043	6.345	5.239	4.634
O	1.001	1.779	2.437	3.489	4.927	5.864	6.376
Zn	3.669	3.361	3.102	2.687	2.120	1.750	1.548
Bi	0.0000	7.506	13.853	24.000	37.868	46.902	51.849
N	0.107	0.098	0.091	0.079	0.062	0.051	0.045
S	2.529	2.317	2.138	1.852	1.461	1.207	1.067

ภาคผนวก ค.

ต้นฉบับบทความวิจัย

Intom S., Kalkornsuranee E., Johns J., Kotan S., Keawjang S., Hongtong W.,
Chaiphaksa W. and Kaewkhao J. 2018. Preparation of lead-free radiation
shielding elastomer based on natural rubber/bismuth oxide composites:
effect of epoxidized group on natural rubber

การประชุมวิชาการระดับชาติ “ราชชมงคลสุรินทร์ ครั้งที่ 10”
 “วิจัยและนวัตกรรม นำสู่การพัฒนาอย่างยั่งยืน” ณ มหาวิทยาลัยเทคโนโลยีราชมงคลอีสาน วิทยาเขตสุรินทร์



การเตรียมอิลาสโตเมอร์กำบังรังสีปลอดตะกั่วจากคอมโพสิตยางธรรมชาติผสมกับ บิสมท์ออกไซด์: ผลของปริมาณหมู่อีพอกไซด์บนยางธรรมชาติ

Preparation of Lead-free Radiation Shielding Elastomer Based on Natural Rubber/Bismuth Oxide Composites: Effect of Epoxidized Group on Natural Rubber

ศิริลักษณ์ อินต้อม¹ เอกวิภู กาลกรณ์สุรปราณี² ศิริประภา แก้วแจ้ง³ สุชาติ โกทันทย์⁴ วิราภรณ์ หงส์ทอง⁵ จุติ
 ชัย ไชยภักษา⁶ และจักรพงษ์ แก้วขาว⁷

ภาควิชาวิทยาศาสตร์ และเทคโนโลยีวัสดุ คณะวิทยาศาสตร์ มหาวิทยาลัยสงขลานครินทร์^{1,2}

ภาควิชารังสีเทคนิค คณะเทคนิคการแพทย์ มหาวิทยาลัยเชียงใหม่^{3,4}

ภาควิชาฟิสิกส์ คณะวิทยาศาสตร์ และเทคโนโลยี มหาวิทยาลัยราชภัฏนครปฐม^{5,6,7}

ผู้เขียนประสานงาน E-mail yingsirilak_29@hotmail.com

บทคัดย่อ

งานวิจัยนี้มีวัตถุประสงค์เพื่อเตรียมวัสดุกำบังรังสีที่มีความยืดหยุ่น ศึกษาผลของชนิดของยางธรรมชาติคอมโพสิต (ยางธรรมชาติที่ไม่ผ่านการดัดแปรโมเลกุล (unmodified NR) ยางอิพอกไซด์ 25 (ENR 25) และยางอิพอกไซด์ 50 (ENR 50)) ที่มีการเติมสารบิสมท์ออกไซด์ (BO) ต่อสมบัติเชิงกล (มอดุลัส 100% ความต้านทานต่อแรงดึง ระยะยืด ณ จุดขาด ความแข็ง และความล่งงจำเพาะ) และสมบัติการกำบังรังสี (สัมประสิทธิ์การลดทอนรังสีเชิงเส้น (μ) ความหนาครึ่งค่า (HVL) ความหนาเทียบเท่าตะกั่ว) ทั้งแกมมา และเอ็กซ์ จากการศึกษาสมบัติเชิงกลพบว่า ยางธรรมชาติคอมโพสิตมีมอดุลัสที่ระยะยืด 100 % และความแข็งที่ไม่แตกต่างกันอย่างมีนัยสำคัญ ในส่วนของความต้านทานต่อแรงดึง และระยะยืด ณ จุดขาดพบว่า วัสดุคอมโพสิตยางธรรมชาติอิพอกไซด์ 25 (ENR 25/BO composite) ให้สมบัติที่ดีกว่าวัสดุคอมโพสิตยางธรรมชาติที่ไม่ดัดแปรโมเลกุล (unmodified NR/BO composite) และวัสดุคอมโพสิตยางธรรมชาติอิพอกไซด์ 50 (ENR 50/BO composite) ตามลำดับ โดยวัสดุคอมโพสิตยางอิพอกไซด์ทั้ง 2 ชนิด (ENR 25 และ ENR 50) มีความล่งงจำเพาะที่มากกว่าวัสดุคอมโพสิตยางธรรมชาติที่ไม่ดัดแปรโมเลกุลเล็กน้อย ด้านสมบัติการกำบังรังสีที่มีการเปรียบเทียบค่าความหนาครึ่งค่า (HVL) จากการทดสอบพบว่า ยางธรรมชาติคอมโพสิตที่เตรียมได้สามารถกำบังรังสีแกมมาได้เทียบเท่า และสามารถกำบังรังสีเอ็กซ์ได้ดีกว่าระจกกำบังรังสีที่มีการใช้ในเชิงพาณิชย์ ยางคอมโพสิตที่พัฒนาขึ้นจากงานวิจัยนี้สามารถผลิตเป็นวัสดุกำบังรังสีปลอดตะกั่วที่มีความยืดหยุ่น และกำบังรังสีได้อย่างมีประสิทธิภาพ

คำสำคัญ: วัสดุกำบังรังสี วัสดุคอมโพสิต ยางธรรมชาติ ยางธรรมชาติอิพอกไซด์ บิสมท์ออกไซด์

Abstract

The main aim of this research is to prepare flexible radiation shielding materials. The effect of different natural rubber types (i.e., unmodified NR, ENR 25 and ENR 50) based on rubber composites with bismuth

oxide(Bi_2O_3 : BO) on mechanical (i.e. modulus at 100% elongation, tensile strength, elongation at break, hardness and specific gravity) and shielding properties (half value layer, HVL) of gamma ray and X-ray linear attenuation coefficient (μ) half value layer (HVL) and lead equivalent of x-ray) were investigated. It was found that all type of rubber composites gave no significantly different values in term of modulus and hardness. The ENR 25/BO composite exhibited higher tensile strength, elongation at break than those of unmodified NR/BO and ENR 50/BO composites, respectively. Both ENR 25 and ENR 50 with BO composites have slightly higher specific gravity than that of unmodified NR/BO composite. The developed rubber composites (i.e., ENR 25/BO) provided the same gamma shielding properties in term of HVL value and better performance in term of X ray radiation shielding (half value layer,HVL) properties than commercial shielding window. The developed rubber composites in this research can be used as efficient lead-free flexible radiation shielding materials.

Keywords: Radiation shielding material, Composites, Natural rubber, Epoxides natural rubber, Bismuth oxide

บทนำ

ตะกั่ว (lead : Pb) เป็นธาตุที่นิยมนำมาผลิตเป็นวัสดุกำบัง หรือลดทอนรังสี เนื่องจากตะกั่วมีเลขอะตอมเท่ากับ 82 ซึ่งเป็นธาตุที่มีเลขอะตอม (atomic number : Z) สูง โดยคลื่นแม่เหล็กไฟฟ้าที่มีพลังงานสูง เช่น รังสีเอกซ์ รังสีแกมมา จะถูกดูดกลืนได้ดีโดยธาตุที่มีเลขอะตอมสูง หรือธาตุหนัก[3] อย่างไรก็ตามการใช้วัสดุกำบังรังสีที่ทำมาจากตะกั่วยังมีข้อเสียหลายประการ ได้แก่ วัสดุกำบังรังสีที่ทำมาจากตะกั่วมีน้ำหนักมาก แดกหักได้ง่าย มีความต้านทานต่อแรงดึง (Tensile strength) และความต้านทานต่อการคืบ (Creep resistance) ต่ำกว่าวัสดุกำบังรังสีชนิดอื่น[7] และตะกั่วมีความเป็นพิษสูงอันตรายต่อผู้ใช้งาน และสิ่งแวดล้อม องค์การอนามัยโลก (WHO) และสำนักงานกรรมการสิ่งแวดล้อมแห่งชาติจึงมีมาตรการในการลดวัสดุที่ผลิตมาจากตะกั่ว ด้วยเหตุนี้จึงทำให้นักวิจัยมีความพยายามที่จะใช้โลหะออกไซด์ชนิดอื่น ๆ เพื่อกำบัง หรือลดทอนกำลังของรังสีทดแทนการใช้ตะกั่ว เช่น แบเรียมซัลเฟต (Barium sulfate: BaSO_4) ไดโบรอนไดรอกไซด์ (Diboron dioxide: B_2O_3)[9] ทอเรียมไดออกไซด์ (Thorium dioxide: ThO_2)[2] เป็นต้น อย่างไรก็ตามการใช้วัสดุกำบังรังสีเพียงอย่างเดียวยังมีข้อด้อยเรื่องความไม่อ่อนตัวของวัสดุ ทำให้วัสดุมีข้อจำกัดในการใช้งานสำหรับกำบังรังสีในพื้นที่ที่มีความโค้งงอ และมีลักษณะเฉพาะจากการตรวจสอบการทำให้ทราบว่ามีการวิจัยจำนวนมากที่ผสมพอลิเมอร์กับสารประกอบกลุ่มที่กำบังรังสีได้ เช่น ยางธรรมชาติเกรด STR 5L ผสมกับผงเฟอไรต์ และเขม่าดำ ซึ่งเป็นสารตัวเติมผสมกับยางสังเคราะห์ชนิดเอทิลีนโพรพิลีนไดอีน (Polyethylenediene: EPDM)[5] ยางธรรมชาติเกรด STR 5L ผสมกับเหล็กออกไซด์ (Iron oxide: Fe_3O_4) และทังสเตนออกไซด์ (tungsten oxide: W_2O_5)[6] พอลิยูรีเทน (Polyurethane: PU) ผสมกับแบเรียมซัลเฟต[1] เป็นต้น วัสดุที่พัฒนาขึ้นดังกล่าว สามารถกำบังรังสีได้ระดับหนึ่ง แต่ยังมีข้อด้อยบางประการ เช่น สมบัติเชิงกล และความสามารถในการยึดตัว เป็นต้น ส่งผลให้ไม่สามารถผลิตเป็นวัสดุกำบังรังสีที่สามารถสวมใส่ได้

งานวิจัยนี้มีวัตถุประสงค์เพื่อพัฒนาวัสดุกำบังรังสีปลอดตะกั่วที่มีความยืดหยุ่น สามารถกำบังรังสีเฉพาะจุดได้ ซึ่งสนใจนำบิสมัทออกไซด์ (Bi_2O_3 : BO) ที่ทำหน้าที่เป็นวัสดุกำบัง หรือลดทอนพลังงานของรังสี ผสมเข้ากับยางที่มีชนิดที่แตกต่างกัน 3 ชนิด ได้แก่ *ยางธรรมชาติไม่ดัดแปรโมเลกุล (Natural rubber: unmodified NR)* *ยางธรรมชาติที่มีหมู่เอพอกไซด์* เท่ากับ 25 (Epoxidized Natural Rubber 25: ENR 25) และ*ยางธรรมชาติที่มีหมู่เอพอกไซด์* เท่ากับ 50 (Epoxidized

การประชุมวิชาการระดับชาติ “ราชชมงคลสุรินทร์ ครั้งที่ 10”
 “วิจัยและนวัตกรรม นำสู่การพัฒนาอย่างยั่งยืน” ณ มหาวิทยาลัยเทคโนโลยีราชมงคลอีสาน วิทยาเขตสุรินทร์



การทดสอบเวลาครรูปของยาง

ทำการทดสอบเวลาครรูปของยางตามมาตรฐาน ASTM D 5289 โดยใช้เครื่อง Moving Die Rheometers (MDR) เตรียมตัวอย่างเป็นแผ่นสี่เหลี่ยมหน้าหนา 5 กรัม ใช้อุณหภูมิในการทดสอบ 150 องศาเซลเซียส และเวลาในการทดสอบ 30 นาที ค่าการทดสอบ t_{c90} ถือเป็นเวลาในการครรูปของยางในเครื่องอัดเบ้า

การทดสอบปริมาณการเชื่อมขวางของยาง

เตรียมตัวอย่างขนาดกว้าง 1 เซนติเมตร และยาว 1 เซนติเมตร ซึ่งนำหนักตัวอย่างก่อนแช่ลงในโทลูอีนเป็นเวลา 72 ชั่วโมง ซึ่งนำหนักตัวอย่างหลังแช่ ทำการอบที่อุณหภูมิ 60 องศาเซลเซียส อบจนกว่าน้ำหนักตัวอย่างจะคงที่ หลังจากนั้นนำมาคำนวณดังสมการที่ (1)

$$v = \frac{-\ln(1-v_r) \cdot v_r \cdot x v_r^2}{v_s \left(\frac{1}{v_r^2} \right) - 0.5 v_r} \quad (1)$$

เมื่อ v_r = volume fraction ของตัวอย่างหลังจากแช่ในโทลูอีน

v_s = Molar volume ของสารละลาย

x = Interaction parameter[8]

ทดสอบการกระจายตัวของธาตุ

ทดสอบการกระจายตัวของธาตุในตัวอย่างโดยเตรียมชิ้นตัวอย่างติดลงบน stub และทำการเคลือบตัวอย่างด้วยทองคำ ใช้เทคนิค Energy Dispersive X-Ray Fluorescence Spectrometer (EDX) โดยใช้เครื่องทดสอบรุ่น SEM Quanta 400 FEI

การทดสอบสมบัติเชิงกล

การทดสอบสมบัติเชิงกลได้แก่ โมดูลัสที่ระยะยืด 100 % (modulus at 100 % elongation) ความต้านทานต่อแรงดึง (tensile strength) และระยะยืด ณ จุดขาด (elongation at break) ทดสอบตาม ASTM D 412 โดยการเตรียมชิ้นตัวอย่างเป็นรูปดัมเบล โดยมีความกว้างเท่ากับ 3.65 มิลลิเมตร โดยใช้ universal testing machine รุ่น H10KS ทดสอบความแข็ง (hardness) ทดสอบตามมาตรฐาน ASTM D 2240 โดยใช้เครื่อง Shore A durometer รุ่น Frank GmbH และความถ่วงจำเพาะ (specific gravity) โดยทำการทดสอบตามมาตรฐาน ISO 2781:2008 (Method A) ใช้เทคนิคการเปรียบเทียบน้ำหนักตัวอย่างในอากาศ และน้ำ เครื่องทดสอบรุ่น ML204

การทดสอบสมบัติทางด้านรังสี

การวัดการดูดกลืนรังสีแกมมา (Gamma ray)

ค่าทางทฤษฎีของสมบัติทางด้านรังสีแกมมาสามารถคำนวณได้จากโปรแกรม WinXcom และค่าจากการทดสอบสามารถตรวจวัดโดยใช้เทคนิคการกระเจิงคอมป์ตัน เครื่องทดสอบมีแหล่งกำเนิดรังสี Cs-137 ความแรงของปริมาณรังสีที่สารกัมมันตรังสีสลายตัวต่อหน่วยเวลาเท่ากับ 15^{mCi} (555 MBq) พลังงาน 662 keV ใช้หัววัดรังสีชนิด NaI(Tl) และทำการประมวลผลโดย Multi Channel Analyzer (MCA) เตรียมชิ้นตัวอย่างเป็นรูปวงกลมเส้นผ่านศูนย์กลางขนาด 2.5 เซนติเมตร

การประชุมวิชาการระดับชาติ “ราชมงคลสุรินทร์ ครั้งที่ 10”
 “วิจัยและนวัตกรรม นำสู่การพัฒนาอย่างยั่งยืน” ณ มหาวิทยาลัยเทคโนโลยีราชมงคลอีสาน วิทยาเขตสุรินทร์



หนา 1 เซนติเมตร ทำการทดสอบที่มุมในการกระเจิงแสงเท่ากับ 120° ซึ่งมีค่าพลังงานเท่ากับ 662 keV และใช้เวลาการทดสอบ 25,000 วินาที สามารถคำนวณหาค่าความหนาครึ่งค่า (Half value layer: HVL) ตามสมการที่ 5

การวัดการดูดกลืนรังสีเอ็กซ์ (X-ray)

การทดสอบการดูดกลืนรังสีเอ็กซ์ ทำการทดสอบโดยใช้เครื่อง high frequency digital radiography X-ray machine Shimadzu model RAD Speed Pro operated ที่พลังงานในช่วง 50-120 kVp ค่ากระแสไฟฟ้าที่ให้กับหลอดเอ็กซ์เรย์เท่ากับ 40 mAs และใช้ full function meter (RMI 242) ในการบันทึกสเปกตรัม เตรียมตัวอย่างขนาดเส้นผ่านศูนย์กลาง 2.5 เซนติเมตร และหนา 1 เซนติเมตร ทำการจัดตั้งอุปกรณ์ทดสอบโดยระยะห่างระหว่างหลอดเอ็กซ์เรย์กับขาตั้งตัวอย่างห่างกัน 56 เซนติเมตร และระยะห่างระหว่างขาตั้งตัวอย่างกับพื้นห่างกัน 56 เซนติเมตร ทำการจัดแสงไฟให้มีขนาด 2×2 เซนติเมตร โดยหัวนับวัดจะต้องอยู่ที่กึ่งกลางของแสงไฟ สามารถคำนวณสัมประสิทธิ์เชิงเส้น ความหนาครึ่งค่า และความหนาเทียบเท่าตะกั่ว ตามสมการที่ 2, 5 และ 6 ตามลำดับ

ค่าสัมประสิทธิ์การลดทอนเชิงเส้น (linear mass attenuation coefficient: μ)

ค่าสัมประสิทธิ์การลดทอนเชิงเส้นจะขึ้นอยู่กับพลังงานของรังสี เลขอะตอมของตัวกลาง และความหนาแน่นของตัวกลาง

$$I = I_0 e^{-\mu x} \quad (2)$$

- เมื่อ I_0 คือ ปริมาณโฟตอนก่อนที่จะเคลื่อนที่ผ่านตัวกลาง
 I คือ ปริมาณโฟตอนที่เคลื่อนที่ออกจากตัวกลาง
 x คือ ความหนาของตัวกลางที่โฟตอนเคลื่อนที่ผ่าน (cm)
 μ คือ ค่าสัมประสิทธิ์การลดทอนเชิงเส้น (Linear Attenuation Coefficient: cm^{-1})

ค่าสัมประสิทธิ์การลดทอนเชิงมวล (Mass Attenuation Coefficient)

$$\mu_m = \mu / \rho \quad (3)$$

$$\mu_m = \frac{\ln(I_0/I)}{\rho} \quad (4)$$

- เมื่อ μ_m คือ ค่าสัมประสิทธิ์การลดทอนเชิงมวล (cm^2/g)
 ρ คือ ความหนาแน่นของตัวกลาง (g/cm^3)

ความหนาครึ่งค่าของวัสดุ (Half Value Layer: HVL)

ความหนาครึ่งค่าของวัสดุ คือ ความหนาของวัสดุที่สามารถกั้นรังสี และทำให้ปริมาณรังสีลดลงครึ่งหนึ่งจากปริมาณรังสีเดิมที่ผ่านเข้ามา สามารถคำนวณได้จาก

$$\text{HVL} = \frac{\ln 2}{\mu} \quad (5)$$

การประชุมวิชาการระดับชาติ “ราชมงคลสุรินทร์ ครั้งที่ 10”
 “วิจัยและนวัตกรรม นำสู่การพัฒนาอย่างยั่งยืน” ณ มหาวิทยาลัยเทคโนโลยีราชมงคลอีสาน วิทยาเขตสุรินทร์



เมื่อ μ คือ ค่าสัมประสิทธิ์การลดทอนเชิงเส้น (cm^{-1}) คำนวณได้จาก $\mu_m \times \rho$

ความหนาเทียบเท่าตะกั่ว (Lead equivalent)

ความหนาเทียบเท่าตะกั่ว เป็นการเปรียบเทียบความสามารถในการกำบังรังสีของวัสดุคอมโพสิตสำหรับการกำบังรังสีกับตะกั่ว โดยใช้ความหนาเป็นตัวแทนในการเปรียบเทียบ [11]

$$\text{Lead equivalent} = \frac{\mu_{\text{composite}}}{\mu_{\text{Pb}}} \times \text{thickness}_{\text{composite}} \quad (6)$$

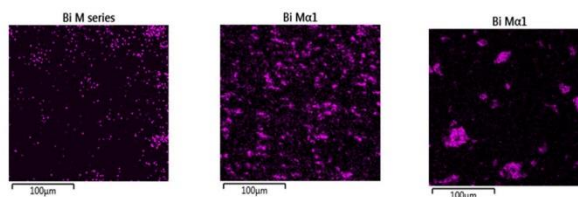
ผลการวิจัย

การทดสอบสมบัติเชิงกลของยางธรรมชาติคอมโพสิตที่การแปรชนิดของยางธรรมชาติ ได้แก่ unmodified NR, ENR 25 และ ENR 50 ที่มีการเติมบิสฟีนอลเออไซด์ ผลการทดสอบสมบัติเชิงกล และสมบัติการลดทอนรังสีแกมมาแสดงในตารางที่ 1

ตารางที่ 2 สมบัติเชิงกล และสมบัติการลดทอนรังสีแกมมา (gamma ray) ของยางคอมโพสิตที่มีการใช้ยางที่มีปริมาณอพิทอกไซด์ในยางธรรมชาติต่างกัน

Properties	Unmodified NR/BO	ENR 25/BO	ENR 50/BO
Modulus at 100% elongation (MPa)	1.02 ±0.11	1.23 ±0.13	1.09 ±0.21
Tensile strength (MPa)	20.66 ±1.88	21.42 ±1.99	14.10 ±0.87
% Elongation at break	625 ±29	650 ±50	600 ±29
Hardness (shore A)	45.20 ±0.45	45.00 ±0.89	46.00 ±0.45
Specific gravity	1.568 ±0.003	1.601 ±0.004	1.653 ±0.024
Crosslink density	1.23 ×10 ⁻³ ±1.04 ×10 ⁻⁴	1.21 ×10 ⁻³ ±2.04 ×10 ⁻⁴	1.15 ×10 ⁻³ ±1.54 ×10 ⁻⁴

Dispersion by EDX technique

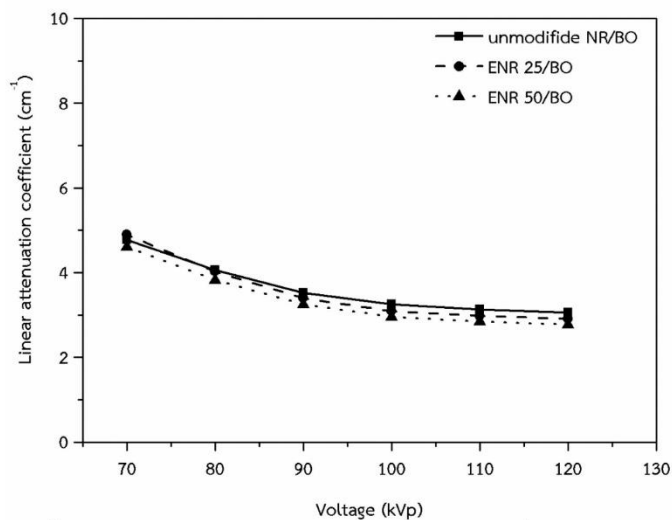


HVL of gamma shielding (cm)*	4.6376	4.6637	4.7058
------------------------------	--------	--------	--------

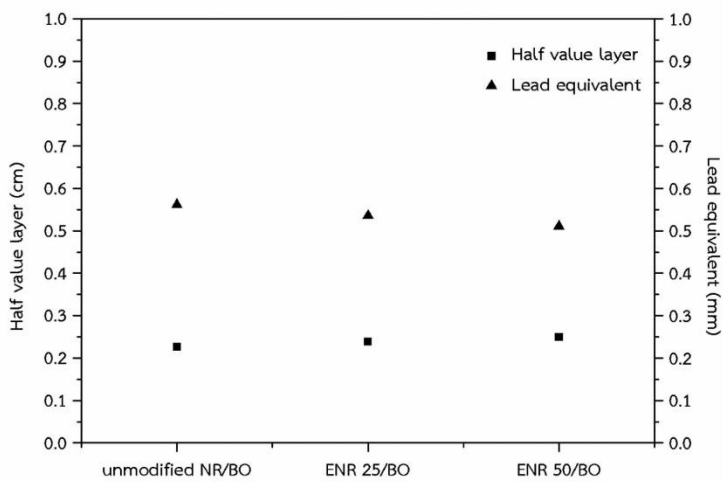
*commercial window = 4.7300 cm

สมบัติการลดทอนรังสีเอ็กซ์ (X-ray)

ผลการทดสอบความสัมพันธ์ระหว่างยางคอมโพสิตที่มีการแปรชนิดของยางธรรมชาติ และเติมบิสมัทออกไซด์เป็นสารกำบังรังสี ต่อความสามารถในการลดทอนรังสีเอ็กซ์ของ NR composites แสดงในรูปที่ 1-3



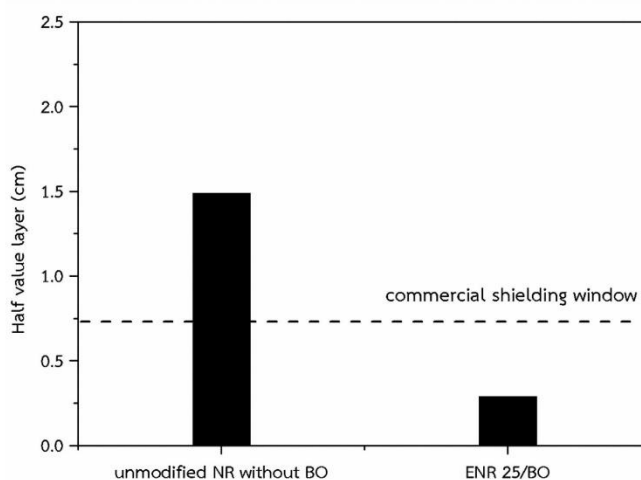
รูปที่ 1 สัมประสิทธิ์การลดทอนรังสีเชิงเส้นของของยางคอมโพสิตที่มีการใช้ยางธรรมชาติที่มีปริมาณอิพอกไซด์ในยางธรรมชาติต่างกัน ทดสอบรังสีเอ็กซ์ที่พลังงาน 50-120 kVp



การประชุมวิชาการระดับชาติ “ราชมงคลสุรินทร์ ครั้งที่ 10”
 “วิจัยและนวัตกรรม นำสู่การพัฒนาอย่างยั่งยืน” ณ มหาวิทยาลัยเทคโนโลยีราชมงคลอีสาน วิทยาเขตสุรินทร์



รูปที่ 2 ความหนาครึ่งค่า และความหนาเทียบเท่าตะกั่วของของยางธรรมชาติคอมโพสิตที่มีการใช้ยางที่มีปริมาณอ็อกไซด์ในยางธรรมชาติต่างกัน ทดสอบที่รังสีเอ็กซ์พลังงาน 120 kVp



รูปที่ 3 เปรียบเทียบความหนาครึ่งค่าของของยางอ็อกไซด์ 25 คอมโพสิตกับ ยางธรรมชาติที่ไม่มีการเติมบิสฟีนอลเอ (BO) commercial shielding window ที่รังสีเอ็กซ์พลังงาน 120 kVp

การอภิปรายผล

การทดสอบสมบัติเชิงกล

จากตารางที่ 2 แสดงค่ามอดูลัสที่ระยะยืด 100% (Modulus at 100% elongation) และความแข็ง (Hardness) ของยางคอมโพสิตที่มีการแปรชนิดของยาง และเติมบิสฟีนอลเอเป็นสารก้ำบั้งรังสีปริมาณ 80 phr จากผลการทดสอบพบว่า unmodified NR/BO, ENR 25/BO และ ENR 50/BO composites ให้ค่ามอดูลัสที่ระยะยืด 100% และความแข็งที่ใกล้เคียงกัน เนื่องจากเติม BO ในปริมาณที่เท่ากัน และยางคอมโพสิตทั้ง 3 ชนิดมีปริมาณการเชื่อมขวางที่ใกล้เคียงกันสามารถสังเกตได้จากตารางที่ 2 โดยพบว่าปริมาณการเชื่อมขวาง (crosslink density) ของยางคอมโพสิตทั้ง 3 มีปริมาณความหนาแน่นของการเชื่อมขวางที่ใกล้เคียงกัน อย่างไรก็ตามค่าความต้านทานต่อแรงดึง (Tensile strength) และระยะยืด ณ จุดขาด (% Elongation at break) ของยางคอมโพสิตที่มีการแปรชนิดของยาง และเติมบิสฟีนอลเอเป็นสารก้ำบั้งรังสี จากตารางที่ 2 มีค่าต่างกัน โดยพบว่า ENR 25/BO composites ให้ค่าความต้านทานต่อแรงดึงมากกว่า unmodified NR/BO composites และ ENR 50/BO composites ตามลำดับ ส่วนนี้เป็นผลโดยตรงมาจากการกระจายตัวของ BO ที่เติมลงใน ENR 25 การกระจายตัวของ BO ในยางคอมโพสิตที่มีการแปรชนิดของยางที่แตกต่างกันสังเกตได้จากตารางที่ 2 จะเห็นได้ว่า ENR 25 มีการกระจายตัวของ BO ได้ดีกว่า unmodified NR เนื่องจากยางชนิด ENR เป็นยางที่มีวงแหวนออกซิไดซ์ภายในโครงสร้างของสายโซ่โมเลกุล ซึ่งผ่านการตัดแปรให้โมเลกุลยางชนิดนี้มีความเป็นขั้ว สามารถเข้ากันได้กับ BO ซึ่งจัดเป็นสารที่

การประชุมวิชาการระดับชาติ “ราชชมงคลสุรินทร์ ครั้งที่ 10”
 “วิจัยและนวัตกรรม นำสู่การพัฒนาอย่างยั่งยืน” ณ มหาวิทยาลัยเทคโนโลยีราชมงคลอีสาน วิทยาเขตสุรินทร์



มีข้อเช่นเดียวกันได้ดี ส่งผลให้สมบัติเชิงกลมีแนวโน้มที่ดีขึ้น อย่างไรก็ตามในกรณีของยางชนิด ENR 50 ถึงแม้มีการดัดแปรโมเลกุลให้ความเป็นขั้วเช่นกัน แต่เนื่องด้วยกระบวนการดัดแปรที่มีการเติมหมู่ฟอกไซต์ลงไปในโมเลกุลปริมาณสูงส่งผลให้น้ำหนักโมเลกุลโดยภาพรวมต่ำลง ซึ่งน้ำหนักโมเลกุลที่ต่ำลงจะส่งผลโดยตรงต่อความเหนียวและความสามารถในการกระจายตัวของ BO ใน ENR 50 (กล่าวคือสายโซ่โมเลกุลสั้นลง จะส่งผลต่อความเหนียวเริ่มต้นของยางลดลง แรงเฉือนที่เกิดขึ้นภายในเครื่องผสมแบบบดจึงลดลงตามไปด้วยการกระจายตัวของสารจึงเกิดได้ไม่ดีทำให้สารเกิดการเกาะกลุ่มกันเองมากกว่าที่จะกระจายตัวในเนื้ออย่างสม่ำเสมอ) ซึ่งการกระจายตัวของสารจะส่งผลโดยตรงต่อสมบัติเชิงกลของยางคอมโพสิต ซึ่งการกระจายตัวของสารมีผลต่อสมบัติเชิงกลของวัสดุคอมโพสิตในเรื่องของการส่งผ่านแรง หากวัสดุคอมโพสิตมีการกระจายตัวของสารที่ดีการส่งผ่านแรงก็จะเป็นไปอย่างต่อเนื่อง ทำให้วัสดุคอมโพสิตเกิดการรับแรงได้ดี และส่งผลต่อความแข็งแรงที่ดีอีกด้วย ในทางกลับกันหากวัสดุคอมโพสิตมีการกระจายตัวของสารที่ไม่ดี ก็จะส่งผลต่อการถ่ายโอนแรงที่ไม่ต่อเนื่องจากเนื้อพื้นไปยังเฟสกระจาย วัสดุคอมโพสิตเกิดการรับแรงได้ไม่ดี สมบัติด้านความแข็งแรงจะลดลงเช่นเดียวกับ ENR 50/BO composites ที่ให้ค่าความต้านทานต่อแรงดึงน้อยที่สุด เมื่อเทียบกับ ENR 25/BO composites และ NR/BO composites นอกจากนี้การกระจายตัวที่ไม่ดีของสารยังส่งผลต่อค่าระยะยึด ณ จุดขาด เนื่องจากบริเวณที่เกิดการเกาะกลุ่มกันของสารจัดเป็นบริเวณที่มีเป็นจุดอ่อนของวัสดุคอมโพสิต กล่าวคือจุดที่เกิดการเกาะกลุ่มกันนี้จะเกิดจุดที่เกิดการขาดเมื่อให้แรงดึงกับวัสดุคอมโพสิต ดังนั้น ENR 50/BO composites มีการกระจายตัวที่ไม่ดีจึงทำให้มีค่าระยะยึด ณ จุดขาดต่ำกว่า ENR 25/BO composites และ unmodified NR/BO composites โดยความถ่วงจำเพาะ (Specific gravity) ของยางธรรมชาติคอมโพสิตที่มีการแปรชนิดของยางธรรมชาติชนิดต่าง ๆ และเติมบิสมีทออกไซด์เป็นสารกำบังรังสี ซึ่งเติมในปริมาณที่เท่ากัน จากรูปจะเห็นว่า ENR 25/BO composites และ ENR 50/BO composites ให้ค่าความถ่วงจำเพาะมากกว่า unmodified NR/BO composites เล็กน้อย เนื่องจากธรรมชาติของวัสดุดิบ ENR มีความถ่วงจำเพาะมากกว่า unmodified NR เล็กน้อย (ความถ่วงจำเพาะของ ENR ประมาณ 1 [4] และความถ่วงจำเพาะของ NR ประมาณ 0.92 [10])

การทดสอบสมบัติทางด้านรังสี

สมบัติการลดทอนรังสีแกมมา

ตารางที่ 2 แสดงความหนาครึ่งค่า (Half value layer: HVL) ของยางคอมโพสิตที่ทำทดสอบโดยใช้รังสีแกมมาที่มีพลังงานเท่ากับ 662 keV จากผลการทดสอบพบว่าคอมโพสิตของยางธรรมชาติที่เตรียมได้ทั้ง 3 ชนิด มีค่าความหนาครึ่งค่าและความหนาเทียบเท่าตะกั่วที่ใกล้เคียงกัน (ไม่แตกต่างกันอย่างมีนัยสำคัญ) หมายความว่ายางคอมโพสิตทั้ง 3 ชนิดสามารถลดทอนความเข้ม หรือพลังงานรังสีได้ครึ่งหนึ่งจากรังสีเดิมโดยมีความหนาที่เท่ากัน และเมื่อนำมาเปรียบเทียบกับวัสดุกำบังรังสีที่นิยมใช้ทั่วไปพบว่ายางคอมโพสิตทั้ง 3 ชนิดให้ค่าความหนาครึ่งค่าน้อยกว่า commercial shielding window นั้นหมายความว่ายางคอมโพสิตทั้ง 3 ชนิดสามารถลดทอนรังสีได้ดีกว่าหรือเทียบเท่ากับ commercial shielding window ที่เป็นวัสดุที่ใช้เป็นวัสดุหลักในการกำบังรังสี

สมบัติการลดทอนรังสีเอ็กซ์

รูปที่ 1 แสดงสัมประสิทธิ์การลดทอนรังสีเชิงเส้นของยางคอมโพสิตที่มีการแปรชนิดของยาง และเติมบิสมีทออกไซด์เป็นสารกำบังรังสี โดยทำการทดสอบรังสีเอ็กซ์ที่มีพลังงานในช่วง 50-120 kVp พบว่าผลการทดสอบมีแนวโน้มเช่นเดียวกับการทดสอบคุณสมบัติการลดทอนรังสีแกมมา กล่าวคือ unmodified NR/BO ENR 25/BO และ ENR 50/BO composites ให้ค่าสัมประสิทธิ์การลดทอนรังสีเชิงเส้นที่ใกล้เคียงกัน กล่าวคือยางคอมโพสิตทั้ง 3 ชนิดมีความสามารถในการลดทอนรังสีเอ็กซ์ที่ใกล้เคียงกัน

การประชุมวิชาการระดับชาติ “ราชชมงคลสุรินทร์ ครั้งที่ 10”
 “วิจัยและนวัตกรรม นำสู่การพัฒนาอย่างยั่งยืน” ณ มหาวิทยาลัยเทคโนโลยีราชมงคลอีสาน วิทยาเขตสุรินทร์



รูปที่ 2 แสดงความหนาครึ่งค่า และความหนาเทียบเท่าตะกั่วของยางคอมโพสิตที่มีการแปรชนิดของยาง และเติม บิสฟีนอกไซด์เป็นสารก้ำบังรังสีทดสอบรังสีเอ็กซ์ที่มีพลังงานเท่ากับ 120 kVp จากผลการทดสอบพบว่า unmodified NR/BO ENR 25/BO และ ENR 50/BO composites มีความหนาครึ่งค่า และความหนาเทียบเท่าตะกั่วที่ใกล้เคียงกัน แสดงว่ายางคอมโพสิตทั้ง 3 ชนิดมีความหนาเท่ากันที่สามารถลดทอนพลังงาน หรือความเข้มของรังสีได้ครึ่งหนึ่งจากพลังงาน หรือความเข้มของรังสีเดิม หรือกล่าวคือรังสีจะถูกยางคอมโพสิตดูดกลืนรังสีได้ครึ่งหนึ่ง และรังสีอีกครึ่งหนึ่งสามารถทะลุผ่าน ออกมาจากยางคอมโพสิตได้ และยางคอมโพสิตทั้ง 3 ชนิดสามารถก้ำบังรังสีเอ็กซ์ได้เทียบเท่าตะกั่วที่มีหนาประมาณ 0.25 มิลลิเมตร โดยทำการเปรียบเทียบยางคอมโพสิตที่มีความหนาเท่ากันคือ 13 มิลลิเมตร

บทสรุป

การเตรียมยางธรรมชาติคอมโพสิตปลอดตะกั่วที่มีคุณสมบัติสามารถก้ำบังรังสีได้ดี โดยการใช้ส่วนผสมระหว่างยางธรรมชาติที่มีหมู่ฟอกไซด์และบิสฟีนอกไซด์ พบว่า ENR 25/BO composites เหมาะสมที่สุดเพราะมีสมบัติเชิงกลสูงที่สุด ทำให้มีค่าความต้านทานต่อแรงดึงมากกว่า unmodified NR/BO composites และ ENR 50/BO composites ตามลำดับ เมื่อทำการทดสอบที่รังสีเอ็กซ์พลังงาน 120 kVp พบว่า ENR 25/ BO composites สามารถก้ำบังรังสีเอ็กซ์ได้ดีกว่า NR without BO และ commercial window ตามลำดับ ดังนั้น ENR 25/BO composites เหมาะสมที่จะนำมาผลิตเป็นวัสดุ ก้ำบังรังสีเอ็กซ์ที่ปลอดตะกั่ว อีกทั้งมีความยืดหยุ่น และมีความต้านทานต่อแรงดึงสูง สามารถก้ำบังรังสีเฉพาะจุดหรือบริเวณที่ต้องการความโค้งงอได้ ยางคอมโพสิตปราศจากตะกั่วที่พัฒนาขึ้น มีความสามารถลดทอนรังสีแกมมา และก้ำบังรังสีเอ็กซ์ได้ดีกว่าแบบกระจก วัสดุที่เตรียมได้จึงมีความเป็นไปได้สูงที่จะพัฒนาในเชิงพาณิชย์และเป็นวัสดุที่มีคุณสมบัติก้ำบังรังสีชนิดสวมใส่ได้

กิตติกรรมประกาศ

คณะผู้วิจัยขอขอบคุณสถาบันวิจัย และพัฒนานวัตกรรมยางพารา สำหรับการสนับสนุนทุนวิจัย (สัญญาเลขที่ SCI6010635) ขอขอบคุณสาขาวิทยาศาสตร์ โพลีเมอร์ คณะวิทยาศาสตร์ ศูนย์ถ่ายทอดเทคโนโลยียาง มหาวิทยาลัยสงขลานครินทร์ สาขาฟิสิกส์ คณะวิทยาศาสตร์ และเทคโนโลยี มหาวิทยาลัยราชภัฏนครปฐม และสาขารังสีเทคนิค คณะเทคนิคการแพทย์ มหาวิทยาลัยเชียงใหม่ ที่อำนวยความสะดวก ด้านสถานที่ การใช้เครื่องมือ และอุปกรณ์ตลอด การดำเนินงานวิจัย

เอกสารอ้างอิง

- [1] ทิวาวัลย์ อธิชาติกุล, นพวรรณ ชนัญพานิช, วิฑิต ผึ้งกัน และชลดา สุวรรณบุรณ์. (2560). สัมประสิทธิ์การลดทอนรังสีเอ็กซ์ของแผ่นคอมโพสิต Pu/BaSO₄. ปีที่ 27. วารสารวิชาการพระจอมเกล้าพระนครเหนือ. ฉบับที่ 1. หน้า 159–168
- [2] บทความสมาคมนิวเคลียร์แห่งประเทศไทย. (2550). ทอเรียมไดออกไซด์. เข้าถึงเมื่อ (2 พฤษภาคม 2561). เข้าถึงได้จาก (<http://www.nst.or.th/article/article494/article49409.htm>)
- [3] บุญรักษ์ กาญจนวรรณชัย. (2552). แผ่นเส้นใยนาโนคอมโพสิตป้องกันรังสีเอ็กซ์. เข้าถึงเมื่อ (2 พฤษภาคม 2561). เข้าถึงได้จาก (<https://www.mtec.or.th/post-knowledges/4070/>)

การประชุมวิชาการระดับชาติ “ราชมงคสุรินทร์ ครั้งที่ 10”
 “วิจัยและนวัตกรรม นำสู่การพัฒนาอย่างยั่งยืน” ณ มหาวิทยาลัยเทคโนโลยีราชมงคลอีสาน วิทยาเขตสุรินทร์



- [4] เสาวนีย์ ก่อวุฒิภูถรังษี และกนกวรรณ หัตถติยา. (2558). การใช้เยื่อกระดาษหนังสือพิมพ์เป็นสารตัวเติมในยางธรรมชาติ. เข้าถึงเมื่อ (25 มิถุนายน 2562). เข้าถึงได้จาก (<http://dmhost2.psu.ac.th/~rumpsu/index.php/psu-research>)
- [5] Chayanit J. and Doonyapong W. (2014). Innovative neutron shielding material composing of natural rubber- styrene butadiene rubber blends and diboron trioxide. Access (2 May 2018) . Available (<http://cuir.car.chula.ac.th/handle/123456789/45903>)
- [6] Donruedee T., Anawat R., Worawat P and Kiadtisak S. (2018). Flexible, lead-free, gamma-shielding material based on natural rubber/metal oxide composites. Iran. Polym. Vol. 27. pp. 33–41
- [7] Flora G., Gupta D. and Tiwari A. (2012). Toxicity of lead: a review with recent updates. Toxicology. Vol. 5. pp. 47–58
- [8] Johns J., Nakason C., Thitithammawong A. and Klinpituksa P. (2012). Method to vulcanize natural rubber from medium ammonia latex by using glutaraldehyde. Rubber Chem. Technol. Vol. 85. No. 4. pp. 565–575
- [9] Kalayane K., Lek S., Tripob B. and Sompong N. (2008). Ferrite-STR 5L Rubber Composites as Gamma Radiation shildings. KRU research journal. Vol. 13. No. 2. pp. 269–271
- [10] POLYTECH INDUSTRY Co., ltd. (2554). ยางธรรมชาติ. RUBBER. เข้าถึงเมื่อ (25 มิถุนายน 2562). เข้าถึงได้จาก (<http://polytech-rubber.blogspot.com/2011/07/rubber.html>)
- [11] Yasaka P., Pattanaboonmee N., Kim HJ., Limkitjaroenporn P. and Kaewkhao J. (2014). Gamma radiation shielding and optical properties measurement of zine bismuth borate glasses. Ann. Nucl. Energy. Vol. 68. pp. 4–9

ภาคผนวก ง.

ต้นฉบับบทความวิจัย

Intom S., Kalkornsuranee E., Johns J., Hongtong W., Chaiphaksa W. and
Kaewkhao J. 2018. Flexible radiation shielding materials based on natural
rubber/ bismuth oxides (Bi_2O_3) and natural rubber/lead oxides (PbO)
composites

Flexible Gamma Radiation Shielding Materials based on Natural Rubber and Bismuth, Lead Oxide Composites

Journal:	<i>Journal of Reinforced Plastics and Composites</i>
Manuscript ID:	JRP-19-0693
Manuscript Type:	Invitation Only: Papers from Materials Research Society of Thailand, International Conference
Date Submitted by the Author:	26-Sep-2019
Complete List of Authors:	Intom, Sirilak; Prince of Songkla University - Hat Yai Campus, Materials Science and Technology Kalkornsuranee, Ekwipoo ; Prince of Songkla University - Hat Yai Campus, Materials Science and Technology Johns, Jobish; RajaRajeswari College of Engineering, Physics Hongtong, Wiraporn ; Nakhon Pathom Rajabhat University, Physics Program Chaiphaksa, Wuttichai ; Nakhon Pathom Rajabhat University, Physics Program Kaewkhao, Jakrapong; Nakhon Pathom Rajabhat University, Physics Program
Keyword:	Natural Rubber, Lead Oxide, Composites, Radiation shielding, Gamma ray, Bismuth Oxide
Abstract:	This work aims to compare the performance between natural rubber (NR)/lead oxide (PbO) composite and natural rubber (NR)/ bismuth oxide (BO) composite for gamma radiation shielding applications. The results indicated that both NR/BO and NR/PbO composites have no significantly different in term of modulus and hardness values while the NR/PbO composite exhibited higher tensile strength, elongation at break and specific gravity than that of NR/BO composite. Gamma radiation shielding properties in terms of mass attenuation coefficient (μ_m), effective atomic number (Z_{eff}), effective electron density (N_e) and half value layer (HVL) have been also studied. It is seen that both composites gave good and no significantly different on radiation shielding properties. In addition, the developed NR/PbO and NR/BO composites have better radiation shielding than that of the neat natural rubber (without radiation shielding fillers), commercial window and ordinary concrete. The developed material in this work can be used as efficient flexible radiation shielding materials. However, as a radiation shielding material lead is not suitable to use due to its toxicity to the human body and the environment. Therefore, NR with BO is better appropriate choice for producing flexible radiation shielding material such as glove, apron, underwear and wristband.

SCHOLARONE™
Manuscripts

1
2
3
4
5
6
7
8
9
10
11
12
13
14
15
16
17
18
19
20
21
22
23
24
25
26
27
28
29
30
31
32
33
34
35
36
37
38
39
40
41
42
43
44
45
46
47
48
49
50
51
52
53
54
55
56
57
58
59
60

<https://mc.manuscriptcentral.com/jrpc>

1
2
3 **Flexible Gamma Radiation Shielding Materials based on Natural Rubber and Bismuth, Lead**
4 **Oxide Composites**

5 **Sirilak Intom^{1*}, Ekwipoo Kalkornsuraee¹, Jobish Johns²,**
6 **Wiraporn Hongtong³, Wuttichai Chaiphaksa³ and Jakrapong Kaewkhao³**

7
8
9
10 ¹*Department of Materials Science and Technology, Faculty of Science, Prince of Songkla*
11 *University, Hat-Yai, Thailand.*

12 ²*R&D Center, Department of Physics, Rajarajeswari College of Engineering, Bangalore, INDIA.*

13 ³*Physics Program, Faculty of Science and Technology, Nakhon Pathom Rajabhat University,*
14 *Nakhon Pathom, Thailand.*

15
16
17
18 E-mail: yingsirilak_29@hotmail.com
19

20
21
22 **Abstract:** This work aims to compare the performance between natural rubber (NR)/lead oxide
23 (PbO) composite and natural rubber (NR)/ bismuth oxide (BO) composite for gamma radiation
24 shielding applications. The results indicated that both NR/BO and NR/PbO composites have no
25 significantly different in term of modulus and hardness values while the NR/PbO composite
26 exhibited higher tensile strength, elongation at break and specific gravity than that of NR/BO
27 composite. Gamma radiation shielding properties in terms of mass attenuation coefficient (μ_m),
28 effective atomic number (Z_{eff}), effective electron density (N_e) and half value layer (HVL) have been
29 also studied. It is seen that both composites gave good and no significantly different on radiation
30 shielding properties. In addition, the developed NR/PbO and NR/BO composites have better
31 radiation shielding than that of the neat natural rubber (without radiation shielding fillers),
32 commercial window and ordinary concrete. The developed material in this work can be used as
33 efficient flexible radiation shielding materials. However, as a radiation shielding material lead is not
34 suitable to use due to its toxicity to the human body and the environment. Therefore, NR with BO is
35 better appropriate choice for producing flexible radiation shielding material such as glove, apron,
36 underwear and wristband.
37
38
39
40
41
42
43
44
45
46
47

48 **Keyword:** Natural rubber, Bismuth Oxide, Lead Oxide, Composites, Radiation shielding, Gamma
49 ray.
50
51

52
53
54 **1. Introduction**

55 Gamma rays are high energy electromagnetic radiation, which penetrates deeply into the
56 material. Recently, radioactive isotopes have been used extremely in many fields such as industry,
57 agriculture and medicine. The most commonly used ionizing radiations are gamma and X-rays [1].
58 These radiations are harmful to the cells of organisms [2]. Therefore, it is need to produce radiation
59 shielding materials. Normally, using concrete as a radiation shielding is uncomfortable due to heavy
60 weight and difficult to transport from one place to another. Evaporation of water on exposing high

energy radiations forms crack in the concrete due to its brittle and non-flexibility nature. These are the limitations of concrete in case of radiation shielding applications. There are many research works reported the successfully prepared glass/Pb composites as shielding materials [3,4,5]. However, radiation shielding materials based on glass/lead composites are easy to crack and dangerous to human health. Therefore, many researchers [6,7] attempted to prepare polymer composites with other metal oxide as shielding materials to overcome the previous drawbacks of the glass/Pb composites. For example, Le Chang and co-workers prepared Tungsten/epoxy composites by blending epoxy resin with different weight percent of tungsten contents. This is to obtain better toughness together with shielding properties for the materials. From this study, the shielding properties of the composites increased with increment of tungsten contents [8]. However, epoxy is rigid and non-flexible. Therefore, this research aims to develop flexible shielding material based on natural rubber (NR) composites. The mechanical and shielding properties of NR composites with different radiation shielding filler types (i.e., Bismuth oxides (BO) and lead oxides (PbO)) and without radiation shielding fillers (neat NR) were investigated. Cure characteristics, particle distribution, mechanical and shielding properties of the NR composites were studied and compared.

2. Details experimental

2.1. Materials

Compositions of NR composites and their role are given in Table 1.

Table 1 Ingredient of NR composites with addition BO and PbO

Chemicals	Content (phr) ^a	Functions	Supplier
Natural rubber (NR, STR5L)	100	Polymer	Chalong latex industry.Co., Phuket (Thailand)
Stearic acid	1	Activator	Imperial Industrial Chemicals Co., Ltd. Bangkok, (Thailand)
Zinc Oxide; ZnO	5	Activator	Thai-Lysaght Co., Ltd., Phranakhon Si Ayutthaya, (Thailand)
N-tert-butyl-2-benzthiazyl sulphenamide; TBBS	1	Accelerator	Siam Chemicals Co., Samutprakarn (Thailand)
Sulfur (S)	2.5	Vulcanizing Agent	Siam Chemicals Co., Samutprakarn (Thailand)
Bismuth oxides (BO) or Lead oxide (PbO)	150 (57.80 wt%)	Radiation Shielding	Alfa Aesar Co., Massachusetts (USA)

^aphr: parts per hundred parts of rubber

2.2. Preparation of NR composites

The NR composite were prepared by using internal mixer (HAAK PolyLab OS, USA) at 60 °C with a rotor speed of 60 rpm. In this work, the preparation of NR composites were divided by two steps including mastication and compounding. First, the NR was masticated in an internal mixer for 10 min. ZnO, Stearic acid, TBBS, BO or PbO and Sulfur were then added with the mixing time of 25 min. The obtained compounds were further measured the scorch (T_{s2}) and cure time (t_{c90}) using Moving die rheometer (MDR). Vulcanization of rubber takes place by compression molding (LCC 140, Taiwan) at 150 °C.

2.3. Testing

2.3.1 Cure characteristics

The cure time (t_{c90}) of NR composites were evaluated using Moving disk rheometer (MDR type, Alpha RPA 2000, USA) according to the ASTM D 5289 at a testing temperature of 150 °C with testing time for 30 min. The obtained cure time was then used for vulcanizing the NR composites by compression molding.

2.3.2. Dispersion Analysis

The distribution of bismuth (Bi) and Lead (Pb) elements in NR composites were investigated using an EDX spectrometer attached to scanning electron microscope (SEM Quanta 400 FEI, Netherland). The specimens were mounted on aluminum stubs using carbon tape and then coated with a thin layer of gold to prevent charging before the observation. The elements present in NR composites were calculated by the following equations:

First step: the ratio of elements in mole percentage,

$$\text{Ratio of element (\%)} = \frac{\text{Molecular weight of element}}{\text{Molecular weight of chemical}} \times 100 \quad (1)$$

Second step: The ratio of elements in weight percentage,

$$\text{Ratio of element (wt\%)} = \frac{\text{Ratio of element (\%)} \times \text{Ratio of chemical}}{100} \quad (2)$$

$$\text{when Ratio of chemical (wt\%)} = \frac{\text{phr of chemical}}{\text{phr}_{\text{total}}} \times 100 \quad (3)$$

2.3.3. Mechanical properties

The mechanical properties in terms of modulus at 100% elongation, tensile strength and elongation at break were measured by using a universal testing machine (Hounsfield, model H10KS, England) according to the ASTM D 412 method using dumbbell-shaped test with a crosshead speed of 500 mm/min. The surface hardness of the composite was tested using Shore A durometer (Frank GmbH, Hamburg, Germany) according to ASTM D 2240. The specific gravity was measured by comparative measurement of mass in air and water according to ISO 2781:2008 (Method A) (Mettler Toledo ML204, New Zealand)

2.3.4. Gamma ray radiation shielding properties

Experimental values of mass attenuation coefficient were measured by the Compton scattering technique for selected gamma ray energy.

The schematic diagram of gamma ray shielding properties measurement by Compton scattering technique is shown in Figure 1. The radiation source is mounted on a composite with adjustable stands. The stands can move in transverse direction for proper beam alignment. The ^{137}Cs radioactive source of 15mCi (555 MBq) strength was obtained from the Office of Atom for Peace (OAP), Thailand. An aluminum rod was used as the scattering rod. The Compton scattered rays using a 2×2 NaI(Tl) scintillator detector having an energy resolution of 8% at 662 keV (BICRON model 2M2/2) with CANBERRA photomultiplier tube (base model 802-5). The optimum distances between source and the scatterer was chosen to be 20 cm and 20 cm between the scatterer and detector. The spectra were recorded using a CANBERRAPC based multi-channel analyzer (MCA). The spectrum on the MCA of detector provides instant counts in each of 1024 bins divided by voltage. Gamma ray shielding properties were measured by varying the scattering angles (30° - 120°) to produce gamma ray of different energies in the range 223 keV -662 keV.

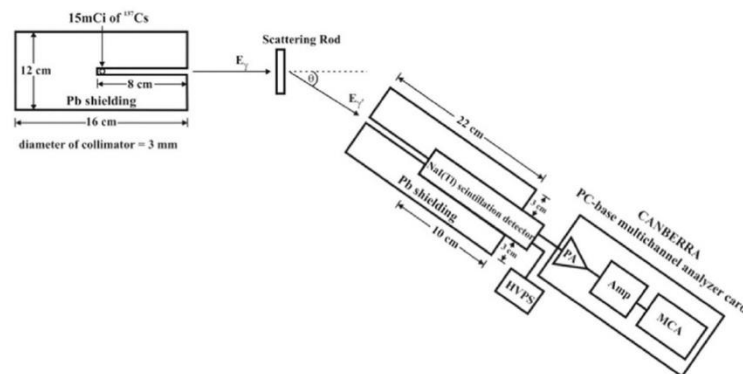


Figure 1. Schematic diagram of mass attenuation coefficient measurement by Compton scattering technique [9].

Gamma ray attenuation properties of NR/BO and NR/PbO composites have been calculated by using equations (4-8)

$$\mu_m = \frac{I}{\rho t} \ln\left(\frac{I_0}{I}\right) \quad (4)$$

when μ_m is the mass attenuation coefficient, ρ is the density of material (g/cm^3), I_0 and I are the incident and transmitted intensities respectively and t is the thickness of NR composites (cm)

$$Z_{\text{eff}} = \frac{\sigma_{t,a}}{\sigma_{t,el}} \quad (5)$$

when Z_{eff} is effective atomic number (electron/atom), $\sigma_{t,e}$ is the total electronic cross-section and $\sigma_{t,a}$ is the total atomic cross-section [10].

$$N_e = \frac{\mu_m}{\sigma_{t,e}} \quad (6)$$

when N_e is the effective electron density (electron/g)

The half value layer (HVL) is a thickness that reduce intensity of radiation by half.

$$\text{HVL} = 0.693/\mu \quad (7)$$

when HVL is the half value layer and μ is linear attenuation coefficient [11].

$$d_{\text{pb}} = \frac{\mu_{\text{composite}}}{\mu_{\text{pb}}} \times d_{\text{composite}} \quad (8)$$

when d_{pb} is lead equivalent thickness μ_{pb} is the linear attenuation coefficient of lead, $\mu_{\text{composite}}$ is the linear attenuation coefficients of NR composites and $d_{\text{composite}}$ is the thickness of NR composites. NR composites with thickness 13 mm, has been used to calculate d_{pb} in this work.

Theoretical values of the gamma attenuation properties of NR, NR/BO and NR/PbO composites have been calculated by WinXCom program [12].

3. Result and discussion

3.1 Cure time

Cure time (t_{c90}) of the neat NR (i.e, without radiation shielding fillers), the NR composite with BO and PbO are depicted in Table 2. It can be seen that the NR composite with both radiation shielding fillers (BO and PbO) provided shorter cure time than the one without radiation filler. This is due to the radiation shielding fillers consisting metal oxide which can be acted as also co-activators. This result gave good agreement with the previous work [13]. Furthermore, M_{11} and ΔM of the NR composites with radiation shielding fillers provided higher than that of the neat NR. This can attributed by the rigid particles of metal oxide insert into the NR chains and this caused obstruction of the mobility of NR chain. However, the NR composites with both radiation shielding fillers showed not significantly different in term of cure behaviors, maximum torque (M_{11}), minimum torque (M_L), and torque difference (ΔM). From this results clearly showed that the crosslink density of both composites are the same.

Table 2 Cure times, maximum torque (M_H), minimum torque (M_L), and torque differences (ΔM) of neat NR, NR with BO and PbO composites

Materials	M_H (dNm)	M_L (dNm)	ΔM (dNm)	Cure time (t_{c90} , min)
Neat NR	6.10	0.39	5.71	8.44
NR/BO	10.47	0.39	10.08	6.22
NR/PbO	10.39	0.35	10.04	6.50

3.2. Dispersion Analysis

Figure 2 shows the SEM microphotographs of NR composites with BO and PbO. The distribution image of bismuth (Bi) and lead (Pb) in NR composites were obtained by EDX technique. The data obtained from Figure 2 reveals that the NR composites with PbO exhibits better distribution than the NR composites with BO. This is due to the smaller particle size of PbO with higher surface area as shown in figure 2. The amounts of elements (which is benefit for calculating for equation 1-3) present in NR composites are given in Table 3.

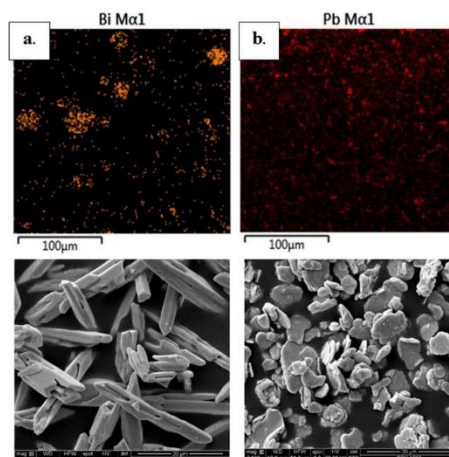


Figure 2. Element mapping distributions in NR matrix and morphology of radiation shielding fillers (a) BO and (b) PbO.

Table 3 The element contents in NR composites

Distribution of elements	NR/BO	NR/PbO
C	34.515	34.515
H	4.605	4.605
O	6.378	5.062
Zn	1.546	1.546
Bi	51.849	-
Pb	-	53.660
N	0.045	0.045
S	1.067	1.067

3.3. Mechanical properties

Figure 3 shows the values of modulus at 100 % elongation and hardness of NR composites with BO and PbO. It is seen that both composites provided higher value compared with the one without both radiation shielding filler. This is due to the addition of rigid particles leads to increase the rigidity nature of rubber molecules. However, there is no significantly different in term of modulus and hardness of the different composites due to the same amount of filler particles in both. Figure 4 shows tensile strength and elongation at break of the NR composites with BO and PbO. The experiment shows that NR/PbO composite has better tensile strength and elongation at break than the NR/BO composite. This can be explained by better dispersion of PbO than BO in NR matrix as shown in Figure 2. Greater distribution leads to better interfacial adhesion and higher tension resistance. On the other hand, poor distribution becomes more agglomeration of filler nature. Therefore, it gave lower tension resistance as shown in Figure 5.

Figure 6 shows specific gravity of the composites. It is seen that the NR/PbO composite has more specific gravity than the one of NR/ BO composite due to higher density nature of PbO (density of BO = 8.90[14] and PbO =9.53[15])

1
2
3
4
5
6
7
8
9
10
11
12
13
14
15
16
17
18
19
20
21
22
23
24
25
26
27
28
29
30
31
32
33
34
35
36
37
38
39
40
41
42
43
44
45
46
47
48
49
50
51
52
53
54
55
56
57
58
59
60

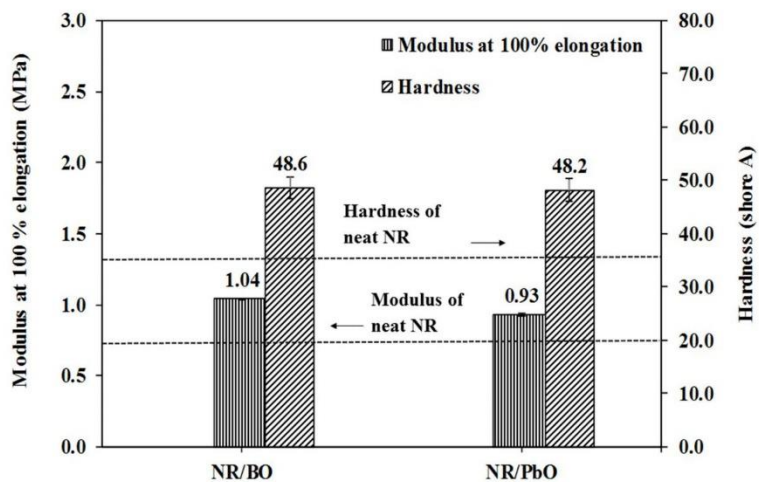


Figure 3. modulus at 100% elongation and hardness of neat NR, NR with BO and PbO composites.

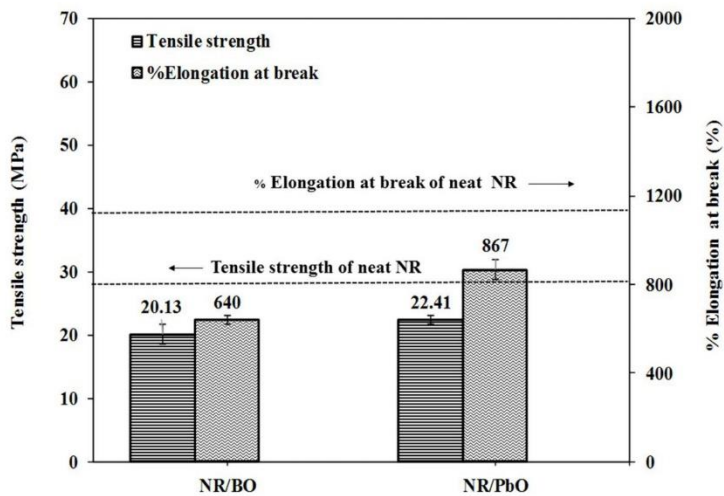


Figure 4. Tensile strength and %Elongation at break of neat NR, NR with BO and PbO composites.

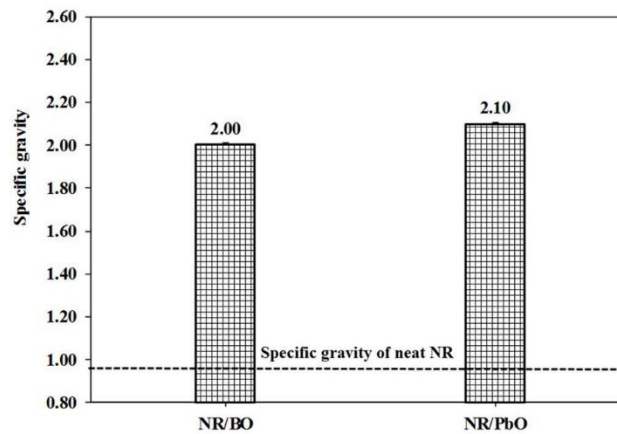


Figure 5. Specific gravity of neat NR, NR with BO and PbO composites.

3.4. Gamma Radiation Shielding

Gamma radiation shielding properties of NR composites with a concentration of 150 phr BO and PbO have been studied. The experiment is conducted with the help of Cs-137 source with energy 663 keV and photon energy varies in the range of 223-662 keV. The angle varies from 30°-120° using Al scattering rod. The values of μ_m , Z_{eff} and N_e of NR/BO and NR/PbO composites measured using gamma ray are as shown in Figures 6-8. It was found that both NR/radiation shielding filler composites have higher gamma ray attenuation value than the neat NR. It can be proven that gamma attenuation can be improved by adding BO and PbO. However, the gamma ray attenuation value of NR/BO and NR/PbO composites are not significantly difference. It shows that NR/BO composite exhibits efficient attenuation as NR/PbO composite and the experimental values of μ_m , Z_{eff} and N_e are in good agreement with the theoretical values. Gamma ray attenuation value of all NR/BO and NR/PbO composites decreases with increasing photon energy. This indicates the dependence of gamma ray attenuation value on the energy of photon.

Figure 9 shows half value layer (HVL) and lead equivalent (dPb) of NR/BO and NR/PbO composites measured using gamma ray with energy 622 keV. It is seen that HVL decreased with increasing lead equivalent by addition of BO and PbO into NR. It means that NR/radiation shielding fillers composites can be improved gamma ray attenuation. HVL and lead equivalent of NR/BO and NR/PbO composites are not significantly difference due to the similar mass attenuation coefficient which leads to similar gamma ray attenuation. Figure10 shows the comparison of HVL of neat NR, NR/BO and NR/PbO composites with commercial window serpentine, ordinary concrete, rs 253 and hemimatite-serpentine measured with 662 keV gamma ray by using Cs-137 source. It indicates that the HVL values of NR/BO and NR/PbO composites showed lower value than the neat NR, commercial window, serpentine, ordinary concrete, rs 253 and hemimatite-serpentine. It can be seen that NR/BO and NR/PbO composites gave better gamma ray attenuation when compared to other shielding materials. From the results, it can be concluded that flexible shielding materials were successfully developed by addition of both BO and PbO into NR

composites with the same shielding efficiency. However, lead (Pb) is one of the carcinogenic agent that harm to the human body and environment. Therefore, NR/BO composite is a better appropriate choice for producing flexible radiation shielding materials.

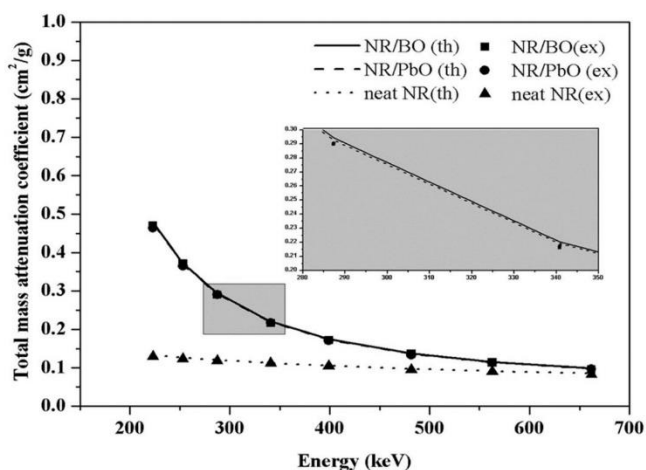


Figure 6. Total mass attenuation coefficient of neat NR, NR with BO and PbO composites measured using gamma ray with energy 223 keV-662 keV.

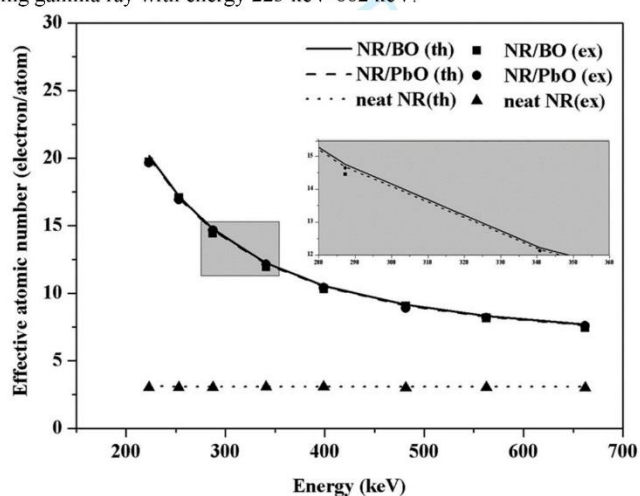


Figure 7. Effective atomic number (Z_{eff}) of neat NR, NR with BO and PbO composites measured using gamma ray with energy 223 keV-662 keV.

1
2
3
4
5
6
7
8
9
10
11
12
13
14
15
16
17
18
19
20
21
22
23
24
25
26
27
28
29
30
31
32
33
34
35
36
37
38
39
40
41
42
43
44
45
46
47
48
49
50
51
52
53
54
55
56
57
58
59
60

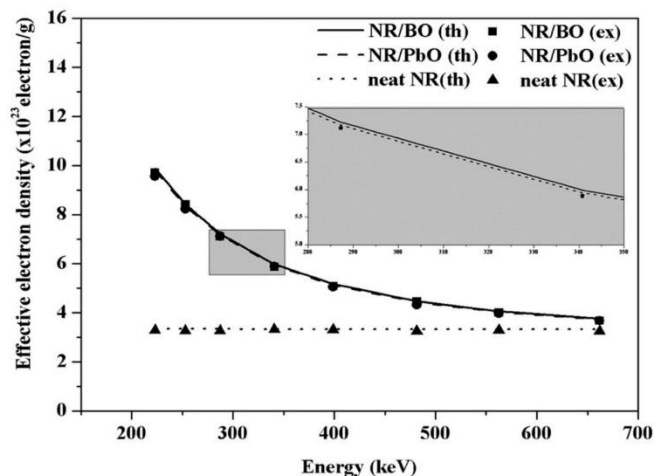


Figure 8. Effective electron density (N_e) of neat NR, NR with BO and PbO composites measured using gamma ray with energy 223 keV-662 keV.

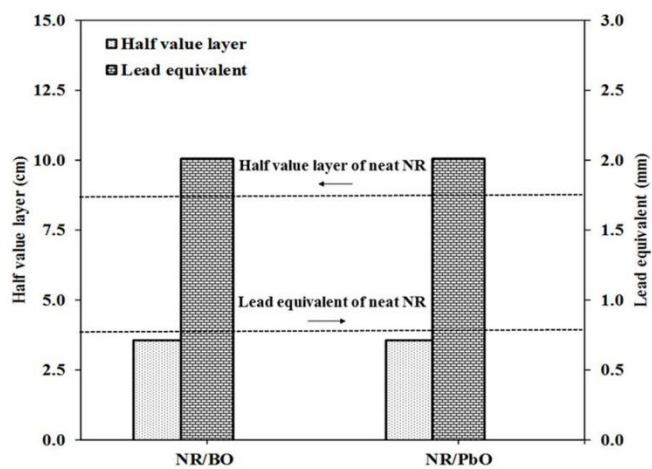


Figure 9. Half value layer (HVL) and Lead equivalent (dpb) of neat NR, NR with BO and PbO composites measured using gamma ray with energy at 662 keV.

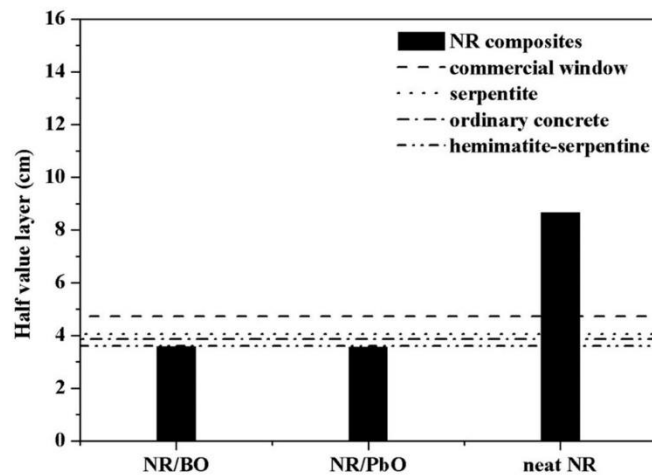


Figure 10. The half value layer of neat NR, NR/BO and NR/PbO composites in comparison to commercial window, serpentine, ordinary concrete and hemimatite-serpentine at 662 keV[12].

4. Conclusion

The flexible shielding materials based on natural rubber (NR) composites were successfully prepared. The results indicated that the composite based on NR with both shielding fillers (i.e., BO and PbO) gave higher modulus at 100 % elongation, hardness, specific gravity and radiation shielding (i.e., mass attenuation coefficient, effective atomic number, effective electron density, half value layer and lead equivalent) properties while lower tensile strength and elongation at break than that of the one without radiation shielding fillers (Neat NR). The developed composites based on natural rubber provided better gamma ray attenuation than those of commercial window, serpentine, ordinary concrete, rs 253 and hemimatite-serpentine with better elasticity. The knowledge finding from this study can be applied in many new forms as elastic wearable shielding applications.

Acknowledgement

The authors gratefully acknowledge financial support by a grant from Natural Rubber Innovation Research Institute, Prince of Songkla University, Thailand (grant number SCI601063s) and we would like to the Department of Radiologic Technology, Faculty of Associated Medical Sciences, Chiang Mai University and Center of Excellence in Glass Technology and Materials Science (CEGM), Nakhon Pathom Rajabhat University for providing research instruments and all facilities.

Reference

1. Marisa K. Radiation, <https://www.mtec.or.th/post-knowledges/3923/>. (2018, accessed 20 November 2018).

2. Thai Junior Encyclopedia Project. Types of radiation, <http://kanchanapisek.or.th/kp6/sub/book/book.php?book=38&chap=7&page=t38-7-infodetail06.html>. (2012, accessed 20 November 2018).

<https://mc.manuscriptcentral.com/jrpc>

- 1
2
3 3. Shams AM. Effective atomic number and mass attenuation coefficient of PbO–BaO–B₂O₃ glass
4 system. *Radiat. Phys. Chem.* 2016; 120: 33–37.
5
- 6 4. Yasaka P, Pattanaboonmee N, Kim HJ, et al. Gamma radiation shielding and optical properties
7 measurement of zine bismuth borate glasses. *Ann. Nucl. Energy* 2014; 68: 4–9.
8
- 9 5. Kridsiri K, Kaewkhao J, Pokaipisit A, et al. Gamma-rays shielding properties of xPbO(100-x)
10 B₂O₃ glasses system at 662 keV. *Ann. Nucl. Energy* 2009; 36: 1360–1365.
11
12
- 13 6. Chayanit J and Doonyapong W, Innovative neutron shielding material composing of natural
14 rubber-styrene butadiene rubber blends and diboron trioxide. Chulalongkorn University,
15 <http://cuir.car.chula.ac.th/handle/123456789/45903> (2014, accessed 2 May 2018).
16
17
- 18 7. Kalayane K, Lek S, Tripob B, et al. Ferrite-STR 5L Rubber Composites as Gamma Radiation
19 shieldings. *KKU research journal* 2008; 13: 269–271.
20
- 21 8. Le C, Yan Z, Yujian L, et al. Preparation and characterization of tungsten/epoxy composites for
22 gamma ray radiation shielding. *Nucl. Instrum. Methods Phys. Res. Sect. B.* 2015; 356–357: 88–93.
23
24
- 25 9. Chanthima N, Kaewkhao J, Limkitjaroenporn P, S.Tuscharoen, et al. Development of BaO-ZnO-
26 B₂O₃ glasses as a radiation shielding material. *Radiat. Phys. Chem.* 2017; 137: 72–77.
27
28
- 29 10. Singh K, Singh H, Sharma G, et al. Gamma-ray shielding properties of CaO-SrO-B₂O₃ glass
30 system. *Radiat. Meas.* 2005; 72: 225–228.
31
- 32 11. Singh N, Singh KJ, Singh K, et al. Gamma-ray attenuation studies of PbO–BaO–B₂O₃ glass
33 system. *Radiat. Meas.* 2006; 41: 84–88.
34
- 35 12. Singh K, Singh H, Sharma V, et al. Gamma-ray attenuation coefficient in bismuth borate glass.
36 *Nucl. Instrum. Methods Phys. Res. Sect. B.* 2002; 194: 1–6.
37
- 38 13. Worawat P, Ekachai W and Kiadtisak S. Properties of lead-free gamma-ray shielding material
39 from metal oxide/EPDM rubber composites. *Radiat. Phys. Chem.* 2018; 153: 1–9.
40
41
- 42 14. Reade international corp. Bismuth Oxide Powder (Bi₂O₃),
43 <https://www.reade.com/products/bismuth-oxide-powder-bi2o3> (2018, accessed 8 January 2019).
44
- 45 15. Pubchem. Lead monoxide,
46 https://pubchem.ncbi.nlm.nih.gov/compound/Lead_monoxide#section=Top (2005, accessed 8
47 January 2019).
48
49
50
51
52
53
54
55
56
57
58
59
60

ภาคผนวก จ.

(ร่าง) อนุสิทธิบัตร

อิลาสโตเมอร์กำบังรังสีปลอดตะกั่วยืดหยุ่นสูงจากคอมโพลิตของยางธรรมชาติผสมกับ
สารประกอบออกไซด์ด้วยวิธีการผสมที่ใช้ระยะเวลาสั้น

รายละเอียดการประดิษฐ์

ชื่อที่แสดงถึงการประดิษฐ์

อิลาสโตเมอร์กำบังรังสีปลอดตะกั่วยืดหยุ่นสูงจากคอมโพสิตยางธรรมชาติผสมกับสารประกอบออกไซด์ด้วยวิธีการผสมที่ใช้ระยะเวลาสั้น

สาขาวิทยาการที่เกี่ยวข้องกับการประดิษฐ์

วิทยาศาสตร์ และเทคโนโลยีอิลาสโตเมอร์กำบังรังสีปลอดตะกั่วจากคอมโพสิตยางธรรมชาติผสมกับสารประกอบออกไซด์ด้วยวิธีการผสมที่ใช้ระยะเวลาสั้น

ภูมิหลังของศิลปะหรือวิทยาการที่เกี่ยวข้อง

ตะกั่ว (lead; Pb) เป็นธาตุที่นิยมนำมาใช้ทำเป็นวัสดุป้องกันรังสี เนื่องจากคลื่นแม่เหล็กไฟฟ้าที่มีพลังงานสูง เช่น รังสีเอกซ์ รังสีแกมมา จะถูกดูดซับได้ดีโดยธาตุที่มีเลขอะตอมมาก (ธาตุหนัก) เช่น ตะกั่ว (เลขอะตอม = 82) ทองคำ (เลขอะตอม = 79) หรือแม้แต่ยูเรเนียม (เลขอะตอม = 92) โดยธาตุที่มีเลขอะตอมสูงจะยิ่งดูดซับรังสีได้ดี โดยทั่วไปอุตสาหกรรมนิยมใช้ตะกั่วเป็นวัสดุป้องกันรังสี อย่างไรก็ตามการใช้วัสดุป้องกันรังสีที่ทำมาจากตะกั่วก็ยังมีข้อเสียหลายประการ ได้แก่ (1) วัสดุป้องกันรังสีที่ทำมาจากตะกั่วจะมีน้ำหนักมาก เมื่อผู้ปฏิบัติงานด้านรังสีใช้งานเป็นเวลานานจะทำให้เกิดความเมื่อยล้า ซึ่งส่งผลกระทบต่อประสิทธิภาพในการทำงาน (2) วัสดุป้องกันรังสีที่ทำมาจากตะกั่วจะแตกหักได้ง่าย เนื่องจากตะกั่วมีคุณสมบัติที่มีความแข็งเปราะ หากมีการใช้งานที่ไม่ระมัดระวังอาจเกิดการแตกร้าวได้ ซึ่งรอยแตกหักหรือรอยร้าวจะส่งผลให้วัสดุป้องกันรังสีมีประสิทธิภาพในการลดทอนรังสีได้น้อยลงหรือไม่สามารถลดทอนรังสีได้ และอาจมีความเสี่ยงต่อผู้ปฏิบัติงานด้านรังสี และ (3) ตะกั่วมีความเป็นพิษสูง เมื่อตะกั่วเข้าสู่ร่างกายจะส่งผลกระทบต่อระบบการทำงานของร่างกาย เช่น อาการในระบบเลือด จะมีอาการของเลือดจาง อ่อนเพลีย และร่างกายซีด อาการในระบบกระดูก และกล้ามเนื้อ เมื่อตะกั่วเกิดการสะสมในเนื้อเยื่อกระดูก และกล้ามเนื้อต่างๆ จะทำให้เกิดอาการปวดเมื่อยตามข้อ และกระดูก ซึ่งมักพบอาการกระดูกผุ และหักง่ายตามมาอาการทางกล้ามเนื้อจะทำให้ผู้ป่วยเมื่อยล้า และกล้ามเนื้ออ่อนแรง จากข้อด้อยดังกล่าวจึงทำให้มีความพยายามในการใช้โลหะออกไซด์ชนิดอื่น ๆ เพื่อกำบังหรือลดทอนกำลังของรังสี เช่น ทอเรียมไดออกไซด์ (Thorium dioxide; ThO₂) ไดโบรอนไดรอกไซด์ (Diboron dioxide; B₂O₃) แบเรียมซัลเฟต (Barium sulfate; BaSO₄) เป็นต้น อย่างไรก็ตามการใช้วัสดุกำบังรังสีเพียงอย่างเดียวยังมีข้อด้อยเรื่องน้ำหนักและความไม่อ่อนตัวของวัสดุ ทำให้เป็นอุปสรรคในการนำไปใช้กำบังรังสีในพื้นที่ที่มีลักษณะเฉพาะ

ดังนั้นจึงมีการพัฒนาวัสดุป้องกันรังสีที่ทำมาจากยางธรรมชาติซึ่งมีสมบัติที่โดดเด่นหลายประการ เช่น สมบัติด้านความยืดหยุ่น การทนทานต่อการฉีกขาด และความต้านทานต่อการกระแทก เป็นต้น ซึ่งจะทำให้วัสดุสามารถโค้งงอ และไม่เกิดการแตกหัก หรือเกิดรอยร้าวได้ง่าย สามารถป้องกันรังสีเฉพาะจุดได้ โดยทำการผสมกับสารประกอบออกไซด์ ทำหน้าที่ในการดูดกลืนรังสี ทำให้ได้วัสดุกำบังรังสีที่ปลอดตะกั่ว ซึ่งวัสดุชนิดนี้สามารถช่วยให้ผู้ปฏิบัติงานด้านรังสีและผู้ป่วยลดความเสี่ยงในการสัมผัสรังสีกับเนื้อเยื่อและอวัยวะต่าง ๆ ได้

รายงานเกี่ยวกับวัสดุที่เกี่ยวข้องโดยผู้เขียนเลือกทบทวนวรรณกรรมเฉพาะกลุ่มที่มีลักษณะ และเพื่อจุดประสงค์ใกล้เคียงกันมีรายละเอียดดังนี้

K.Kalayane (2008) และคณะ ทำการศึกษาการเตรียมยางธรรมชาติ STR 5L ผสมกับผงเพอร์ไรต์ที่เป็นวัสดุเหลือทิ้งจากโรงงานและผงเขม่าดำในอัตราส่วนต่าง ๆ แล้วนำมาทดสอบประสิทธิภาพการป้องกันรังสีแกมมา จากการศึกษาพบว่ายางธรรมชาติ STR 5L ผสมกับผงเพอร์ไรต์ที่ และผงเขม่าดำสามารถนำมาเป็นวัตถุดิบรังสีที่มีความยืดหยุ่นแบบยางธรรมชาติ นอกจากนี้การผสมผงเพอร์ไรต์ ลงไปในเนื้อยาง STR 5L มีผลให้ยางผสมมีค่าความทนทานต่อแรงดึงลดลง แต่ช่วยเสริมค่าความแข็งของชิ้นงาน ให้เพิ่มขึ้นอย่างมาก

นรินทร์ (2011) เตรียมวัสดุผสมยาง-แก้วที่เหมาะสมสำหรับใช้เป็นวัตถุดิบรังสี การศึกษาประสิทธิภาพการดูดกลืนรังสีของวัสดุผสมยาง-แก้ว โดยพิจารณาจากค่าสัมประสิทธิ์การดูดกลืนรังสีรวมทั้ง หาแนวทางประยุกต์วัสดุผสมยาง-แก้วในการป้องกันรังสี ในการวิจัยนี้ได้เตรียมวัสดุผสมแก้ว-ยางโดยใช้ผงแก้วตะกั่วและแก้วบิสมัท ถูกนำไปผสมในเมทริกซ์น้ำยาง และยางธรรมชาติชนิดต่าง STR-5L โดยใช้เครื่องบดผสมสองลูกกลิ้ง และระบบยางคงรูปด้วยกำมะถัน พบว่า ผงแก้วมีสมบัติเป็นสารตัวเติมชนิดเสริมแรงคล้ายซิลิกาในกระบวนการผลิตยาง และผลการทดสอบการดูดกลืนรังสีเอกซ์พบว่า วัสดุผสมแสดงสมบัติการป้องกันรังสีได้ เมื่อพลังงานสูงสุดของโฟตอนรังสีเอกซ์สูงขึ้น วัสดุผสมแสดงการดูดกลืนรังสีได้ดี

กิตติกานต์ และคณะ (2012) ทำการศึกษาชนิดและปริมาณของสารตัวเติมป้องกันรังสีชนิดกรดบอริก โบรอนออกไซด์ และผงตะกั่วในวัสดุคอมโพสิตยางธรรมชาติ และวัสดุคอมโพสิตยางธรรมชาติผสมผงขี้เถ้าไม่จากการศึกษาสมบัติด้านรังสีพบว่า การเติมกรดบอริกและโบรอนออกไซด์ในวัสดุคอมโพสิตยางที่เติม และไม่เติมผงขี้เถ้าไม่สามารรถต้านทานต่ออนุภาคนิวตรอนเพิ่มขึ้น และมีความสามารถต้านทานต่อรังสีเทียบเท่าเกณฑ์เป้าหมาย ส่วนการเติมผงตะกั่วในวัสดุเชิงประกอบยางสามารถต้านทานต่อรังสีแกมมาเพิ่มขึ้นเล็กน้อย

T.Ozdemir และคณะ (2018) ทำการเตรียมวัสดุป้องกันรังสีจากวัสดุคอมโพสิต EPDM/Nano lead oxide (PbO) จากการศึกษาพบว่าเมื่อมีการเติม PbO สามารถลดทอนรังสีเอกซ์ และแกมมาได้ เนื่องจาก PbO มีตะกั่ว (Pb) เป็นองค์ประกอบซึ่ง Pb มีเลขอะตอมที่สูง (เลขอะตอม = 82) สามารถดูดซับคลื่นแม่เหล็กไฟฟ้าที่มีพลังงานสูงได้ และนอกจากนี้ยังมีการศึกษาโดยนำบิสมัทออกไซด์ (Bismuth Oxide; Bi_2O_3) ผสมกับ PbO เติมลงใน EPDM พบว่า ค่าสัมประสิทธิ์การลดทอนรังสีเพิ่มขึ้นเมื่อเทียบกับ EPDM ที่เติม PbO เพียงอย่างเดียว เนื่องจาก Bi_2O_3 มีบิสมัท (Bi) เป็นองค์ประกอบซึ่ง Bi มีเลขอะตอมเท่ากับ 83 สามารถดูดซับคลื่นแม่เหล็กไฟฟ้าที่มีพลังงานสูงได้เช่นเดียวกับ Pb ในปีเดียวกันนี้ วรวัฒน์ และคณะได้ทำการเตรียมวัสดุกำบังรังสีปลอดตะกั่วสำหรับการกำบังรังสีแกมมาจาก EPDM ผสมกับโลหะออกไซด์ ได้แก่ Fe_3O_4 W_2O_3 และ Bi_2O_3 พบว่าเมื่อปริมาณโลหะออกไซด์เพิ่มขึ้นสามารถกำบังรังสีแกมมาได้ดีขึ้น และ Bi_2O_3 สามารถกำบังรังสีได้ดีที่สุด เนื่องจากประกอบด้วยอะตอมของบิสมัท (Bi) ซึ่งมีเลขอะตอมมากกว่า เหล็ก (Fe) และทังสแตน (W) และ Donruedee และคณะ ทำการเตรียมวัสดุกำบังรังสีแกมมาจากยางธรรมชาติผสมโลหะออกไซด์ ได้แก่ เหล็กออกไซด์ (Fe_3O_4) ทังสแตนออกไซด์ (W_2O_3) และ บิสมัทออกไซด์ (Bi_2O_3) พบว่า

สามารถเตรียมวัสดุกำบังรังสีที่มีความยืดหยุ่นได้ร้อยละ 600 และยางธรรมชาติที่มีการเติม Bi_2O_3 สามารถกำบังรังสีแกมมาได้ดีที่สุด เนื่องจากมีเลขอะตอมสูงกว่า Fe_3O_4 และ W_2O_3

จากการทบทวนการประดิษฐ์ดังกล่าวถึงแม้จะมีการนำบิสมีทออกไซด์ หรือโลหะออกไซด์ ชนิดอื่นผสมในยางธรรมชาติเพื่อทำเป็นวัสดุกำบังรังสีแล้ว แต่ยังไม่มีการรายงานการประดิษฐ์วัสดุ กำบังรังสีจากยางธรรมชาติผสมด้วยโลหะออกไซด์ตลอดตะกั่วร่วมกับสารเติมแต่งที่ทำให้วัสดุที่เตรียม ได้มีความสามารถในการยืดสูงมากกว่าร้อยละ 800 ได้ และทำการผสมด้วยวิธีที่ใช้ระยะเวลาไม่เกิน 20 นาที ในเครื่องผสมแบบปิดซึ่งสามารถลดการสูญเสียสารเคมีได้อีกด้วย การประดิษฐ์นี้ได้ทำการ ออกแบบวัสดุกำบังรังสีแกมมา และรังสีเอกซ์ที่ปลอดภัย และสามารถป้องกันรังสีเฉพาะจุดได้ ซึ่ง วัสดุชนิดนี้สามารถช่วยให้ผู้ปฏิบัติงานด้านรังสี และผู้พลัดความเสี่ยงในการสัมผัสรังสีกับเนื้อเยื่อ และอวัยวะต่าง ๆ ได้

ลักษณะและความมุ่งหมายของการประดิษฐ์

การประดิษฐ์นี้เป็นการพัฒนาอิลาสโตเมอร์กำบังรังสีปลอดภัยจากคอมโพสิตยางธรรมชาติ ผสมกับสารประกอบออกไซด์ด้วยวิธีการผสมที่ใช้ระยะเวลาสั้น

ความมุ่งหมายของการประดิษฐ์นี้ คือ ผลิตวัสดุกำบังรังสีปลอดภัย จากยางธรรมชาติผสม กับโลหะออกไซด์ซึ่งทำหน้าที่เป็นสารกำบังรังสี ทำการผสมด้วยเครื่องผสมแบบปิด โดยการใช้ ระยะเวลาในการผสมไม่เกิน 20 นาที และสามารถลดการสูญเสียสารเคมีได้ ซึ่งคอมโพสิตยาง ธรรมชาติที่เตรียมได้มีข้อเด่นหลายประการ ได้แก่ มีความยืดหยุ่นสูงถึงร้อยละ 800 สามารถงอ หรือ โค้งตามอวัยวะที่ต้องการกำบังรังสีได้ เกิดการแตก หรือเปราะได้ยากมีอายุการใช้งานนานขึ้น มีความ ปลอดภัยต่อผู้ใช้งานและไม่เป็นอันตรายต่อสิ่งแวดล้อม เนื่องจากวัสดุชนิดนี้เป็นวัสดุสำหรับการกำบัง รังสีที่ปลอดภัย ดังนั้นอิลาสโตเมอร์กำบังรังสีปลอดภัยจากคอมโพสิตยางธรรมชาติผสมกับ สารประกอบออกไซด์จึงมีประโยชน์อย่างยิ่งสำหรับงานทางด้านกำบังรังสี

การเปิดเผยการประดิษฐ์โดยสมบูรณ์

ตามการประดิษฐ์นี้ ได้เสนอสิ่งประดิษฐ์อิลาสโตเมอร์กำบังรังสีปลอดภัยจากคอมโพสิตยาง ธรรมชาติผสมกับสารประกอบออกไซด์ด้วยวิธีการผสมที่ใช้ระยะเวลาสั้น ซึ่งมีส่วนประกอบหลักอยู่ สามส่วน คือ ยางธรรมชาติ (1) สารประกอบออกไซด์ (2) และสารเติมแต่งเสริมความยืดหยุ่น (3) โดย ยางธรรมชาติจะเป็นส่วนประกอบหลักที่ทำหน้าที่ส่วนที่ให้ความยืดหยุ่นแก่วัสดุ สารประกอบออกไซด์ ทำหน้าที่เป็นสารที่ช่วยในการดูดกลืนรังสี และการผสมวัสดุคอมโพสิตยางธรรมชาติเข้ากับ สารประกอบออกไซด์จะทำให้วัสดุคอมโพสิตยางธรรมชาติมีความสามารถในการกำบังรังสีได้

อิลาสโตเมอร์กำบังรังสีปลอดภัยตามสิ่งประดิษฐ์นี้หมายถึง วัสดุที่ประกอบด้วยยาง ธรรมชาติที่มีการเติมสารเคมี สารเติมแต่ง หรืออาจเรียกว่ายางคอมพาวนด์ และสารประกอบออกไซด์ ซึ่งผ่านกระบวนการผสมด้วยเครื่องผสมที่มีแรงเฉือน หลังจากนั้นนำมาขึ้นรูป และวัลคาไนซ์ด้วย เครื่องอัดเบ้า

ตัวอย่างส่วนผสมของอิลาสโตเมอร์กำบังรังสีปลอดตะกั่วยืดหยุ่นสูงของการประดิษฐ์นี้
ดังแสดง

ตัวอย่างที่ 1 ส่วนประกอบของอิลาสโตเมอร์กำบังรังสีปลอดตะกั่ว เพื่อประยุกต์ใช้เป็นวัสดุกำบังรังสี

1. ยางธรรมชาติ	ในปริมาณ	100	ส่วนโดยน้ำหนักยาง
2. กรดสเตียริก	ในปริมาณ	0.5- 3	ส่วนโดยน้ำหนักยาง
3. ซิงค์ออกไซด์	ในปริมาณ	0.5-10	ส่วนโดยน้ำหนักยาง
4. บิวทิลเบนโซโธอะโซลซัลฟิनाไมด์	ในปริมาณ	0.5-5	ส่วนโดยน้ำหนักยาง
5. สารประกอบออกไซด์	ในปริมาณ	40-150	ส่วนโดยน้ำหนักยาง
6. กำมะถัน	ในปริมาณ	1.0-3.5	ส่วนโดยน้ำหนักยาง

กระบวนการเตรียมวัสดุมีขั้นตอน ดังนี้

การเตรียมยางธรรมชาติเทอร์โมพลาสติก

บดยางธรรมชาติด้วยเครื่องผสมแบบปิดเป็นเวลา 10 นาที ผสมสารเคมีลำดับที่ 2, 3, 4, 5 และ 6 ตามลำดับ ทำการผสมเป็นเวลา 20 นาที หลังจากนั้นขึ้นรูปวัสดุด้วยเครื่องอัดเข้า โดยมีการใช้อุณหภูมิในการขึ้นรูป 150 องศาเซลเซียส

จากการทดสอบเบื้องต้น พบว่าวัสดุชนิดนี้มีความยืดหยุ่นสูง มีระยะยืดจนขาดสูงกว่าร้อยละ 800 สามารถโค้งงอตามอวัยวะที่ต้องการกำบังรังสีได้ โดยไม่เกิดการร้าว หรือแตกของวัสดุเมื่อทำการโค้งงอ สามารถลดทอนรังสีแกมมา และรังสีเอ็กซ์ได้อย่างมีประสิทธิภาพ

วิธีการในการประดิษฐ์ที่ดีที่สุด

ดังที่ได้กล่าวไว้แล้วในหัวข้อการเปิดเผยการประดิษฐ์โดยสมบูรณ์

ข้อถ้อยสิทธิ

1. อิลาสโตเมอร์กำบังรังสีปลอดตะกั่วที่ประกอบด้วยยางธรรมชาติ สารประกอบออกไซด์ และสารเติมแต่งเสริมความยืดหยุ่นด้วยวิธีการผสมที่ใช้ระยะเวลาสั้น
2. ยางธรรมชาติ ตามข้อถ้อยสิทธิที่ 1 ที่ซึ่งหมายถึง ยางธรรมชาติ หรือยางดัดแปรโมเลกุลในรูปแบบแห้ง ได้แก่ ยางแผ่นผึงแห้ง ยางแผ่นรมควัน ยางแท่ง และยางอิพ็อกไซด์
3. สารประกอบออกไซด์ ตามข้อถ้อยสิทธิที่ 1 ที่ซึ่งหมายถึงสารที่มีเลขอะตอมสูง และสามารถเป็นสารกำบังรังสีได้ ได้แก่ บิสมีทออกไซด์ แบเรียมคาร์บอเนต แบเรียมซัลเฟต
4. สารเติมแต่ง ตามข้อถ้อยสิทธิที่ 1 ที่ซึ่งหมายถึง สารที่เพิ่มคุณสมบัติให้กับยางธรรมชาติ ได้แก่ กรดสเตียริก

ซิงค์ออกไซด์ บิวทิลเบนโซโธอะโซลซัลฟิनाไมด์ กำมะถัน

5. วิธีการผสมที่ใช้ระยะเวลาสั้น ตามข้อถ้อยสิทธิที่ 1 ที่ซึ่งหมายถึงการผสมอย่างธรรมชาติเข้ากับสารประกอบออกไซด์ และสารเติมแต่งด้วยเครื่องผสมแบบปิด (Internal mixer)

บทสรุป

วัสดุกำบังรังสีปลอดตะกั่ว จากยางธรรมชาติผสมกับโลหะออกไซด์ด้วยวิธีการผสมที่ใช้ระยะเวลาไม่เกิน 20 นาทีด้วยเครื่องผสมแบบปิดที่มีความยืดหยุ่นสูงถึงร้อยละ 800 สามารถงอ หรือโค้งตามอวัยวะที่ต้องการกำบังรังสีได้

